

DER ÜBERGANG VOM MITTEL- ZUM JUNGPALÄOLITHIKUM AUF DER
HALBINSEL KRIM UND IN DER KOSTENKI-BORSHCHEVO-REGION AM MITTEL-
DON

–

ADAPTIONSTRATEGIEN SPÄT-MITTELPALÄOLITHISCHER UND FRÜH-
JUNGPALÄOLITHISCHER GRUPPEN

Band II

-Tabellen & Tafeln-

Dissertation

zur Erlangung des Doktorgrades
im Fach Ur- und Frühgeschichte
an der Philosophischen Fakultät
der Universität zu Köln

vorgelegt von

Guido Bataille

Mai 2013

I. Appendix

Appendix 1: Tabellen

| Fundplatz | Buran Kaya III B1 | Buran Kaya III C | Siuren 1 Ga | Siuren 1 Gb | Siuren 1 Gc | Siuren 1 Gd | Siuren 1 Unit H | Karabi Tamchin II/2 | Karabi Tamchin III | Karabi Tamchin IV | Karabi Tamchin V |
|-------------------------|---------------------|----------------------|-------------|-------------|-------------|-------------|-----------------|----------------------|----------------------|-------------------|------------------|
| Fundsicht / Fundkomplex | Micoquien: Kik-Koba | "Eastern Szelettian" | Aurignacien | Aurignacien | Aurignacien | Aurignacien | Aurignacien | Levallois-Moustérien | Levallois-Moustérien | Micoquien | Micoquien |
| Industrie | | | | | | | | | | | |
| Herbivore | 1 | 1 | 1 | 1 | 1 | 3 | 2 | 3 | 5 | 3 | 3 |
| Equus hydruntinus | | | | | | | | | | | |
| Equus ferus | | | | | | | | | | | |
| Saiga tatarica | 24 | 2 | 1 | 1 | 2 | 2 | 3 | 1 | 1 | 1 | 1 |
| Bison/Bos | 1 | | 2 | 2 | 2 | 1 | 1 | 1 | 2 | 1 | 1 |
| Equus/Bison | | | | | | | | | | | |
| Mammuthus primigenius | 1 | | | | | | | | | | |
| Mammuthus / Coelodonta | | | | | | | | | | | |
| Coelodonta | 1 | | | | | | | | | | |
| Cervidae | | | 1 | | | 1 | | | | | |
| Cervus elaphus | 1 | 1 | 1 | 1 | 1 | 1 | | | | | |
| Megaloceros giganteus | | | 1 | | 1 | | | | | | |
| Rhinoceros | | | | | | | | | | | |
| Ovis | | | | | | | | | | | |
| Sus scrofa ferus L. | | | | | | | | | | | |
| Rangifer | | | | | | | | | | 1 | 2 |
| Rupicapra | | | | | | | | | | | |
| Capreolus | | | | | | | | | | | |
| Small Artiodactyla | | | | | | | | | | | |
| Small Artiodactyla | | | | | | | | | | | |
| Canis lupus | 1 | 1 | 1 | 1 | 3 | 1 | 3 | 1 | 1 | 1 | 1 |
| Vulpine | 1 | 1 | 1 | 3 | 5 | 4 | 3 | 1 | 1 | 1 | 1 |
| Crocuta spelaea | | | | | | | | | | | |
| Hyena | | | | | | | | | | | |
| Panthera leo | | | | | | | | | | | |
| Ursus | | | | | | | | | | | |
| Crocuta spelaea | | | | | | | | | | | |
| Crocuta/ Ursus sp. | | | | | | | | | | | |
| Mustelidae | 1 | | | | | | | | | | |
| Fox or Mustelidae | | | | | | | | | | | |
| Crocuta crocuta | | | | | | | | | | | |
| kleiner Karnivor | | | | | | | | | | | |
| Putorius evermanni | | | | | | | | | | | |
| Lepus europaeus | | | | | | | | | | | |
| Lepus sp. | | 2 | 1 | 1 | 1 | 1 | 1 | | | | |
| Rodentia (Nagetere) | | | 1 | 1 | 2 | 1 | 1 | | | | |
| Aves | | | 1 | 2 | 3 | 1 | 1 | | | | |
| Cricetus sp. | | | | | | | | | | | |
| Sonstiges | | | | | | | | | | | |
| Mammota bobac | | | | | | | | | | | |
| Citellus brulae I Grom. | | | | | | | | | | | |
| Gesamt | 32 | 8 | 6 | 14 | 24 | 15 | 14 | 9 | 14 | 8 | 7 |

Tab. 5.1. Krim-Halbinsel. Fauneninventare spät-mittel- & früh-jungpaläolithischer Inventare, welche in die Zeit des Übergangs zwischen ca. 42.000 und 28.000 BP fallen. Angegeben sind Mindestindividuenzahlen. Daten aus: Patou-Mathis 2004, 2005, 2006a/b, 2007, Burke 2004, Laroulandie & D'Errico 2004, Massé & Patou-Mathis 2012.

| Fundplatz Fundschicht / Fundkomplex | Chokourench a1 | | Chokourench a1 | | Chokourench a1 | | Chokourench a1 | | Chokourench a1 | | Kahazi V | | Kahazi V | | Kahazi V | | Kahazi V | | Kifik-Koba | Starosele |
|--|----------------|-----------|----------------|-----------|----------------|-----------|----------------|---------------|----------------|----------------------|----------------------|---------------|----------------------|----------------------|-------------|-----------|----------|--|------------|-----------|
| | IV-A | IV-B | IV-F | IV-I | IV-M | IV-O | IV-Q | sub-Unit III- | III-2 | III-3 | III-4 | III-5 | III-6 | IV | Upper Level | Level I | | | | |
| Industrie | Micoquien | Micoquien | Micoquien | Micoquien | Micoquien | Micoquien | Micoquien | Micoquien | Micoquien | Levallois-Moustérien | Mittel-Paläolithikum | CM: Starosele | Mittel-Paläolithikum | Levallois-Moustérien | Micoquien | Micoquien | | | | |
| Equus hydruntinus | | | 2 | 1 | 2 | 2 | 4 | 13 | 4 | 14 | 16 | 19 | 3 | 3 | 16 | 12 | | | | |
| Equus ferus | 1 | | | | | | 3 | | | | | | | | | | | | | |
| Sagitt utarica | 1 | 2 | 4 | 2 | 1 | 2 | 19 | 6 | 10 | 7 | 3 | 2 | 1 | 10 | 2 | | | | | |
| Bison/Bos | 2 | | | 1 | 1 | 1 | 3 | | | | | | | 2 | 1 | | | | | |
| Equus/Bison | | | | | | | | | 5 | 5 | 8 | | | 1 | | | | | | |
| Mammuthus primigenius | 1 | 1 | 1 | 2 | 1 | 1 | 3 | | | | | | | | 4 | | | | | |
| Mammuthus / Coelodonta | | | | | | | | | | | | | | | | | | | | |
| Coelodonta | | | | 1 | 1 | 1 | 1 | | | | | | | | | | | | | |
| Cervidae | | | | | | | | | | | | | | | | | | | | |
| Cervus elaphus | | | | 1 | | | 5 | 1 | 6 | | 3 | | | | 2 | | | | | |
| Megaloceros giganteus | | | | | | | | | | | | | | | 16 | | | | | |
| Rhinoceros | | | | | | | | | | | | | | | 2 | | | | | |
| Ovis | | | | | | | | | | | | | | | 2 | | | | | |
| Sus scrofa ferus L. | | | | | | | | | | | | | | | 2 | | | | | |
| Rangifer | | | | | | | | | | | | | | | | | | | | |
| Rupicapra | | | | | | | | | | | | | | | | | | | | |
| Capreolus | | | | | | | | | | | | | | | | | | | | |
| Small Artiodactyla | | | | | | | | | | | | | | | | | | | | |
| Canis lupus | | | | 1 | 1 | 1 | 2 | | | | | | | | | | | | | |
| Vulpinae | | | | | | | | | | | | | | | | | | | | |
| Crocuta spelaea | | | | 1 | 1 | 1 | | | | | | | | | 2 | | | | | |
| Hyena | | | | | | | | | | | | | | | | | | | | |
| Panthera leo | | | | | | | | | | | | | | | | | | | | |
| Ursus | | | | | | | | | | | | | | | | | | | | |
| Crocuta spelaea | | | | | | | | | | | | | | | | | | | | |
| Crocuta/ Ursus sp. | | | | | | | | | | | | | | | | | | | | |
| Mustelidae | | | | | | | | | | | | | | | | | | | | |
| Fox or Mustelidae | | | | | | | | | | | | | | | | | | | | |
| Crocuta crocuta | | | | | | | | | | | | | | | | | | | | |
| kleiner Karnivor | | | | | | | | | | | | | | | | | | | | |
| Putorius evermanni | | | | 1 | 1 | 1 | | | | | | | | | | | | | | |
| Lepus europaeus | | | | | | | | | | | | | | | | | | | | |
| Lepus sp. | | | | | | | | | | | | | | | | | | | | |
| Rodentia (Nagetiere) | | | | | | | | | | | | | | | | | | | | |
| Aves | | | | | | | | | | | | | | | | | | | | |
| Circetus sp. | | | | | | | | | | | | | | | | | | | | |
| Mammota bokac | | | | | | | | | | | | | | | | | | | | |
| Citellus brukei Grom. | | | | | | | | | | | | | | | | | | | | |
| <i>Gesamt</i> | 5 | 5 | 12 | 11 | 9 | 12 | 10 | 53 | 17 | 35 | 28 | 33 | 5 | 5 | 82 | 23 | | | | |

Tab. 5.2. Krim-Halbinsel. Fauneninventare spät-mittel- & früh-jungpaläolithischer Inventare, welche in die Zeit des Übergangs zwischen ca. 42.000 und 28.000 BP fallen. Angegeben sind Mindestindividuenzahlen. Daten aus: Patou-Mathis 2005, 2006a/b, 2007, Burke 2004, Laroulandie & D'Errico 2004.

| Fundplatz | | Kostenki 6 | Kostenki 12 | Kostenki 17 | Kostenki 14 | Kostenki 8 |
|---------------------------|-------------------------|--------------|--------------|--------------|----------------|------------|
| Fundschrift / Fundkomplex | | x | III | II | II | II |
| Industrie | | Streletskaya | Streletskaya | Spitsynskaya | Gorodtsovskaya | Gravettien |
| Herbivora | Equus hydruntinus | | | | | |
| | Saiga tatarica | | | | 1 | 1 |
| | Bison (cf.) priscus | 2 | | 1 | 1 | 3 |
| | Bos | | | | | |
| | Bison/Bos | | | | | |
| | Equus/Bison | | | | | |
| | Mammuthus primigenius | 2 | 2 | 1 | 1 | 3 |
| | Mammuthus / Coelodonta | | | | | 2 |
| | Coelodonta | | | | | |
| | Coelodonta antiquitatis | 1 | 1 | | 1 | |
| | Cervidae | | | | | |
| | Cervus elaphus | 2 | 1 | | 1 | 1 |
| | Megaloceros giganteus | | | | | 1 |
| | Rhinoceros | | | | | |
| | Ovis | | | | | |
| | Sus scrofa ferus L. | | | | | |
| | Rangifer tarandus | 2 | 2 | 1 | 1 | 2 |
| | Rupicapra | | | | | |
| | Capreolus | | | | | |
| | Equus caballus | | | | 19 | 3 |
| Equus latipes | 4 | 3 | 2 | | | |
| Small Artiodactyla | | | | | | |
| Carnivora | Canis lupus | 2 | 1 | 2 | 1 | 8 |
| | Vulpinae | 1 | 1 | | | 3 |
| | Crocota spelaea | | | | | |
| | Panthera spelaea | | | | 1 | 1 |
| | Panthera sp. | | | | | |
| | Ursus | | | | | |
| | Ursus arctos | | | | | |
| | Ursus spelaeus Ros. | | | | | |
| | Crocota spelaea | | | | | |
| | Crocota/ Ursus sp. | | | | | |
| | Mustelidae | | | | | |
| | Fox or Mustelidae | | | | | |
| | Crocota crocuta | | | | | |
| | Gulo gulo | | | 1 | | |
| | kleiner Karnivor | | | | | |
| Putorius eversmanni | | | | | | |
| Lepidae | Lepus tanaicus | 1 | | | | |
| | Lepus europaeus | | | | | |
| | Lepus sp. | | | | | |
| Rodentia (Nagetiere) | Rodentia (Nagetiere) | | | | | |
| Aves | Aves | | | | | |
| Sonstiges | Cricetus sp. | | | | | |
| | Mamota bobac | | | | | |
| | Citellus superciliosus | | | 1 | | |
| <i>Gesamt</i> | | 17 | 12 | 8 | 27 | 28 |

Tab. 5.3. Mittel-Don-Gebiet. Fauneninventare früh- & Mittel-jungpaläolithischer Inventare, welche in die Zeit des Übergangs zwischen ca. 42.000 und ~28.000 BP fallen. Angegeben sind Mindestindividuenzahlen. Daten aus: Sablin, M. B. , in: Anikovich et al. 2008, 279-284 & Hoffecker 2002, Tab. 5.5.

| Buran-Kaya III, Schicht E: Kerne | N | % |
|-------------------------------------|---|-----|
| Lamellenkern, einfach | 1 | 20 |
| Kerntrümmer, Schlag | 4 | 80 |
| Gesamt | 5 | 100 |

Tab. 10.2.1. Buran-Kaya III, Schicht E. Kerne & Kerntrümmer.

| Buran-Kaya III, Fundschrift E: Grundformen (mit formalen Geräten & Kernen) | Grundform | | | | |
|--|--------------------------------------|-------|--------|----|--------|
| | | N | % | N | % |
| Abschlag | Abschlag, einfach | 21 | 17.36 | 61 | 50,41 |
| | Abschlag, Breit- | 3 | 2.48 | | |
| | Präparationsabschlag, Kernkante | 5 | 4.13 | | |
| | Präparationsabschlag, Kernkantenrest | 6 | 4.96 | | |
| | Präparationsabschlag, Kortexkante | 1 | 0.83 | | |
| | Abschlag, Formüberarbeitung | 5 | 4.13 | | |
| | Abschlag, Nachschärfung | 1 | 0.83 | | |
| Abspliss, einfach | 19 | 15.70 | | | |
| Klinge | Klinge, einfach | 25 | 20.66 | 38 | 31.40 |
| | Klinge, Kernkante | 9 | 7.44 | | |
| | Klinge, Kernkantenrest | 1 | 0.83 | | |
| | Klinge, Kortexkante | 3 | 2.48 | | |
| Lamelle | Lamelle, einfach | 6 | 4.96 | 3 | 5.00 |
| sonstiges | Trümmer, Schlag | 5 | 4.13 | 16 | 13.22 |
| | nicht erkennbar | 10 | 8.26 | | |
| | keine Angabe | 1 | 0.83 | | |
| Gesamt | | 121 | 100.00 | 60 | 100.00 |

Tab. 10.2.2. Buran-Kaya III, Schicht E. Grundformen.

| Buran-Kaya III, Schicht E: modifizierte Grundformen | Grundform | N | % | | % |
|--|--------------------------------------|----|--------|-------|-------|
| Abschlag | Abschlag, einfach | 14 | 24.14 | 23.00 | 39.66 |
| | Abschlag, Breit- | 1 | 1.72 | | |
| | Präparationsabschlag, Kernkante | 1 | 1.72 | | |
| | Präparationsabschlag, Kernkantenrest | 1 | 1.72 | | |
| | Präparationsabschlag, Kortexkante | 1 | 1.72 | | |
| | Abschlag, Nachschärfung | 1 | 1.72 | | |
| | Abspliss, einfach | 4 | 6.90 | | |
| Klinge | Klinge, einfach | 12 | 20.69 | 18.00 | 31.03 |
| | Klinge, Kernkante | 4 | 6.90 | | |
| | Klinge, Kernkantenrest | 1 | 1.72 | | |
| | Klinge, Kortexkante | 1 | 1.72 | | |
| Lamelle | Lamelle, einfach | 5 | 8.62 | 6.00 | 10.34 |
| | Lamelle, Kernkante | 1 | 1.72 | | |
| sonstiges | Trümmer, Schlag | 2 | 3.45 | 11.00 | 18.97 |
| | nicht erkennbar | 9 | 15.52 | | |
| Gesamt | | 58 | 100.00 | 58.00 | 100 |

Tab. 10.2.3. Buran-Kaya III, Schicht E. Modifizierte Grundformen.

| Buran-Kaya III, Schicht E: formale Geräte (mit Kernen) | Gerätetyp | N | % | Ge2 | Ge3 |
|--|--|------|--------|-----|-----|
| Funktionsende | Kratzer, einfach | 1 | 1.72 | | |
| | Klingenkratzer, einfach | 1 | 1.72 | | |
| | "Kostenki-Ende" / "Kielkratzer" | 1 | 1.72 | | |
| Arbeitskante | Schaber, einfach | 8 | 13.79 | | 1 |
| | lateral retuschierte Klinge, einfach | 6 | 10.34 | 1 | 1 |
| | lateral retuschiert, einfach | 6 | 10.34 | | |
| | gezählter Abschlag | 2 | 3.45 | | |
| | gezähnte Klinge | 2 | 3.45 | | |
| | lateral retuschiert, gezähntes Stück | 2 | 3.45 | | |
| | gekerbter Abschlag | 4 | 6.90 | | 3 |
| | gekerbte Klinge | 2 | 3.45 | 1 | |
| | Biface (Spitzenfragment?) | 1 | 1.72 | | |
| | Mikrolith: retuschierte Lamelle, einfach | 1 | 1.72 | | |
| | Mikrolith: lateral retuschierte Lamelle, beidseitig; gezähnt | 1 | 1.72 | | |
| Mikrolith: lateral retuschierte Lamelle, beidseitig; gekerbt | 1 | 1.72 | | | |
| sonstiges | GMS, Ge2 | 5 | 8.62 | | |
| | GMS, Ge3 | 5 | 8.62 | | |
| Kombinationsgeräte | Kratzer, einfach; lateral retuschiert, einfach | 1 | 1.72 | | |
| | Kratzer, Hoch-/ Kiel-; gezähnt | 1 | 1.72 | | |
| | Kratzer, Hoch-/ Kiel-; gezähnt; Schaber, einfach | 1 | 1.72 | | |
| | Endretusche, gerade; gezähnt | 1 | 1.72 | | |
| | Schaber, einfach; gezähnt | 1 | 1.72 | | |
| | lateral retuschiert, einfach; gezähnt | 1 | 1.72 | | |
| | lateral retuschierte Klinge, einfach; gekerbt | 3 | 5.17 | | |
| Gesamt | | 58 | 100.00 | 2 | 5 |

Tab. 10.2.4. Buran-Kaya III, Schicht E. Formale Geräte.

| Buran-Kaya III, Schicht E: Schlagflächenrest - alle Artefakte | N | % |
|--|------------|---------------|
| ohne | 41 | 33.88 |
| gesplittert | 16 | 13.22 |
| facettiert | 16 | 13.22 |
| glatt | 11 | 9.09 |
| Kortex | 6 | 4.96 |
| Kluft | 2 | 1.65 |
| Bruch | 3 | 2.48 |
| dièdre | 3 | 2.48 |
| gratförmig | 10 | 8.26 |
| punktförmig | 8 | 6.61 |
| sonstiges | 4 | 3.31 |
| keine Angabe | 1 | 0.83 |
| Gesamt | 121 | 100.00 |

Tab. 10.2.5. Buran-Kaya III, Schicht E. Schlagmerkmal Schlagflächenrest. Alle untersuchten Grundformen, inklusive Kerne und formale Geräte.

| Buran-Kaya III, Schicht E: Schlagflächenrest - Abschläge & Absplisse < 3 cm | N | % |
|---|-----------|---------------|
| ohne | 13 | 22.41 |
| facettiert | 9 | 15.52 |
| glatt | 5 | 8.62 |
| Kortex | 5 | 8.62 |
| Kluft | 1 | 1.72 |
| gesplittert | 9 | 15.52 |
| punktförmig | 3 | 5.17 |
| dièdre | 3 | 5.17 |
| gratförmig | 6 | 10.34 |
| sonstiges | 4 | 6.90 |
| Gesamt | 58 | 100.00 |

Tab. 10.2.6. Buran-Kaya III, Schicht E. Schlagmerkmal Schlagflächenrest. Abschläge.

| Buran-Kaya III, Schicht E: Schlagflächenrest - Klingen | N | % |
|---|----------|----------|
| ohne | 12 | 34.29 |
| facettiert | 7 | 20.00 |
| glatt | 4 | 11.43 |
| Kortex | 1 | 2.86 |
| Kluft | 1 | 2.86 |
| gesplittert | 6 | 17.14 |
| punktförmig | 2 | 5.71 |
| gratförmig | 1 | 2.86 |
| sonstiges | 1 | 2.86 |
| Gesamt | 35 | 100.00 |

Tab. 10.2.7. Buran-Kaya III, Schicht E. Schlagmerkmal Schlagflächenrest. Klingen.

| Buran-Kaya III, Schicht E: Schlagflächenrest - Lamellen | N | % |
|--|----------|----------|
| ohne | 3 | 33.33 |
| gesplittert | 1 | 11.11 |
| punktförmig | 2 | 22.22 |
| gratförmig | 3 | 33.33 |
| Gesamt | 9 | 100.00 |

Tab. 10.2.8. Buran-Kaya III, Schicht E. Schlagmerkmal Schlagflächenrest. Lamellen.

| Schlaglippe - Grundformen (inklusive Kernen & Geräten) | N | % |
|---|----------|----------|
| mit Lippe | 10 | 8.26 |
| ohne Lippe | 72 | 59.50 |
| keine Angabe | 39 | 32.23 |
| Gesamt | 121 | 100.00 |

Tab. 10.2.9. Buran-Kaya III, Schicht E. Schlagmerkmal Schlaglippe. Alle untersuchten Grundformen.

| Bulbus - Grundformen (inkl. Kerne & Formale Geräte) | N | % |
|--|------------|---------------|
| mit Bulbus | 67 | 55.37 |
| ohne Bulbus | 7 | 5.79 |
| Bulbus ausgesplittert | 8 | 6.61 |
| keine Angabe | 39 | 32.23 |
| Gesamt | 121 | 100.00 |

Tab. 10.2.10. Buran-Kaya III, Schicht E. Schlagmerkmal Bulbus. Alle untersuchten Grundformen.

| Buran-Kaya III, Schicht E: Profil - alle Grundformen (inklusive Kerne & Geräte) | N | % |
|--|------------|---------------|
| gerade | 78 | 64.46 |
| gebogen | 19 | 15.70 |
| tordiert | 2 | 1.65 |
| keine Angabe | 22 | 18.18 |
| Gesamt | 121 | 100.00 |

Tab. 10.2.11. Buran-Kaya III, Schicht E. Schlagmerkmal Profil. Alle untersuchten Grundformen.

| Buran-Kaya III, Schicht E: Profil - alle Kligen | N | % |
|--|-----------|---------------|
| gerade | 24 | 68.57 |
| gebogen | 10 | 28.57 |
| tordiert | 1 | 2.86 |
| Gesamt | 35 | 100.00 |

Tab. 10.2.12. Buran-Kaya III, Schicht E. Schlagmerkmal Profil. Kligen.

| Buran-Kaya III, Schicht E: Profil - Abschläge | N | % |
|--|-----------|---------------|
| gerade | 40 | 72.73 |
| gebogen | 4 | 7.27 |
| tordiert | 0 | 0.00 |
| keine Angabe | 11 | 20.00 |
| Gesamt | 55 | 100.00 |

Tab. 10.2.13. Buran-Kaya III, Schicht E. Schlagmerkmal Profil. Abschläge.

| Buran-Kaya III, Schicht E: Profil - Formüberarbeitungs- Abschläge | N | % |
|--|----------|---------------|
| gerade | 2 | 40.00 |
| gebogen | 2 | 40.00 |
| tordiert | 0 | 0.00 |
| keine Angabe | 1 | 20.00 |
| Gesamt | 5 | 100.00 |

Tab. 10.2.14. Buran-Kaya III, Schicht E. Schlagmerkmal Profil. Formüberarbeitungs-Abschläge.

| Buran-Kaya III, Schicht E: Profil - alle Klingen | N | % |
|---|-----------|---------------|
| gerade | 24 | 68.57 |
| gebogen | 10 | 28.57 |
| tordiert | 1 | 2.86 |
| Gesamt | 35 | 100.00 |

Tab. 10.2.15. Buran-Kaya III, Schicht E. Schlagmerkmal Profil. Klingen.

| Buran-Kaya III, Schicht E: Profil - Lamellen | N | % |
|---|----------|----------|
| gerade | 6 | 66.67 |
| gebogen | 2 | 22.22 |
| tordiert | 1 | 11.11 |
| Gesamt | 9 | 100.00 |

Tab. 10.2.16. Buran-Kaya III, Schicht E. Schlagmerkmal Profil. Lamellen.

| Buran-Kaya III, Schicht D: Kerne | N | % |
|---|----------|----------|
| Abschlagkern, bipolar | 1 | 100 |
| Gesamt | 1 | 100 |

Tab. 10.3.1. Buran-Kaya III, Schicht D. Kerne.

| Grundforme (inklusive formaler Geräte) | | Abschlag, einfach | Abschlag, Breit- | Abschlag, Kernkante | Abschlag, Kernkantenrest | Abschlag, Kortexkante | Abschlag, Formüberarbeitung? | Abspliss, einfach | Klinge, einfach | Klinge, Kernkantenrest | Klinge, Kortexkante | Lamelle, einfach | Trümmer, Schlag | nicht erkennbar | Gesamt |
|---|---|--------------------------------------|------------------|---------------------|--------------------------|-----------------------|------------------------------|-------------------|-----------------|------------------------|---------------------|------------------|-----------------|-----------------|--------|
| | | Buran-Kaya III, Schicht D | N | 14 | 1 | 2 | 1 | 1 | 1 | 11 | 3 | 1 | 2 | 1 | 2 |
| | % | 32.6 | 2.33 | 4.65 | 2.33 | 2.33 | 2.33 | 25.6 | 6.98 | 2.33 | 4.65 | 2.33 | 4.65 | 6.98 | 100 |
| | N | 31 | | | | | | 6 | | | 1 | 5 | 43 | | |
| | % | 72.11 | | | | | | 13.96 | | | 2.33 | 11.63 | 100 | | |

Tab. 10.3.2. Buran-Kaya III, Schicht D. Grundformen.

| Buran-Kaya III, Schicht D: modifizierte Grundformen | N | % | N | % | | |
|--|----------|----------|----------|----------|----|-------|
| Abschlag, einfach | 11 | 47.83 | | | | |
| Abschlag, Breit | 1 | 4.35 | | | | |
| Präparationsabschlag, Kernkante | 1 | 4.35 | | | | |
| Präparationsabschlag, Kortexkante | 1 | 4.35 | | | | |
| Abspliss, einfach | 4 | 17.39 | | | 18 | 78.26 |
| Klinge, einfach | 3 | 13.04 | | | | |
| Klinge, Kernkantenrest | 1 | 4.35 | | | 4 | 17.39 |
| nicht erkennbar | 1 | 4.35 | 1 | 4.35 | | |
| Gesamt | 23 | 100.00 | 23 | 100 | | |

Tab. 10.3.3. Buran-Kaya III, Schicht D. Modifizierte Grundformen.

| Buran-Kaya III, Level D: formale Geräte | N | % | N | % |
|---|----------|----------|----------|----------|
| Kratzer, einfach | 1 | 4.35 | 1 | 4.35 |
| lateral retuschiert, einfach | 9 | 39.13 | | |
| lateral retuschiert, beidseitig | 2 | 8.70 | | |
| lateral retuschiert, gezähnt | 2 | 8.70 | | |
| lateral retuschiert, gekerbt | 1 | 4.35 | 14 | 60.87 |
| Ge2 | 1 | 4.35 | | |
| Ge3 | 4 | 17.39 | 5 | 21.74 |
| Endretusche, schräg; gezähnt; gekerbt | 1 | 4.35 | 1 | 4.35 |
| Endretusche, gerade; lateral retuschiert, einfach | 1 | 4.35 | 1 | 4.35 |
| lateral retuschiert, einfach; gekerbt | 1 | 4.35 | 1 | 4.35 |

Tab. 10.3.4. Buran-Kaya III, Schicht D. Formale Geräte

| Buran-Kaya III, Schicht D: Schlagflächenreste - alle Artefakte | N | % |
|---|----------|----------|
| ohne | 15 | 34.88 |
| facettiert | 2 | 4.65 |
| glatt | 9 | 20.93 |
| Kortex | 1 | 2.33 |
| gesplittert | 6 | 13.95 |
| punktförmig | 1 | 2.33 |
| dièdre | 1 | 2.33 |
| gratförmig | 3 | 6.98 |
| Bruch | 1 | 2.33 |
| sonstiges | 4 | 9.30 |
| Gesamt | 43 | 100.00 |

Tab. 10.3.5. Buran-Kaya III, Schicht D. Merkmal Schlagflächenrest. Alle Grundformen.

| Buran-Kaya III, Schicht D: Schlaglippe | mit Lippe | ohne Lippe | keine Angabe | Gesamt |
|---|------------------|-------------------|---------------------|---------------|
| N | 11 | 16 | 16 | 43 |
| % | 25.58 | 37.21 | 37.21 | 100 |

Tab. 10.3.6. Buran-Kaya III, Schicht D. Merkmal Schlaglippe. Alle Grundformen.

| Buran-Kaya III, Schicht D: Bulbus | mit Bulbus | ohne Bulbus | Bulbus ausgesplittert | keine Angabe | Gesamt |
|--|-------------------|--------------------|------------------------------|---------------------|---------------|
| N | 20 | 4 | 3 | 16 | 43 |
| % | 46.51 | 9.3 | 6.98 | 37.21 | 100 |

Tab. 10.3.7. Buran-Kaya III, Schicht D. Merkmal Bulbus. Alle Grundformen.

| Buran-Kaya III, Schicht D: Profil | gerade | gebogen | tordiert | keine Angabe | Gesamt |
|--|---------------|----------------|-----------------|---------------------|---------------|
| N | 25 | 6 | 0 | 12 | 43 |
| % | 58.14 | 13.95 | 0 | 27.91 | 100 |

Tab. 10.3.8. Buran-Kaya III, Schicht D. Merkmal Profil. Alle Grundformen.

| Buran-Kaya III, Level C: Stücke mit Kernfunktion | Typ | N | % | N | % |
|---|---------------------------------|---|--------|---|-------|
| Abschlagkerne | Abschlagkern, bipolar | 1 | 12.50 | 3 | 37.50 |
| | Abschlagkern, 2 Abbauf Flächen* | 2 | 25.00 | | |
| Sonstiges | Rohstück | 3 | 37.50 | 5 | 62.50 |
| | Kerntrümmer, Schlag** | 1 | 12.50 | | |
| | Kerntrümmer, Schlag / Preform? | 1 | 12.50 | | |
| Gesamt | | 8 | 100.00 | 8 | 100 |

* 1 Stück könnte eine bifaziale Preform sein

** 3 getestete und nicht abgebaute Rohstücke

Tab. 10.4.1. Buran-Kaya III, Schicht C. Artefakte mit Kernfunktion.

| Buran-Kaya III, Level C: Grundformen (inklusive formaler Geräte & Kerne) | Grundform | N | % | N | % |
|--|-----------------------------------|-----|--------|-----|-------|
| Abschlag | Abschlag, einfach | 45 | 13.08 | 250 | 72.67 |
| | Abschlag, Breit- | 8 | 2.33 | | |
| | Präparationsabschlag, Kernkante | 1 | 0.29 | | |
| | Präparationsabschlag, Kortexkante | 2 | 0.58 | | |
| | Abschlag, Formüberarbeitung | 107 | 31.10 | | |
| | Abschlag, Nachschärfung | 2 | 0.58 | | |
| | Abspliss, einfach | 85 | 24.71 | | |
| Klinge | Klinge, einfach | 11 | 3.20 | 15 | 4.36 |
| | Klinge, Kernkante | 1 | 0.29 | | |
| | Klinge, Kernkantenrest | 3 | 0.87 | | |
| Lamelle / Microblade | Lamelle, einfach | 8 | 2.33 | 13 | 3.78 |
| | Lamelle, Kernkante | 1 | 0.29 | | |
| | Microblade | 4 | 1.16 | | |
| Sonstiges | Trümmer, Schlag | 6 | 1.74 | 66 | 19.19 |
| | Abspliss, Retuschier- | 1 | 0.29 | | |
| | Preform, unifaziell* | 2 | 0.58 | | |
| | Preform, bifaziell* | 22 | 6.40 | | |
| | nicht erkennbar | 29 | 8.43 | | |
| | keine Angabe** | 6 | 1.74 | | |
| GESAMT | | 344 | 100.00 | 344 | 100 |

*an Rohstücken gefertigte uni- und bifaziale Geräte

**darunter befinden sich 3 getestete Rohstücke

Tab. 10.4.2. Buran-Kaya III, Schicht C. Grundformen.

| Buran-Kaya III, Schicht C: Gerätetypen | Gerät | N | % | Ge2 | Ge3 |
|---|---|------|--------|-----|-----|
| Funktionsende | Kratzer, einfach | 3 | 3.09 | | |
| | Kratzer, einfach; Ge2 | 1 | 1.03 | 1 | |
| | Klingenkratzer | 1 | 1.03 | | |
| | Kratzer, einfach an Biface | 1 | 1.03 | | |
| | Endretusche, gerade | 1 | 1.03 | | |
| | Endretusche, schräg | 1 | 1.03 | | |
| Stichel | Stichel, an Endretusche | 1 | 1.03 | | |
| Arbeitskante | Schaber, einfach | 5 | 5.15 | | |
| | lateral retuschiert, einfach; lateral retuschiert, gezähntes Stück | 4 | 4.12 | | |
| | lateral retuschiert, beidseitig | 1 | 1.03 | | |
| | Schaber, Spitz- | 1 | 1.03 | | |
| | Schaber, Spitz- (bifaziell) | 1 | 1.03 | | |
| | Spitze, einfach (unifaziell) | 2 | 2.06 | | |
| | Spitze, Blattspitze | 13 | 13.40 | 1 | |
| | Keilmesser, Klausennische | 1 | 1.03 | 1 | |
| | Keilmesser, Bockstein | 1 | 1.03 | | |
| | Uniface | 1 | 1.03 | | |
| | Biface | 12 | 12.37 | | |
| Restbiface | 1 | 1.03 | | | |
| Mikrolith | Mikrolith | 7 | 7.22 | | 7 |
| | Mikrolith (unifaziell) | 1 | 1.03 | | |
| | Mikrolith (bifaziell) | 5 | 5.15 | | |
| | Mikrolith: Endretusche, gerade; Mikrolith | 5 | 5.15 | | |
| | Mikrolith: Kratzer, einfach | 1 | 1.03 | | |
| | Mikrolith: Bohrer | 1 | 1.03 | | |
| | Mikrolith: lateral retuschiert, einfach | 2 | 2.06 | | 1 |
| | Mikrolith: lateral retuschiert, einfach (bifaziell) | 1 | 1.03 | | |
| sonstiges | ausgesplittertes Stück | 1 | 1.03 | | |
| | GMS, Ge2 | 3 | 3.09 | | |
| | ? | 1 | 1.03 | | |
| Kombinationsgeräte | Kratzer, einfach; lateral retuschiert, einfach | 4 | 4.12 | | |
| | Kratzer, einfach; lateral retuschiert, umlaufend | 1 | 1.03 | | |
| | Kratzer, einfach; an Restbiface | 1 | 1.03 | | |
| | Endretusche, gerade; Spitze, einfach | 1 | 1.03 | | |
| | Stichel, Kiel-; Schaber, einfach; sekundäre Lamellenegative ("Kielstichel") | 1 | 1.03 | | |
| | Biface; sekundäre Lamellenegative ("Kielstichel") | 1 | 1.03 | | |
| | Spitze, Blattspitze; sekundär: Stichel, an Bruchfläche | 1 | 1.03 | | |
| | lateral retuschiert, einfach; lateral retuschiert, gezähntes Stück | 1 | 1.03 | | |
| | Schaber, einfach; lateral retuschiert, gezähntes Stück (bifaziell) | 1 | 1.03 | | |
| | Biface; Spitze, einfach | 2 | 2.06 | | |
| | Spitze, Blattspitze; Keilmesser, Klausennische | 3 | 3.09 | | |
| Gesamt | | 97 | 100.00 | 3 | 8 |

Tab. 10.4.3. Buran-Kaya III, Schicht C. Formale Geräte.

| Buran-Kaya III, Schicht C: Modifikationsmodus | N | % | N |
|--|----|--------|----|
| einfach | 45 | 46.39 | 45 |
| unifaziell | 4 | 4.12 | 4 |
| bifaziell | 46 | 47.42 | 46 |
| keine Angabe | 2 | 2.06 | 0 |
| Gesamt | 97 | 100.00 | 95 |

Tab. 10.4.4. Buran-Kaya III, Schicht C. Modifizierte Grundformen

| Buran-Kaya III, Schicht C: Modifikationsmodus | N | % |
|--|-----------|---------------|
| einfach (non-mikrolithisch) | 29 | 29.90 |
| uni-/bifaziell (non-mikrolithisch) | 42 | 43.30 |
| Mikrolith | 23 | 23.71 |
| keine Angabe | 2 | 2.06 |
| Gesamt | 97 | 100.00 |

Tab. 10.4.5. Buran-Kaya III, Schicht C. Modifizierte Grundformen

| Buran-Kaya III, Level C: modifizierte Grundformen | Grundform | N | % | N | % |
|--|-----------------------------------|-----------|---------------|-----------|------------|
| Abschlag | Abschlag, einfach | 14 | 14.43 | 44 | 45.36 |
| | Präparationsabschlag, Kortexkante | 1 | 1.03 | | |
| | Abspliss, einfach | 21 | 21.65 | | |
| | Abschlag, Formüberarbeitung | 7 | 7.22 | | |
| | Abschlag, Nachschärfung | 1 | 1.03 | | |
| Klinge | Klinge, einfach | 1 | 1.03 | 1 | 1.03 |
| Sonstiges | Trümmer, Schlag | 2 | 2.06 | 52 | 53.61 |
| | nicht erkennbar | 50 | 51.55 | | |
| Gesamt | | 97 | 100.00 | 97 | 100 |

Tab. 10.4.6. Buran-Kaya III, Schicht C. Modifizierte Grundformen

| Mittelpaläolithische Formen mit Affinität zum Micoquien | | |
|--|-----------|---------------|
| Typ | N | % |
| Schaber, Spitz- | 2 | 2.06 |
| Spitze, einfach | 1 | 1.03 |
| Keilmesser, Bockstein | 1 | 1.03 |
| Biface | 13 | 13.40 |
| Restbiface | 1 | 1.03 |
| Endretusche, gerade; Spitze, einfach | 1 | 1.03 |
| Biface; Spitze, einfach | 3 | 3.09 |
| Spitze, Blattspitze; Keilmesser, Klausennische | 3 | 3.09 |
| Keilmesser, Klausennische; Ge2 | 1 | 1.03 |
| Biface; sekundäre Lamellenegative ("Kielstichel") | 1 | 1.03 |
| Anteil am Gesamtinventar | 27 | 27.84 |
| Gesamt | 97 | 100.00 |

Tab. 10.4.7. Buran-Kaya III, Schicht C. „Mittelpaläolithische“ Geräteformen.

| Jungpaläolithische Formen | | |
|--|----|--------|
| Typ | N | % |
| Kratzer, einfach | 6 | 6.19 |
| Mikrolith | 13 | 13.40 |
| Stichel, an Endretusche | 1 | 1.03 |
| Kratzer, einfach; lateral retuschiert, einfach | 4 | 4.12 |
| Kratzer, einfach; lateral retuschiert, umlaufend | 1 | 1.03 |
| Kratzer, einfach; Restbiface | 1 | 1.03 |
| Kratzer, einfach; Mikrolith | 1 | 1.03 |
| Bohrer; Mikrolith | 1 | 1.03 |
| Endretusche, gerade; Mikrolith | 5 | 5.15 |
| lateral retuschiert, einfach; Mikrolith; Ge3 | 1 | 1.03 |
| lateral retuschiert, einfach; Mikrolith | 2 | 2.06 |
| Anteil am Gesamtinventar | 36 | 37.11 |
| Gesamt | 97 | 100.00 |

Tab. 10.4.8. Buran-Kaya III, Schicht C. „Jungpaläolithische“ Geräteformen.

| Blattspitzen | | |
|--|----|--------|
| Typ | N | |
| Spitze, Blattspitze | 12 | 12.37 |
| Spitze, Blattspitze | 1 | 1.03 |
| Spitze, Blattspitze; Stichel, an Bruchfläche | 1 | 1.03 |
| Anteil am Gesamtinventar | 14 | 14.43 |
| Gesamt | 97 | 100.00 |

Tab. 10.4.9. Buran-Kaya III, Schicht C. Blattspitzen mit Affinität zur Streletskaya-Industrie.

| Retusche_Kanten | N | % |
|--|----------|----------|
| distal | 1 | 2.17 |
| links lateral | 4 | 8.70 |
| basal | 1 | 2.17 |
| rechts lateral | 3 | 6.52 |
| nicht erkennbar | 10 | 21.74 |
| distal, links lateral | 1 | 2.17 |
| distal, linkslateral, basal | 2 | 4.35 |
| distal, links lateral, basal, rechts lateral | 1 | 2.17 |
| distal, links lateral, rechts lateral | 10 | 21.74 |
| distal, basal | 1 | 2.17 |
| distal, rechts lateral | 1 | 2.17 |
| links lateral, basal, rechts lateral | 2 | 4.35 |
| links lateral, rechts lateral | 9 | 19.57 |
| Gesamt | 46 | 100.00 |

Tab. 10.4.10. Buran-Kaya III, Schicht C. Position der modifizierten Kanten an einfach kantennah retuschierten Geräten.

| Retuschierte Fläche | N | % |
|----------------------------|----------|----------|
| dorsal | 28 | 62.22 |
| ventral | 3 | 6.67 |
| dorsal/ ventral | 9 | 20.00 |
| nicht erkennbar | 5 | 11.11 |
| Gesamt | 45 | 100.00 |

Tab. 10.4.11. Buran-Kaya III, Schicht C. Modifizierte Flächen einfach kantennah retuschierter Geräte.

| Winkel derArbeitskanten | N | % |
|--------------------------------|----------|----------|
| flach | 5 | 11.11 |
| halbsteil | 21 | 46.67 |
| steil | 11 | 24.44 |
| flach, halbsteil | 3 | 6.67 |
| halbsteil, steil | 2 | 4.44 |
| nicht erkennbar | 3 | 6.67 |
| Gesamt | 45 | 100.00 |

Tab. 10.4.12. Buran-Kaya III, Schicht C. Winkel der Arbeitskanten einfach kantennah retuschierter Geräte.

| Schlagflächenrest | N | % |
|-------------------|-----|--------|
| Bruch | 5 | 2.06 |
| facettiert | 49 | 20.16 |
| geknickt | 17 | 7.00 |
| gesplittert | 15 | 6.17 |
| glatt | 32 | 13.17 |
| gratförmig | 79 | 32.51 |
| Kluft | 2 | 0.82 |
| Kortex | 12 | 4.94 |
| punktförmig | 32 | 13.17 |
| Gesamt | 243 | 100.00 |

Tab. 10.4.13. Buran-Kaya III, Schicht C. Merkmal Schlagflächenrest. Alle Grundformen (inklusive Kerne & Geräte).

| Schlaglippe | N | % |
|-------------|-----|--------|
| mit Lippe | 174 | 69.88 |
| ohne Lippe | 75 | 30.12 |
| Gesamt | 249 | 100.00 |

Tab. 10.4.14. Buran-Kaya III, Schicht C. Merkmal Schlaglippe. Alle Grundformen (inklusive Kerne & Geräte).

| Bulbus | N | N |
|-----------------------|-----|--------|
| mit Bulbus | 147 | 59.27 |
| ohne Bulbus | 86 | 34.68 |
| Bulbus ausgesplittert | 15 | 6.05 |
| Gesamt | 248 | 100.00 |

Tab. 10.4.15. Buran-Kaya III, Schicht C. Merkmal Bulbus. Alle Grundformen (inklusive Kerne & Geräte).

| Profil | N | % |
|----------|-----|--------|
| gerade | 167 | 64.73 |
| gebogen | 85 | 32.95 |
| tordiert | 6 | 2.33 |
| Gesamt | 258 | 100.00 |

Tab. 10.4.16. Buran-Kaya III, Schicht C. Merkmal Profil. Alle Grundformen (inklusive Kerne & Geräte).

| Siuren 1, Level H: Kerne | Typ | N | % | N | % |
|--|------------------------|---|-------|---|-------|
| Klingenkern | Klingenkern, bipolar | 1 | 14,29 | 1 | 14,29 |
| Lamellenkern | Lamellenkern, einfach* | 3 | 42,86 | 4 | 57,14 |
| | Lamellenkern, mehrfach | 1 | 14,29 | | |
| Sonstiges | Kerntrümmer, Schlag** | 1 | 14,29 | 2 | 28,57 |
| | nicht erkennbar | 1 | 14,29 | | |
| Gesamt | | 7 | 100 | 7 | 100 |
| *darunter 1 Kielkratzer & 1 Nasenkratzer | | | | | |
| **Schaber, einfach | | | | | |

Tab. 11.2.1. Siuren 1, Schicht H. Kerne.

| Siuren 1, Level H: Grundformen (mit formalen Geräten & Kernen) | Grundform | N | % | N | % |
|--|--------------------------------------|-----|-------|-----|-------|
| Abschlag | Abschlag, einfach | 16 | 7,31 | 52 | 23,74 |
| | Abschlag, Breit- | 3 | 1,37 | | |
| | Präparationsabschlag, Kernkante | 5 | 2,28 | | |
| | Präparationsabschlag, Kernkantenrest | 1 | 0,46 | | |
| | Präparationsabschlag, Kortexkante | 1 | 0,46 | | |
| | Abschlag, Formüberarbeitung | 7 | 3,20 | | |
| | Abspliss, einfach | 19 | 8,68 | | |
| Klinge | Klinge, einfach | 23 | 10,50 | 37 | 16,89 |
| | Klinge, Kernkante | 6 | 2,74 | | |
| | Klinge, Kernkantenrest | 4 | 1,83 | | |
| | Klinge, Kortexkante | 4 | 1,83 | | |
| Lamelle / Microblade | Lamelle, einfach | 56 | 25,57 | 105 | 47,95 |
| | Lamelle, Kernkante | 8 | 3,65 | | |
| | Mikroklingen | 34 | 15,53 | | |
| | Lamelle, Stichel | 7 | 3,20 | | |
| Sonstiges | Kernscheibe | 5 | 2,28 | 25 | 11,42 |
| | Abspliss, Retuschier- | 6 | 2,74 | | |
| | Trümmer, Schlag | 1 | 0,46 | | |
| | nicht erkennbar | 7 | 3,20 | | |
| | keine Angabe | 6 | 2,74 | | |
| GESAMT | | 219 | 100 | 219 | 100 |

Tab. 11.2.2. Siuren 1, Schicht H. Grundformen

| Level H: modifizierte Grundformen | | Kratzer, einfach | Kratzer, Hoch-/Kiel- | Kratzer, Nasen- | Stichel, Kiel- | Stichel an Endretusche | lateral retuschiert, einfach | lateral retuschiert, beidseitig | lateral retuschiert, gezähnt | lateral retuschiert, gekerbt | alternierend, Dufour-Lamelle | bi-lateral, dorsal, Pseudo-Dufour-Lamelle | Schaber, einfach | Schaber, Breit- | Schaber, Winkel- | Schaber, Spitz | Spitze, Font-Yves- | Kombinationsgerät** | Gesamt | | | |
|-----------------------------------|-----------------|------------------|----------------------|-----------------|----------------|------------------------|------------------------------|---------------------------------|------------------------------|------------------------------|------------------------------|---|------------------|-----------------|------------------|----------------|--------------------|---------------------|---------------|----|------|------|
| n | | 1 | 1 | 1 | 1 | 1 | 16 | 1 | 1 | 3 | 31 | 4 | 2 | 1 | 1 | 1 | 1 | 3 | 1 | 70 | | |
| % | | 1,43 | 1,43 | 1,43 | 1,43 | 1,43 | 22,9 | 1,43 | 1,43 | 4,29 | 44,3 | 5,71 | 2,86 | 1,43 | 1,43 | 1,43 | 4,29 | 1,43 | 100 | % | | |
| Grundform | Abschlag | | 1 | 1 | 1 | | | | | 2 | | | 1 | 1 | 1 | 1 | | | | 9 | 12,9 | |
| | Klinge | 1 | | | | 1 | 3 | | | | | | | | | | | | | | 5 | 7,14 |
| | Lamelle | | | | | | 1 | 1 | | | 16 | 1 | | | | | | 1 | | | 20 | 28,6 |
| | Mikroklinge | | | | | | 4 | | 1 | | 15 | 3 | | | | | | 2 | | | 25 | 35,7 |
| | Stichellamelle | | | | | | 3 | | | | | | | | | | | | | | 3 | 4,29 |
| | nicht erkennbar | | | | | | | 5 | | | | | | | | | | | | 1 | 6 | 8,57 |
| | Trümmer, Schlag | | | | | | | | | | | | 1 | | | | | | | | 1 | 1,43 |
| | Abspliss | | | | | | | | | | 1 | | | | | | | | | | 1 | 1,43 |
| | | | | | | | | | | | | | | | | | | | Gesamt | 70 | 100 | |

*Kombinationsgerät = Stichel, Mehrschlag- (bipolar / Doppel-) mit lateraler Zählung

Tab. 11.2.3. Siuren 1, Schicht H. Modifizierte Grundformen.

| Siuren 1, Schicht H: formale Geräte | Gerätetyp | N | % | Ge2 | N | % |
|-------------------------------------|--|------|--------|-----|----|--------|
| Funktionsende | Klingenkratzer, einfach | 1 | 1,43 | | 3 | 4,29 |
| | Kratzer, Hoch-/Kiel- | 1 | 1,43 | | | |
| | Kratzer, Nasen- | 1 | 1,43 | | | |
| Stichel | Stichel, Kiel- | 1 | 1,43 | | 2 | 2,86 |
| | Klingenstichel an Endretusche | 1 | 1,43 | | | |
| Arbeitskante | Schaber, einfach | 2 | 2,86 | | 64 | 91,43 |
| | Schaber, Breit- | 1 | 1,43 | | | |
| | Schaber, Winkel- | 1 | 1,43 | | | |
| | lateral retuschiert, einfach | 5 | 7,14 | 1 | | |
| | retuschierte Klinge, einfach | 3 | 4,29 | 1 | | |
| | retuschierte Lamelle, einfach | 2 | 2,86 | | | |
| | retuschierte Microblade, einfach | 4 | 5,71 | | | |
| | retuschierte Stichellamelle, einfach | 3 | 4,29 | | | |
| | Dufour-Lamelle | 16 | 22,86 | | | |
| | Dufour-Microblade | 15 | 21,43 | | | |
| | bi-lateral, dorsal, Pseudo-Dufour-Lamelle | 1 | 1,43 | | | |
| | bi-lateral, dorsal, Pseudo-Dufour-Microblade | 3 | 4,29 | | | |
| | Spitze, Font-Yves- | 2 | 2,86 | | | |
| | Spitze, Font-Yves-, alternierend retuschiert | 1 | 1,43 | | | |
| | gezähnte Kernscheibe | 1 | 1,43 | | | |
| | gekerbter Abschlag | 3 | 4,29 | | | |
| Spitze, einfach | 1 | 1,43 | | | | |
| Kombinationsgerät | Stichel, Mehrschlag- (dihedral); gezähnt | 1 | 1,43 | | 1 | 1,43 |
| Gesamt | | 70 | 100,00 | 2 | 70 | 100,01 |

Tab. 11.2.4. Siuren 1, Schicht H. Formale Geräte.

| Siuren 1, Schicht Gd: Kerne | Typ | N | % | N | % |
|--------------------------------|---------------------------------|---|-----|---|----|
| Klingen-/Lamellenkern | Klingen-/Lamellenkern, mehrfach | 1 | 20 | 2 | 40 |
| | Klingen-/Lamellenkern, einfach | 1 | 20 | | |
| Lamellenkern | Lamellenkern, einfach* | 1 | 20 | 3 | 60 |
| | Lamellenkern, bipolar | 1 | 20 | | |
| | Lamellenkern, mehrfach* | 1 | 20 | | |
| Gesamt | | 5 | 100 | | |
| *Kielkratzer | | | | | |

Tab. 11.2.5. Siuren 1, Schicht Gd. Kerne.

| Siuren 1, Level Gd: Grundformen (inklusive formaler Geräte & Kernen) | Grundform | N | % | N | % |
|---|--------------------------------------|-----|-------|-----|-------|
| Abschlag | Abschlag, einfach | 21 | 8,68 | 69 | 28,51 |
| | Abschlag, Breit- | 2 | 0,83 | | |
| | Präparationsabschlag, Kernkante | 1 | 0,41 | | |
| | Präparationsabschlag, Kernkantenrest | 5 | 2,07 | | |
| | Abschlag, Formüberarbeitung | 4 | 1,65 | | |
| | Abspliss, einfach | 36 | 14,88 | | |
| Klinge | Klinge, einfach | 22 | 9,09 | 33 | 13,64 |
| | Klinge, Kernkante | 8 | 3,31 | | |
| | Klinge, Kortexkante | 3 | 1,24 | | |
| Lamelle / Microblade | Lamelle, einfach | 42 | 17,36 | 123 | 50,83 |
| | Lamelle, Kernkante | 2 | 0,83 | | |
| | Lamelle, Kortexkante | 2 | 0,83 | | |
| | Lamelle, Stichel | 1 | 0,41 | | |
| | Microblade | 76 | 31,40 | | |
| Sonstiges | Kernscheibe | 5 | 2,07 | 17 | 7,02 |
| | Abspliss, Retuschier- | 1 | 0,41 | | |
| | Trümmer, Schlag | 4 | 1,65 | | |
| | nicht erkennbar | 6 | 2,48 | | |
| | fehlender Wert | 1 | 0,41 | | |
| GESAMT | | 242 | 100 | 242 | 100 |

Tab. 11.2.6. Siuren 1, Schicht Gd. Grundformen.

| Siuren 1, Level Gd: formale Geräte (inklusive Kernen) | FORMALE GERÄTE | | | | MODIFIKATIONSMODUS | | | |
|---|--|----|-------|----|--------------------|---------|------------|-----------|
| | Typ | N | % | N | % | einfach | unifaziell | bifaziell |
| Funktionsende | Kratzer, Hoch-/Kiel- | 1 | 1,61 | 1 | 1,61 | 1 | | |
| | lateral retuschiert, einfach | | | | | 9 | 2 | |
| | lateral retuschiert, beidseitig | 11 | 17,74 | | | 2 | | |
| | lateral retuschiert, gekerbt | 2 | 3,23 | | | 1 | | |
| | alternierend / Dufour-Lamelle | 1 | 1,61 | | | 32 | | |
| | bilateral-dorsal / Pseudo-Dufour | 32 | 51,61 | | | 5 | | |
| | Schaber, Winkel- | 5 | 8,06 | 52 | 83,87 | | | 1 |
| | Stichel, einfach | 1 | 1,61 | | | 1 | | |
| | Stichel, Mehrschlag- (dihedral) | 1 | 1,61 | | | 1 | | |
| | Stichel, an Endretusche | 1 | 1,61 | 3 | 4,84 | 1 | | |
| Geräte, einfach | Ge2 | 1 | 1,61 | 1 | 1,61 | | | |
| | Kratzer, einfach; lateral retuschiert, umlaufend | 1 | 1,61 | | | 1 | | |
| Funktionsende / Arbeitskante | Endretusche, gerade; lateral retuschiert, gekerbt | 1 | 1,61 | 2 | 3,23 | 1 | | |
| | lateral retuschiert, einfach; lateral retuschiert, gekerbt | 1 | 1,61 | | | 1 | | |
| Kombinationsger | bilateral-dorsal (Pseudo-Dufour); lateral retuschiert, gezähnt | 1 | 1,61 | | | 1 | | |
| | bilateral-dorsal (Pseudo-Dufour); lateral retuschiert, gekerbt | 1 | 1,61 | 3 | 4,84 | 1 | | |
| Gesamt | | 62 | 100 | 62 | 100 | 58 | | 3 |

Tab. 11.2.7. Siuren 1, Schicht Gd. Formale Geräte & Modifikationsmodus.

| Siuren 1, Level I Gd; formale Geräte | Gerätetyp | N | % | Ge2 | Ge3 | N | % |
|---|--|--|--------|------|-----|----|-------|
| Funktionsende | Kratzer, Hoch-/Kiel- | 1 | 1,61 | | | 1 | 1,61 |
| | Stichel, einfach | 1 | 1,61 | | | | |
| | Stichel, Mehrschlag (dihedral) | 1 | 1,61 | | | 3 | 4,84 |
| | Stichel an Endretusche | 1 | 1,61 | | | | |
| Stichel | retuschierte Klinge, beidseitig | 1 | 1,61 | | | | |
| | Mikrolith: retuschierte Lamelle, einfach | 5 | 8,06 | | 1 | | |
| | Mikrolith: retuschierte Microblade, einfach | 4 | 6,45 | | | | |
| | Mikrolith: retuschierte Microblade, beidseitig | 1 | 1,61 | | | | |
| | Mikrolith: Dufour-Lamelle | 7 | 11,29 | | | | |
| | Mikrolith: Dufour-Microblade | 25 | 40,32 | | | 52 | 83,87 |
| | Mikrolith: Pseudo-Dufour-Microblade | 4 | 6,45 | | | | |
| | unifazieller Schaber, einfach | 2 | 3,23 | | | | |
| | unifazieller Schaber, Winkel- | 1 | 1,61 | | | | |
| | gekerbter Abschlag | 1 | 1,61 | | | | |
| | Ge2 | 1 | 1,61 | | | | |
| | Kombinationsgeräte | Kratzer, einfach; lateral retuschiert, umlaufend | 1 | 1,61 | | | 2 |
| Endretusche, gerade; lateral retuschiert, gekerbt | | 1 | 1,61 | | | | |
| retuschierte Lamelle, einfach; lateral retuschiert, gekerbt | | 1 | 1,61 | | | | |
| Pseudo-Dufour-Lamelle; lateral retuschiert, gezähnt | | 2 | 3,23 | | 1 | 4 | 6,45 |
| Pseudo-Dufour-Lamelle; lateral retuschiert, gekerbt | 1 | 1,61 | | | | | |
| Gesamt | | 62 | 100,00 | 0,00 | 2 | 62 | 100 |

Tab. 11.2.8. Siuren 1, Schicht Gd. Formale Geräte.

| Siuren 1, Level Gd: modifizierte Grundformen | Grundform | | | | |
|--|--------------------------------------|----|--------|----|-------|
| | | N | % | N | % |
| Abschlag | Abschlag, einfach | 2 | 3,23 | 4 | 6,45 |
| | Präparationsabschlag, Kernkantenrest | 1 | 1,61 | | |
| | Abspliss, einfach | 1 | 1,61 | | |
| Klinge | Klinge einfach | 5 | 8,06 | 5 | 8,06 |
| Lamelle / Microblade | Lamelle, einfach | 14 | 22,58 | 49 | 79,03 |
| | Lamelle, Kortexkante | 1 | 1,61 | | |
| | Mikroklinge | 34 | 54,84 | | |
| Sonstiges | Trümmer, Schlag | 2 | 3,23 | 4 | 6,45 |
| | nicht erkennbar | 2 | 3,23 | | |
| Gesamt | | 62 | 100,00 | 62 | 100 |

Tab. 11.2.9. Siuren 1, Schicht Gd. Modifizierte Grundformen.

| Siuren 1, Level Gc1-2: Kerne | Typ | N | % | N | % |
|---------------------------------|---------------------------------|----|-------|----|-------|
| Abschlagkern/-Klingenkern | Klingen-/Abschlagkern, einfach | 1 | 8.33 | 2 | 16.66 |
| | Klingen-/Abschlagkern, mehrfach | 1 | 8.33 | | |
| Klingenkern | Klingenkern, einfach | 3 | 25 | 3 | 25 |
| Lamellenkern | Lamellenkern, einfach | 2 | 16.67 | 6 | 50.01 |
| | Lamellenkern, mehrfach | 2 | 16.67 | | |
| | Lamellenkern, bipolar | 2 | 16.67 | | |
| Sonstiges | Kerntrümmer, Schlag | 1 | 8.33 | 1 | 8.33 |
| Gesamt | | 12 | 100 | 12 | 100 |

Tab. 11.2.10. Siuren 1, Schicht Gc1-2. Kerne.

| Siuren 1, Level Gc1-2: Grundformen (inklusive formaler Geräte & Kernen) | Grundform | N | % | N | % |
|---|--------------------------------------|-----|-------|-----|-------|
| Abschlag | Abschlag, einfach | 122 | 13.68 | 297 | 33.30 |
| | Abschlag, Breit- | 16 | 1.79 | | |
| | Präparationsabschlag, Kernkante | 6 | 0.67 | | |
| | Präparationsabschlag, Kernkantenrest | 10 | 1.12 | | |
| | Präparationsabschlag, Kortexkante | 5 | 0.56 | | |
| | Abschlag, Formüberarbeitung | 9 | 1.01 | | |
| | Abspliss, einfach | 129 | 14.46 | | |
| Klinge | Klinge, einfach | 195 | 21.86 | 244 | 27.35 |
| | Klinge, Kernkante | 22 | 2.47 | | |
| | Klinge, Kernkantenrest | 10 | 1.12 | | |
| | Klinge, Kortexkante | 17 | 1.91 | | |
| Lamelle / Microblade | Lamelle, einfach | 166 | 18.61 | 297 | 33.30 |
| | Lamelle, Kernkante | 17 | 1.91 | | |
| | Lamelle, Kortexkante | 3 | 0.34 | | |
| | Microblade | 100 | 11.21 | | |
| | Lamelle, Stichel | 11 | 1.23 | | |
| Sonstiges | Stichelabfall | 3 | 0.34 | 54 | 6.05 |
| | Kernscheibe | 6 | 0.67 | | |
| | Abspliss, Retuschier- | 5 | 0.56 | | |
| | Trümmer, Schlag | 5 | 0.56 | | |
| | Preform, bifaziell | 2 | 0.22 | | |
| | nicht erkennbar | 24 | 2.69 | | |
| | keine Angabe | 9 | 1.01 | | |
| | Gesamt | 892 | 100 | | |

Tab. 11.2.11. Siuren 1, Schicht Gc1-2. Grundformen.

| Siuren 1, Level Gc1-2 - modifizierte Grundformen | Grundform | N | % | N | % |
|---|--------------------------------------|-----|-------|-----|-------|
| Abschlag | Abschlag, einfach | 16 | 7.58 | 33 | 15.64 |
| | Abschlag, Breit- | 6 | 2.84 | | |
| | Präparationsabschlag, Kernkantenrest | 4 | 1.90 | | |
| | Präparationsabschlag, Kortexkante | 2 | 0.95 | | |
| | Abspliss (AS<3cm) | 5 | 2.37 | | |
| Klinge | Klinge, einfach | 37 | 17.54 | 45 | 21.33 |
| | Klinge, Kernkante | 2 | 0.95 | | |
| | Klinge, Kernkantenrest | 2 | 0.95 | | |
| | Klinge, Kortexkante | 4 | 1.90 | | |
| Lamelle / Microblade | Lamelle, einfach | 46 | 21.80 | 118 | 55.92 |
| | Microblade | 72 | 34.12 | | |
| Sonstiges | Preform, bifaziell | 2 | 0.95 | 15 | 7.11 |
| | nicht erkennbar | 13 | 6.16 | | |
| Gesamt | | 211 | 100 | 211 | 100 |

Tab. 11.2.12. Siuren 1, Schicht Gc1-2. Modifizierte Grundformen.

| Siuren 1, Level Gc1-2: formale Geräte (inklusive Kerne) | | FORMALE GERÄTE | | | | MODIFIKATIONSMODUS | | | | |
|---|--|---|---|-------|------|--------------------|---------|------------|-----------|--|
| | | Typ | N | % | N | % | einfach | unifaziell | bifaziell | |
| Geräte, einfach | Funktionsende | Kratzer, einfach | 3 | 1.42 | | | 3 | | | |
| | | Kratzer, Nasen- | 1 | 0.47 | | | 1 | | | |
| | | Endretusche, gerade | 5 | 2.37 | | | 5 | | | |
| | | Spitze, einfach** | 5 | 2.84 | | | | 4 | 1 | |
| | | Spitze, Font-Yves- | 3 | 1.42 | | | 3 | | | |
| | | Endretusche, schräg | 1 | 0.47 | 18 | 9.00 | 1 | | | |
| | Stichel | Stichel, einfach | 2 | 0.95 | | | 2 | | | |
| | | Stichel, Mehrschlag- (dihedral) | 1 | 0.47 | | | 1 | | | |
| | | Stichel, an Bruchfläche | 1 | 0.47 | 4 | 1.90 | 1 | | | |
| | Arbeitskante | lateral retuschiert, einfach* | 33 | 15.64 | | | 33 | | | |
| | | lateral retuschiert, beidseitig | 7 | 3.32 | | | 7 | | | |
| | | lateral retuschiert, gezähntes Stück | 1 | 0.47 | | | 1 | | | |
| | | lateral retuschiert, gekerbtes Stück | 15 | 7.11 | | | 15 | | | |
| | | alternierend (Dufour-Lamelle) | 82 | 38.86 | | | 82 | | | |
| | | bi-lateral dorsal (Pseudo-Dufour-Lamelle) | 6 | 2.84 | | | 6 | | | |
| | | Schaber, einfach | 5 | 2.37 | | | 4 | | 1 | |
| | | Schaber, Doppel- | 1 | 0.47 | | | 1 | | | |
| | | Schaber, Winkel- | 3 | 1.42 | | | 1 | 2 | | |
| | | Schaber, Spitz- | 1 | 0.47 | | | 1 | | | |
| | | Font-Yves-Spitze | 1 | 0.47 | | | 1 | | | |
| | | Biface | 1 | 0.47 | 156 | 73.93 | | | 1 | |
| | | Sonstiges | ausgesplittertes Stück | 2 | 0.95 | | | | | |
| | | | GMS, Ge2* | 17 | 8.06 | | | 2 | | |
| | GMS, Ge3 | | 2 | 0.95 | 21 | 9.95 | | | | |
| | Kombinationsgeräte | Funktionsende / Arbeitskante | Kratzer, einfach; lateral retuschiert, einfach | 1 | 0.47 | | | 1 | | |
| | | | Kratzer, Hoch-/ Kiel-; lateral retuschiert, einfach | 1 | 0.47 | | | 1 | | |
| | | | Endretusche, gerade; lateral retuschiert, einfach | 1 | 0.47 | | | 1 | | |
| Endretusche, gerade; lateral retuschiert, gekerbtes Stück | | | 1 | 0.47 | 4 | 1.9 | 1 | | | |
| Arbeitskante | | lateral retuschiert, einfach; lateral retuschiert, gekerbtes Stück | 1 | 0.47 | | | 1 | | | |
| | | lateral retuschiert, gekerbtes Stück; alternierend (Dufour-Lamelle) | 1 | 0.47 | | | 1 | | | |
| | | lateral retuschiert, gekerbtes Stück; alternierend (Dufour-Lamelle) | 1 | 0.47 | | | 1 | | | |
| Funktionsende / Stichel | | Schaber, einfach; Spitze, einfach | 1 | 0.47 | 4 | 1.9 | | | 1 | |
| | | Stichel, einfach; Bohrer | 1 | 0.47 | 1 | 0.47 | 1 | | | |
| | | Stichel / Arbeitskante | 1 | 0.47 | 1 | 0.47 | 1 | | | |
| Stichel | Stichel, einfach; Stichel an Bruchfläche | 2 | 0.95 | 2 | 0.95 | 2 | | | | |
| Gesamt | | | 211 | 100 | 211 | 100 | 182 | 7 | 3 | |

*Ge2: 2 Artefakte sind möglicherweise formale Geräte mit intentioneller Retusche

**1 unifaziell flächenretuschierte einfache Spitze mit dorsalem Kiel

Tab. 11.2.13. Siuren 1, Schicht Gc1-2. Formale Geräte & Modifikationsmodus.

| Siuren 1, Level Gc1-2: formale Geräte | kombinierter Gerätetyp | N | % | Ge2 | Ge3 | N | % | | | |
|--|--|--|--------|------|-----|-----|-------|--|----|------|
| Funktionsende | Klingenkratzer, einfach | 3 | 1.42 | | | 9 | 4.27 | | | |
| | Kratzer, Nasen- | 1 | 0.47 | | | | | | | |
| | Endretusche, gerade | 3 | 1.42 | 1 | | | | | | |
| | Mikrolith: endretuschierte Lamelle | 2 | 0.95 | | | | | | | |
| Stichel | Klingenstichel, einfach | 2 | 0.95 | | | 4 | 1.9 | | | |
| | Stichel, Mehrschlag- (dihedral) | 1 | 0.47 | | | | | | | |
| | Stichel, an Bruchfläche | 1 | 0.47 | | | | | | | |
| Arbeitskante | lateral retuschiert, einfach | 8 | 3.79 | | | 112 | 53.08 | | | |
| | lateral retuschierte Klinge, einfach | 10 | 4.74 | 7 | | | | | | |
| | lateral retuschiert, beidseitig | 1 | 0.47 | | | | | | | |
| | lateral retuschierte Klinge, beidseitig | 5 | 2.37 | | | | | | | |
| | Mikrolith: retuschierte Lamelle, einfach | 5 | 2.37 | | | | | | | |
| | Mikrolith: retuschierte Microblade, einfach | 8 | 3.79 | | 1 | | | | | |
| | Mikrolith: retuschierte Microblade, beidseitig | 1 | 0.47 | | | | | | | |
| | Mikrolith: retuschierte Lamelle, gezähnt | 4 | 1.90 | | | | | | | |
| | Mikrolith: retuschierte Microblade, gezähnt | 1 | 0.47 | | | | | | | |
| | Mikrolith: Lamelle, gekerbt | 2 | 0.95 | | 2 | | | | | |
| | Mikrolith: Dufour-Lamelle | 27 | 12.80 | | | | | | | |
| | Mikrolith: Dufour-Microblade | 55 | 26.07 | | | | | | | |
| | Mikrolith: Pseudo-Dufour-Lamelle | 3 | 1.42 | | | | | | | |
| | Mikrolith: Pseudo-Dufour-Microblade | 3 | 1.42 | | | | | | | |
| | Mikrolith: Spitze, Font-Yves- (Klinge) | 1 | 0.47 | | | | | | | |
| | Mikrolith: Spitze, Font-Yves- (Microblade) | 2 | 0.95 | | | | | | | |
| | Schaber, einfach | 6 | 2.84 | 2 | | | | | | |
| | Schaber, Doppel- | 1 | 0.47 | | | | | | | |
| | bifazieller Schaber, einfach | 1 | 0.47 | | | | | | | |
| | unifazieller Winkelschaber | 2 | 0.95 | | | | | | | |
| | Schaber, Winkel- | 1 | 0.47 | | | | | | | |
| | Schaber, Spitz- | 1 | 0.47 | | | | | | | |
| | unifazielle Spitze | 5 | 2.37 | | | | | | | |
| | bifazielle Spitze | 1 | 0.47 | | | | | | | |
| | Biface | 1 | 0.47 | | | | | | | |
| | lateral retuschierter Abschlag, gezähnt | 1 | 0.47 | | | | | | | |
| | lateral retuschierte Klinge, gezähnt | 6 | 2.84 | | | | | | | |
| | lateral retuschiert, gekerbt | 1 | 0.47 | | | | | | | |
| | lateral retuschierte Klinge, gekerbt | 2 | 0.95 | 2 | | | | | | |
| | sonstiges | ausgesplittertes Stück | 2 | 0.95 | 1 | | | | 21 | 9.95 |
| | | Ge2 | 17 | 8.06 | | | | | | |
| | | Ge3 | 2 | 0.95 | | | | | | |
| | Kombinationsgeräte | Kratzer, einfach; lateral retuschiert, einfach | 1 | 0.47 | | | | | 6 | 2.84 |
| Kratzer, Hoch-/ Kiel-; lateral retuschiert, einfach | | 1 | 0.47 | | | | | | | |
| Stichel, einfach; Bohrer | | 1 | 0.47 | | | | | | | |
| Stichel, einfach; lateral retuschiert, gezähnt | | 1 | 0.47 | | | | | | | |
| Stichel, einfach; Stichel, an Bruchfläche | | 2 | 0.95 | | | | | | | |
| Mikrolith: Endretusche, gerade; lateral retuschiert, einfach | | 1 | 0.47 | | | | | | | |
| Mikrolith: Endretusche, gerade; lateral retuschiert, gekerbtes St | | 1 | 0.47 | | | | | | | |
| Mikrolith: lateral retuschiert, einfach; lateral retuschiert, gekerb | | 1 | 0.47 | | | | | | | |
| Mikrolith: lateral retuschiert, beidseitig; Spitze, Font-Yves- | 1 | 0.47 | | | | | | | | |
| Mikrolith: lateral retuschiert, gekerbtes Stück; alternierend (Duf | 2 | 0.95 | | 1 | | | | | | |
| Gesamt | | 211 | 100.00 | 13 | 4 | 211 | 100 | | | |

Tab. 11.2.14. Siuren 1, Schicht Gc1-2. Formale Geräte , aufgeschlüsselt nach modifizierter Grundform & Geräteklasse.

| Siuren 1, Level Gc1-1 | Position der Modifikation | n | % |
|-----------------------|----------------------------------|-----|-------|
| Geräte | Funktionsende (distal / basal) | 18 | 9 |
| | Stichelschneide (distal / basal) | 4 | 1.9 |
| | Arbeitskante (lateral) | 156 | 73.93 |
| | Sonstiges | 21 | 9.95 |
| Kombinationsgeräte | Arbeitskante (lateral) | 4 | 1.9 |
| | Funktionsende /Arbeitskante | 4 | 1.9 |
| | Funktionsende /Stichelschneide | 1 | 0.47 |
| | Stichelschneide /Arbeitskante | 1 | 0.47 |
| | Stichel | 2 | 0.95 |
| GESAMT | | 211 | 100 |

Tab. 11.2.15. Siuren 1, Schicht Gc1-2. Modifizierte Kanten.

| Siuren 1, Level Gc1-2: Mittelpaläolithische Formen | N | % |
|---|-----|--------|
| bifazieller Schaber, einfach | 1 | 0.47 |
| unifazieller Winkelschaber | 2 | 0.95 |
| Schaber, Winkel- | 1 | 0.47 |
| Schaber, Spitz- | 1 | 0.47 |
| unifazielle Spitze | 5 | 2.37 |
| bifazielle Spitze | 1 | 0.47 |
| Biface | 1 | 0.47 |
| Anteil am Gesamtinventar | 12 | 5.69 |
| Gesamt | 211 | 100.00 |

Tab. 11.2.16. Siuren 1, Schicht Gc1-2. Mittelpaläolithische Geräte mit Affinität zum Micoquien.

| Siuren 1, Level Gb1-2: Kerne | Typ | N | % | N | % |
|---------------------------------|------------------------|----|-------|----|-------|
| Abschlagkern | Abschlagkern, mehrfach | 2 | 18.18 | 2 | 18.18 |
| Klingenkern | Klingenkern, einfach | 2 | 18.18 | 2 | 18.18 |
| Lamellenkern | Lamellenkern, einfach | 2 | 18.18 | 3 | 27.27 |
| | Lamellenkern, mehrfach | 1 | 9.09 | | |
| Sonstiges | Kerntrümmer, Schlag | 1 | 9.09 | 4 | 36.36 |
| | nicht erkennbar | 3 | 27.27 | | |
| Gesamt | | 11 | 100 | 11 | 100 |

Tab. 11.2.17. Siuren 1, Schicht Gb1-2. Kerne.

| Siuren 1, Level Gb1-2: Geräte mit Kernfunktion | Gerät | N | % |
|---|-------------------|---|------------|
| Klingenkern, einfach | Schulterkratzer | 1 | 33.3333333 |
| Lamellenkern, einfach | Hoch-/Kielkratzer | 1 | 33.3333333 |
| Lamellenkern, mehrfach | Dihedralstichel | 1 | 33.3333333 |
| Gesamt | | 3 | 100 |

Tab. 11.2.18. Siuren 1, Schicht Gb1-2. Geräte mit Kernfunktion.

| Siuren 1, Level Gb1-2 - modifizierte Grundformen | Grundform | N | % | N | % |
|---|-----------------------------------|----|-------|----|-------|
| Abschlag | Abschlag, einfach | 9 | 12.00 | 13 | 17.33 |
| | Abschlag, Breit- | 1 | 1.33 | | |
| | Präparationsabschlag, Kortexkante | 2 | 2.67 | | |
| | Abspliss, einfach | 1 | 1.33 | | |
| Klinge | Klinge, einfach | 9 | 12.00 | 11 | 14.67 |
| | Klinge, Kortexkante | 2 | 2.67 | | |
| Lamelle / Microblade | Lamelle, einfach | 13 | 17.33 | 45 | 60.00 |
| | Microblade | 32 | 42.67 | | |
| Sonstiges | Trümmer, Schlag | 1 | 1.33 | 6 | 8.00 |
| | nicht erkennbar | 4 | 5.33 | | |
| | keine Angabe | 1 | 1.33 | | |
| Gesamt | | 75 | 100 | 75 | 100 |

Tab. 11.2.19. Siuren 1, Schicht Gb1-2. Modifizierte Grundformen.

| Siuren 1, Level Gb1-2: Grundformen (inklusive formaler Geräte & Kernen) | Grundform | N | % | N | % |
|---|--------------------------------------|-----|-------|-----|-------|
| Abschlag | Abschlag, einfach | 85 | 18.24 | 130 | 27.90 |
| | Abschlag, Breit- | 6 | 1.29 | | |
| | Präparationsabschlag, Kernkante | 3 | 0.64 | | |
| | Präparationsabschlag, Kernkantenrest | 8 | 1.72 | | |
| | Präparationsabschlag, Kortexkante | 6 | 1.29 | | |
| | Abschlag, Formüberarbeitung | 3 | 0.64 | | |
| | Abspliss, einfach | 19 | 4.08 | | |
| Klinge | Klinge, einfach | 67 | 14.38 | 81 | 17.38 |
| | Klinge, Kernkante | 5 | 1.07 | | |
| | Klinge, Kernkantenrest | 5 | 1.07 | | |
| | Klinge, Kortexkante | 4 | 0.86 | | |
| Lamelle / Microblade | Lamelle, einfach | 106 | 22.75 | 232 | 49.79 |
| | Lamelle, Kernkante | 2 | 0.43 | | |
| | Lamelle, Kortexkante | 7 | 1.50 | | |
| | Microblade | 107 | 22.96 | | |
| | Lamelle, Stichel | 10 | 2.15 | | |
| Sonstiges | Kernscheibe | 5 | 1.07 | 23 | 4.94 |
| | Trümmer, Schlag | 3 | 0.64 | | |
| | nicht erkennbar | 8 | 1.72 | | |
| | keine Angabe | 7 | 1.50 | | |
| GESAMT | | 466 | 100 | 466 | 100 |

Tab. 11.2.20. Siuren 1, Schicht Gb1-2. Grundformen.

| Siuren 1, Level Gb1-2: formale Geräte (inklusive Kernen) | FORMALES GERÄT | | | | MODIFIKATIONSMODUS | | | |
|--|--|----|-------|----|--------------------|---------|-----------|----------|
| | Typ | N | % | N | % | einfach | unifazial | bifazial |
| Geräte, einfach | Kreuzer, Hoch-/Kiel- | 2 | 2,67 | | | | 2 | |
| | Endretusche, gerade | 3 | 4,00 | | | 6,67 | 3 | |
| | lateral retuschiert, einfach | 14 | 18,67 | | | | 14 | |
| | lateral retuschiert, beidseitig | 3 | 4,00 | | | | 3 | |
| | lateral retuschiert, umlaufend | 1 | 1,33 | | | | | 1 |
| | lateral retuschiert, gezähntes Stück | 2 | 2,67 | | | | 2 | |
| | lateral retuschiert, gekerbttes Stück | 2 | 2,67 | | | | 2 | |
| | altretuschiert (Difone-Lamelle) | 30 | 40,00 | | | | 30 | |
| | bilateral dorsal (Pseudo-Dorsal-Lamelle) | 2 | 2,67 | 56 | 72,00 | | 2 | |
| | ausgesplittertes Stück | 4 | 5,33 | | | | | 4 |
| Kombinationsgeräte | Ger2 | 1 | 1,33 | | | | 1 | |
| | Ger3 | 4 | 5,33 | | | 8,00 | | |
| | Kreuzer, Hoch-/Kiel-; Stichel, Mehrschlag- | 1 | 1,33 | | | 1,33 | 1 | |
| | Endretusche, gerade; lateral retuschiert, einfach | 1 | 1,33 | | | 1,33 | 1 | |
| | Stichel, einfach; lateral retuschiert, einfach | 1 | 1,33 | | | 1,33 | 1 | |
| | Stichel, Kiel-; lateral retuschiert, einfach | 1 | 1,33 | | | | 1 | |
| | Stichel, an Bruchfläche; lateral retuschiert, gekerbttes Stück | 1 | 1,33 | | | 4 | 1 | |
| | Stichel, an Endretusche; ausgesplittertes Stück | 1 | 1,33 | | | 1,33 | 1 | |
| | lateral retuschiert, einfach; lateral retuschiert, gezähntes Stück | 1 | 1,33 | | | | 1 | |
| | lateral retuschiert, beidseitig; lateral retuschiert, gezähntes Stück | 1 | 1,33 | | | | 1 | |
| Arbeitskante | lateral retuschiert, beidseitig; lateral retuschiert, gekerbttes Stück | 1 | 1,33 | | | 5,33 | 1 | |
| | Schaber, Doppel-; lateral retuschiert, gezähntes Stück | 1 | 1,33 | | | 4 | 1 | |
| | Gesamt | 75 | 100 | | | 75 | 100 | 67 |

Tab. 11.2.21. Siuren 1, Schicht Gb1-2. Formale Geräte.

| Siuren 1, Level Gb1-2: formale Geräte | Gerätetyp | N | % | Ge2 | Ge3 |
|--|---|----|--------|-----|-----|
| Funktionsende | Kratzer, Hoch-/ Kiel- | 2 | 2.67 | 1 | |
| | Endretusche, gerade | 2 | 2.67 | | |
| | Mikrolith: Lamelle, gerade Endretusche | 1 | 1.33 | | |
| | Schaber, einfach | 1 | 1.33 | | |
| | lateral retuschierte Klinge, einfach | 2 | 2.67 | 1 | |
| | lateral retuschiert, einfach | 1 | 1.33 | | |
| | lateral retuschierte Klinge, beidseitig | 2 | 2.67 | 1 | |
| | umlaufend retuschierter Schaber (unifazial) | 1 | 1.33 | | |
| | lateral retuschierter Abschlag, gezähnt | 2 | 2.67 | | 1 |
| | lateral retuschierter Abschlag, gekerbt | 1 | 1.33 | | |
| Arbeitskante | lateral retuschierte Klinge, gekerbt | 1 | 1.33 | | |
| | Mikrolith: lateral retuschierte Lamelle, einfach | 6 | 8.00 | | |
| | Mikrolith: lateral retuschierte Microblade, einfach | 4 | 5.33 | | |
| | Mikrolith: lateral retuschierte Lamelle, beidseitig | 1 | 1.33 | | 1 |
| | Mikrolith: Dufour-Lamelle | 3 | 4.00 | | |
| | Mikrolith: Dufour-Microblade | 27 | 36.00 | | |
| | Mikrolith: Pseudo-Dufour-Lamelle | 1 | 1.33 | | |
| | Mikrolith: Pseudo-Dufour-Microblade | 1 | 1.33 | | |
| | ausgesplittertes Stück | 1 | 1.33 | | |
| | Ge2 | 4 | 5.33 | | |
| sonstiges | Ge3* | 1 | 1.33 | | |
| | Endretusche, gerade; lateral retuschiert, einfach | 1 | 1.33 | | |
| | lateral retuschiert, beidseitig; lateral retuschiert, gezähntes Stück | 1 | 1.33 | | |
| | lateral retuschiert, beidseitig; lateral retuschiert, gekerbtes Stück | 1 | 1.33 | | |
| | Dihedralstichel/Stichel, Mehrschlag- | 1 | 1.33 | | |
| | Stichel, einfach; lateral retuschiert, einfach | 1 | 1.33 | | |
| | Stichel, Kiel-; lateral retuschiert, einfach | 1 | 1.33 | | |
| | Stichel, an Bruchfläche; lateral retuschiert, gekerbtes Stück | 1 | 1.33 | | |
| | Stichel, an Endretusche; ausgesplittertes Stück | 1 | 1.33 | | |
| | unifazieller einfacher Schaber, gezähnt | 1 | 1.33 | | |
| Kombinationsgeräte | unifazieller Doppelschaber, gezähnt | 1 | 1.33 | | |
| | Gesamt | 75 | 100.00 | 3 | 2 |
| | *1 einfache Lamelle mit Gebrauchsretuschen | | | | |

Tab. 11.2.22. Siuren 1, Schicht Gb1-2. Formale Geräte, aufgeschlüsselt nach modifizierten Grundformen.

| Mittelpaläolithische Formen mit Affinität zum Micoquien | | |
|---|----|--------|
| Typ | N | % |
| unifazieller Schaber, Doppel-; gezähntes Stück | 2 | 2.67 |
| unifazieller umlaufend retuschierter Schaber | 1 | 1.33 |
| Anteil am Gesamt-Inventar | 3 | 4.00 |
| Gesamt | 75 | 100.00 |

Tab. 11.2.23. Siuren 1, Schicht Gb1-2. Mittelpaläolithische Gerätekomponente.

| Siuren 1, Level Ga: Kerne | Typ | N | % |
|---------------------------|------------------------|---|-----|
| Lamellenkern | Lamellenkern, einfach* | 1 | 100 |
| Gesamt | | 1 | 100 |

*dihedraler Mehrschlagstichel

Tab. 11.2.24. Siuren 1, Schicht Ga. Kerne.

| Siuren 1, Level Ga: Grundformen (inklusive formaler Geräte & Kernen) | Grundform | N | % | N | % |
|--|--------------------|----|-------|----|-------|
| Abschlag | Abschlag, einfach | 16 | 19.51 | 30 | 36.59 |
| | Abschlag, Breit- | 1 | 1.22 | | |
| | Abspliss, einfach* | 13 | 15.85 | | |
| Klinge | Klinge, einfach | 16 | 19.51 | 16 | 19.51 |
| Lamelle / Microblade | Lamelle, einfach | 18 | 21.95 | 33 | 40.24 |
| | Lamelle, Kernkante | 1 | 1.22 | | |
| | Microblade | 14 | 17.07 | | |
| Sonstiges | nicht erkennbar | 3 | 3.66 | 3 | 3.66 |
| GESAMT | | 82 | 100 | 82 | 100 |

* Abspliss, einfach = Abschlag <3cm

Tab. 11.2.25. Siuren 1, Schicht Ga. Grundformen.

| Siuren 1, Level Ga: modifizierte Grundformen | Grundform | N | % | N | % |
|---|--------------------|----|-------|----|-------|
| Abschlag | Abschlag, einfach | 4 | 23.53 | 4 | 23.53 |
| Klinge | Klinge, einfach | 4 | 23.53 | 4 | 23.53 |
| Lamelle / Microblade | Lamelle, einfach | 3 | 17.65 | 9 | 52.94 |
| | Lamelle, Kernkante | 1 | 5.88 | | |
| | Microblade | 5 | 29.41 | | |
| Gesamt | | 17 | 100 | 17 | 100 |

Tab. 11.2.26. Siuren 1, Schicht Ga. Modifizierte Grundformen.

| Siuren 1, Level Ga: formale Geräte (inklusive Kernen) | Gerät | N | % | N | % |
|---|---|----|-------|----|-------|
| Funktionsende | Kratzer, einfach | 2 | 11.76 | 2 | 11.76 |
| Stichel | Stichel, Mehrschlag- (dihedral) | 1 | 5.88 | | |
| | Stichel, an Endretusche | 1 | 5.88 | 2 | 11.76 |
| Arbeitskante | lateral retuschiert, einfach | 6 | 35.29 | | |
| | lateral retuschiert, gekerbt | 1 | 5.88 | | |
| | alternierend / Dufour-Lamelle | 4 | 23.53 | | |
| | bi-lateral dorsal (Pseudo-Dufour-Lamelle) | 1 | 5.88 | | |
| | Spitze, Font-Yves | 1 | 5.88 | 13 | 76.47 |
| Gesamt | | 17 | 100 | 17 | 100 |

Tab. 11.2.27. Siuren 1, Schicht Ga. Formale Geräte.

| Siuren 1, Level Ga: formale Geräte | Gerätetyp | N | % |
|---------------------------------------|--|----|--------|
| Funktionsende | Kratzer, einfach | 2 | 11.76 |
| Stichel | Stichel, Mehrschlag- (dihedral) | 1 | 5.88 |
| | Stichel, an Endretusche | 1 | 5.88 |
| Arbeitskante | Schaber, einfach | 2 | 11.76 |
| | lateral retuschierte Klinge, einfach | 1 | 5.88 |
| | lateral retuschierte Klinge, gekerbt | 1 | 5.88 |
| Mikrolithen | Mikrolith: lateral retuschierte Lamelle | 2 | 11.76 |
| | Mikrolith: lateral retuschierte Microblade | 1 | 5.88 |
| | Mikrolith: Dufour-Lamelle | 2 | 11.76 |
| | Mikrolith: Dufour-Microblade | 2 | 11.76 |
| | Mikrolith: Pseudo-Dufour-Microblade | 1 | 5.88 |
| | Mikrolith: Font-Yves-Spitze (Microblade) | 1 | 5.88 |
| Gesamt | | 17 | 100.00 |

Tab. 11.2.28. Siuren 1, Schicht Ga. Formale Geräte, aufgeschlüsselt nach modifizierten Grundformen.

| Siuren 1, Level Fb1-2: Kerne | Typ | n | % | n | % |
|---------------------------------|---------------------------|----|-------|----|-------|
| Abschlagkerne | Abschlagkern, einfach | 1 | 3.57 | 6 | 21.43 |
| | Abschlagkern, mehrfach | 2 | 7.14 | | |
| | Abschlagkern, indifferent | 3 | 10.71 | | |
| Lamellenkerne | Lamellenkern, einfach | 12 | 42.86 | 20 | 71.43 |
| | Lamellenkern, mehrfach | 5 | 17.86 | | |
| | Lamellenkern, bipolar | 3 | 10.71 | | |
| Sonstiges | Kernrümmer, Schlag | 2 | 7.14 | 2 | 7.14 |
| Gesamt | | 28 | 100 | 28 | 100 |

Tab. 11.2.29. Siuren 1, Schicht Fb1-2. Kerne.

| Siuren 1, Level Fb1-2: Geräte mit Kernfunktion | Geräte-Typ | N | % |
|---|---|---|--------|
| Lamellenkern, einfach | Kratzer, Hoch-/ Kiel- | 2 | 28.57 |
| | Nasenkratzer | 1 | 14.29 |
| | Kratzer, einfach | 1 | 14.29 |
| Lamellenkern, mehrfach | Kratzer, einfach/Kiel-; Stichel, Dihedral | 1 | 14.29 |
| | Stichel, Mehrschlag- (dihedral) | 1 | 14.29 |
| | Kratzer, Hoch- / Kiel-; Stichel, Bogen- | 1 | 14.29 |
| Gesamt | | 7 | 100.00 |

Tab. 11.2.39. Siuren 1, Schicht Fb1-2. Formale Geräte mit Kernfunktion.

| Siuren 1, Level Fb1-2: Grundformen (inklusive formaler Geräte & Kernen) | Grundform | N | % | N | % |
|--|--------------------------------------|------|-------|------|-------|
| Abschlag | Abschlag, einfach | 261 | 22.25 | 301 | 25.66 |
| | Abschlag, Breit- | 19 | 1.62 | | |
| | Präparationsabschlag, Kernkante | 2 | 0.17 | | |
| | Präparationsabschlag, Kernkantenrest | 1 | 0.09 | | |
| | Präparationsabschlag, Kortexkante | 2 | 0.17 | | |
| | Abschlag, Formüberarbeitung | 2 | 0.17 | | |
| | Abschlag, Nachschärfung | 2 | 0.17 | | |
| | Abspliss, einfach | 12 | 1.02 | | |
| Klinge | Klinge, einfach | 111 | 9.46 | 118 | 10.06 |
| | Klinge, Kernkante | 1 | 0.09 | | |
| | Klinge, Kernkantenrest | 1 | 0.09 | | |
| | Klinge, Kortexkante | 5 | 0.43 | | |
| Lamelle / Microblade | Lamelle, einfach | 175 | 14.92 | 712 | 60.70 |
| | Lamelle, Kernkante | 17 | 1.45 | | |
| | Lamelle, Kortexkante | 2 | 0.17 | | |
| | Microblade | 470 | 40.07 | | |
| | Lamelle, Stichel | 48 | 4.09 | | |
| Sonstiges | Trümmer, Schlag | 1 | 0.09 | 42 | 3.58 |
| | nicht erkennbar | 41 | 3.50 | | |
| GESAMT | | 1173 | 100 | 1173 | 100 |

Tab. 11.2.31. Siuren 1, Schicht Fb1-2. Grundformen.

| Siuren 1, Level Fb1-2: formale Geräte | Typ | N | % | Ge2 | Ge3 | N | % |
|---------------------------------------|--|-----|--------|-----|-----|-----|-------|
| Gerät, einfach | Kratzer, einfach | 7 | 4.67 | 2 | 1 | | |
| | Kratzer, Hoch/Kiel- | 2 | 1.33 | | | | |
| | Kratzer, Nasen- | 2 | 1.33 | 1 | | | |
| | Endretusche, gerade | 6 | 4.00 | 1 | | | |
| | Endretusche, schräg | 4 | 2.67 | | | 21 | 14.00 |
| | lateral retuschiert, einfach | 53 | 35.33 | 1 | | | |
| | lateral retuschiert, beidseitig | 1 | 0.67 | | | | |
| | lateral retuschiert, gezähntes Stück | 2 | 1.33 | | | | |
| | lateral retuschiert, gekerbttes Stück | 5 | 3.33 | 2 | | | |
| | Schaber, einfach | 5 | 3.33 | 2 | | | |
| | Rückengestumpft, einfach | 2 | 1.33 | | | | |
| | alternierend (Dufour-Lamelle) | 8 | 5.33 | | | | |
| | bi-lateral Dorsal (Pseudo-Dufour-Lamelle) | 7 | 4.67 | | 1 | 83 | 55.33 |
| | Stichel, einfach | 2 | 1.33 | | | | |
| | Stichel, Mehrschlag- (bilateral) | 5 | 3.33 | 1 | | | |
| | Stichel, Kiel | 1 | 0.67 | | | | |
| | Stichel, an Endretusche | 1 | 0.67 | | | | |
| | Stichel, an Bruchfläche | 1 | 0.67 | | | 10 | 6.67 |
| Sonstiges | Ge2 | 18 | 12.00 | | | | |
| | Ge3 | 10 | 6.67 | | | 28 | 18.67 |
| Kombinationsgerät | Kratzer, einfach; lateral retuschiert, einfach | 1 | 0.67 | | | | |
| | Kratzer, einfach; lateral retuschiert, beidseitig | 1 | 0.67 | 1 | | | |
| | Kratzer, einfach; lateral retuschiert, umlaufend | 1 | 0.67 | 1 | | 3 | 2.00 |
| | Kratzer, einfach; Stichel, Bogen- | 1 | 0.67 | | | | |
| | Kratzer, Hoch/Kiel-; Stichel, einfach | 1 | 0.67 | 1 | | 2 | 1.33 |
| | lateral retuschiert, einfach; rückengestumpft, einfach | 1 | 0.67 | | | 1 | 0.67 |
| | Stichel, an Endretusche; lateral retuschiert, einfach | 1 | 0.67 | | | 1 | 0.67 |
| | Stichel, an Endretusche; lateral retuschiert, beidseitig | 1 | 0.67 | | | 2 | 1.33 |
| | Gesamt | 150 | 100.00 | 13 | 2 | 150 | 100 |

Tab. 11.2.32. Siuren 1, Schicht Fb1-2. Formale Geräte.

| Siuren 1, Level Fb1-2: modifizierte Grundformen | Grundform | N | % | N | % |
|--|---------------------------------|-----|--------|-----|-------|
| Abschlag | Abschlag, einfach | 22 | 14.67 | 28 | 18.67 |
| | Abschlag, Breit- | 4 | 2.67 | | |
| | Präparationsabschlag, Kernkante | 1 | 0.67 | | |
| | Abspliss, einfach | 1 | 0.67 | | |
| Klinge | Klinge, einfach | 26 | 17.33 | 29 | 19.33 |
| | Klinge, Kernkante | 1 | 0.67 | | |
| | Klinge, Kernkantenrest | 1 | 0.67 | | |
| | Klinge, Kortexkante | 1 | 0.67 | | |
| Lamelle / Microblade | Lamelle, einfach | 4 | 2.67 | 73 | 48.67 |
| | Lamelle, Kernkante | 2 | 1.33 | | |
| | Microblade | 66 | 44.00 | | |
| | Lamelle, Stichel | 1 | 0.67 | | |
| Sonstiges | nicht erkennbar | 20 | 13.33 | 20 | 13.33 |
| Gesamt | | 150 | 100.00 | 150 | 100 |

Tab. 11.2.33. Siuren 1, Schicht Fb1-2. Modifizierte Grundformen.

| Gerätetyp | N | % |
|--|-----|--------|
| Klingenkratzer, einfach | 3 | 2.00 |
| Kratzer, einfach | 4 | 2.67 |
| Kratzer, Hoch-/Kiel- | 2 | 1.33 |
| Kratzer, Nasen- | 2 | 1.33 |
| Endretusche, gerade | 3 | 2.00 |
| Endretusche, schräg | 2 | 1.33 |
| schräge Endretusche an Klinge | 1 | 0.67 |
| Mikrolith: gerade Endretusche an Microblade | 2 | 1.33 |
| Mikrolith: gerade Endretusche an Lamelle | 1 | 0.67 |
| Mikrolith: schräge Endretusche an Lamelle | 1 | 0.67 |
| Klingenstichel, einfach | 2 | 1.33 |
| Stichel, Kiel- | 1 | 0.67 |
| Stichel, Mehrschlag- (dihedral) | 2 | 1.33 |
| Stichel, Mehrschlag- an Klinge | 3 | 2.00 |
| Stichel, an Endretusche | 1 | 0.67 |
| Stichel, an Bruchfläche | 1 | 0.67 |
| retuschierte Klinge, einfach | 2 | 1.33 |
| lateral retuschiert, einfach | 2 | 1.33 |
| lateral retuschiert, beidseitig | 1 | 0.67 |
| lateral retuschiert, gezähntes Stück | 1 | 0.67 |
| lateral retuschiert, gekerbtes Stück | 3 | 2.00 |
| gekerbte Klinge | 1 | 0.67 |
| Schaber, einfach | 5 | 3.33 |
| Mikrolith: rückengestumpfte Microblade | 2 | 1.33 |
| Mikrolith: retuschierte Lamelle, einfach | 3 | 2.00 |
| Mikrolith: retuschierte Microblade, einfach | 46 | 30.67 |
| Mikrolith: retuschierte Stichel-Lamelle, beidseitig | 1 | 0.67 |
| Mikrolith: alternierend (Dufour-Microblade) | 8 | 5.33 |
| Mikrolith: bi-lateral dorsal (Pseudo-Dufour-Microblade) | 7 | 4.67 |
| Mikrolith: gekerbte Microblade | 1 | 0.67 |
| Ge2 | 18 | 12.00 |
| Ge3 | 10 | 6.67 |
| Kratzer, einfach; lateral retuschiert, einfach | 1 | 0.67 |
| Kratzer, einfach; lateral retuschiert, beidseitig | 1 | 0.67 |
| Kratzer, einfach; lateral retuschiert, umlaufend | 1 | 0.67 |
| Kratzer, einfach; Stichel, Bogen- | 1 | 0.67 |
| Kratzer, Hoch-/Kiel-; Stichel, einfach (an Klinge) | 1 | 0.67 |
| Mikrolith: retuschierte & rückengestumpfte Microblade | 1 | 0.67 |
| Stichel, an Endretusche; lateral retuschiert, einfach | 1 | 0.67 |
| Stichel, an Endretusche; lateral retuschiert, beidseitig | 1 | 0.67 |
| Gesamt | 150 | 100.00 |

Tab. 11.2.34. Siuren 1, Schicht Fb1-2. Formale Geräte. Nach Grundformen aufgeschlüsselt.

| Gerätetyp | N | % |
|--|-----|--------|
| Kratzer, Hoch-/Kiel- | 2 | 1.33 |
| Kratzer, Nasen- | 2 | 1.33 |
| Stichel, Kiel- | 1 | 0.67 |
| alternierend (Dufour-Lamelle) | 8 | 5.33 |
| bi-lateral dorsal (Pseudo-Dufour-Lamelle) | 7 | 4.67 |
| Kratzer, einfach; lateral retuschiert, umlaufend | 1 | 0.67 |
| Kratzer, Hoch-/Kiel-; Stichel, einfach | 1 | 0.67 |
| Kratzer, einfach; Stichel, Bogen- | 1 | 0.67 |
| Anteil am Gesamtinventar | 23 | 15.33 |
| Gesamt | 150 | 100.00 |

Tab. 11.2.35. Siuren 1, Schicht Fb1-2. Leitformen des Aurignacien.

| Siuren 1, Level Fa3: Kerne | Typ | N | % | N | % |
|----------------------------|------------------------|---|-----|---|-----|
| Klingenkern | Klingenkern, einfach | 1 | 25 | 1 | 25 |
| Lamellenkern | Lamellenkern, einfach | 1 | 25 | 3 | 75 |
| | Lamellenkern, mehrfach | 2 | 25 | | |
| Gesamt | | 4 | 100 | 4 | 100 |

Tab. 11.2.36. Siuren 1, Schicht Fa3. Kerne.

| Siuren 1, Level Fa3: Grundformen (inklusive formaler Geräte & Kernen) | Grundform | N | % | N | % |
|---|--------------------------------------|-----|-------|-----|-------|
| Abschlag | Abschlag, einfach | 50 | 27.78 | 60 | 33.33 |
| | Abschlag, Breit- | 7 | 3.89 | | |
| | Präparationsabschlag, Kernkantenrest | 2 | 1.11 | | |
| | Präparationsabschlag, Kortexkante | 1 | 0.56 | | |
| Klinge | Klinge, einfach | 23 | 12.78 | 33 | 18.33 |
| | Klinge, Kernkante | 5 | 2.78 | | |
| | Klinge, Kernkantenrest | 4 | 2.22 | | |
| | Klinge, Kortexkante | 1 | 0.56 | | |
| Lamelle / Microblade | Lamelle, einfach | 30 | 16.67 | 71 | 39.44 |
| | Lamelle, Kernkante | 5 | 2.78 | | |
| | Microblade | 34 | 18.89 | | |
| | Lamelle, Stichel | 2 | 1.11 | | |
| Sonstiges | Kernscheibe | 7 | 3.89 | 16 | 8.89 |
| | Trümmer, Schlag | 1 | 0.56 | | |
| | nicht erkennbar | 8 | 4.44 | | |
| GESAMT | | 180 | 100 | 180 | 100 |

Tab. 11.2.37. Siuren 1, Schicht Fa3. Grundformen.

| Siuren 1, Level Fa3: modifizierte Grundformen | Grundform | N | % | N | % |
|--|------------------------|----|-------|----|-------|
| Abschlag | Abschlag, einfach | 7 | 31.82 | 7 | 31.82 |
| Klinge | Klinge, einfach | 4 | 18.18 | 5 | 22.73 |
| | Klinge, Kernkantenrest | 1 | 4.55 | | |
| Lamelle / Microblade | Microblade | 5 | 22.73 | 5 | 22.73 |
| Sonstiges | nicht erkennbar | 5 | 22.73 | 5 | 22.73 |
| Gesamt | | 22 | 100 | 22 | 100 |

Tab. 11.2.38. Siuren 1, Schicht Fa3. Modifizierte Grundformen.

| Siuren 1, Level Fa3: formale Geräte (inklusive Kernen) | Gerät | N | % | N | % |
|---|---|---|-------|----|-------|
| Funktionsende (distal / basal) | Kratzer, einfach | 1 | 4.55 | 1 | 4.55 |
| Stichelschneide (distal / basal) | Stichel, Mehrschlag- (dihedral) | 2 | 9.09 | 3 | 13.64 |
| | Stichel, Kiel- | 1 | 4.55 | | |
| Arbeitskante (lateral) | lateral retuschiert, einfach | 8 | 36.36 | 15 | 68.18 |
| | lateral retuschiert, beidseitig | 1 | 4.55 | | |
| | lateral retuschiert, gezähntes Stück | 1 | 4.55 | | |
| | bi-lateral dorsal (Pseudo-Dufour-Lamelle) | 1 | 4.55 | | |
| | GMS, Ge2 | 2 | 9.09 | | |
| | GMS, Ge3 | 2 | 9.09 | | |
| | bilateral dorsal (Pseudo-Dufour-Lamelle); gezähntes Stück | 1 | 4.55 | | |
| | Endretusche, gerade; lateral retuschiert, einfach | 1 | 4.55 | | |
| | Stichel, einfach; lateral retuschiert, einfach | 1 | 4.55 | | |
| | Gesamt | | 22 | | |

Tab. 11.2.39. Siuren 1, Schicht Fa3. Formale Geräte.

| Siuren 1, Level Fa3: Gerätetypen | | | | | |
|--|----|--------|-----|-----|--|
| | N | % | Ge2 | Ge3 | |
| Kratzer, einfach (Klinge) | 1 | 4.55 | | | |
| Stichel, Kiel- | 1 | 4.55 | | | |
| Stichel, Mehrschlag- (Klinge) | 2 | 9.09 | | | |
| lateral retuschiert, einfach | 3 | 13.64 | | 2 | |
| retuschierte Klinge, einfach | 1 | 4.55 | | | |
| Mikrolith: retuschierte Microblade, einfach | 1 | 4.55 | | | |
| Mikrolith: retuschierte Microblade, einfach | 1 | 4.55 | | | |
| Mikrolith: bi-lateral dorsal (Pseudo-Dufour-Microblade) | 1 | 4.55 | | | |
| Schaber, einfach | 2 | 9.09 | | | |
| Schaber, Doppel- | 1 | 4.55 | 1 | | |
| lateral retuschiert, gezähntes Stück | 1 | 4.55 | | | |
| GMS, Ge2 (Klinge) | 2 | 9.09 | | | |
| GMS, Ge3 (Microblade) | 1 | 4.55 | | | |
| GMS, Ge3 | 1 | 4.55 | | | |
| gerade Endretusche an Abschlag; lateral retuschiert, einfach | 1 | 4.55 | 1 | | |
| Mikrolith: gezähntes Stück; bi-lateral dorsal (Pseudo-Dufour-Microblade) | 1 | 4.55 | | | |
| Stichel, einfach; lateral retuschiert, einfach | 1 | 4.55 | | | |
| Gesamt | 22 | 100.00 | 2 | 2 | |

Tab. 11.2.40. Siuren 1, Schicht Fa3. Formale Geräte, nach Grundformen aufgeschlüsselt.

| Siuren 1, Level Fa1-2: Kerne | Typ | N | % | N | % |
|---------------------------------|---------------------------------|---|-----|---|-----|
| Klingen-/Abschlagkern | Klingen-/Abschlagkern, mehrfach | 1 | 50 | 1 | 50 |
| Lamellenkern | Lamellenkern, einfach | 1 | 50 | 1 | 50 |
| Gesamt | | 2 | 100 | 2 | 100 |

Tab. 11.2.41. Siuren 1, Schicht Fa1-2. Kerne.

| Siuren 1, Level Fa1-2: Grundformen (inklusive formaler Geräte & Kernen) | Grundform | N | % | N | % |
|---|---------------------------------|----|-------|----|-------|
| Abschlag | Abschlag einfach | 28 | 32.18 | 34 | 39.08 |
| | Abschlag, Breit- | 3 | 3.45 | | |
| | Präparationsabschlag, Kernkante | 3 | 3.45 | | |
| Klinge | Klinge, einfach | 12 | 13.79 | 17 | 19.54 |
| | Klinge, Kernkante | 3 | 3.45 | | |
| | Klinge, Kernkantenrest | 2 | 2.30 | | |
| Lamelle / Microblade | Lamelle, einfach | 23 | 26.44 | 31 | 35.63 |
| | Lamelle, Kernkante | 4 | 4.60 | | |
| | Microblade | 2 | 2.30 | | |
| | Lamelle, Stichel | 2 | 2.30 | | |
| Sonstiges | Kernscheibe | 2 | 2.30 | 5 | 5.75 |
| | nicht erkennbar | 3 | 3.45 | | |
| GESAMT | | 87 | 100 | 87 | 100 |

Tab. 11.2.42. Siuren 1, Schicht Fa1-2. Grundformen.

| Siuren 1, Level Fa1-2: modifizierte Grundformen | Grundform | N | % | N | % |
|--|-------------------|---|-------|---|-------|
| Abschlag | Abschlag, einfach | 4 | 44.44 | 4 | 44.44 |
| Klinge | Klinge, einfach | 1 | 11.11 | 1 | 11.11 |
| Lamelle / Microblade | Lamelle, einfach | 1 | 11.11 | 2 | 22.22 |
| | Microblade | 1 | 11.11 | | |
| Sonstiges | nicht erkennbar | 2 | 22.22 | 2 | 22.22 |
| Gesamt | | 9 | 100 | 9 | 100 |

Tab. 11.2.43. Siuren 1, Schicht Fa1-2. Modifizierte Grundformen.

| Siuren 1, Level Fa1-2: formale Geräte (inklusive Kerne) | Gerät | N | % | N | % |
|---|--|---|-------|---|-------|
| Funktionsende (distal / basal) | Kratzer, einfach | 1 | 11.11 | 4 | 44.44 |
| | Endretusche, gerade | 2 | 22.22 | | |
| | Endretusche, schräg | 1 | 11.11 | | |
| Stichelschneide (distal / basal) | Stichel, einfach | 1 | 11.11 | 2 | 22.22 |
| | Stichel, Kiel- | 1 | 11.11 | | |
| Arbeitskante (lateral) | lateral retuschiert, einfach (Fragment) | 1 | 11.11 | 2 | 22.22 |
| | alternierend (Dufour-Lamelle) | 1 | 11.11 | | |
| Funktionsende / Arbeitskante | Kratzer, Kiel-; lateral retuschiert, gekerbtes Stück | 1 | 11.11 | 1 | 11.11 |
| Gesamt | | 9 | 100 | 9 | 100 |

Tab. 11.2.44. Siuren 1, Schicht Fa1-2. Formale Geräte.

| Siuren 1, Level Fa1-2: Gerätetyp | N | % |
|--|---|--------|
| Kratzer, einfach | 1 | 11.11 |
| Kratzer, Kiel-; lateral retuschiert, gekerbtes Stück | 1 | 11.11 |
| Endretusche, gerade | 1 | 11.11 |
| Endretusche, gerade | 1 | 11.11 |
| Klingenstichel, einfach | 1 | 11.11 |
| Stichel, Kiel- | 1 | 11.11 |
| Mikrolith: schräge Endretusche (Lamelle) | 1 | 11.11 |
| Mikrolith: alternierend (Dufour-Microblade) | 1 | 11.11 |
| lateral retuschiert, einfach (Fragment) | 1 | 11.11 |
| Gesamt | 9 | 100.00 |

Tab. 11.2.45. Siuren 1, Schicht Fa1-2. Formale Geräte, nach Grundformen aufgeschlüsselt.

| Siuren 1, Level H: alle Artefakte - Schlagflächenreste | N | % |
|---|------------|---------------|
| ohne | 58 | 26,48 |
| facettiert | 8 | 3,65 |
| glatt | 74 | 33,79 |
| Kortex | 1 | 0,46 |
| gesplittert | 15 | 6,85 |
| punktförmig | 16 | 7,31 |
| dièdre | 1 | 0,46 |
| gratförmig | 30 | 13,70 |
| Bruch | 3 | 1,37 |
| sonstiges | 11 | 5,02 |
| keine Angabe | 2 | 0,91 |
| Gesamt | 219 | 100,00 |

Tab. 11.3.1. Siuren 1, Schicht H. Schlagflächenreste aller Grundformen.

| Siuren 1, Level H: Abschläge & Absplisse >1cm - Schlagflächenreste | N | % |
|--|-----------|---------------|
| ohne | 5 | 9,62 |
| facettiert | 3 | 5,77 |
| glatt | 19 | 36,54 |
| Kortex | 1 | 1,92 |
| gesplittert | 6 | 11,54 |
| punktförmig | 2 | 3,85 |
| punktförmig | 0 | 0,00 |
| dièdre | 0 | 0,00 |
| gratförmig | 9 | 17,31 |
| Bruch | 1 | 1,92 |
| sonstiges | 6 | 11,54 |
| Gesamt | 52 | 100,00 |

Tab. 11.3.2. Siuren 1, Schicht H. Schlagflächenreste aller untersuchten Abschläge >1 cm.

| Siuren 1, Level H: Formüberarbeitungs- Abschläge - Schlagflächenreste | N | % |
|--|----------|----------|
| glatt | 4 | 57,14 |
| sonstiges | 3 | 42,86 |
| Gesamt | 7 | 100,00 |

Tab. 11.3.3. Siuren 1, Schicht H. Schlagflächenreste aller untersuchten Formüberarbeitungsabschläge.

| Siuren 1, Level H: Klingen - Schlagflächenreste | N | % |
|--|----------|----------|
| ohne | 7 | 18,92 |
| glatt | 13 | 35,14 |
| gesplittert | 3 | 8,11 |
| punktförmig | 3 | 8,11 |
| dièdre | 1 | 2,70 |
| gratförmig | 6 | 16,22 |
| Bruch | 2 | 5,41 |
| sonstiges | 2 | 5,41 |
| Gesamt | 37 | 100,00 |

Tab. 11.3.4. Siuren 1, Schicht H. Schlagflächenreste aller untersuchten Klingen.

| Siuren 1, Level H: Lamellen, Stichellamellen & Microblades - Schlagflächenreste | N | % |
|--|----------|----------|
| ohne | 40 | 37,74 |
| facettiert | 2 | 1,89 |
| glatt | 33 | 31,13 |
| gesplittert | 5 | 4,72 |
| punktförmig | 11 | 10,38 |
| gratförmig | 15 | 14,15 |
| Gesamt | 106 | 100,00 |

Tab. 11.3.5. Siuren 1, Schicht H. Schlagflächenreste aller untersuchten lamellaren Grundformen.

| Siuren 1, Level H: Lamellen - Schlagflächenreste | N | % | Siuren 1, Level H: Stichellamellen - Schlagflächenreste | N | % | Siuren 1, Level H: Microblades - Schlagflächenreste | N | % |
|--|----|--------|---|---|--------|---|----|--------|
| ohne | 18 | 28,13 | ohne | 4 | 57,14 | ohne | 18 | 51,43 |
| facettiert | 2 | 3,13 | facettiert | 0 | 0,00 | facettiert | 0 | 0,00 |
| glatt | 25 | 39,06 | glatt | 1 | 14,29 | glatt | 7 | 20,00 |
| gesplittert | 4 | 6,25 | gesplittert | 0 | 0,00 | gesplittert | 1 | 2,86 |
| punktförmig | 8 | 12,50 | punktförmig | 1 | 14,29 | punktförmig | 2 | 5,71 |
| gratförmig | 7 | 10,94 | gratförmig | 1 | 14,29 | gratförmig | 7 | 20,00 |
| Gesamt | 64 | 100,00 | Gesamt | 7 | 100,00 | Gesamt | 35 | 100,00 |

Tab. 11.3.6. Siuren 1, Schicht H. Schlagflächenreste der untersuchten Lamellen, Stichellamellen & Microblades.

| Siuren 1, Level H: alle Artefakte - Schlaglippe | N | % |
|--|-----|--------|
| mit Lippe | 98 | 44,75 |
| ohne Lippe | 53 | 24,20 |
| sonstiges | 68 | 31,05 |
| Gesamt | 219 | 100,00 |

Tab. 11.3.7. Siuren 1, Schicht H. Schlagmerkmal Lippe. Alle untersuchten Artefakte.

| Siuren 1, Level H: Abschläge & Absplisse >1cm - Schlaglippe | N | % |
|---|----|--------|
| mit Lippe | 34 | 58,62 |
| ohne Lippe | 17 | 29,31 |
| k.A. | 7 | 12,07 |
| Gesamt | 58 | 100,00 |

Tab. 11.3.8. Siuren 1, Schicht H. Schlagmerkmal Lippe. Alle untersuchten Abschläge >1 cm.

| Siuren 1, Level H: Klingen - Schlaglippe | N | % |
|---|----------|----------|
| mit Lippe | 18 | 47,37 |
| ohne Lippe | 10 | 26,32 |
| keine Angabe | 10 | 26,32 |
| Gesamt | 38 | 100,00 |

Tab. 11.3.9. Siuren 1, Schicht H. Schlagmerkmal Lippe. Alle untersuchten Klingen.

| Siuren 1, Level H: Lamellen, Stichellamellen & Microblades - Schlaglippe | N | % |
|---|----------|----------|
| mit Lippe | 42 | 39,25 |
| ohne Lippe | 25 | 23,36 |
| keine Angabe | 40 | 37,38 |
| Gesamt | 107 | 100,00 |

Tab. 11.3.10. Siuren 1, Schicht H. Schlagmerkmal Lippe. Alle untersuchten lamellaren Grundformen.

| Siuren 1, Level H: Kernscheiben - Schlaglippe | N | % |
|--|----------|----------|
| mit Lippe | 4 | 80 |
| ohne Lippe | 1 | 20 |
| keine Angabe | 0 | 0 |
| Gesamt | 5 | 100 |

Tab. 11.3.11. Siuren 1, Schicht H. Schlagmerkmal Lippe. Alle Kernscheiben.

| Siuren 1, Level H: Formüberarbeitungs- Abschläge - Schlaglippe | N | % |
|---|----------|----------|
| mit Lippe | 7 | 100,00 |
| ohne Lippe | 0 | 0,00 |
| k.A. | 0 | 0,00 |
| Gesamt | 7 | 100,00 |

Tab. 11.3.12. Siuren 1, Schicht H. Schlagmerkmal Lippe. Formüberarbeitungsabschläge.

| Siuren 1, Level H: alle Artefakte - Bulbus | N | % |
|---|----------|----------|
| mit Bulbus | 109 | 49,77 |
| ohne Bulbus | 41 | 18,72 |
| ausgesplittert | 4 | 1,83 |
| k.A. | 65 | 29,68 |
| Gesamt | 219 | 100,00 |

Tab. 11.3.13. Siuren 1, Schicht H. Schlagmerkmal Bulbus. Alle Artefakte.

| Siuren 1, Level H: Abschläge & Absplisse >1cm - Bulbus | N | % |
|--|----------|----------|
| mit Bulbus | 28 | 54,90 |
| ohne Bulbus | 15 | 29,41 |
| ausgesplittert | 2 | 3,92 |
| k.A. | 6 | 11,76 |
| Gesamt | 51 | 100,00 |

Tab. 11.3.14. Siuren 1, Schicht H. Schlagmerkmal Bulbus. Alle untersuchten Abschläge >1 cm.

| Siuren 1, Level H: Klingen - Bulbus | N | % |
|--|-----------|---------------|
| mit Bulbus | 22 | 57,89 |
| ohne Bulbus | 7 | 18,42 |
| ausgesplittert | 1 | 2,63 |
| k.A. | 8 | 21,05 |
| Gesamt | 38 | 100,00 |

Tab. 11.3.15. Siuren 1, Schicht H. Schlagmerkmal Bulbus. Alle untersuchten Klingen.

| Siuren 1, Level H: Lamellen, Stichel- Lamellen & Microblades - Bulbus | N | % |
|--|------------|---------------|
| mit Bulbus | 51 | 47,66 |
| ohne Bulbus | 15 | 14,02 |
| ausgesplittert | 1 | 0,93 |
| k.A. | 40 | 37,38 |
| Gesamt | 107 | 100,00 |

Tab. 11.3.16. Siuren 1, Schicht H. Schlagmerkmal Bulbus. Alle lamellaren Grundformen.

| Siuren 1, Level H: Lamellen - Bulbus | N | % | Siuren 1, Level H: Stichel- Lamellen - Bulbus | N | % | Siuren 1, Level H: Microblades - Bulbus | N | % |
|---|-----------|---------------|--|----------|---------------|--|-----------|---------------|
| mit Bulbus | 36 | 55,38 | mit Bulbus | 2 | 28,57 | mit Bulbus | 13 | 37,14 |
| ohne Bulbus | 9 | 13,85 | ohne Bulbus | 2 | 28,57 | ohne Bulbus | 4 | 11,43 |
| ausgesplittert | 1 | 1,54 | ausgesplittert | 0 | 0,00 | ausgesplittert | 0 | 0,00 |
| k.A. | 19 | 29,23 | k.A. | 3 | 42,86 | k.A. | 18 | 51,43 |
| Gesamt | 65 | 100,00 | Gesamt | 7 | 100,00 | Gesamt | 35 | 100,00 |

Tab. 11.3.17. Siuren 1, Schicht H. Schlagmerkmal Bulbus. Lamellen, Stichel lamellen & Microblades.

| Siuren 1, Level H: alle Artefakte - Profil | N | % |
|---|----------|----------|
| gerade | 89 | 40,64 |
| gebogen | 81 | 36,99 |
| tordiert | 22 | 10,05 |
| keine Angabe | 27 | 12,33 |
| Gesamt | 219 | 100,00 |

Tab. 11.3.18. Siuren 1, Schicht H. Schlagmerkmal Profil. Alle Artefakte.

| Siuren 1, Level H: Abschläge & Absplisse - Profil | N | % |
|--|----------|----------|
| gerade | 29 | 56,86 |
| gebogen | 19 | 37,25 |
| tordiert | 0 | 0,00 |
| keine Angabe | 3 | 5,88 |
| Gesamt | 51 | 100,00 |

Tab. 11.3.19. Siuren 1, Schicht H. Schlagmerkmal Profil. Alle untersuchten Abschläge >1 cm.

| Siuren 1, Level H: Kernscheiben - Profil | N | % |
|---|----------|----------|
| gerade | 4 | 80,00 |
| gebogen | 1 | 20,00 |
| tordiert | 0 | 0,00 |
| keine Angabe | 0 | 0,00 |
| Gesamt | 5 | 100,00 |

Tab. 11.3.20. Siuren 1, Schicht H. Schlagmerkmal Profil. Alle untersuchten Kernscheiben.

| Siuren 1, Level H: Klingen - Profil | N | % |
|--|-----------|---------------|
| gerade | 15 | 39,47 |
| gebogen | 18 | 47,37 |
| tordiert | 4 | 10,53 |
| keine Angabe | 1 | 2,63 |
| Gesamt | 38 | 100,00 |

Tab. 11.3.21. Siuren 1, Schicht H. Schlagmerkmal Profil. Alle untersuchten Klingen.

| Siuren 1, Level H: Lamellen, Stichel- Lamellen & Microblades - Profil | N | % |
|--|------------|---------------|
| gerade | 38 | 35,51 |
| gebogen | 37 | 34,58 |
| tordiert | 18 | 16,82 |
| keine Angabe | 14 | 13,08 |
| Gesamt | 107 | 100,00 |

Tab. 11.3.22. Siuren 1, Schicht H. Schlagmerkmal Profil. Alle lamellaren Grundformen.

| Siuren 1, Level H: Lamellen - Profil | N | % | Siuren 1, Level H: Stichel- Lamellen - Profil | N | % | Siuren 1, Level H: Microblades - Profil | N | % |
|---|-----------|---------------|--|----------|---------------|--|-----------|---------------|
| gerade | 20 | 31,25 | gerade | 5 | 71,43 | gerade | 13 | 37,14 |
| gebogen | 23 | 35,94 | gebogen | 1 | 14,29 | gebogen | 12 | 34,29 |
| tordiert | 13 | 20,31 | tordiert | 1 | 14,29 | tordiert | 4 | 11,43 |
| keine Angabe | 8 | 12,50 | keine Angabe | 0 | 0,00 | keine Angabe | 6 | 17,14 |
| Gesamt | 64 | 100,00 | Gesamt | 7 | 100,00 | Gesamt | 35 | 100,00 |

Tab. 11.3.23. Siuren 1, Schicht H. . Schlagmerkmal Profil. Lamellen, Stichel lamellen & Microblades.

| Siuren 1, Level Gd: alle Artefakte - Schlagflächenreste | N | % |
|--|------------|---------------|
| ohne | 86 | 35,68 |
| facettiert | 3 | 1,24 |
| glatt | 64 | 26,56 |
| Kortex | 5 | 2,07 |
| Kluft | 2 | 0,83 |
| gesplittert | 16 | 6,64 |
| punktförmig | 12 | 4,98 |
| dièdre | 2 | 0,83 |
| gratförmig | 38 | 15,77 |
| Bruch | 6 | 2,49 |
| sonstiges | 4 | 1,66 |
| keine Angabe | 3 | 1,24 |
| Gesamt | 241 | 100,00 |

Tab. 11.3.24. Siuren 1, Schicht Gd. Merkmal Schlagflächenrest. Alle Artefakte.

| Siuren 1, Level Gd: Abschläge & Absplisse >1cm - Schlagflächenreste | N | % |
|---|-----------|---------------|
| ohne | 2 | 3,08 |
| facettiert | 2 | 3,08 |
| glatt | 24 | 36,92 |
| Kortex | 4 | 6,15 |
| Kluft | 2 | 3,08 |
| gesplittert | 8 | 12,31 |
| punktförmig | 4 | 6,15 |
| dièdre | 1 | 1,54 |
| gratförmig | 12 | 18,46 |
| Bruch | 5 | 7,69 |
| sonstiges | 1 | 1,54 |
| keine Angabe | 0 | 0,00 |
| Gesamt | 65 | 100,00 |

Tab. 11.3.25. Siuren 1, Schicht Gd. Merkmal Schlagflächenrest. Alle Abschläge >1 cm.

| Siuren 1, Level Gd: Klingen - Schlagflächenreste | N | % |
|---|-----------|---------------|
| ohne | 13 | 39,39 |
| facettiert | 0 | 0,00 |
| glatt | 10 | 30,30 |
| Kortex | 0 | 0,00 |
| Kluft | 0 | 0,00 |
| gesplittert | 3 | 9,09 |
| punktförmig | 2 | 6,06 |
| dièdre | 1 | 3,03 |
| gratförmig | 4 | 12,12 |
| Bruch | 0 | 0,00 |
| sonstiges | 0 | 0,00 |
| keine Angabe | 0 | 0,00 |
| Gesamt | 33 | 100,00 |

Tab. 11.3.26. Siuren 1, Schicht Gd. Merkmal Schlagflächenrest. Alle Klingen.

| Siuren 1, Level Gd: Lamellen, Stichel- Lamellen & Microblades - Schlagflächenreste | N | % |
|---|------------|---------------|
| ohne | 67 | 54,47 |
| facettiert | 0 | 0,00 |
| glatt | 22 | 17,89 |
| Kortex | 0 | 0,00 |
| Kluft | 0 | 0,00 |
| gesplittert | 4 | 3,25 |
| punktförmig | 6 | 4,88 |
| dièdre | 0 | 0,00 |
| gratförmig | 20 | 16,26 |
| Bruch | 1 | 0,81 |
| sonstiges | 0 | 0,00 |
| keine Angabe | 3 | 2,44 |
| Gesamt | 123 | 100,00 |

Tab. 11.3.27. Siuren 1, Schicht Gd. Merkmal Schlagflächenrest. Alle lamellaren Grundformen.

| Siuren 1, Level Gd: Lamellen - Schlagflächenreste | N | % | Siuren 1, Level Gd: Stichel-Lamellen - Schlagflächenreste | N | % | Siuren 1, Level Gd: Microblades - Schlagflächenreste | N | % |
|---|----|--------|---|---|--------|--|----|--------|
| ohne | 21 | 45,65 | ohne | 1 | 100,00 | ohne | 45 | 59,21 |
| facettiert | 0 | 0,00 | facettiert | 0 | 0,00 | facettiert | 0 | 0,00 |
| glatt | 9 | 19,57 | glatt | 0 | 0,00 | glatt | 13 | 17,11 |
| Kortex | 0 | 0,00 | Kortex | 0 | 0,00 | Kortex | 0 | 0,00 |
| Kluft | 0 | 0,00 | Kluft | 0 | 0,00 | Kluft | 0 | 0,00 |
| gesplittert | 2 | 4,35 | gesplittert | 0 | 0,00 | gesplittert | 2 | 2,63 |
| punktförmig | 2 | 4,35 | punktförmig | 0 | 0,00 | punktförmig | 4 | 5,26 |
| dièdre | 0 | 0,00 | dièdre | 0 | 0,00 | dièdre | 0 | 0,00 |
| gratförmig | 11 | 23,91 | gratförmig | 0 | 0,00 | gratförmig | 9 | 11,84 |
| Bruch | 1 | 2,17 | Bruch | 0 | 0,00 | Bruch | 0 | 0,00 |
| sonstiges | 0 | 0,00 | sonstiges | 0 | 0,00 | sonstiges | 0 | 0,00 |
| keine Angabe | 0 | 0,00 | keine Angabe | 0 | 0,00 | keine Angabe | 3 | 3,95 |
| Gesamt | 46 | 100,00 | Gesamt | 1 | 100,00 | Gesamt | 76 | 100,00 |

Tab. 11.3.28. Siuren 1, Schicht Gd. Merkmal Schlagflächenrest. Lamellen, Stichel-Lamellen & Microblades.

| Siuren 1, Level Gd: Kerne (Grundform nicht erkennbar) - Schlagflächenreste | N | % |
|---|---|--------|
| ohne | 0 | 0,00 |
| facettiert | 0 | 0,00 |
| glatt | 5 | 100,00 |
| Kortex | 0 | 0,00 |
| Kluft | 0 | 0,00 |
| gesplittert | 0 | 0,00 |
| punktförmig | 0 | 0,00 |
| dièdre | 0 | 0,00 |
| gratförmig | 0 | 0,00 |
| Bruch | 0 | 0,00 |
| sonstiges | 0 | 0,00 |
| keine Angabe | 0 | 0,00 |
| Gesamt | 5 | 100,00 |

Tab. 11.3.29. Siuren 1, Schicht Gd. Merkmal Schlagflächenrest. Alle nicht erkennbaren Grundformen.

| Siuren 1, Level Gd: Kernscheiben - Schlagflächenreste | N | % |
|--|----------|----------|
| ohne | 1 | 20,00 |
| facettiert | 1 | 20,00 |
| glatt | 0 | 0,00 |
| Kortex | 0 | 0,00 |
| Kluft | 0 | 0,00 |
| gesplittert | 1 | 20,00 |
| punktförmig | 0 | 0,00 |
| dièdre | 0 | 0,00 |
| gratförmig | 0 | 0,00 |
| Bruch | 0 | 0,00 |
| sonstiges | 2 | 40,00 |
| keine Angabe | 0 | 0,00 |
| Gesamt | 5 | 100,00 |

Tab. 11.3.30. Siuren 1, Schicht Gd. Merkmal Schlagflächenrest. Alle Kernscheiben.

| Siuren 1, Level Gd: Formüberarbeitungs- Abschläge - Schlagflächenreste | N | % |
|---|----------|----------|
| ohne | 0 | 0,00 |
| facettiert | 0 | 0,00 |
| glatt | 2 | 50,00 |
| Kortex | 0 | 0,00 |
| Kluft | 0 | 0,00 |
| gesplittert | 0 | 0,00 |
| punktförmig | 0 | 0,00 |
| dièdre | 0 | 0,00 |
| gratförmig | 1 | 25,00 |
| Bruch | 0 | 0,00 |
| sonstiges | 1 | 25,00 |
| keine Angabe | 0 | 0,00 |
| Gesamt | 4 | 100,00 |

Tab. 11.3.31. Siuren 1, Schicht Gd. Merkmal Schlagflächenrest. Formüberarbeitungsabschläge.

| Siuren 1, Level Gd: alle Artefakte - Schlaglippe | N | % |
|---|----------|----------|
| mit Lippe | 99 | 41,08 |
| ohne Lippe | 47 | 19,50 |
| k.A. | 95 | 39,42 |
| Gesamt | 241 | 100,00 |

Tab. 11.3.32. Siuren 1, Schicht Gd. Merkmal Schlaglippe. Alle Artefakte.

| Siuren 1, Level Gd: Klingen - Schlaglippe | N | % |
|--|----------|----------|
| mit Lippe | 17 | 51,52 |
| ohne Lippe | 3 | 9,09 |
| k.A. | 13 | 39,39 |
| Gesamt | 33 | 100,00 |

Tab. 11.3.33. Siuren 1, Schicht Gd. Merkmal Schlaglippe. Klingen.

| Siuren 1, Level Gd: Lamellen, Stichel- Lamellen & Microblades - Schlaglippe | N | % |
|--|----------|----------|
| mit Lippe | 39 | 31,71 |
| ohne Lippe | 14 | 11,38 |
| k.A. | 70 | 56,91 |
| Gesamt | 123 | 100,00 |

Tab. 11.3.34. Siuren 1, Schicht Gd. Merkmal Schlaglippe. Lamellare Grundformen.

| Siuren 1, Level Gd: Lamellen - Schlaglippe | N | % | Siuren 1, Level Gd: Stichel-Lamellen - Schlaglippe | N | % | Siuren 1, Level Gd: Microblades - Schlaglippe | N | % |
|---|----------|----------|---|----------|----------|--|----------|----------|
| mit Lippe | 18 | 39,13 | mit Lippe | 0 | 0,00 | mit Lippe | 21 | 27,63 |
| ohne Lippe | 7 | 15,22 | ohne Lippe | 0 | 0,00 | ohne Lippe | 7 | 9,21 |
| k.A. | 21 | 45,65 | k.A. | 1 | 100,00 | k.A. | 48 | 63,16 |
| Gesamt | 46 | 100,00 | Gesamt | 1 | 100,00 | Gesamt | 76 | 100,00 |

Tab. 11.3.35. Siuren 1, Schicht Gd. Merkmal Schlaglippe. Lamellen, Stichel-Lamellen & Microblades.

| Siuren 1, Level Gd: Kerscheiben - Schlaglippe | N | % |
|--|----------|----------|
| mit Lippe | 1 | 20,00 |
| ohne Lippe | 3 | 60,00 |
| k.A. | 1 | 20,00 |
| Gesamt | 5 | 100,00 |

Tab. 11.3.36. Siuren 1, Schicht Gd. Merkmal Schlaglippe. Kerscheiben.

| Siuren 1, Level Gd: Formüberarbeitungs- Abschläge - Schlaglippe | N | % |
|--|----------|----------|
| mit Lippe | 3 | 75,00 |
| ohne Lippe | 1 | 25,00 |
| k.A. | 0 | 0,00 |
| Gesamt | 4 | 100,00 |

Tab. 11.3.37. Siuren 1, Schicht Gd. Merkmal Schlaglippe. Formüberarbeitungsabschläge.

| Siuren 1, Level Gd: alle Artefakte - Bulbus | N | % |
|--|------------|---------------|
| mit Bulbus | 108 | 44,81 |
| ohne Bulbus | 34 | 14,11 |
| ausgesplittert | 4 | 1,66 |
| k.A. | 95 | 39,42 |
| Gesamt | 241 | 100,00 |

Tab. 11.3.38. Siuren 1, Schicht Gd. Merkmal Bulbus. Alle Artefakte.

| Siuren 1, Level Gd: Abschläge & Absplisse >1cm - Bulbus | N | % |
|---|-----------|---------------|
| mit Bulbus | 49 | 74,24 |
| ohne Bulbus | 13 | 19,70 |
| ausgesplittert | 1 | 1,52 |
| k.A. | 3 | 4,55 |
| Gesamt | 66 | 100,00 |

Tab. 11.3.39. Siuren 1, Schicht Gd. Merkmal Bulbus. Abschläge > 1 cm.

| Siuren 1, Level Gd: Kernscheiben - Bulbus | N | % |
|--|----------|---------------|
| mit Bulbus | 3 | 60,00 |
| ohne Bulbus | 1 | 20,00 |
| ausgesplittert | 0 | 0,00 |
| k.A. | 1 | 20,00 |
| Gesamt | 5 | 100,00 |

Tab. 11.3.40. Siuren 1, Schicht Gd. Merkmal Bulbus. Kernscheiben.

| Siuren 1, Level Gd: Klingen - Bulbus | N | % |
|---|-----------|---------------|
| mit Bulbus | 13 | 39,39 |
| ohne Bulbus | 7 | 21,21 |
| ausgesplittert | 0 | 0,00 |
| k.A. | 13 | 39,39 |
| Gesamt | 33 | 100,00 |

Tab. 11.3.41. Siuren 1, Schicht Gd. Merkmal Bulbus. Klingen.

| Siuren 1, Level Gd: Lamellen, Stichel- Lamellen & Microblades - Bulbus | N | % |
|---|------------|---------------|
| mit Bulbus | 41 | 33,33 |
| ohne Bulbus | 10 | 8,13 |
| ausgesplittert | 2 | 1,63 |
| k.A. | 70 | 56,91 |
| Gesamt | 123 | 100,00 |

Tab. 11.3.42. Siuren 1, Schicht Gd. Merkmal Bulbus. Lamellare Grundformen.

| Siuren 1, Level Gd: Lamellen - Bulbus | N | % | Siuren 1, Level Gd: Stichel-Lamellen - Bulbus | N | % | Siuren 1, Level Gd: Microblades - Bulbus | N | % |
|--|-----------|---------------|--|----------|---------------|---|-----------|---------------|
| mit Bulbus | 21 | 45,65 | mit Bulbus | 0 | 0,00 | mit Bulbus | 20 | 26,32 |
| ohne Bulbus | 3 | 6,52 | ohne Bulbus | 0 | 0,00 | ohne Bulbus | 7 | 9,21 |
| ausgesplittert | 1 | 2,17 | ausgesplittert | 0 | 0,00 | ausgesplittert | 1 | 1,32 |
| k.A. | 21 | 45,65 | k.A. | 1 | 100,00 | k.A. | 48 | 63,16 |
| Gesamt | 46 | 100,00 | Gesamt | 1 | 100,00 | Gesamt | 76 | 100,00 |

Tab. 11.3.43. Siuren 1, Schicht Gd. Merkmal Bulbus. Lamellen, Stichel-Lamellen & Microblades.

| Siuren 1, Level Gd: Formüberarbeitungs- Abschläge - Bulbus | N | % |
|---|----------|----------|
| mit Bulbus | 20 | 26,32 |
| ohne Bulbus | 7 | 9,21 |
| ausgesplittert | 1 | 1,32 |
| k.A. | 48 | 63,16 |
| Gesamt | 76 | 100,00 |

Tab. 11.3.44. Siuren 1, Schicht Gd. Merkmal Bulbus. Formüberarbeitungsabschläge.

| Siuren 1, Level Gd: alle Artefakte - Profil | N | % |
|--|----------|----------|
| gerade | 98 | 40,66 |
| gebogen | 97 | 40,25 |
| tordiert | 18 | 7,47 |
| keine Angabe | 28 | 11,62 |
| Gesamt | 241 | 100,00 |

Tab. 11.3.45. Siuren 1, Schicht Gd. Merkmal Profil. Alle Artefakte.

| Siuren 1, Level Gd: Abschläge & Absplisse >1cm - Profil | N | % |
|---|----------|----------|
| gerade | 33 | 50,00 |
| gebogen | 29 | 43,94 |
| tordiert | 0 | 0,00 |
| keine Angabe | 4 | 6,06 |
| Gesamt | 66 | 100,00 |

Tab. 11.3.46. Siuren 1, Schicht Gd. Merkmal Profil. Abschläge > 1 cm.

| Siuren 1, Level Gd: Klingen - Profil | N | % |
|---|----------|----------|
| gerade | 8 | 24,24 |
| gebogen | 20 | 60,61 |
| tordiert | 4 | 12,12 |
| keine Angabe | 1 | 3,03 |
| Gesamt | 33 | 100,00 |

Tab. 11.3.47. Siuren 1, Schicht Gd. Merkmal Profil. Klingen.

| Siuren 1, Level Gd: Kernscheiben - Profil | N | % |
|--|----------|----------|
| gerade | 1 | 20,00 |
| gebogen | 3 | 60,00 |
| tordiert | 1 | 20,00 |
| keine Angabe | 0 | 0,00 |
| Gesamt | 5 | 100,00 |

Tab. 11.3.48. Siuren 1, Schicht Gd. Merkmal Profil. Kernscheiben.

| Siuren 1, Level Gd: Formüberarbeitungs- Abschläge - Profil | N | % |
|---|----------|----------|
| gerade | 3 | 75,00 |
| gebogen | 1 | 25,00 |
| tordiert | 0 | 0,00 |
| keine Angabe | 0 | 0,00 |
| Gesamt | 4 | 100,00 |

Tab. 11.3.49. Siuren 1, Schicht Gd. Merkmal Profil. Formüberarbeitungsabschläge.

| Siuren 1, Level Gd: Lamellen, Stichellamellen & Microblades - Profil | N | % |
|---|----------|----------|
| gerade | 49 | 39,84 |
| gebogen | 44 | 35,77 |
| tordiert | 13 | 10,57 |
| keine Angabe | 17 | 13,82 |
| Gesamt | 123 | 100,00 |

Tab. 11.3.50. Siuren 1, Schicht Gd. Merkmal Profil. Lamellare Grundformen.

| Siuren 1, Level Gd: Lamellen - Profil | N | % | Siuren 1, Level Gd: Stichel-Lamellen - Profil | N | % | Siuren 1, Level Gd: Microblades - Profil | N | % |
|--|----------|----------|--|----------|----------|---|----------|----------|
| gerade | 19 | 41,30 | gerade | 1 | 100,00 | gerade | 29 | 38,16 |
| gebogen | 21 | 45,65 | gebogen | 0 | 0,00 | gebogen | 23 | 30,26 |
| tordiert | 3 | 6,52 | tordiert | 0 | 0,00 | tordiert | 10 | 13,16 |
| keine Angabe | 3 | 6,52 | keine Angabe | 0 | 0,00 | keine Angabe | 14 | 18,42 |
| Gesamt | 46 | 100,00 | Gesamt | 1 | 100,00 | Gesamt | 76 | 100,00 |

Tab. 11.3.51. Siuren 1, Schicht Gd. Merkmal Profil. Lamellen, Stichellamellen & Microblades.

| Siuren 1, Level Gc1-2: alle Artefakte - Schlagflächenrest | N | % |
|--|----------|----------|
| facettiert | 23 | 4,11 |
| glatt | 295 | 52,68 |
| Kortex | 18 | 3,21 |
| Kluft | 1 | 0,18 |
| gesplittert | 63 | 11,25 |
| punktförmig | 40 | 7,14 |
| dièdre | 16 | 2,86 |
| gratförmig | 91 | 16,25 |
| Bruch | 13 | 2,32 |
| Gesamt | 560 | 100,00 |

Tab. 11.3.52. Siuren 1, Schicht Gc1-2. Merkmal Schlagflächenrest. Alle Grundformen.

| Siuren 1, Level Gc1-2: Abschläge & Absplisse <3 cm - Schlagflächenrest | N | % |
|--|----------|----------|
| ohne | 48 | 16,38 |
| facettiert | 11 | 3,75 |
| glatt | 98 | 33,45 |
| Kortex | 17 | 5,80 |
| Kluft | 1 | 0,34 |
| gesplittert | 35 | 11,95 |
| punktförmig | 6 | 2,05 |
| dièdre | 11 | 3,75 |
| gratförmig | 39 | 13,31 |
| Bruch | 4 | 1,37 |
| sonstiges | 23 | 7,85 |
| keine Angabe | 0 | 0,00 |
| Gesamt | 293 | 100,00 |

Tab. 11.3.53. Siuren 1, Schicht Gc1-2. Merkmal Schlagflächenrest. Abschläge.

| Siuren 1, Level Gc1-2: Klingen - Schlagflächenrest | N | % |
|---|------------|---------------|
| ohne | 122 | 50,00 |
| facettiert | 4 | 1,64 |
| glatt | 74 | 30,33 |
| Kortex | 1 | 0,41 |
| Kluft | 0 | 0,00 |
| gesplittert | 12 | 4,92 |
| punktförmig | 2 | 0,82 |
| dièdre | 5 | 2,05 |
| gratförmig | 12 | 4,92 |
| Bruch | 1 | 0,41 |
| sonstiges | 10 | 4,10 |
| keine Angabe | 1 | 0,41 |
| Gesamt | 244 | 100,00 |

Tab. 11.3.54. Siuren 1, Schicht Gc1-2. Merkmal Schlagflächenrest. Klingen.

| Siuren 1, Level Gc1-2: Lamellen, Sichel- Lamellen & Microblades - Schlagflächenrest | N | % |
|--|------------|---------------|
| ohne | 97 | 32,33 |
| facettiert | 4 | 1,33 |
| glatt | 108 | 36,00 |
| Kortex | 0 | 0,00 |
| Kluft | 0 | 0,00 |
| gesplittert | 14 | 4,67 |
| punktförmig | 32 | 10,67 |
| dièdre | 0 | 0,00 |
| gratförmig | 40 | 13,33 |
| Bruch | 5 | 1,67 |
| sonstiges | 0 | 0,00 |
| keine Angabe | 0 | 0,00 |
| Gesamt | 300 | 100,00 |

Tab. 11.3.55. Siuren 1, Schicht Gc1-2. Merkmal Schlagflächenrest. Lamellare Grundformen.

| Siuren 1, Level Gc1-2: Lamellen - Schlagflächenrest | N | % | Siuren 1, Level Gc1-2: Stichel-Lamellen - Schlagflächenrest | N | % | Siuren 1, Level Gc1-2: Microblades - Schlagflächenrest | N | % |
|---|-----|--------|---|----|--------|--|-----|--------|
| ohne | 41 | 22,04 | ohne | 7 | 50,00 | ohne | 49 | 49,00 |
| facettiert | 4 | 2,15 | facettiert | 0 | 0,00 | facettiert | 0 | 0,00 |
| glatt | 77 | 41,40 | glatt | 3 | 21,43 | glatt | 28 | 28,00 |
| Kortex | 0 | 0,00 | Kortex | 0 | 0,00 | Kortex | 0 | 0,00 |
| Kluft | 0 | 0,00 | Kluft | 0 | 0,00 | Kluft | 0 | 0,00 |
| gesplittert | 12 | 6,45 | gesplittert | 2 | 14,29 | gesplittert | 0 | 0,00 |
| punktförmig | 19 | 10,22 | punktförmig | 0 | 0,00 | punktförmig | 13 | 13,00 |
| dièdre | 0 | 0,00 | dièdre | 0 | 0,00 | dièdre | 0 | 0,00 |
| gratförmig | 28 | 15,05 | gratförmig | 2 | 14,29 | gratförmig | 10 | 10,00 |
| Bruch | 5 | 2,69 | Bruch | 0 | 0,00 | Bruch | 0 | 0,00 |
| sonstiges | 0 | 0,00 | sonstiges | 0 | 0,00 | sonstiges | 0 | 0,00 |
| keine Angabe | 0 | 0,00 | keine Angabe | 0 | 0,00 | keine Angabe | 0 | 0,00 |
| Gesamt | 186 | 100,00 | Gesamt | 14 | 100,00 | Gesamt | 100 | 100,00 |

Tab. 11.3.56. Siuren 1, Schicht Gc1-2. Merkmal Schlagflächenrest. Lamellen, Stichel lamellen & Microblades.

| Siuren 1, Level Gc1-2: Formüberarbeitungs- Abschläge - Schlagflächenrest | N | % |
|---|---|--------|
| ohne | 0 | 0,00 |
| facettiert | 0 | 0,00 |
| glatt | 7 | 77,78 |
| Kortex | 0 | 0,00 |
| Kluft | 0 | 0,00 |
| gesplittert | 0 | 0,00 |
| punktförmig | 0 | 0,00 |
| dièdre | 0 | 0,00 |
| gratförmig | 0 | 0,00 |
| Bruch | 0 | 0,00 |
| sonstiges | 2 | 22,22 |
| keine Angabe | 0 | 0,00 |
| Gesamt | 9 | 100,00 |

Tab. 11.3.57. Siuren 1, Schicht Gc1-2. Merkmal Schlagflächenrest. Formüberarbeitungsabschläge.

| Siuren 1, Level Gc1-2: Kernscheiben - Schlagflächenrest | N | % |
|--|----------|---------------|
| ohne | 0 | 0,00 |
| facettiert | 4 | 66,67 |
| glatt | 1 | 16,67 |
| Kortex | 0 | 0,00 |
| Kluft | 0 | 0,00 |
| gesplittert | 0 | 0,00 |
| punktförmig | 0 | 0,00 |
| dièdre | 0 | 0,00 |
| gratförmig | 0 | 0,00 |
| Bruch | 0 | 0,00 |
| sonstiges | 1 | 16,67 |
| keine Angabe | 0 | 0,00 |
| Gesamt | 6 | 100,00 |

Tab. 11.3.58. Siuren 1, Schicht Gc1-2. Merkmal Schlagflächenrest. Kernscheiben.

| Siuren 1, Level Gc1-2: alle Artefakte - Bulbus | N | % |
|---|------------|------------|
| mit Bulbus | 466 | 78,98 |
| ohne Bulbus | 110 | 18,64 |
| ausgesplittert | 14 | 2,37 |
| Gesamt | 590 | 100 |

Tab. 11.3.59. Siuren 1, Schicht Gc1-2. Merkmal Bulbus. Alle Grundformen.

| Siuren 1, Level Gc1-2: Abschläge & Absplisse >1 cm - Bulbus | N | % |
|---|------------|------------|
| mit Bulbus | 203 | 70,49 |
| ohne Bulbus | 31 | 10,76 |
| ausgesplittert | 5 | 1,74 |
| sonstiges | 38 | 13,19 |
| keine Angabe | 11 | 3,82 |
| Gesamt | 288 | 100 |

Tab. 11.3.60. Siuren 1, Schicht Gc1-2. Merkmal Bulbus. Abschläge.

| Siuren 1, Level Gc1-2: Formüberarbeitungs- Abschläge - Bulbus | N | % |
|--|----------|----------|
| mit Bulbus | 4 | 44,44 |
| ohne Bulbus | 5 | 55,56 |
| ausgesplittert | 0 | 0,00 |
| sonstiges | 0 | 0,00 |
| keine Angabe | 0 | 0,00 |
| Gesamt | 9 | 100 |

Tab. 11.3.61. Siuren 1, Schicht Gc1-2. Merkmal Bulbus. Formüberarbeitungsabschläge.

| Siuren 1, Level Gc1-2: Kernscheiben - Bulbus | N | % |
|---|----------|----------|
| mit Bulbus | 6 | 100,00 |
| ohne Bulbus | 0 | 0,00 |
| ausgesplittert | 0 | 0,00 |
| sonstiges | 0 | 0,00 |
| keine Angabe | 0 | 0,00 |
| Gesamt | 6 | 100 |

Tab. 11.3.62. Siuren 1, Schicht Gc1-2. Merkmal Bulbus. Kernscheiben.

| Siuren 1, Level Gc1-2: Klingen - Bulbus | N | % |
|--|----------|----------|
| mit Bulbus | 105 | 40,23 |
| ohne Bulbus | 34 | 13,03 |
| ausgesplittert | 1 | 0,38 |
| sonstiges | 93 | 35,63 |
| keine Angabe | 28 | 10,73 |
| Gesamt | 261 | 100 |

Tab. 11.3.63. Siuren 1, Schicht Gc1-2. Klingen.

| Siuren 1, Level Gc1-2: Lamellen, Stichel- Lamellen & Microblades - Bulbus | N | % |
|--|------------|------------|
| mit Bulbus | 146 | 48,67 |
| ohne Bulbus | 48 | 16,00 |
| ausgesplittert | 8 | 2,67 |
| sonstiges | 1 | 0,33 |
| keine Angabe | 97 | 32,33 |
| Gesamt | 300 | 100 |

Tab. 11.3.64. Siuren 1, Schicht Gc1-2. Merkmal Bulbus. Lamellare Grundformen.

| Siuren 1, Level Gc1-2: Lamellen - Bulbus | N | % | Siuren 1, Level Gc1-2: Stichel-Lamellen - Bulbus | N | % | Siuren 1, Level Gc1-2: Microblades - Bulbus | N | % |
|---|------------|------------|---|-----------|------------|--|------------|------------|
| mit Bulbus | 105 | 47,95 | mit Bulbus | 1 | 7,14 | mit Bulbus | 40 | 40,00 |
| ohne Bulbus | 66 | 30,14 | ohne Bulbus | 5 | 35,71 | ohne Bulbus | 10 | 10,00 |
| ausgesplittert | 6 | 2,74 | ausgesplittert | 1 | 7,14 | ausgesplittert | 1 | 1,00 |
| sonstiges | 1 | 0,46 | sonstiges | 0 | 0,00 | sonstiges | 0 | 0,00 |
| keine Angabe | 41 | 18,72 | keine Angabe | 7 | 50,00 | keine Angabe | 49 | 49,00 |
| Gesamt | 219 | 100 | Gesamt | 14 | 100 | Gesamt | 100 | 100 |

Tab. 11.3.65. Siuren 1, Schicht Gc1-2. Merkmal Bulbus. Lamellen, Stichlamellen & Microblades.

| Siuren 1, Level Gc1-2: alle Artefakte - Schlaglippe | N | % |
|--|------------|------------|
| mit Lippe | 395 | 67,06 |
| ohne Lippe | 194 | 32,94 |
| Gesamt | 589 | 100 |

Tab. 11.3.66. Siuren 1, Schicht Gc1-2. Merkmal Schlaglippe. Grundformen.

| Siuren 1, Level Gc1-2: Abschläge & Absplisse >1 cm - Schlaglippe | N | % |
|--|----------|----------|
| mit Lippe | 148 | 49,01 |
| ohne Lippe | 104 | 34,44 |
| sonstiges | 50 | 16,56 |
| Gesamt | 302 | 100 |

Tab. 11.3.67. Siuren 1, Schicht Gc1-2. Merkmal Schlaglippe. Abschläge > 1 cm.

| Siuren 1, Level Gc1-2: Klingen - Schlaglippe | N | % |
|---|----------|----------|
| mit Lippe | 100 | 40,98 |
| ohne Lippe | 22 | 9,02 |
| sonstiges | 122 | 50,00 |
| Gesamt | 244 | 100 |

Tab. 11.3.68. Siuren 1, Schicht Gc1-2. Merkmal Schlaglippe. Klingen.

| Siuren 1, Level Gc1-2: Lamellen, Stichel- Lamellen & Microblades - Schlaglippe | N | % |
|---|----------|----------|
| mit Lippe | 140 | 46,67 |
| ohne Lippe | 62 | 20,67 |
| sonstiges | 98 | 32,67 |
| Gesamt | 300 | 100 |

Tab. 11.3.69. Siuren 1, Schicht Gc1-2. Merkmal Schlaglippe. Lamellare Grundformen.

| Siuren 1, Level Gc1-2: Lamellen - Schlaglippe | N | % | Siuren 1, Level Gc1-2: Stichel-Lamellen - Schlaglippe | N | % | Siuren 1, Level Gc1-2: Microblades - Schlaglippe | N | % |
|--|----------|----------|--|----------|----------|---|----------|----------|
| mit Lippe | 93 | 50,00 | mit Lippe | 2 | 14,29 | mit Lippe | 45 | 45,00 |
| ohne Lippe | 51 | 27,42 | ohne Lippe | 5 | 35,71 | ohne Lippe | 6 | 6,00 |
| sonstiges | 42 | 22,58 | sonstiges | 7 | 50,00 | sonstiges | 49 | 49,00 |
| Gesamt | 186 | 100,00 | Gesamt | 14 | 100 | Gesamt | 100 | 100 |

Tab. 11.3.70. Siuren 1, Schicht Gc1-2. Merkmal Schlaglippe. Lamellen, Stichel lamellen & Microblades.

| Siuren 1, Level Gc1-2: Kernscheiben - Schlaglippe | N | % |
|--|----------|----------|
| mit Lippe | 5 | 83,33 |
| ohne Lippe | 1 | 16,67 |
| sonstiges | 0 | 0,00 |
| Gesamt | 6 | 100 |

Tab. 11.3.71. Siuren 1, Schicht Gc1-2. Merkmal Schlaglippe. Kernscheiben.

| Siuren 1, Level Gc1-2: alle Artefakte - Profil | N | % |
|---|----------|----------|
| gerade | 399 | 52,64 |
| gebogen | 327 | 43,14 |
| tordiert | 32 | 4,22 |
| Gesamt | 758 | 100 |

Tab. 11.3.72. Siuren 1, Schicht Gc1-2. Merkmal Profil. Alle Grundformen.

| Siuren 1, Level Gc1-2: Abschläge & Absplisse >1cm - Profil | N | % |
|--|----------|----------|
| gerade | 137 | 47,57 |
| gebogen | 118 | 40,97 |
| tordiert | 2 | 0,69 |
| sonstiges | 31 | 10,76 |
| Gesamt | 288 | 100 |

Tab. 11.3.73. Siuren 1, Schicht Gc1-2. Merkmal Profil. Abschläge.

| Siuren 1, Level Gc1-2: Formüberarbeitungs- Abschläge - Profil | N | % |
|--|----------|----------|
| gerade | 4 | 44,44 |
| gebogen | 4 | 44,44 |
| tordiert | 0 | 0,00 |
| sonstiges | 1 | 11,11 |
| Gesamt | 9 | 100 |

Tab. 11.3 74. Siuren 1, Schicht Gc1-2. Merkmal Profil. Formüberarbeitungsabschläge.

| Siuren 1, Level Gc1-2: Klingen - Profil | N | % |
|--|----------|----------|
| gerade | 98 | 36,57 |
| gebogen | 112 | 41,79 |
| tordiert | 36 | 13,43 |
| sonstiges | 22 | 8,21 |
| Gesamt | 268 | 100 |

Tab. 11.3.75. Siuren 1, Schicht Gc1-2. Merkmal Profil. Klingen.

| Siuren 1, Level Gc1-2: Lamellen, Stichel- Lamellen & Microblades - Profil | N | % |
|--|----------|----------|
| gerade | 139 | 46,80 |
| gebogen | 84 | 28,28 |
| tordiert | 18 | 6,06 |
| sonstiges | 56 | 18,86 |
| Gesamt | 297 | 100 |

Tab. 11.3.76. Siuren 1, Schicht Gc1-2. Merkmal Profil. Lamellare Grundformen.

| Siuren 1, Level Gc1-2: Lamellen - Profil | N | % | Siuren 1, Level Gc1-2: Stichel-Lamellen - Profil | N | % | Siuren 1, Level Gc1-2: Microblades - Profil | N | % |
|---|-----|-------|---|----|-------|--|-----|-------|
| gerade | 81 | 43,55 | gerade | 7 | 63,64 | gerade | 51 | 51,00 |
| gebogen | 59 | 31,72 | gebogen | 1 | 9,09 | gebogen | 24 | 24,00 |
| tordiert | 9 | 4,84 | tordiert | 0 | 0,00 | tordiert | 9 | 9,00 |
| sonstiges | 37 | 19,89 | sonstiges | 3 | 27,27 | sonstiges | 16 | 16,00 |
| Gesamt | 186 | 100 | Gesamt | 11 | 100 | Gesamt | 100 | 100 |

Tab. 11.3.77. Siuren 1, Schicht Gc1-2. Lamellen, Stichelamellen & Microblades.

| Siuren 1, Level Gb1-2: alle Artefakte - Schlagflächenrest | N | % |
|---|-----|-------|
| facettiert | 14 | 5,93 |
| glatt | 113 | 47,88 |
| Kortex | 10 | 4,24 |
| Kluft | 1 | 0,42 |
| gesplittert | 18 | 7,63 |
| punktförmig | 21 | 8,90 |
| dièdre | 6 | 2,54 |
| gratförmig | 51 | 21,61 |
| Bruch | 2 | 0,85 |
| Gesamt | 236 | 100 |

Tab. 11.3.78. Siuren 1, Schicht Gb1-2. Merkmal Schlagflächenrest. Grundformen.

| Siuren 1, Level Gb1-2: Abschläge & Absplisse >1 cm - Schlagflächenrest | N | % |
|--|------------|------------|
| ohne | 24 | 18.90 |
| facettiert | 7 | 5.51 |
| glatt | 38 | 29.92 |
| Kortex | 9 | 7.09 |
| Kluft | 0 | 0.00 |
| gesplittert | 11 | 8.66 |
| punktförmig | 3 | 2.36 |
| dièdre | 5 | 3.94 |
| gratförmig | 22 | 17.32 |
| Bruch | 1 | 0.79 |
| sonstiges | 7 | 5.51 |
| keine Angabe | 0 | 0.00 |
| Gesamt | 127 | 100 |

Tab. 11.3.79. Siuren 1, Schicht Gb1-2. Merkmal Schlagflächenrest. Abschläge > 1 cm.

| Siuren 1, Level Gb1-2: Klingen - Schlagflächenrest | N | % |
|---|-----------|------------|
| ohne | 47 | 56.63 |
| facettiert | 2 | 2.41 |
| glatt | 17 | 20.48 |
| Kortex | 1 | 1.20 |
| Kluft | 1 | 1.20 |
| gesplittert | 2 | 2.41 |
| punktförmig | 0 | 0.00 |
| dièdre | 0 | 0.00 |
| gratförmig | 9 | 10.84 |
| Bruch | 1 | 1.20 |
| sonstiges | 3 | 3.61 |
| keine Angabe | 0 | 0.00 |
| Gesamt | 83 | 100 |

Tab. 11.3.80. Siuren 1, Schicht Gb1-2. Merkmal Schlagflächenrest. Klingen.

| Siuren 1, Level Gb1-2: Lamellen, Stichel-Lamellen & Microblades - Schlagflächenrest | N | % |
|--|-----|-------|
| ohne | 128 | 56.14 |
| facettiert | 2 | 0.88 |
| glatt | 50 | 21.93 |
| Kortex | 0 | 0.00 |
| Kluft | 0 | 0.00 |
| gesplittert | 5 | 2.19 |
| punktförmig | 18 | 7.89 |
| dièdre | 1 | 0.44 |
| gratförmig | 20 | 8.77 |
| Bruch | 0 | 0.00 |
| sonstiges | 4 | 1.75 |
| keine Angabe | 0 | 0.00 |
| Gesamt | 228 | 100 |

Tab. 11.3.81. Siuren 1, Schicht Gb1-2. Merkmal Schlagflächenrest. Lamellare Grundformen.

| Siuren 1, Level Gb1-2: Lamellen - Schlagflächenrest | N | % | Siuren 1, Level Gb1-2: Stichel-Lamellen - Schlagflächenrest | N | % | Siuren 1, Level Gb1-2: Microblades - Schlagflächenrest | N | % |
|---|-----|-------|---|---|-------|--|-----|-------|
| ohne | 54 | 47.79 | ohne | 6 | 75.00 | ohne | 68 | 63.55 |
| facettiert | 2 | 1.77 | facettiert | 0 | 0.00 | facettiert | 0 | 0.00 |
| glatt | 32 | 28.32 | glatt | 2 | 25.00 | glatt | 16 | 14.95 |
| Kortex | 0 | 0.00 | Kortex | 0 | 0.00 | Kortex | 0 | 0.00 |
| Kluft | 0 | 0.00 | Kluft | 0 | 0.00 | Kluft | 0 | 0.00 |
| gesplittert | 3 | 2.65 | gesplittert | 0 | 0.00 | gesplittert | 2 | 1.87 |
| punktförmig | 7 | 6.19 | punktförmig | 0 | 0.00 | punktförmig | 11 | 10.28 |
| dièdre | 1 | 0.88 | dièdre | 0 | 0.00 | dièdre | 0 | 0.00 |
| gratförmig | 13 | 11.50 | gratförmig | 0 | 0.00 | gratförmig | 7 | 6.54 |
| Bruch | 0 | 0.00 | Bruch | 0 | 0.00 | Bruch | 0 | 0.00 |
| sonstiges | 1 | 0.88 | sonstiges | 0 | 0.00 | sonstiges | 3 | 2.80 |
| keine Angabe | 0 | 0.00 | keine Angabe | 0 | 0.00 | keine Angabe | 0 | 0.00 |
| Gesamt | 113 | 100 | Gesamt | 8 | 100 | Gesamt | 107 | 100 |

Tab. 11.3.82. Siuren 1, Schicht Gb1-2. Merkmal Schlagflächenrest. Lamellen, Stichel lamellen & Microblades.

| Siuren 1, Level Gb1-2: Formüberarbeitungs- Abschläge - Schlagflächenrest | N | % |
|---|----------|----------|
| ohne | 0 | 0.00 |
| facettiert | 0 | 0.00 |
| glatt | 3 | 100.00 |
| Kortex | 0 | 0.00 |
| Kluft | 0 | 0.00 |
| gesplittert | 0 | 0.00 |
| punktförmig | 0 | 0.00 |
| dièdre | 0 | 0.00 |
| gratförmig | 0 | 0.00 |
| Bruch | 0 | 0.00 |
| sonstiges | 0 | 0.00 |
| keine Angabe | 0 | 0.00 |
| Gesamt | 3 | 100 |

Tab. 11.3.83. Siuren 1, Schicht Gb1-2. Merkmal Schlagflächenrest. Formüberarbeitungsabschläge.

| Siuren 1, Level Gb1-2: alle Grundformen - Schlaglippe | N | % |
|--|----------|----------|
| mit Lippe | 126 | 27.69 |
| ohne Lippe | 124 | 27.25 |
| sonstiges | 205 | 45.05 |
| Gesamt / alle Grundformen | 455 | 100.00 |

Tab. 11.3.84. Siuren 1, Schicht Gb1-2. Merkmal Schlaglippe. Grundformen.

| Siuren 1, Level Gb1-2: Abschläge & Absplisse >1 cm - Schlaglippe | N | % |
|--|----------|----------|
| mit Lippe | 48 | 36.92 |
| ohne Lippe | 58 | 44.62 |
| sonstiges | 24 | 18.46 |
| Gesamt | 130 | 100 |

Tab. 11.3.85. Siuren 1, Schicht Gb1-2. Merkmals Schlaglippe. Abschläge > 1 cm.

| Siuren 1, Level Gb1-2: Klingen - Schlaglippe | N | % |
|---|----------|----------|
| mit Lippe | 23 | 27.71 |
| ohne Lippe | 14 | 16.87 |
| sonstiges | 46 | 55.42 |
| Gesamt | 83 | 100 |

Tab. 11.3.86. Siuren 1, Schicht Gb1-2. Merkmal Schlaglippe. Klingen.

| Siuren 1, Level Gb1-2: Lamellen, Stichel-Lamellen, Microblades - Schlaglippe | N | % |
|---|----------|----------|
| mit Lippe | 52 | 22.81 |
| ohne Lippe | 47 | 20.61 |
| sonstiges | 129 | 56.58 |
| Gesamt | 228 | 100 |

Tab. 11.3.87. Siuren 1, Schicht Gb1-2. Merkmal Schlaglippe. Lamellare Grundformen.

| Siuren 1, Level Gb1-2: Lamellen - Schlaglippe | N | % | Siuren 1, Level Gb1-2: Stichel-Lamellen - Schlaglippe | N | % | Siuren 1, Level Gb1-2: Microblades - Schlaglippe | N | % |
|--|----------|----------|--|----------|----------|---|----------|----------|
| mit Lippe | 32 | 28.32 | mit Lippe | 1 | 12.50 | mit Lippe | 19 | 17.76 |
| ohne Lippe | 25 | 22.12 | ohne Lippe | 1 | 12.50 | ohne Lippe | 21 | 19.63 |
| sonstiges | 56 | 49.56 | sonstiges | 6 | 75.00 | sonstiges | 67 | 62.62 |
| Gesamt | 113 | 100 | Gesamt | 8 | 100 | Gesamt | 107 | 100 |

Tab. 11.3.88. Siuren 1, Schicht Gb1-2. Merkmal Schlaglippe. Lamellen, Stichel lamellen & Microblades.

| Siuren 1, Level Gb1-2: Formüberarbeitungs-Abschlag - Schlaglippe | N | % |
|---|----------|----------|
| mit Lippe | 4 | 100.00 |
| ohne Lippe | 0 | 0.00 |
| sonstiges | 0 | 0.00 |
| Gesamt | 4 | 100.00 |

Tab. 11.3.89. Siuren 1, Schicht Gb1-2. Merkmal Schlaglippe. Formüberarbeitungsabschläge.

| Siuren 1, Level Gb1-2: alle Grundformen - Bulbus | N | % |
|---|------------|---------------|
| mit Bulbus | 182 | 40.00 |
| ohne Bulbus | 59 | 12.97 |
| Bulbus ausgesplittert | 10 | 2.20 |
| sonstiges | 204 | 44.84 |
| Gesamt / alle Grundformen | 455 | 100.00 |

Tab. 11.3.90. Siuren 1, Schicht Gb1-2. Merkmal Bulbus. Grundformen.

| Siuren 1, Level Gb1-2: Abschläge & Absplisse >1 cm - Bulbus | N | % |
|---|------------|------------|
| mit Bulbus | 75 | 59.06 |
| ohne Bulbus | 20 | 15.75 |
| ausgesplittert | 6 | 4.72 |
| sonstiges | 26 | 20.47 |
| Gesamt | 127 | 100 |

Tab. 11.3.91. Siuren 1, Schicht Gb1-2. Merkmal Bulbus. Abschläge > 1 cm.

| Siuren 1, Level Gb1-2: Klängen - Bulbus | N | % |
|--|-----------|------------|
| mit Bulbus | 31 | 37.35 |
| ohne Bulbus | 6 | 7.23 |
| ausgesplittert | 1 | 1.20 |
| sonstiges | 45 | 54.22 |
| Gesamt | 83 | 100 |

Tab. 11.3.92. Siuren 1, Schicht Gb1-2. Merkmal Bulbus. Klängen.

| Siuren 1, Level Gb1-2: Lamellen, Stichel-Lamellen & Microblades - Bulbus | N | % |
|---|------------|------------|
| mit Bulbus | 72 | 30.64 |
| ohne Bulbus | 28 | 11.91 |
| ausgesplittert | 3 | 1.28 |
| sonstiges | 132 | 56.17 |
| Gesamt | 235 | 100 |

Tab. 11.3.93. Siuren 1, Schicht Gb1-2. Lamellare Grundformen.

| Siuren 1, Level Gb1-2: alle Grundformen - Bulbus | N | % | Siuren 1, Level Gb1-2: Lamellen - Bulbus | N | % | Siuren 1, Level Gb1-2: Stichel-Lamellen - Bulbus | N | % |
|---|------------|---------------|---|------------|------------|---|----------|------------|
| mit Bulbus | 182 | 40.00 | mit Bulbus | 42 | 37.17 | mit Bulbus | 1 | 12.50 |
| ohne Bulbus | 59 | 12.97 | ohne Bulbus | 14 | 12.39 | ohne Bulbus | 1 | 12.50 |
| Bulbus ausgesplittert | 10 | 2.20 | ausgesplittert | 2 | 1.77 | ausgesplittert | 0 | 0.00 |
| sonstiges | 204 | 44.84 | sonstiges | 55 | 48.67 | sonstiges | 6 | 75.00 |
| Gesamt / alle Grundformen | 455 | 100.00 | Gesamt | 113 | 100 | Gesamt | 8 | 100 |

Tab. 11.3.94. Siuren 1, Schicht Gb1-2. Merkmal Bulbus. Lamellen, Stichel-Lamellen & Microblades.

| Siuren 1, Level Gb1-2: Formüberarbeitungs- Abschläge- Bulbus | N | % |
|---|----------|------------|
| ohne Bulbus | 3 | 100.00 |
| ausgesplittert | 0 | 0.00 |
| sonstiges | 0 | 0.00 |
| Gesamt | 3 | 100 |

Tab. 11.3.95. Siuren 1, Schicht Gb1-2. Merkmal Bulbus. Formüberarbeitungsabschläge.

| Siuren 1, Level Gb1-2: alle Grundformen - Profil | N | % |
|---|------------|---------------|
| gerade | 254 | 55.82 |
| gebogen | 110 | 24.18 |
| tordiert | 28 | 6.15 |
| sonstiges | 63 | 13.85 |
| Gesamt | 455 | 100.00 |

Tab. 11.3.96. Siuren 1, Schicht Gb1-2. Merkmal Profil. Grundformen.

| Siuren 1, Level Gb1-2: Abschläge & Absplisse >1 cm - Profil | N | % |
|---|----------|----------|
| gerade | 83 | 60.14 |
| gebogen | 30 | 21.74 |
| tordiert | 25 | 18.12 |
| Gesamt | 138 | 100 |

Tab. 11.3.97. Siuren 1, Schicht Gb1-2. Merkmal Profil. Abschläge > 1 cm.

| Siuren 1, Level Gb1-2: Klingen - Profil | N | % |
|--|----------|----------|
| gerade | 47 | 56.63 |
| gebogen | 23 | 27.71 |
| tordiert | 13 | 15.66 |
| Gesamt | 83 | 100 |

Tab. 11.3.98. Siuren 1, Schicht Gb1-2. Merkmal Profil. Klingen.

| Siuren 1, Level Gb1-2: Formüberarbeitungs- Abschläge - Profil | N | % |
|--|----------|----------|
| gerade | 1 | 33.33 |
| gebogen | 2 | 66.67 |
| tordiert | 0 | 0.00 |
| sonstiges | 0 | 0.00 |
| Gesamt | 3 | 100 |

Tab. 11.3.99. Siuren 1, Schicht Gb1-2. Merkmal Profil. Formüberarbeitungsabschläge.

| Siuren 1, Level Gb1-2: Lamellen, Stichel-Lamellen & Microblades - Profil | N | % |
|---|----------|----------|
| gerade | 120 | 52.63 |
| gebogen | 52 | 22.81 |
| tordiert | 23 | 10.09 |
| sonstiges | 33 | 14.47 |
| Gesamt | 228 | 100 |

Tab. 11.3.100. Siuren 1, Schicht Gb1-2. Merkmal Profil. Lamellare Mikrolithen.

| Siuren 1, Level Gb1-2: Lamellen - Profil | N | % | Siuren 1, Level Gb1-2: Stichel-Lamellen - Profil | N | % | Siuren 1, Level Gb1-2: Microblades - Profil | N | % |
|---|----------|----------|---|----------|----------|--|----------|----------|
| gerade | 50 | 44.25 | gerade | 8 | 100.00 | gerade | 62 | 57.94 |
| gebogen | 33 | 29.20 | gebogen | 0 | 0.00 | gebogen | 19 | 17.76 |
| tordiert | 9 | 7.96 | tordiert | 0 | 0.00 | tordiert | 14 | 13.08 |
| sonstiges | 21 | 18.58 | sonstiges | 0 | 0.00 | sonstiges | 12 | 11.21 |
| Gesamt | 113 | 100 | Gesamt | 8 | 100 | Gesamt | 107 | 100 |

Tab. 11.3.101. Siuren 1, Schicht Gb1-2. Merkmal Profil. Lamellen, Stichel-Lamellen, Microblades.

| Siuren 1, Level Ga: alle Artefakte - Schlagflächenrest | N | % |
|---|----------|----------|
| ohne | 45 | 54.88 |
| facettiert | 0 | 0.00 |
| glatt | 18 | 21.95 |
| Kortex | 3 | 3.66 |
| Kluft | 0 | 0.00 |
| gesplittert | 3 | 3.66 |
| punktförmig | 0 | 0.00 |
| dièdre | 2 | 2.44 |
| gratförmig | 5 | 6.10 |
| Bruch | 1 | 1.22 |
| sonstiges | 5 | 6.10 |
| Gesamt | 82 | 100 |

Tab. 11.3.102. Siuren 1, Schicht Ga. Merkmal Schlagflächenrest. Grundformen.

| Siuren 1, Level Ga: Abschläge & Absplisse >1 cm - Schlagflächenrest | N | % |
|---|-----------|------------|
| ohne | 7 | 23.33 |
| facettiert | 0 | 0.00 |
| glatt | 8 | 26.67 |
| Kortex | 3 | 10.00 |
| Kluft | 0 | 0.00 |
| gesplittert | 2 | 6.67 |
| punktförmig | 0 | 0.00 |
| dièdre | 2 | 6.67 |
| gratförmig | 5 | 16.67 |
| Bruch | 1 | 3.33 |
| sonstiges | 2 | 6.67 |
| Gesamt | 30 | 100 |

Tab. 11.3.103. Siuren 1, Schicht Ga. Merkmal Schlagflächenrest. Abschläge > 1 cm.

| Siuren 1, Level Ga: Klängen Schlagflächenrest | N | % |
|--|-----------|------------|
| ohne | 13 | 81.25 |
| facettiert | 0 | 0.00 |
| glatt | 2 | 12.50 |
| Kortex | 0 | 0.00 |
| Kluft | 0 | 0.00 |
| gesplittert | 0 | 0.00 |
| punktförmig | 0 | 0.00 |
| dièdre | 0 | 0.00 |
| gratförmig | 0 | 0.00 |
| Bruch | 0 | 0.00 |
| sonstiges | 1 | 6.25 |
| Gesamt | 16 | 100 |

Tab. 11.3.104. Siuren 1, Schicht Ga. Merkmal Schlagflächenrest. Klängen.

| Siuren 1, Level Ga: Lamellen & Microblades - Schlagflächenrest | N | % |
|---|-----------|------------|
| ohne | 24 | 72.73 |
| facettiert | 0 | 0.00 |
| glatt | 8 | 24.24 |
| Kortex | 0 | 0.00 |
| Kluft | 0 | 0.00 |
| gesplittert | 1 | 3.03 |
| punktförmig | 0 | 0.00 |
| dièdre | 0 | 0.00 |
| gratförmig | 0 | 0.00 |
| Bruch | 0 | 0.00 |
| sonstiges | 0 | 0.00 |
| Gesamt | 33 | 100 |

Tab. 11.3.105. Siuren 1, Schicht Ga. Merkmal Schlagflächenrest. Lamellare Grundformen.

| Siuren 1, Level Ga: Lamellen - Schlagflächenrest | N | % | Siuren 1, Level Ga: Microblades - Schlagflächenrest | N | % |
|---|-----------|------------|--|-----------|------------|
| ohne | 13 | 68.42 | ohne | 11 | 78.57 |
| facettiert | 0 | 0.00 | facettiert | 0 | 0.00 |
| glatt | 6 | 31.58 | glatt | 2 | 14.29 |
| Kortex | 0 | 0.00 | Kortex | 0 | 0.00 |
| Kluft | 0 | 0.00 | Kluft | 0 | 0.00 |
| gesplittert | 0 | 0.00 | gesplittert | 1 | 7.14 |
| punktförmig | 0 | 0.00 | punktförmig | 0 | 0.00 |
| dièdre | 0 | 0.00 | dièdre | 0 | 0.00 |
| gratförmig | 0 | 0.00 | gratförmig | 0 | 0.00 |
| Bruch | 0 | 0.00 | Bruch | 0 | 0.00 |
| sonstiges | 0 | 0.00 | sonstiges | 0 | 0.00 |
| Gesamt | 19 | 100 | Gesamt | 14 | 100 |

Tab. 11.3.106. Siuren 1, Schicht Ga. Merkmal Schlagflächenrest. Lamellen & Microblades.

| Siuren 1, Level Ga: alle Artefakte - Schlaglippe | N | % |
|---|-----------|------------|
| mit Lippe | 18 | 21.95 |
| ohne Lippe | 18 | 21.95 |
| sonstiges | 46 | 56.10 |
| Gesamt | 82 | 100 |

Tab. 11.3.107. Siuren 1, Schicht Ga. Grundformen.

| Siuren 1, Level Ga: Abschläge & Absplisse >1 cm - Schlaglippe | N | % |
|---|----------|----------|
| mit Lippe | 8 | 26.67 |
| ohne Lippe | 16 | 53.33 |
| sonstiges | 6 | 20.00 |
| Gesamt | 30 | 100 |

Tab. 11.3.108. Siuren 1, Schicht Ga. Abschläge > 1 cm.

| Siuren 1, Level Ga: Klingen - Schlaglippe | N | % |
|--|----------|----------|
| mit Lippe | 2 | 12.50 |
| ohne Lippe | 1 | 6.25 |
| sonstiges | 13 | 81.25 |
| Gesamt | 16 | 100 |

Tab. 11.3.109. Siuren 1, Schicht Ga. Merkmal Schlaglippe. Klingen.

| Siuren 1, Level Ga: Lamellen & Microblades - Schlaglippe | N | % |
|---|----------|----------|
| mit Lippe | 8 | 24.24 |
| ohne Lippe | 0 | 0.00 |
| sonstiges | 25 | 75.76 |
| Gesamt | 33 | 100 |

Tab. 11.3.110. Siuren 1, Schicht Ga. Merkmal Schlaglippe. Lamellare Grundformen.

| Siuren 1, Level Ga: Lamellen - Schlaglippe | N | % | Siuren 1, Level Ga: Microblades - Schlaglippe | N | % |
|---|----------|----------|--|----------|----------|
| mit Lippe | 6 | 31.58 | mit Lippe | 2 | 14.29 |
| ohne Lippe | 0 | 0.00 | ohne Lippe | 0 | 0.00 |
| sonstiges | 13 | 68.42 | sonstiges | 12 | 85.71 |
| Gesamt | 19 | 100 | Gesamt | 14 | 100 |

Tab. 11.3.111. Siuren 1, Schicht Ga. Merkmal Schlaglippe. Lamellen & Microblades.

| Siuren 1, Level Ga: alle Artefakte - Bulbus | N | % |
|--|----------|----------|
| mit Bulbus | 30 | 36.59 |
| ohne Bulbus | 7 | 8.54 |
| ausgesplittert | 0 | 0.00 |
| sonstiges | 45 | 54.88 |
| Gesamt | 82 | 100 |

Tab. 11.3.112. Siuren 1, Schicht Ga. Merkmal Bulbus. Grundformen.

| Siuren 1, Level Ga: Abschläge & Absplisse >1 cm - Bulbus | N | % |
|--|----------|----------|
| mit Bulbus | 22 | 73.33 |
| ohne Bulbus | 3 | 10.00 |
| ausgesplittert | 0 | 0.00 |
| sonstiges | 5 | 16.67 |
| Gesamt | 30 | 100 |

Tab. 11.3.113. Siuren 1, Schicht Ga. Merkmal Bulbus. Abschläge > 1 cm.

| Siuren 1, Level Ga: Klingen - Bulbus | N | % |
|---|----------|----------|
| mit Bulbus | 2 | 12.50 |
| ohne Bulbus | 1 | 6.25 |
| ausgesplittert | 0 | 0.00 |
| sonstiges | 13 | 81.25 |
| Gesamt | 16 | 100 |

Tab. 11.3.114. Siuren 1, Schicht Ga. Merkmal Bulbus. Klingen.

| Siuren 1, Level Ga: Lamellen & Microblades - Bulbus | N | % |
|--|----------|----------|
| mit Bulbus | 6 | 18.18 |
| ohne Bulbus | 2 | 6.06 |
| ausgesplittert | 0 | 0.00 |
| sonstiges | 25 | 75.76 |
| Gesamt | 33 | 100 |

Tab. 11.3.115. Siuren 1, Schicht Ga. Merkmal Bulbus. Lamellare Grundformen.

| Siuren 1, Level Ga: Lamellen - Bulbus | N | % |
|--|----|-------|
| mit Bulbus | 6 | 31.58 |
| ohne Bulbus | 0 | 0.00 |
| ausgesplittert | 0 | 0.00 |
| sonstiges | 13 | 68.42 |
| Gesamt | 19 | 100 |

| Siuren 1, Level Ga: Microblades - Bulbus | N | % |
|---|----|-------|
| mit Bulbus | 0 | 0.00 |
| ohne Bulbus | 2 | 14.29 |
| ausgesplittert | 0 | 0.00 |
| sonstiges | 12 | 85.71 |
| Gesamt | 14 | 100 |

Tab. 11.3.116. Siuren 1, Schicht Ga. Merkmal Bulbus. Lamellen & Microblades.

| Siuren 1, Level Ga: alle Artefakte - Profil | N | % |
|--|----|-------|
| gerade | 50 | 60.98 |
| gebogen | 24 | 29.27 |
| tordiert | 4 | 4.88 |
| sonstiges | 4 | 4.88 |
| Gesamt | 82 | 100 |

Tab. 11.3.117. Siuren 1, Schicht Ga. Merkmal Profil. Grundformen.

| Siuren 1, Level Ga: Abschläge & Absplisse >1 cm - Profil | N | % |
|--|----|-------|
| gerade | 17 | 56.67 |
| gebogen | 11 | 36.67 |
| tordiert | 0 | 0.00 |
| sonstiges | 2 | 6.67 |
| Gesamt | 30 | 100 |

Tab. 11.3.118. Siuren 1, Schicht Ga. Merkmal Profil. Abschläge > 1 cm.

| Siuren 1, Level Ga: Klingen- Profil | N | % |
|--|----|-------|
| gerade | 9 | 56.25 |
| gebogen | 5 | 31.25 |
| tordiert | 1 | 6.25 |
| sonstiges | 1 | 6.25 |
| Gesamt | 16 | 100 |

Tab. 11.3.119. Siuren 1, Schicht Ga. Merkmal Profil. Klingen.

| Siuren 1, Level Ga: Lamellen & Microblades - Profil | N | % |
|--|----------|----------|
| gerade | 22 | 56.41 |
| gebogen | 7 | 17.95 |
| tordiert | 9 | 23.08 |
| sonstiges | 1 | 2.56 |
| Gesamt | 39 | 100 |

Tab. 11.3.120. Siuren 1, Schicht Ga. Merkmal Profil. Lamellare Grundformen.

| Siuren 1, Level Ga: Lamellen - Profil | N | % | Siuren 1, Level Ga: Microblades - Profil | N | % |
|--|----------|----------|---|----------|----------|
| gerade | 14 | 73.68 | gerade | 8 | 57.14 |
| gebogen | 2 | 10.53 | gebogen | 5 | 35.71 |
| tordiert | 3 | 15.79 | tordiert | 0 | 0.00 |
| sonstiges | 0 | 0.00 | sonstiges | 1 | 7.14 |
| Gesamt | 19 | 100 | Gesamt | 14 | 100 |

Tab. 11.3.121. Siuren 1, Schicht Ga. Merkmal Profil. Lamellen & Microblades.

| Siuren 1, Level Fb1-2: alle Artefakte - Schlagflächenrest | N | % |
|--|----------|----------|
| facettiert | 22 | 2.25 |
| glatt | 406 | 41.60 |
| Kortex | 6 | 0.61 |
| Kluft | 0 | 0.00 |
| gesplittert | 77 | 7.89 |
| punktförmig | 182 | 18.65 |
| dièdre | 28 | 2.87 |
| gratförmig | 240 | 24.59 |
| Bruch | 15 | 1.54 |
| Gesamt | 976 | 100 |

Tab. 11.3.122. Siuren 1, Schicht Fb1-2. 1

| Siuren 1, Level Fb1-2: alle Artefakte - Schlaglippe | N | % |
|--|----------|----------|
| mit Lippe | 568 | 57.49 |
| ohne Lippe | 420 | 42.51 |
| Gesamt | 988 | 100 |

Tab. 11.3.123. Siuren 1, Schicht Fb1-2. 2

| Siuren 1, Level Fb1-2: alle Artefakte - Bulbus | N | % |
|---|----------|----------|
| mit Bulbus | 53 | 5.16 |
| ohne Bulbus | 763 | 74.22 |
| ausgesplittert | 202 | 19.65 |
| Gesamt | 1028 | 100 |

Tab. 11.3.124. Siuren 1, Schicht Fb1-2. 3

| Siuren 1, Level Fb1-2: alle Artefakte - Profil | N | % |
|---|----------|----------|
| gerade | 347 | 32.70 |
| gebogen | 522 | 49.20 |
| tordiert | 192 | 18.10 |
| Gesamt | 1061 | 100 |

Tab. 11.3.125. Siuren 1, Schicht Fb1-2. 4

| Siuren 1, Level Fb1-2: alle Artefakte - Schlagflächenrest | N | % | N | % |
|--|-------------|------------|-------------|------------|
| ohne | 162 | 13.79 | | |
| facettiert | 22 | 1.87 | 22 | 2.17 |
| glatt | 406 | 34.55 | 406 | 40.08 |
| Kortex | 6 | 0.51 | 6 | 0.59 |
| Kluft | 0 | 0.00 | 0 | 0.00 |
| gesplittert | 77 | 6.55 | 77 | 7.60 |
| punktförmig | 182 | 15.49 | 182 | 17.97 |
| dièdre | 28 | 2.38 | 28 | 2.76 |
| gratförmig | 240 | 20.43 | 240 | 23.69 |
| Bruch | 15 | 1.28 | 15 | 1.48 |
| sonstiges | 34 | 2.89 | 34 | 3.36 |
| keine Angabe | 3 | 0.26 | 3 | 0.30 |
| Gesamt | 1175 | 100 | 1013 | 100 |

Tab. 11.3.126. Siuren 1, Schicht Fb1-2. Merkmal Schlagflächenrest. Grundformen.

| Siuren 1, Level Fb1-2: Abschläge & Absplisse >1 cm - Schlagflächenrest | N | % | N | % |
|--|------------|------------|------------|------------|
| ohne | 36 | 12.12 | | |
| facettiert | 9 | 3.03 | 9 | 3.45 |
| glatt | 108 | 36.36 | 108 | 41.38 |
| Kortex | 4 | 1.35 | 4 | 1.53 |
| Kluft | 0 | 0.00 | 0 | 0.00 |
| gesplittert | 20 | 6.73 | 20 | 7.66 |
| punktförmig | 8 | 2.69 | 8 | 3.07 |
| dièdre | 21 | 7.07 | 21 | 8.05 |
| gratförmig | 64 | 21.55 | 64 | 24.52 |
| Bruch | 7 | 2.36 | 7 | 2.68 |
| sonstiges | 20 | 6.73 | 20 | 7.66 |
| keine Angabe | 0 | 0.00 | 0 | 0.00 |
| Gesamt | 297 | 100 | 261 | 100 |

Tab. 11.3.127. Siuren 1, Schicht Fb1-2. Merkmal Schlagflächenrest. Abschläge > 1 cm.

| Siuren 1, Level Fb1-2: Klingen - Schlagflächenrest | N | % | N | % |
|---|-----|-------|----|-------|
| ohne | 55 | 47.41 | | |
| facettiert | 1 | 0.86 | 1 | 1.64 |
| glatt | 24 | 20.69 | 24 | 39.34 |
| Kortex | 0 | 0.00 | 0 | 0.00 |
| Kluft | 0 | 0.00 | 0 | 0.00 |
| gesplittert | 5 | 4.31 | 5 | 8.20 |
| punktförmig | 6 | 5.17 | 6 | 9.84 |
| dièdre | 4 | 3.45 | 4 | 6.56 |
| gratförmig | 18 | 15.52 | 18 | 29.51 |
| Bruch | 1 | 0.86 | 1 | 1.64 |
| sonstiges | 2 | 1.72 | 2 | 3.28 |
| keine Angabe | 0 | 0.00 | 0 | 0.00 |
| Gesamt | 116 | 100 | 61 | 100 |

Tab. 11.3.128. Siuren 1, Schicht Fb1-2. Merkmal Schlagflächenrest. Klingen.

| Siuren 1, Level Fb1-2: Lamellen, Stichel-Lamellen & Microblades - Schlagflächenrest | N | % | N | % |
|--|------------|------------|------------|------------|
| ohne | 47 | 6.60 | | |
| facettiert | 12 | 1.69 | 12 | 1.80 |
| glatt | 260 | 36.52 | 260 | 39.10 |
| Kortex | 2 | 0.28 | 2 | 0.30 |
| Kluft | 0 | 0.00 | 0 | 0.00 |
| gesplittert | 52 | 7.30 | 52 | 7.82 |
| punktförmig | 166 | 23.31 | 166 | 24.96 |
| dièdre | 3 | 0.42 | 3 | 0.45 |
| gratförmig | 155 | 21.77 | 155 | 23.31 |
| Bruch | 7 | 0.98 | 7 | 1.05 |
| sonstiges | 6 | 0.84 | 6 | 0.90 |
| keine Angabe | 2 | 0.28 | 2 | 0.30 |
| Gesamt | 712 | 100 | 665 | 100 |

Tab. 11.3.129. Siuren 1, Schicht Fb1-2. Merkmal Schlagflächenrest. Lamellare Grundformen.

| Siuren 1, Level Fb1-2: Lamellen - Schlagflächenrest | | | Siuren 1, Level Fb1-2: Stichlamellen - Schlagflächenrest | | | Siuren 1, Level Fb1-2: Microblades - Schlagflächenrest | | |
|---|-----|-------|--|-------|-----|--|-----|-----|
| | N | % | N | % | N | % | N | % |
| ohne | 4 | 2,04 | 21 | 45,65 | 22 | 4,88 | | |
| facetiert | 7 | 3,57 | 1 | 2,17 | 4 | 0,85 | | |
| glatt | 82 | 41,84 | 8 | 17,39 | 170 | 36,17 | | |
| Kortex | 1 | 0,51 | 0 | 0,00 | 1 | 0,21 | | |
| Kluft | 0 | 0,00 | 0 | 0,00 | 0 | 0,00 | | |
| gesplittet | 19 | 9,69 | 0 | 0,00 | 28 | 5,95 | | |
| Punktförmig | 32 | 16,33 | 7 | 15,22 | 127 | 27,02 | | |
| diedre | 3 | 1,53 | 0 | 0,00 | 0 | 0,00 | | |
| gratförmig | 42 | 21,43 | 2 | 4,35 | 111 | 23,62 | | |
| Bruch | 2 | 1,02 | 0 | 0,00 | 5 | 1,06 | | |
| Sonstiges | 1 | 0,51 | 0 | 0,00 | 1 | 0,21 | | |
| keine Angabe | 3 | 1,53 | 0 | 0,00 | 1 | 0,21 | | |
| Gesamt | 116 | 100 | 46 | 100 | 470 | 100 | 448 | 100 |

Tab. 11.3.130. Siuren 1, Schicht Fb1-2. Merkmal Schlagflächenrest. Lamellen, Stichlamellen & Microblades.

| Siuren 1, Level Fb1-2: alle Artefakte - Schlaglippe | N | % |
|--|----------|----------|
| mit Lippe | 568 | 48.34 |
| ohne Lippe | 420 | 35.74 |
| sonstiges | 187 | 15.91 |
| Gesamt | 1175 | 100 |

Tab. 11.3.131. Siuren 1, Schicht Fb1-2. Merkmal Schlaglippe. Grundformen.

| Siuren 1, Level Fb1-2: Abschlage & Absplisse >1 cm - Schlaglippe | N | % |
|---|----------|----------|
| mit Lippe | 111 | 37.37 |
| ohne Lippe | 143 | 48.15 |
| sonstiges | 43 | 14.48 |
| Gesamt | 297 | 100 |

Tab. 11.3.132. Siuren 1, Schicht Fb1-2. Merkmal Schlaglippe. Abschlage > 1 cm.

| Siuren 1, Level Fb1-2: Kl ingen - Schlaglippe | N | % |
|--|----------|----------|
| mit Lippe | 29 | 25.00 |
| ohne Lippe | 32 | 27.59 |
| sonstiges | 55 | 47.41 |
| Gesamt | 116 | 100 |

Tab. 11.3.133. Siuren 1, Schicht Fb1-2. Merkmal Schlaglippe. Kl ingen

| Siuren 1, Level Fb1-2: Lamellen, Stichel-Lamellen & Microblades - Schlaglippe | N | % |
|--|----------|----------|
| mit Lippe | 425 | 59.69 |
| ohne Lippe | 238 | 33.43 |
| sonstiges | 49 | 6.88 |
| Gesamt | 712 | 100 |

Tab. 11.3.134. Siuren 1, Schicht Fb1-2. Merkmal Schlaglippe. Lamellare Grundformen.

| Siuren 1, Level Fb1-2: Lamellen, Stichel-Lamellen & Microblades - Schlaglippe | N | % | Siuren 1, Level Fb1-2: Lamellen - Schlaglippe | N | % | Siuren 1, Level Fb1-2: Stichel-Lamellen - Schlaglippe | N | % |
|--|-----|-------|--|-----|-------|---|----|-------|
| mit Lippe | 425 | 59.69 | mit Lippe | 115 | 58.67 | mit Lippe | 6 | 13.04 |
| ohne Lippe | 238 | 33.43 | ohne Lippe | 0 | 0.00 | ohne Lippe | 19 | 41.30 |
| sonstiges | 49 | 6.88 | sonstiges | 81 | 41.33 | sonstiges | 21 | 45.65 |
| Gesamt | 712 | 100 | Gesamt | 196 | 100 | Gesamt | 46 | 100 |

Tab. 11.3.135. Siuren 1, Schicht Fb1-2. Merkmal Schlaglippe. Lamellen, Stichellamellen & Microblades.

| Siuren 1, Level Fb1-2: alle Artefakte - Bulbus | N | % |
|---|-------------|------------|
| mit Bulbus | 763 | 64.94 |
| ohne Bulbus | 202 | 17.19 |
| ausgesplittert | 25 | 2.13 |
| sonstiges | 185 | 15.74 |
| Gesamt | 1175 | 100 |

Tab. 11.3.136. Siuren 1, Schicht Fb1-2. Merkmal Bulbus. Grundformen.

| Siuren 1, Level Fb1-2: Abschlage & Absplisse >1 cm - Bulbus | N | % |
|--|------------|------------|
| mit Bulbus | 206 | 69.36 |
| ohne Bulbus | 44 | 14.81 |
| ausgesplittert | 6 | 2.02 |
| sonstiges | 41 | 13.80 |
| Gesamt | 297 | 100 |

Tab. 11.3.137. Siuren 1, Schicht Fb1-2. Merkmal Bulbus. Abschlage > 1 cm.

| Siuren 1, Level Fb1-2: Klingen - Bulbus | N | % |
|--|------------|------------|
| mit Bulbus | 45 | 38.79 |
| ohne Bulbus | 12 | 10.34 |
| ausgesplittert | 4 | 3.45 |
| sonstiges | 55 | 47.41 |
| Gesamt | 116 | 100 |

Tab. 11.3.138. Siuren 1, Schicht Fb1-2. Merkmal Bulbus. Klingen.

| Siuren 1, Level Fb1-2: Lamellen, Stichel-Lamellen & Microblades - Bulbus | N | % |
|--|-----|-------|
| mit Bulbus | 508 | 71.35 |
| ohne Bulbus | 140 | 19.66 |
| ausgesplittert | 15 | 2.11 |
| sonstiges | 49 | 6.88 |
| Gesamt | 712 | 100 |

Tab. 11.3.139. Siuren 1, Schicht Fb1-2. Merkmal Bulbus. Lamellare Grundformen.

| Siuren 1, Level Fb1-2: Lamellen - Bulbus | N | % | Siuren 1, Level Fb1-2: Stichel-Lamellen - Bulbus | N | % | Siuren 1, Level Fb1-2: Microblades - Bulbus | N | % |
|---|-----|-------|---|----|-------|--|-----|-------|
| mit Bulbus | 152 | 77.55 | mit Bulbus | 9 | 19.57 | mit Bulbus | 347 | 73.83 |
| ohne Bulbus | 32 | 16.33 | ohne Bulbus | 16 | 34.78 | ohne Bulbus | 92 | 19.57 |
| ausgesplittert | 8 | 4.08 | ausgesplittert | 0 | 0.00 | ausgesplittert | 7 | 1.49 |
| sonstiges | 4 | 2.04 | sonstiges | 21 | 45.65 | sonstiges | 24 | 5.11 |
| Gesamt | 196 | 100 | Gesamt | 46 | 100 | Gesamt | 470 | 100 |

Tab. 11.3.140. Siuren 1, Schicht Fb1-2. Merkmal Bulbus. Lamellen, Stichel-Lamellen & Microblades.

| Siuren 1, Level Fb1-2: alle Artefakte - Profil | N | % |
|---|----------|----------|
| gerade | 347 | 29.53 |
| gebogen | 522 | 44.43 |
| tordiert | 192 | 16.34 |
| sonstiges | 114 | 9.70 |
| Gesamt | 1175 | 100 |

Tab. 11.3.141. Siuren 1, Schicht Fb1-2. Merkmal Profil. Grundformen.

| Siuren 1, Level Fb1-2: Abschläge & Absplisse >1 cm - Profil | N | % |
|---|----------|----------|
| gerade | 107 | 36.03 |
| gebogen | 140 | 47.14 |
| tordiert | 7 | 2.36 |
| sonstiges | 43 | 14.48 |
| Gesamt | 297 | 100 |

Tab. 11.3.142. Siuren 1, Schicht Fb1-2. Merkmal Profil. Abschläge > 1 cm.

| Siuren 1, Level Fb1-2: Klängen - Profil | N | % |
|--|----------|----------|
| gerade | 59 | 50.86 |
| gebogen | 42 | 36.21 |
| tordiert | 6 | 5.17 |
| sonstiges | 9 | 7.76 |
| Gesamt | 116 | 100 |

Tab. 11.3.143. Siuren 1, Schicht Fb1-2. Merkmal Profil. Klängen.

| Siuren 1, Level Fb1-2: Lamellen, Stichel-Lamellen & Microblades - Profil | N | % |
|--|-----|-------|
| gerade | 168 | 23.60 |
| gebogen | 332 | 46.63 |
| tordiert | 177 | 24.86 |
| sonstiges | 35 | 4.92 |
| Gesamt | 712 | 100 |

Tab. 11.3.144. Siuren 1, Schicht Fb1-2. Merkmal Profil. Lamellare Grundformen.

| Siuren 1, Level Fb1-2: Lamellen - Profil | N | % | Siuren 1, Level Fb1-2: Stichel-Lamellen - Profil | N | % | Siuren 1, Level Fb1-2: Microblades - Profil | N | % |
|---|-----|-------|---|----|-------|--|-----|-------|
| gerade | 43 | 21.94 | gerade | 29 | 63.04 | gerade | 96 | 20.43 |
| gebogen | 86 | 43.88 | gebogen | 9 | 19.57 | gebogen | 237 | 50.43 |
| tordiert | 55 | 28.06 | tordiert | 4 | 8.70 | tordiert | 118 | 25.11 |
| sonstiges | 12 | 6.12 | sonstiges | 4 | 8.70 | sonstiges | 19 | 4.04 |
| Gesamt | 196 | 100 | Gesamt | 46 | 100 | Gesamt | 470 | 100 |

Tab. 11.3.145. Siuren 1, Schicht Fb1-2. Merkmal Profil. Lamellen, Stichel lamellen & Microblades.

| Siuren 1, Level Fa3: alle Artefakte - Schlagflächenrest | N | % |
|--|------------|------------|
| facettiert | 12 | 10.34 |
| glatt | 47 | 40.52 |
| Kortex | 4 | 3.45 |
| Kluft | 0 | 0.00 |
| gesplittert | 11 | 9.48 |
| punktförmig | 10 | 8.62 |
| dièdre | 8 | 6.90 |
| gratförmig | 24 | 20.69 |
| Bruch | 0 | 0.00 |
| Gesamt | 116 | 100 |

Tab. 11.3.146. Siuren 1, Schicht Fa3. Merkmal Schlagflächenrest. Grundformen mit erhaltenem Basalende.

| Siuren 1, Level Fa3: alle Artefakte - Schlaglippe | N | % |
|--|------------|------------|
| mit Lippe | 50 | 42.02 |
| ohne Lippe | 69 | 57.98 |
| Gesamt | 119 | 100 |

Tab. 11.3.147. Siuren 1, Schicht Fa3. Merkmal Schlaglippe. Grundformen mit erhaltenem Basalende.

| Siuren 1, Level Fa3: alle Artefakte - Bulbus | N | % |
|---|------------|------------|
| mit Bulbus | 99 | 82.50 |
| ohne Bulbus | 19 | 15.83 |
| ausgesplittert | 2 | 1.67 |
| Gesamt | 120 | 100 |

Tab. 11.3.148. Siuren 1, Schicht Fa3. Merkmal Bulbus. Grundformen mit erhaltenem Basalende.

| Siuren 1, Level Fa3: alle Artefakte - Profil | N | % |
|---|------------|------------|
| gerade | 53 | 34.42 |
| gebogen | 69 | 44.81 |
| tordiert | 32 | 20.78 |
| Gesamt | 154 | 100 |

Tab. 11.3.149. Siuren 1, Schicht Fa3. Grundformen mit erhaltenem Basalende.

| Siuren 1, Level Fa3: alle Artefakte - Schlagflächenrest | N | % | N | % |
|--|------------|------------|------------|------------|
| ohne | 55 | 30.56 | | |
| facettiert | 12 | 6.67 | 12 | 9.6 |
| glatt | 47 | 26.11 | 47 | 37.6 |
| Kortex | 4 | 2.22 | 4 | 3.2 |
| Kluft | 0 | 0.00 | 0 | 0 |
| gesplittert | 11 | 6.11 | 11 | 8.8 |
| punktförmig | 10 | 5.56 | 10 | 8 |
| dièdre | 8 | 4.44 | 8 | 6.4 |
| gratförmig | 24 | 13.33 | 24 | 19.2 |
| Bruch | 0 | 0.00 | 0 | 0 |
| sonstiges | 9 | 5.00 | 9 | 7.2 |
| Gesamt | 180 | 100 | 125 | 100 |

Tab. 11.3.150. Siuren 1, Schicht Fa3. Merkmal Schlagflächenrest. Grundformen.

| Siuren 1, Level Fa3: Abschlüge - Schlagflächenrest | N | % |
|---|-----------|------------|
| ohne | 5 | 8.33 |
| facettiert | 5 | 8.33 |
| glatt | 28 | 46.67 |
| Kortex | 2 | 3.33 |
| Kluft | 0 | 0.00 |
| gesplittert | 4 | 6.67 |
| punktförmig | 0 | 0.00 |
| dièdre | 4 | 6.67 |
| gratförmig | 9 | 15.00 |
| Bruch | 0 | 0.00 |
| sonstiges | 3 | 5.00 |
| Gesamt | 60 | 100 |

Tab. 11.3.151. Siuren 1, Schicht Fa3. Merkmal Schlagflächenrest. Abschlüge > 1 cm.

| Siuren 1, Level Fa3: Klingen - Schlagflächenrest | N | % |
|---|-----------|------------|
| ohne | 16 | 48.48 |
| facettiert | 2 | 6.06 |
| glatt | 4 | 12.12 |
| Kortex | 1 | 3.03 |
| Kluft | 0 | 0.00 |
| gesplittert | 2 | 6.06 |
| punktförmig | 0 | 0.00 |
| dièdre | 1 | 3.03 |
| gratförmig | 4 | 12.12 |
| Bruch | 0 | 0.00 |
| sonstiges | 3 | 9.09 |
| Gesamt | 33 | 100 |

Tab. 11.3.152. Siuren 1, Schicht Fa3. Merkmal Schlagflächenrest. Klingen.

| Siuren 1, Level Fa3: Lamellen, Stichel-Lamellen & Microblades - Schlagflächenrest | N | % |
|--|-----------|------------|
| ohne | 29 | 40.85 |
| facettiert | 1 | 1.41 |
| glatt | 13 | 18.31 |
| Kortex | 0 | 0.00 |
| Kluft | 0 | 0.00 |
| gesplittert | 5 | 7.04 |
| punktförmig | 10 | 14.08 |
| dièdre | 0 | 0.00 |
| gratförmig | 11 | 15.49 |
| Bruch | 0 | 0.00 |
| sonstiges | 2 | 2.82 |
| Gesamt | 71 | 100 |

Tab. 11.3.153. Siuren 1, Schicht Fa3. Merkmal Schlagflächenrest. Lamellare Grundformen.

| Siuren 1, Level Fa3: Lamellen - Schlagflächenrest | N | % | Siuren 1, Level Fa3: Stichel- Lamellen - Schlagflächenrest | N | % | Siuren 1, Level Fa3: Microblades - Schlagflächenrest | N | % |
|---|----|-------|--|---|-------|--|----|-------|
| ohne | 17 | 48.57 | ohne | 0 | 0.00 | ohne | 12 | 35.29 |
| facettiert | 0 | 0.00 | facettiert | 1 | 50.00 | facettiert | 0 | 0.00 |
| glatt | 7 | 20.00 | glatt | 1 | 50.00 | glatt | 5 | 14.71 |
| Kortex | 0 | 0.00 | Kortex | 0 | 0.00 | Kortex | 0 | 0.00 |
| Kluft | 0 | 0.00 | Kluft | 0 | 0.00 | Kluft | 0 | 0.00 |
| gesplittert | 2 | 5.71 | gesplittert | 0 | 0.00 | gesplittert | 0 | 0.00 |
| punktförmig | 2 | 5.71 | punktförmig | 0 | 0.00 | punktförmig | 3 | 8.82 |
| diédre | 0 | 0.00 | diédre | 0 | 0.00 | diédre | 8 | 23.53 |
| gratförmig | 6 | 17.14 | gratförmig | 0 | 0.00 | gratförmig | 0 | 0.00 |
| Bruch | 0 | 0.00 | Bruch | 0 | 0.00 | Bruch | 5 | 14.71 |
| sonstiges | 1 | 2.86 | sonstiges | 0 | 0.00 | sonstiges | 0 | 0.00 |
| Gesamt | 35 | 100 | Gesamt | 2 | 100 | Gesamt | 34 | 100 |

Tab. 11.3.154. Siuren 1, Schicht Fa3. Merkmal Schlagflächenrest. Lamellen, Stichlamellen & Microblades.

| Siuren 1, Level Fa3: alle Artefakte - Schlaglippe | N | % |
|--|-----|-------|
| mit Lippe | 50 | 27.78 |
| ohne Lippe | 69 | 38.33 |
| sonstiges | 61 | 33.89 |
| Gesamt | 180 | 100 |

Tab. 11.3.155. Siuren 1, Schicht Fa3. Merkmal Schlaglippe. Grundformen.

| Siuren 1, Level Fa3: Abschläge & Absplisse >1 cm - Schlaglippe | N | % |
|--|----------|----------|
| mit Lippe | 29 | 48.33 |
| ohne Lippe | 25 | 41.67 |
| sonstiges | 6 | 10.00 |
| Gesamt | 60 | 100 |

Tab. 11.3.156. Siuren 1, Schicht Fa3. Merkmal Schlaglippe. Abschläge > 1 cm.

| Siuren 1, Level Fa3: Klingen - Schlaglippe | N | % |
|---|----------|----------|
| mit Lippe | 6 | 18.18 |
| ohne Lippe | 11 | 33.33 |
| sonstiges | 16 | 48.48 |
| Gesamt | 33 | 100 |

Tab. 11.3.157. Siuren 1, Schicht Fa3. Merkmal Schlaglippe. Klingen.

| Siuren 1, Level Fa3: Lamellen, Stichel-Lamellen & Microblades - Schlaglippe | N | % |
|--|----------|----------|
| mit Lippe | 11 | 15.49 |
| ohne Lippe | 29 | 40.85 |
| sonstiges | 31 | 43.66 |
| Gesamt | 71 | 100 |

Tab. 11.3.158. Siuren 1, Schicht Fa3. Merkmal Schlaglippe. Lamellare Grundformen.

| Siuren 1, Level Fa3: Lamellen - Schlaglippe | N | % | Siuren 1, Level Fa3: Stichel- Lamellen - Schlaglippe | N | % | Siuren 1, Level Fa3: Microblades - Schlaglippe | N | % |
|--|----|-------|--|---|-------|---|----|-------|
| mit Lippe | 3 | 8.57 | mit Lippe | 1 | 50.00 | mit Lippe | 7 | 20.59 |
| ohne Lippe | 14 | 40.00 | ohne Lippe | 1 | 50.00 | ohne Lippe | 14 | 41.18 |
| sonstiges | 18 | 51.43 | sonstiges | 0 | 0.00 | sonstiges | 13 | 38.24 |
| Gesamt | 35 | 100 | Gesamt | 2 | 100 | Gesamt | 34 | 100 |

Tab. 11.3.159. Siuren 1, Schicht Fa3. Merkmal Schlaglippe. Lamellen, Stichel lamellen & Microblades.

| Siuren 1, Level Fa3: alle Artefakte - Bulbus | N | % |
|---|-----|-------|
| mit Bulbus | 99 | 55.00 |
| ohne Bulbus | 19 | 10.56 |
| ausgesplittert | 2 | 1.11 |
| sonstiges | 60 | 33.33 |
| Gesamt | 180 | 100 |

Tab. 11.3.160. Siuren 1, Schicht Fa3. Merkmal Bulbus. Grundformen.

| Siuren 1, Level Fa3: Abschläge - Bulbus | N | % |
|--|----------|----------|
| mit Bulbus | 49 | 81.67 |
| ohne Bulbus | 6 | 10.00 |
| ausgesplittert | 0 | 0.00 |
| sonstiges | 5 | 8.33 |
| Gesamt | 60 | 100 |

Tab. 11.3.161. Siuren 1, Schicht Fa3. Merkmal Bulbus. Abschläge > 1 cm.

| Siuren 1, Level Fa3: Klingen - Bulbus | N | % |
|--|----------|----------|
| mit Bulbus | 15 | 45.45 |
| ohne Bulbus | 1 | 3.03 |
| ausgesplittert | 1 | 3.03 |
| sonstiges | 16 | 48.48 |
| Gesamt | 33 | 100 |

Tab. 11.3.162. Siuren 1, Schicht Fa3. Merkmal Bulbus. Klingen.

| Siuren 1, Level Fa3: Lamellen, Stichel-Lamellen & Microblades - Bulbus | N | % |
|---|----------|----------|
| mit Bulbus | 27 | 38.03 |
| ohne Bulbus | 12 | 16.90 |
| ausgesplittert | 1 | 1.41 |
| sonstiges | 31 | 43.66 |
| Gesamt | 71 | 100 |

Tab. 11.3.163. Siuren 1, Schicht Fa3. Merkmal Bulbus. Lamellare Grundformen.

| Siuren 1, Level Fa3: Lamellen - Bulbus | N | % | Siuren 1, Level Fa3: Stichel- Lamellen - Bulbus | N | % | Siuren 1, Level Fa3: Microblades - Bulbus | N | % |
|---|----|-------|---|---|-------|--|----|-------|
| mit Bulbus | 10 | 28.57 | mit Bulbus | 1 | 50.00 | mit Bulbus | 16 | 47.06 |
| ohne Bulbus | 7 | 20.00 | ohne Bulbus | 1 | 50.00 | ohne Bulbus | 4 | 11.76 |
| ausgesplittert | 1 | 2.86 | ausgesplittert | 0 | 0.00 | ausgesplittert | 0 | 0.00 |
| sonstiges | 17 | 48.57 | sonstiges | 0 | 0.00 | sonstiges | 14 | 41.18 |
| Gesamt | 35 | 100 | Gesamt | 2 | 100 | Gesamt | 34 | 100 |

Tab. 11.3.164. Siuren 1, Schicht Fa3. Merkmal Bulbus. Lamellen, Stichlamellen & Microblades.

| Siuren 1, Level Fa3: alle Artefakte - Profil | N | % |
|---|-----|-------|
| gerade | 53 | 29.44 |
| gebogen | 69 | 38.33 |
| tordiert | 32 | 17.78 |
| sonstiges | 26 | 14.44 |
| Gesamt | 180 | 100 |

Tab. 11.3.165. Siuren 1, Schicht Fa3. Merkmal Profil. Grundformen.

| Siuren 1, Level Fa3: Abschläge- Profil | N | % |
|---|----------|----------|
| gerade | 22 | 36.67 |
| gebogen | 28 | 46.67 |
| tordiert | 1 | 1.67 |
| sonstiges | 9 | 15.00 |
| Gesamt | 60 | 100 |

Tab. 11.3.166. Siuren 1, Schicht Fa3. Merkmal Profil. Abschläge > 1 cm.

| Siuren 1, Level Fa3: Klängen - Profil | N | % |
|--|----------|----------|
| gerade | 9 | 27.27 |
| gebogen | 17 | 51.52 |
| tordiert | 4 | 12.12 |
| sonstiges | 3 | 9.09 |
| Gesamt | 33 | 100 |

Tab. 11.3.167. Siuren 1, Schicht Fa3. Klängen.

| Siuren 1, Level Fa3: Lamellen, Stichel-Lamellen & Miroblades - Profil | N | % |
|--|----------|----------|
| gerade | 19 | 23.75 |
| gebogen | 21 | 26.25 |
| tordiert | 27 | 33.75 |
| sonstiges | 13 | 16.25 |
| Gesamt | 80 | 100 |

Tab. 11.3.168. Siuren 1, Schicht Fa3. Merkmal Profil. Lamellare Grundformen.

| Siuren 1, Level Fa3: Lamellen - Profil | N | % | Siuren 1, Level Fa3: Stiche- Lamellen - Profil | N | % | Siuren 1, Level Fa3: Microblades - Profil | N | % |
|---|----|-------|---|---|--------|--|----|-------|
| gerade | 9 | 25.71 | gerade | 0 | 0.00 | gerade | 8 | 23.53 |
| gebogen | 11 | 31.43 | gebogen | 2 | 100.00 | gebogen | 7 | 20.59 |
| tordiert | 10 | 28.57 | tordiert | 0 | 0.00 | tordiert | 16 | 47.06 |
| sonstiges | 5 | 14.29 | sonstiges | 0 | 0.00 | sonstiges | 3 | 8.82 |
| Gesamt | 35 | 100 | Gesamt | 2 | 100 | Gesamt | 34 | 100 |

Tab. 11.3.169. Siuren 1, Schicht Fa3. Merkmal Profil. Lamellen, Stichlamellen & Microblades.

| Siuren 1, Level Fa1-2: alle Artefakte - Schlagflächenrest | N | % |
|--|----------|----------|
| facettiert | 4 | 6.56 |
| glatt | 15 | 24.59 |
| Kortex | 0 | 0.00 |
| Kluft | 0 | 0.00 |
| gesplittert | 10 | 16.39 |
| punktförmig | 11 | 18.03 |
| dièdre | 6 | 9.84 |
| gratförmig | 12 | 19.67 |
| Bruch | 3 | 4.92 |
| Gesamt | 61 | 100 |

Tab. 11.3.170. Siuren 1, Schicht Fa1-2. Merkmal Schlagflächenrest. Grundformen mit Basalende.

| Siuren 1, Level Fa1-2: alle Artefakte - Schlaglippe | N | % |
|--|----------|----------|
| mit Lippe | 19 | 31.15 |
| ohne Lippe | 42 | 68.85 |
| Gesamt | 61 | 100 |

Tab. 11.3.171. Siuren 1, Schicht Fa1-2. Merkmal Schlaglippe. Grundformen mit Basalende.

| Siuren 1, Level Fa1-2: alle Artefakte - Bulbus | N | % |
|---|----------|----------|
| mit Bulbus | 53 | 86.89 |
| ohne Bulbus | 7 | 11.48 |
| ausgesplittert | 1 | 1.64 |
| Gesamt | 61 | 100 |

Tab. 11.3.172. Siuren 1, Schicht Fa1-2. Merkmal Bulbus. Grundformen mit Basalende.

| Siuren 1, Level Fa1-2: alle Artefakte - Profil | N | % |
|---|----------|----------|
| gerade | 28 | 36.84 |
| gebogen | 33 | 43.42 |
| tordiert | 15 | 19.74 |
| Gesamt | 76 | 100.00 |

Tab. 11.3.173. Siuren 1, Schicht Fa1-2. Merkmal Profil. Grundformen mit Basalende.

| Siuren 1, Level Fa1-2: alle Artefakte - Schlagflächenrest | N | % | N | % |
|--|-----------|------------|-----------|------------|
| ohne | 23 | 26.44 | | |
| facettiert | 4 | 4.60 | 4 | 6.25 |
| glatt | 15 | 17.24 | 15 | 23.44 |
| Kortex | 0 | 0.00 | 0 | 0.00 |
| Kluft | 0 | 0.00 | 0 | 0.00 |
| gesplittert | 10 | 11.49 | 10 | 15.63 |
| punktförmig | 11 | 12.64 | 11 | 17.19 |
| dièdre | 6 | 6.90 | 6 | 9.38 |
| gratförmig | 12 | 13.79 | 12 | 18.75 |
| Bruch | 3 | 3.45 | 3 | 4.69 |
| sonstiges | 3 | 3.45 | 3 | 4.69 |
| keine Angabe | 0 | 0.00 | 0 | 0.00 |
| Gesamt | 87 | 100 | 64 | 100 |

Tab. 11.3.174. Siuren 1, Schicht Fa1-2. Merkmal Schlagflächenrest. Grundformen.

| Siuren 1, Level Fa1-2: Abschläge & Absplisse >1 cm - Schlagflächenrest | N | % | N | % |
|--|-----------|------------|-----------|------------|
| ohne | 5 | 15.63 | | |
| facettiert | 2 | 6.25 | 2 | 7.41 |
| glatt | 5 | 15.63 | 5 | 18.52 |
| Kortex | 0 | 0.00 | 0 | 0.00 |
| Kluft | 0 | 0.00 | 0 | 0.00 |
| gesplittert | 6 | 18.75 | 6 | 22.22 |
| punktförmig | 2 | 6.25 | 2 | 7.41 |
| dièdre | 4 | 12.50 | 4 | 14.81 |
| gratförmig | 6 | 18.75 | 6 | 22.22 |
| Bruch | 0 | 0.00 | 0 | 0.00 |
| sonstiges | 2 | 6.25 | 2 | 7.41 |
| keine Angabe | 0 | 0.00 | 0 | 0.00 |
| Gesamt | 32 | 100 | 27 | 100 |

Tab. 11.3.175. Siuren 1, Schicht Fa1-2. Merkmal Schlagflächenrest. Abschläge > 1 cm.

| Siuren 1, Level Fa1-2: Klingen - Schlagflächenrest | N | % | N | % |
|---|-----------|------------|-----------|------------|
| ohne | 5 | 29.41 | | |
| facettiert | 0 | 0.00 | 0 | 0.00 |
| glatt | 4 | 23.53 | 4 | 33.33 |
| Kortex | 0 | 0.00 | 0 | 0.00 |
| Kluft | 0 | 0.00 | 0 | 0.00 |
| gesplittert | 2 | 11.76 | 2 | 16.67 |
| punktförmig | 3 | 17.65 | 3 | 25.00 |
| dièdre | 1 | 5.88 | 1 | 8.33 |
| gratförmig | 1 | 5.88 | 1 | 8.33 |
| Bruch | 1 | 5.88 | 1 | 8.33 |
| sonstiges | 0 | 0.00 | 0 | 0.00 |
| keine Angabe | 0 | 0.00 | 0 | 0.00 |
| Gesamt | 17 | 100 | 12 | 100 |

Tab. 11.3.176. Siuren 1, Schicht Fa1-2. Merkmal Schlagflächenrest. Klingen.

| Siuren 1, Level Fa1-2: Lamellen, Stichel-Lamellen & Microblades - Schlagflächenrest | N | % | N | % |
|--|-----------|------------|-----------|------------|
| ohne | 11 | 35.48 | | |
| facettiert | 2 | 6.45 | 2 | 10.00 |
| glatt | 5 | 16.13 | 5 | 25.00 |
| Kortex | 0 | 0.00 | 0 | 0.00 |
| Kluft | 0 | 0.00 | 0 | 0.00 |
| gesplittert | 2 | 6.45 | 2 | 10.00 |
| punktförmig | 6 | 19.35 | 6 | 30.00 |
| dièdre | 0 | 0.00 | 0 | 0.00 |
| gratförmig | 5 | 16.13 | 5 | 25.00 |
| Bruch | 0 | 0.00 | 0 | 0.00 |
| sonstiges | 0 | 0.00 | 0 | 0.00 |
| keine Angabe | 0 | 0.00 | 0 | 0.00 |
| Gesamt | 31 | 100 | 20 | 100 |

Tab. 11.3.177. Siuren 1, Schicht Fa1-2. Merkmal Schlagflächenrest. Lamellare Grundformen.

| Siuren 1, Level Fa1-2: Schlagflächenrest | N | % | N | % | N | % | Siuren 1, Level Fa1-2: Stichel-Lamellen - Schlagflächenrest | N | % | N | % | Siuren 1, Level Fa1-2: Microblades - Schlagflächenrest | N | % | N | % |
|---|----|-------|----|-------|-------|---|---|---|-------|---|-------|--|---|-------|---|--------|
| ohne | 10 | 37,04 | 2 | 7,41 | 11,76 | 0 | ohne | 0 | 0,00 | 1 | 50,00 | ohne | 1 | 50,00 | 0 | 0,00 |
| facettiert | 2 | 7,41 | 3 | 11,11 | 17,65 | 0 | facettiert | 0 | 0,00 | 0 | 0,00 | facettiert | 0 | 0,00 | 0 | 0,00 |
| blatt | 3 | 11,11 | 0 | 0,00 | 0,00 | 1 | blatt | 1 | 50,00 | 1 | 50,00 | blatt | 1 | 50,00 | 1 | 100,00 |
| Kortex | 0 | 0,00 | 0 | 0,00 | 0,00 | 0 | Kortex | 0 | 0,00 | 0 | 0,00 | Kortex | 0 | 0,00 | 0 | 0,00 |
| Kluft | 0 | 0,00 | 0 | 0,00 | 0,00 | 0 | Kluft | 0 | 0,00 | 0 | 0,00 | Kluft | 0 | 0,00 | 0 | 0,00 |
| gespitzt | 1 | 3,70 | 1 | 3,70 | 5,88 | 1 | gespitzt | 1 | 50,00 | 1 | 50,00 | gespitzt | 0 | 0,00 | 0 | 0,00 |
| punktförmig | 6 | 22,22 | 6 | 22,22 | 35,29 | 0 | punktförmig | 0 | 0,00 | 0 | 0,00 | punktförmig | 0 | 0,00 | 0 | 0,00 |
| diale | 0 | 0,00 | 0 | 0,00 | 0,00 | 0 | diale | 0 | 0,00 | 0 | 0,00 | diale | 0 | 0,00 | 0 | 0,00 |
| geformt | 5 | 18,52 | 5 | 18,52 | 29,41 | 0 | geformt | 0 | 0,00 | 0 | 0,00 | geformt | 0 | 0,00 | 0 | 0,00 |
| Bruch | 0 | 0,00 | 0 | 0,00 | 0,00 | 0 | Bruch | 0 | 0,00 | 0 | 0,00 | Bruch | 0 | 0,00 | 0 | 0,00 |
| Sonstiges | 0 | 0,00 | 0 | 0,00 | 0,00 | 0 | Sonstiges | 0 | 0,00 | 0 | 0,00 | Sonstiges | 0 | 0,00 | 0 | 0,00 |
| keine Angabe | 0 | 0,00 | 0 | 0,00 | 0,00 | 0 | keine Angabe | 0 | 0,00 | 0 | 0,00 | keine Angabe | 0 | 0,00 | 0 | 0,00 |
| Gesamt | 27 | 100 | 17 | 100 | 100 | 2 | Gesamt | 2 | 100 | 2 | 100 | Gesamt | 2 | 100 | 2 | 100 |

Tab. 11.3.178. Siuren 1, Schicht Fa1-2. Merkmal Schlagflächenrest. Lamellen, Stichel lamellen & Microblades.

| Siuren 1, Level Fa1-2: alle Artefakte - Schlaglippe | N | % |
|--|----|-------|
| mit Lippe | 19 | 21.84 |
| ohne Lippe | 42 | 48.28 |
| sonstiges | 26 | 29.89 |
| Gesamt | 87 | 100 |

Tab. 11.3.179. Siuren 1, Schicht Fa1-2. Merkmal Schlaglippe. Grundformen.

| Siuren 1, Level Fa1-2: Abschläge - Schlaglippe | N | % |
|---|-----------|------------|
| mit Lippe | 7 | 20.59 |
| ohne Lippe | 21 | 61.76 |
| sonstiges | 6 | 17.65 |
| Gesamt | 34 | 100 |

Tab. 11.3.180. Siuren 1, Schicht Fa1-2. Merkmal Schlaglippe. Abschläge > 1 cm.

| Siuren 1, Level Fa1-2: Klingen - Schlaglippe | N | % |
|---|-----------|------------|
| mit Lippe | 4 | 23.53 |
| ohne Lippe | 8 | 47.06 |
| sonstiges | 5 | 29.41 |
| Gesamt | 17 | 100 |

Tab. 11.3.181. Siuren 1, Schicht Fa1-2. Merkmal Schlaglippe. Klingen.

| Siuren 1, Level Fa1-2: Lamellen, Stichel-Lamellen & Microblades - Schlaglippe | N | % |
|--|-----------|------------|
| mit Lippe | 8 | 25.81 |
| ohne Lippe | 12 | 38.71 |
| sonstiges | 11 | 35.48 |
| Gesamt | 31 | 100 |

Tab. 11.3.182. Siuren 1, Schicht Fa1-2. Merkmal Schlaglippe. Lamellare Grundformen.

| Siuren 1, Level Fa1-2: Lamellen - Schlaglippe | N | % | Siuren 1, Level Fa1-2: Stichel-Lamellen - Schlaglippe | N | % | Siuren 1, Level Fa1-2: Microblades - Schlaglippe | N | % |
|--|----|-------|---|---|--------|---|---|-------|
| mit Lippe | 7 | 25.93 | mit Lippe | 0 | 0.00 | mit Lippe | 1 | 50.00 |
| ohne Lippe | 10 | 37.04 | ohne Lippe | 2 | 100.00 | ohne Lippe | 0 | 0.00 |
| sonstiges | 10 | 37.04 | sonstiges | 0 | 0.00 | sonstiges | 1 | 50.00 |
| Gesamt | 27 | 100 | Gesamt | 2 | 100 | Gesamt | 2 | 100 |

Tab. 11.3.183. Siuren 1, Schicht Fa1-2. Merkmal Schlaglippe. Lamellen, Stichel lamellen & Microblades.

| Siuren 1, Level Fa1-2: alle Artefakte - Bulbus | N | % |
|---|----|-------|
| mit Bulbus | 53 | 60.92 |
| ohne Bulbus | 7 | 8.05 |
| ausgesplittert | 1 | 1.15 |
| sonstiges | 26 | 29.89 |
| Gesamt | 87 | 100 |

Tab. 11.3.184. Siuren 1, Schicht Fa1-2. Merkmal Bulbus. Grundformen.

| Siuren 1, Level Fa1-2: Abschläge - Bulbus | N | % |
|--|----------|----------|
| mit Bulbus | 27 | 79.41 |
| ohne Bulbus | 2 | 5.88 |
| ausgesplittert | 0 | 0.00 |
| sonstiges | 5 | 14.71 |
| Gesamt | 34 | 100 |

Tab. 11.3.185. Siuren 1, Schicht Fa1-2. Merkmal Bulbus. Abschläge > 1 cm.

| Siuren 1, Level Fa1-2: Klingen - Bulbus | N | % |
|--|----------|----------|
| mit Bulbus | 11 | 64.71 |
| ohne Bulbus | 0 | 0.00 |
| ausgesplittert | 0 | 0.00 |
| sonstiges | 6 | 35.29 |
| Gesamt | 17 | 100 |

Tab. 11.3.186. Siuren 1, Schicht Fa1-2. Merkmal Bulbus. Klingen.

| Siuren 1, Level Fa1-2: Lamellen, Stichel-Lamellen & Microblades - Bulbus | N | % |
|---|----------|----------|
| mit Bulbus | 14 | 45.16 |
| ohne Bulbus | 5 | 16.13 |
| ausgesplittert | 1 | 3.23 |
| sonstiges | 11 | 35.48 |
| Gesamt | 31 | 100 |

Tab. 11.3.187. Siuren 1, Schicht Fa1-2. Merkmal Bulbus.. Lamellare Grundformen.

| Siuren 1, Level Fa1-2: Lamellen - Bulbus | N | % | Siuren 1, Level Fa1-2: Stichel-Lamellen - Bulbus | N | % | Siuren 1, Level Fa1-2: Microblades - Bulbus | N | % |
|---|----|-------|---|---|--------|--|---|-------|
| mit Bulbus | 13 | 48.15 | mit Bulbus | 0 | 0.00 | mit Bulbus | 1 | 50.00 |
| ohne Bulbus | 3 | 11.11 | ohne Bulbus | 2 | 100.00 | ohne Bulbus | 0 | 0.00 |
| ausgesplittert | 1 | 3.70 | ausgesplittert | 0 | 0.00 | ausgesplittert | 0 | 0.00 |
| sonstiges | 10 | 37.04 | sonstiges | 0 | 0.00 | sonstiges | 1 | 50.00 |
| Gesamt | 27 | 100 | Gesamt | 2 | 100 | Gesamt | 2 | 100 |

Tab. 11.3.188. Siuren 1, Schicht Fa1-2. Merkmal Bulbus. Lamellen, Stichel lamellen & Microblades.

| Siuren 1, Level Fa1-2: alle Artefakte - Profil | N | % |
|---|----|-------|
| gerade | 28 | 32.18 |
| gebogen | 33 | 37.93 |
| tordiert | 15 | 17.24 |
| sonstiges | 11 | 12.64 |
| Gesamt | 87 | 100 |

Tab. 11.3.189. Siuren 1, Schicht Fa1-2. Merkmal Profil. Grundformen.

| Siuren 1, Level Fa1-2: Abschläge - Profil | N | % |
|--|----------|----------|
| gerade | 12 | 35.29 |
| gebogen | 18 | 52.94 |
| tordiert | 0 | 0.00 |
| sonstiges | 4 | 11.76 |
| Gesamt | 34 | 100 |

Tab. 11.3.190. Siuren 1, Schicht Fa1-2. Merkmal Profil. Abschläge > 1 cm.

| Siuren 1, Level Fa1-2: Klingen - Profil | N | % |
|--|----------|----------|
| gerade | 5 | 29.41 |
| gebogen | 5 | 29.41 |
| tordiert | 4 | 23.53 |
| sonstiges | 3 | 17.65 |
| Gesamt | 17 | 100 |

Tab. 11.3.191. Siuren 1, Schicht Fa1-2. Merkmal Profil. Klingen.

| Siuren 1, Level Fa1-2: Lamellen, Stichel-Lamellen & Microblades - Profil | N | % |
|---|----------|----------|
| gerade | 11 | 35.48 |
| gebogen | 8 | 25.81 |
| tordiert | 11 | 35.48 |
| sonstiges | 1 | 3.23 |
| Gesamt | 31 | 100 |

Tab. 11.3.192. Siuren 1, Schicht Fa1-2. Merkmal Profil. Lamellare Grundformen.

| Siuren 1, Level Fa1-2: Lamellen - Profil | N | % | Siuren 1, Level Fa1-2: Stichel-Lamellen - Profil | N | % | Siuren 1, Level Fa1-2: Microblades - Profil | N | % |
|---|----|-------|---|---|-------|--|---|-------|
| gerade | 9 | 33,33 | gerade | 1 | 50,00 | gerade | 1 | 50,00 |
| gebogen | 7 | 25,93 | gebogen | 1 | 50,00 | gebogen | 0 | 0,00 |
| tordiert | 10 | 37,04 | tordiert | 0 | 0,00 | tordiert | 1 | 50,00 |
| sonstiges | 1 | 3,70 | sonstiges | 0 | 0,00 | sonstiges | 0 | 0,00 |
| Gesamt | 27 | 100 | Gesamt | 2 | 100 | Gesamt | 2 | 100 |

Tab. 11.3.193. Siuren 1, Schicht Fa1-2. Merkmal Profil. Lamellen, Stichlamellen & Microblades.

| Kostenki 12, Level III: Rohstücke & Stücke mit Kernfunktion | Kern-Typ | N | % | N | % |
|--|--------------------------------|----------|----------|----------|----------|
| Rohstück | Rohstück | 40 | 66,67 | 40 | 66,67 |
| Abschlagkern | Abschlagkern, einfach | 2 | 3,33 | 11 | 18,33 |
| | Abschlagkern, zentripetal | 1 | 1,67 | | |
| | Abschlagkern, indifferent | 4 | 6,67 | | |
| | Abschlagkern, 2 Abbauf Flächen | 2 | 3,33 | | |
| | Abschlagkern, mehrfach | 2 | 3,33 | | |
| Klingenkern | Klingenkern, einfach | 1 | 1,67 | 2 | 3,33 |
| | Klingenkern, bipolar | 1 | 1,67 | | |
| Lamellenkern | Lamellenkern, einfach (ad hoc) | 1 | 1,67 | 3 | 5,00 |
| | Lamellenkern, mehrfach | 1 | 1,67 | | |
| | Lamellenkern, bipolar (ad hoc) | 1 | 1,67 | | |
| Sonstiges | Kerntrümmer, Schlag | 3 | 5,00 | 4 | 6,67 |
| | nicht erkennbar | 1 | 1,67 | | |
| Gesamt | | 60 | 100 | 60 | 100 |

Tab. 12.3.1. Kostenki 12, Schicht III. Artefakte mit Kernfunktion.

| Kostenki 12, Level III - Grundformen mit formalen Geräten & Kernen) | Grundform | N | % | N | % |
|--|--------------------------------------|----------|----------|----------|----------|
| Abschlag | Abschlag, einfach | 78 | 29,66 | 106 | 40,30 |
| | Abschlag, Breit- | 15 | 5,70 | | |
| | Präparationsabschlag, Kernkante | 3 | 1,14 | | |
| | Präparationsabschlag, Kernkantenrest | 4 | 1,52 | | |
| | Präparationsabschlag, Kortexkante | 3 | 1,14 | | |
| | Abschlag, Nachschärfung | 2 | 0,76 | | |
| | Abspliss, einfach | 1 | 0,38 | | |
| Klinge | Klinge, einfach | 14 | 5,32 | 30 | 11,41 |
| | Klinge, Kernkante | 7 | 2,66 | | |
| | Klinge, Kernkantenrest | 3 | 1,14 | | |
| | Klinge, Kortexkante | 6 | 2,28 | | |
| Lamelle / Microblade | Lamelle, einfach | 3 | 1,14 | 5 | 1,90 |
| | Microblade | 2 | 0,76 | | |
| Sonstiges | Trümmer, Schlag | 29 | 11,03 | 122 | 46,39 |
| | Trümmer, Frost | 5 | 1,90 | | |
| | Trümmer, Hitze | 3 | 1,14 | | |
| | Preform, bifaziell | 22 | 8,37 | | |
| | nicht erkennbar | 35 | 13,31 | | |
| | Rohstück / Kern | 28 | 10,65 | | |
| Gesamt | | 263 | 100 | 263 | 100 |

Tab. 12.3.2. Kostenki 12, Schicht III. Grundformen.

| Kostenki 12, Fundschicht III: Rohmaterialqualität (alle Artefakte) | N | % | Kostenki 12, Fundschicht III: Rohmaterialqualität (Klingen) | N | % | Kostenki 12, Fundschicht III: Rohmaterialqualität (Abschläge) | N | % |
|--|-----|--------|---|----|--------|---|-----|--------|
| mikrokristallin | 179 | 68,06 | mikrokristallin | 17 | 56,67 | mikrokristallin | 76 | 72,38 |
| feinkristallin | 56 | 21,29 | feinkristallin | 7 | 23,33 | feinkristallin | 19 | 18,10 |
| grobkristallin | 28 | 10,65 | grobkristallin | 5 | 16,67 | grobkristallin | 10 | 9,52 |
| keine Angabe | 0 | 0,00 | keine Angabe | 1 | 3,33 | keine Angabe | 0 | 0,00 |
| Gesamt | 263 | 100,00 | Gesamt | 30 | 100,00 | Gesamt | 105 | 100,00 |

Tab. 12.3.3. Kostenki 12, Schicht III. Rohmaterialqualität untersuchter Artefakte.

| Kostenki 12, Fundschicht III: Rohmaterial (alle Artefakte) | N | % | Kostenki 12, Fundschicht III: Rohmaterial (Klingen) | N | % | Kostenki 12, Fundschicht III: Rohmaterial (Abschläge) | N | % |
|--|-----|--------|---|----|--------|---|-----|--------|
| Feuerstein | 214 | 81,37 | Feuerstein | 22 | 73,33 | Feuerstein | 87 | 82,86 |
| Quarz | 1 | 0,38 | Quarz | 0 | 0,00 | Quarz | 0 | 0,00 |
| Quarzit | 12 | 4,56 | Quarzit | 0 | 0,00 | Quarzit | 5 | 4,76 |
| Hornstein | 3 | 1,14 | Hornstein | 0 | 0,00 | Hornstein | 2 | 1,90 |
| Kieselschiefer | 1 | 0,38 | Kieselschiefer | 0 | 0,00 | Kieselschiefer | 1 | 0,95 |
| Chalzedon | 5 | 1,90 | Chalzedon | 0 | 0,00 | Chalzedon | 5 | 4,76 |
| quarzitischer Sandstein | 1 | 0,38 | quarzitischer Sandstein | 2 | 6,67 | quarzitischer Sandstein | 1 | 0,95 |
| Radiolarit | 0 | 0,00 | Radiolarit | 1 | 3,33 | Sonstiges | 1 | 0,95 |
| Kalkstein | 23 | 8,75 | Kalkstein | 4 | 13,33 | Kalkstein | 7 | 6,67 |
| Sonstiges | 3 | 1,14 | Sonstiges | 1 | 3,33 | Sonstiges | 1 | 0,95 |
| Gesamt | 263 | 100,00 | Gesamt | 30 | 100,00 | Gesamt | 105 | 100,00 |

Tab. 12.3.4. Kostenki 12, Schicht III. Rohmaterialansprache untersuchter Artefakte.

| Kostenki 12/III: dorsale Gratmuster (alle Artefakte) | N | % | | Kostenki 12/III: dorsale Gratmuster (Abschläge) | N | % |
|--|-----|--------|--|---|-----|--------|
| unipolar | 42 | 15,97 | | unipolar | 18 | 16,98 |
| bipolar | 17 | 6,46 | | bipolar | 8 | 7,55 |
| crossed | 87 | 33,08 | | crossed | 47 | 44,34 |
| radial | 60 | 22,81 | | radial | 19 | 17,92 |
| sonstiges | 57 | 21,67 | | sonstiges | 14 | 13,21 |
| Gesamt | 263 | 100,00 | | Gesamt | 106 | 100,00 |

Tab. 12.3.5. Kostenki 12, Schicht III. Dorsale Gratmuster aller Artefakte & Abschläge

| Kostenki 12/III: dorsale Gratmuster (Klingen) | N | % | | Kostenki 12/III: dorsale Gratmuster (Lamellen & Microblades) | N | % |
|---|----|--------|--|--|---|--------|
| unipolar | 8 | 26,67 | | unipolar | 2 | 40,00 |
| bipolar | 3 | 10,00 | | bipolar | 0 | 0,00 |
| crossed | 11 | 36,67 | | crossed | 3 | 60,00 |
| radial | 4 | 13,33 | | radial | 0 | 0,00 |
| sonstiges | 4 | 13,33 | | sonstiges | 0 | 0,00 |
| Gesamt | 30 | 100,00 | | Gesamt | 5 | 100,00 |

Tab. 12.3.6. Kostenki 12, Schicht III. Dorsale Gratmuster aller Klingen & lamellaren Grundformen.

| Kostenki 12/III: Grundform-Umriss (alle Artefakte) | N | % | | Kostenki 12/III: Grundform-Umriss (Abschläge) | N | % |
|--|-----|--------|--|---|-----|--------|
| parallel | 23 | 8,75 | | parallel | 7 | 6,60 |
| bikonvex | 47 | 17,87 | | bikonvex | 29 | 27,36 |
| irregulär | 63 | 23,95 | | irregulär | 35 | 33,02 |
| konvergent | 46 | 17,49 | | konvergent | 8 | 7,55 |
| distal-links | 3 | 1,14 | | distal-links | 1 | 0,94 |
| distal-rechts | 1 | 0,38 | | distal-rechts | 0 | 0,00 |
| sonstiges | 80 | 30,42 | | sonstiges | 26 | 24,53 |
| Gesamt | 263 | 100,00 | | Gesamt | 106 | 100,00 |

Tab. 12.3.7. Kostenki 12, Schicht III. Umriss aller Grundformen & Abschläge.

| Kostenki 12/III: Grundform-Umriss (Klingen) | N | % | | Kostenki 12/III: Grundform-Umriss (Lamellen & Microblades) | N | % |
|--|----------|----------|--|---|----------|----------|
| parallel | 8 | 26,67 | | parallel | 1 | 20,00 |
| bikonvex | 3 | 10,00 | | bikonvex | 0 | 0,00 |
| irregulär | 7 | 23,33 | | irregulär | 1 | 20,00 |
| konvergent | 7 | 23,33 | | konvergent | 1 | 20,00 |
| distal-links | 2 | 6,67 | | distal-links | 0 | 0,00 |
| distal-rechts | 1 | 3,33 | | distal-rechts | 0 | 0,00 |
| sonstiges | 2 | 6,67 | | sonstiges | 2 | 40,00 |
| Gesamt | 30 | 100,00 | | Gesamt | 5 | 100,00 |

Tab. 12.3.8. Kostenki 12, Schicht III. Umriss aller Klingen & Lamellen.

| Kostenki 12/III: Grundform-Umriss (modifizierte Abschlage) | N | % | | Kostenki 12/III: Grundform-Umriss (modifizierte Klingen) | N | % |
|--|----------|----------|--|---|----------|----------|
| parallel | 4 | 6,35 | | parallel | 7 | 50,00 |
| bikonvex | 15 | 23,81 | | bikonvex | 1 | 7,14 |
| irregular | 18 | 28,57 | | irregular | 1 | 7,14 |
| konvergent | 7 | 11,11 | | konvergent | 2 | 14,29 |
| distal-links | 0 | 0,00 | | distal-links | 1 | 7,14 |
| distal-rechts | 0 | 0,00 | | distal-rechts | 1 | 7,14 |
| sonstiges | 19 | 30,16 | | sonstiges | 1 | 7,14 |
| Gesamt | 63 | 100,00 | | Gesamt | 14 | 100,00 |

Tab. 12.3.9. Kostenki 12, Schicht III. Umriss aller modifizierten Abschlage & Klingen.

| Kostenki 12, Fundschicht III: formale Geräte | FORMALE GERÄTE | | | MODIFIKATIONSMODUS | | | GEBRAUCHSSPUREN | |
|---|---|------|--------|--------------------|------------|-----------|-----------------|-----|
| | Typ | N | % | einfach | unifaziell | bifaziell | Ge2 | Ge3 |
| Funktionsende | Kratzer, einfach | 4 | 2,38 | 4 | | | | |
| | Endretusche, gerade | 5 | 2,98 | 5 | | | | |
| | Endretusche, schräg | 2 | 1,19 | 2 | | | | |
| Arbeitskante | Schaber, einfach | 40 | 23,81 | 40 | | | 2 | |
| | unifazieller Schaber, einfach | 5 | 2,98 | | 5 | | | |
| | lateral retuschierte Klinge, einfach | 7 | 4,17 | 7 | | | | |
| | lateral retuschiert, einfach | 4 | 2,38 | 4 | | | | |
| | Schaber, Doppel- | 3 | 1,79 | 3 | | | 1 | |
| | lateral retuschierte Klinge, beidseitig | 1 | 0,60 | 1 | | | | |
| | lateral retuschiert, beidseitig | 2 | 1,19 | 2 | | | | |
| | lateral retuschiert, umlaufend | 2 | 1,19 | 2 | | | | |
| | gezählter Abschlag | 2 | 1,19 | 2 | | | | |
| | lateral retuschiert, gekerbtes Stück | 1 | 0,60 | 1 | | | | |
| | bifazieller Schaber, einfach | 6 | 3,57 | | | | 6 | |
| | unifazieller Schaber, Doppel- | 1 | 0,60 | | 1 | | | |
| | bifazieller Schaber, Doppel- | 2 | 1,19 | | | | 2 | |
| | Schaber, Breit- | 4 | 2,38 | 4 | | | | |
| | Schaber, Winkel- | 2 | 1,19 | 2 | | | | |
| | unifazieller Schaber, Winkel- | 1 | 0,60 | | | 1 | | |
| | bifazieller Schaber, Winkel- | 1 | 0,60 | | | | 1 | |
| | bifazieller Schaber, Wechsel- | 1 | 0,60 | | | | 1 | |
| | unifazieller Schaber, Spitz- | 2 | 1,19 | | | 2 | | |
| | unifazielle Spitze, einfach | 5 | 2,98 | | | 5 | | |
| | bifazielle Spitze, einfach | 13 | 7,74 | | | | 13 | |
| | Spitze, einfach (Klinge) | 2 | 1,19 | | | 2 | | |
| | bifazielle Spitze, einfach (Klinge) | 1 | 0,60 | | 2 | | 1 | |
| | bifazielle Spitze, Doppel- | 2 | 1,19 | | | | 2 | |
| | bifazielle Spitze, Blattspitze | 14 | 8,33 | | | | 14 | |
| | Biface | 6 | 3,57 | | | | 6 | |
| Keilmesser, Klausennische | 1 | 0,60 | | | | 1 | | |
| Restbiface | 1 | 0,60 | | | | 1 | | |
| Stichel | Stichel, Kiel- | 1 | 0,60 | 1 | | | | |
| sonstiges | ausgesplittertes Stück | 2 | 1,19 | 1 | | | | |
| | GMS, Ge2 | 3 | 1,79 | | | | | |
| | GMS, Ge3 | 2 | 1,19 | | | | | |
| Funktionsende / Arbeitskante | Kratzer, einfach; lateral retuschiert, einfach | 3 | 1,79 | 3 | | | 1 | |
| | Kratzer, einfach; lateral retuschiert, beidseitig | 3 | 1,79 | 2 | 1 | | | |
| | Kratzer, einfach; lateral retuschiert, umlaufend | 4 | 2,38 | 4 | | | | |
| | Kratzer, einfach; Schaber, einfach | 1 | 0,60 | | 1 | | | |
| | Kratzer, einfach; Schaber, Doppel- | 1 | 0,60 | 1 | | | | |
| | Endretusche, gerade; Schaber, einfach | 1 | 0,60 | 1 | | | | |
| | Endretusche, gerade; Schaber, Doppel- | 1 | 0,60 | | 1 | | | |
| Endretusche, schräg; Schaber, einfach | 1 | 0,60 | 1 | | | | | |
| Arbeitskante | Schaber, Doppel-; Schaber, Spitz- | 1 | 0,60 | 1 | | | | |
| sonstiges | ausgesplittertes Stück; Schaber, einfach | 1 | 0,60 | 1 | | | | |
| | Gesamt | 168 | 100,00 | 97 | 19 | 48 | 4 | |

Tab. 12.3.10. Kostenki 12, Schicht III. Formale Geräte, darin enthalten sind 2 Geräte mit Kernfunktion.

| Kostenki 12, Level III - modifizierte Grundformen | Grundform | N | % | N | % |
|---|--------------------------------------|-----|--------|-----|-------|
| Abschlag | Abschlag, einfach | 55 | 32,74 | 64 | 38,10 |
| | Abschlag, Breit- | 5 | 2,98 | | |
| | Präparationsabschlag, Kernkante | 1 | 0,60 | | |
| | Präparationsabschlag, Kernkantenrest | 1 | 0,60 | | |
| | Präparationsabschlag, Kortexkante | 1 | 0,60 | | |
| | Abschlag, Nachschärfung | 1 | 0,60 | | |
| Klinge | Klinge, einfach | 12 | 7,14 | 14 | 8,33 |
| | Klinge, Kortexkante | 2 | 1,19 | | |
| Lamelle / Microblade | Lamelle, einfach* | 1 | 0,60 | 1 | 0,60 |
| Sonstiges | Trümmer, Schlag | 20 | 11,90 | 89 | 52,98 |
| | Trümmer, Frost | 5 | 2,98 | | |
| | Trümmer, Hitze | 2 | 1,19 | | |
| | Preform, bifaziell | 17 | 10,12 | | |
| | nicht erkennbar | 31 | 18,45 | | |
| | Rohstück/Kern | 14 | 8,33 | | |
| Gesamt | | 168 | 100,00 | 168 | 100 |

* Lamelle weist lediglich Ge2-Retusche auf - keine intentionelle Modifikation!

Tab. 12.3.11. Kostenki 12, Schicht III. Modifizierte Grundformen.

| Kostenki 12/III: Querschnitt uni- & bifazieller Geräte | N | |
|--|----|--------|
| | | % |
| plan-konvex | 27 | 40,91 |
| bi-konvex | 22 | 33,33 |
| plankonvex-plankonvex | 4 | 6,06 |
| keine Angabe | 13 | 19,70 |
| Gesamt | 66 | 100,00 |

Tab. 12.3.12. Kostenki 12, Schicht III. Querschnitte uni- & bifazieller Geräte.

| Kostenki 12/III: Querschnitt uni- & bifazieller Geräte | bifazielle Geräte | N | | % | | | |
|--|---|----|--------|----|-------|----|-----|
| | | N | % | N | % | | |
| plan-konvex | lateral retuschiert, einfach | 2 | 3,03 | 27 | 40,91 | | |
| plan-konvex | Schaber, einfach | 2 | 3,03 | | | | |
| plan-konvex | Schaber, Winkel- | 2 | 3,03 | | | | |
| plan-konvex | Schaber, Spitz- | 2 | 3,03 | | | | |
| plan-konvex | Spitze, einfach | 9 | 13,64 | | | | |
| plan-konvex | Spitze, Blattspitze | 5 | 7,58 | | | | |
| plan-konvex | Biface | 3 | 4,55 | | | | |
| plan-konvex | Kratzer, einfach; lateral retuschiert, beidseitig | 1 | 1,52 | | | | |
| plan-konvex | Endretusche, gerade; Doppelschaber | 1 | 1,52 | | | | |
| bikonvex | Schaber, einfach | 3 | 4,55 | 21 | 31,82 | | |
| bikonvex | Schaber, Doppel- | 1 | 1,52 | | | | |
| bikonvex | Spitze, einfach | 6 | 9,09 | | | | |
| bikonvex | Spitze, Blattspitze | 7 | 10,61 | | | | |
| bikonvex | Restbiface | 1 | 1,52 | | | | |
| bikonvex | Biface | 2 | 3,03 | | | | |
| bikonvex | initialisierte Preform | 1 | 1,52 | | | | |
| plankonvex-plankonvex | Schaber, Wechsel- | 1 | 1,52 | 4 | 6,06 | | |
| plankonvex-plankonvex | Spitze, Doppel- | 2 | 3,03 | | | | |
| plankonvex-plankonvex | blattförmiger Schaber, Wechsel- | 1 | 1,52 | | | | |
| ? | lateral retuschiert, einfach | 1 | 1,52 | 14 | 21,21 | | |
| ? | Schaber, einfach | 3 | 4,55 | | | | |
| ? | Schaber, Doppel | 2 | 3,03 | | | | |
| ? | Spitze, einfach | 4 | 6,06 | | | | |
| ? | Spitze, Blattspitze | 1 | 1,52 | | | | |
| ? | Keilmesser, Klausennische | 1 | 1,52 | | | | |
| ? | Biface | 1 | 1,52 | | | | |
| ? | Kratzer, einfach; Schaber, einfach | 1 | 1,52 | | | | |
| | Gesamt | 66 | 100,00 | | | 66 | 100 |

Tab. 12.3.13. Kostenki 12, Schicht III. Querschnitte uni- & bifaziell formüberarbeiteter Geräte nach Gerätetypen unterteilt.

| Kostenki 12/III: Umriss uni- & bifazieller Geräte | N | % |
|--|----------|----------|
| bikonvex | 12 | 18,18 |
| irregulär | 7 | 10,61 |
| konvergent | 29 | 43,94 |
| sonstiges | 17 | 25,76 |
| keine Angabe | 1 | 1,52 |
| Gesamt | 66 | 100,00 |

Tab. 12.3.14. Kostenki 12, Schicht III. Umrisse uni- & bifaziell formüberarbeiteter Geräte.

| Kostenki 12/III: Kortex - Formüberarbeitete Werkzeuge | N | % |
|--|----------|----------|
| 0% | 27 | 40,91 |
| <25% | 16 | 24,24 |
| <50% | 11 | 16,67 |
| <75% | 11 | 16,67 |
| <100% | 1 | 1,52 |
| 100% | 0 | 0,00 |
| Gesamt | 66 | 100,00 |

Tab. 12.3.15. Kostenki 12, Schicht III. Kortexbedeckung uni- & bifaziell formüberarbeiteter Geräte.

| Kostenki 12/III: Kortex - Formüberarbeitete plankonvexe Werkzeuge | N | % | Kostenki 12/III: Kortex - Formüberarbeitete bikonvexe Werkzeuge | N | % | Kostenki 12/III: Kortex - Formüberarbeitete plankonvex- plankonvexe Werkzeuge | N | % |
|---|----|--------|---|----|--------|--|---|-----|
| 0% | 12 | 44,44 | 0% | 9 | 42,86 | 0% | 0 | 0 |
| <25% | 5 | 18,52 | <25% | 6 | 28,57 | <25% | 2 | 50 |
| <50% | 6 | 22,22 | <50% | 4 | 19,05 | <50% | 1 | 25 |
| <75% | 3 | 11,11 | <75% | 2 | 9,52 | <75% | 1 | 25 |
| <100% | 1 | 3,70 | <100% | 0 | 0,00 | <100% | 0 | 0 |
| 100% | 0 | 0,00 | 100% | 0 | 0,00 | 100% | 0 | 0 |
| Gesamt | 27 | 100,00 | Gesamt | 21 | 100,00 | Gesamt | 4 | 100 |

Tab. 12.3.16. Kostenki 12, Schicht III. Kortexbedeckung uni- & bifazieller Werkzeuge mit unterschiedlichen Querschnitten.

| Kostenki 12/III: Kortex - Formüberarbeitete plankonvexe Blattspitzen | N | % | Kostenki 12/III: Kortex - Formüberarbeitete bikonvexe Blattspitzen | N | % | Kostenki 12/III: Kortex - Formüberarbeitete plankonvex- plankonvexe Blattspitzen | N | % |
|--|---|--------|--|---|--------|---|---|--------|
| 0% | 1 | 20,00 | 0% | 5 | 71,43 | 0% | 0 | 0,00 |
| <25% | 0 | 0,00 | <25% | 1 | 14,29 | <25% | 1 | 100,00 |
| <50% | 2 | 40,00 | <50% | 1 | 14,29 | <50% | 0 | 0,00 |
| <75% | 1 | 20,00 | <75% | 0 | 0,00 | <75% | 0 | 0,00 |
| <100% | 1 | 20,00 | <100% | 0 | 0,00 | <100% | 0 | 0,00 |
| 100% | 0 | 0,00 | 100% | 0 | 0,00 | 100% | 0 | 0,00 |
| Gesamt | 5 | 100,00 | Gesamt | 7 | 100,00 | Gesamt | 1 | 100,00 |

Tab. 12.3.17. Kostenki 12, Schicht III. Kortexbedeckung von Blattspitzen mit unterschiedlichen Querschnitten.

| Kostenki 12, Fundschicht III: Mittelpaläolithische Formen | | |
|--|-----|--------|
| Typ | N | % |
| unifazieller Schaber, einfach | 5 | 2,98 |
| bifazieller Schaber, einfach | 6 | 3,57 |
| unifazieller Schaber, Doppel- | 1 | 0,60 |
| bifazieller Schaber, Doppel- | 2 | 1,19 |
| Schaber, Breit- | 4 | 2,38 |
| Schaber, Winkel- | 2 | 1,19 |
| unifazieller Schaber, Winkel- | 1 | 0,60 |
| bifazieller Schaber, Winkel- | 1 | 0,60 |
| bifazieller Schaber, Wechsel- | 1 | 0,60 |
| unifazieller Schaber, Spitz- | 2 | 1,19 |
| unifazielle Spitze, einfach | 5 | 2,98 |
| bifazielle Spitze, einfach | 13 | 7,74 |
| bifazielle Spitze, Doppel- | 2 | 1,19 |
| Biface | 6 | 3,57 |
| Keilmesser, Klausennische | 1 | 0,60 |
| Restbiface | 1 | 0,60 |
| Schaber, Doppel-; Schaber, Spitz- | 1 | 0,60 |
| Anteil am Gesamtinventar | 54 | 32,14 |
| Gesamt | 168 | 100,00 |

Tab. 12.3.18. Kostenki 12, Schicht III. Mittelpaläolithische Gerätetypen.

| Kostenki 12, Fundschicht III: Formen des Aurignacien | | |
|---|-----|--------|
| Typ | N | % |
| "Stichel, Kiel-" | 1 | 0,60 |
| Anteil am Gesamtinventar | 1 | 0,60 |
| Gesamt | 168 | 100,00 |

Tab. 12.3.20. Kostenki 12, Schicht III. Kielstichel-ähnliches Geräte.

| Kostenki 12, Fundschicht III: Blattspitzen | | |
|---|-----|--------|
| Typ | N | % |
| unifazielle Spitze, Blattspitze | 0 | 0,00 |
| bifazielle Spitze, Blattspitze | 13 | 7,74 |
| Schaber, Wechsel-; Spitze, Blattspitze | 1 | 0,60 |
| Anteil am Gesamtinventar | 14 | 8,33 |
| Gesamt | 168 | 100,00 |

Tab. 12.3.21. Kostenki 12, Schicht III. Blattspitzen. **Tab. 12.3.19.** Kostenki 12, Schicht III. „Jungpaläolithische“ Gerätetypen.

| Kostenki 12, Fundschicht III: Mittelpaläolithische Formen mit Affinität zum Micoquien | | |
|--|-----|--------|
| Typ | N | % |
| unifazieller Schaber, einfach | 5 | 2,98 |
| bifazieller Schaber, einfach | 6 | 3,57 |
| unifazieller Schaber, Doppel- | 1 | 0,60 |
| bifazieller Schaber, Doppel- | 2 | 1,19 |
| unifazieller Schaber, Winkel- | 1 | 0,60 |
| bifazieller Schaber, Winkel- | 1 | 0,60 |
| bifazieller Schaber, Wechsel- | 1 | 0,60 |
| unifazieller Schaber, Spitz- | 2 | 1,19 |
| unifazielle Spitze, einfach | 5 | 2,98 |
| bifazielle Spitze, einfach | 13 | 7,74 |
| bifazielle Spitze, Doppel- | 2 | 1,19 |
| Biface | 6 | 3,57 |
| Keilmesser, Klausennische | 1 | 0,60 |
| Restbiface | 1 | 0,60 |
| Anteil am Gesamtinventar | 47 | 27,98 |
| Gesamt | 168 | 100,00 |

Tab. 12.3.22. Kostenki 12, Schicht III. Gerätetypen, die eine Affinität zum Eastern Micoquian aufweisen.

| Kostenki 12/III: Schlagflächenreste (Grundformen) | N | % |
|--|----------|----------|
| ohne | 70 | 41,92 |
| facettiert | 13 | 7,78 |
| glatt | 23 | 13,77 |
| Kortex | 12 | 7,19 |
| Kluft | 2 | 1,20 |
| gesplittert | 6 | 3,59 |
| punktförmig | 1 | 0,60 |
| dièdre | 3 | 1,80 |
| gratförmig | 8 | 4,79 |
| Bruch | 5 | 2,99 |
| sonstiges | 24 | 14,37 |
| Gesamt | 167 | 100,00 |

Tab. 12.3.23. Kostenki 12, Schicht III. Schlagflächenreste aller Grundformen (Abschläge, Klinge und lamellare Stücke).

| Kostenki 12/III: Schlaglippen (Grundformen) | N | % |
|--|----------|----------|
| mit Lippe | 48 | 28,74 |
| ohne Lippe | 42 | 25,15 |
| sonstiges | 77 | 46,11 |
| Gesamt | 167 | 100,00 |

Tab. 12.3.24. Kostenki 12, Schicht III. Schlaglippen aller Grundformen (Abschläge, Klinge und lamellare Stücke).

| Kostenki 12/III: Bulbus (Grundformen) | N | % |
|--|----------|----------|
| mit Bulbus | 75 | 44,91 |
| ohne Bulbus | 15 | 8,98 |
| Bulbus ausgesplittert | 4 | 2,40 |
| sonstiges | 73 | 43,71 |
| Gesamt | 167 | 100,00 |

Tab. 12.3.25. Kostenki 12, Schicht III. Bulben aller Grundformen (Abschläge, Klinge und lamellare Stücke).

| Kostenki 12/III: Profil (Grundformen) | N | % |
|--|----------|----------|
| gerade | 74 | 44,31 |
| gebogen | 50 | 29,94 |
| tordiert | 5 | 2,99 |
| sonstiges | 38 | 22,75 |
| Gesamt | 167 | 100,00 |

Tab. 12.3.26. Kostenki 12, Schicht III. Profile aller Grundformen (Abschläge, Klinge und lamellare Stücke).

| Kostenki 12/III: Schlagflächenreste (Abschläge) | N | % |
|--|----------|----------|
| ohne | 31 | 29,81 |
| facettiert | 11 | 10,58 |
| glatt | 20 | 19,23 |
| Kortex | 9 | 8,65 |
| Kluft | 2 | 1,92 |
| gesplittert | 5 | 4,81 |
| punktförmig | 0 | 0,00 |
| dièdre | 3 | 2,88 |
| gratförmig | 7 | 6,73 |
| Bruch | 2 | 1,92 |
| sonstiges | 14 | 13,46 |
| Gesamt | 104 | 100,00 |

Tab. 12.3.27. Kostenki 12, Schicht III. Schlagflächenreste aller Abschläge.

| Kostenki 12/III: Schlaglippen (Abschläge) | N | % |
|--|----------|----------|
| mit Lippe | 37 | 35,58 |
| ohne Lippe | 33 | 31,73 |
| sonstiges | 34 | 32,69 |
| Gesamt | 104 | 100,00 |

Tab. 12.3.28. Kostenki 12, Schicht III. Schlaglippen aller Abschläge.

| Kostenki 12/III: Bulbus (Abschläge) | N | % |
|--|----------|----------|
| mit Bulbus | 59 | 56,73 |
| ohne Bulbus | 9 | 8,65 |
| Bulbus ausgesplittert | 4 | 3,85 |
| sonstiges | 32 | 30,77 |
| Gesamt | 104 | 100,00 |

Tab. 12.3.29. Kostenki 12, Schicht III. Bulben aller Abschläge.

| Kostenki 12/III: Profil (Abschläge) | N | % |
|--|----------|----------|
| gerade | 46 | 44,23 |
| gebogen | 34 | 32,69 |
| tordiert | 3 | 2,88 |
| sonstiges | 21 | 20,19 |
| Gesamt | 104 | 100,00 |

Tab. 12.3.30. Kostenki 12, Schicht III. Profile aller Abschläge.

| Kostenki 12/III: Schlagflächenreste (Klingen) | N | % |
|--|----------|----------|
| ohne | 17 | 56,67 |
| facettiert | 1 | 3,33 |
| glatt | 3 | 10,00 |
| Kortex | 2 | 6,67 |
| Kluft | 0 | 0,00 |
| gesplittert | 1 | 3,33 |
| punktförmig | 0 | 0,00 |
| dièdre | 0 | 0,00 |
| gratförmig | 1 | 3,33 |
| Bruch | 2 | 6,67 |
| sonstiges | 3 | 10,00 |
| Gesamt | 30 | 100,00 |

Tab. 12.3.31. Kostenki 12, Schicht III. Schlagflächenreste aller Klingen.

| Kostenki 12/III: Schlaglippen (Klingen) | N | % |
|--|----------|----------|
| mit Lippe | 9 | 30,00 |
| ohne Lippe | 4 | 13,33 |
| sonstiges | 17 | 56,67 |
| Gesamt | 30 | 100,00 |

Tab. 12.3.32. Kostenki 12, Schicht III. Schlaglippen aller Klingen.

| Kostenki 12/III: Bulbus (Klingen) | N | % |
|--|----------|----------|
| mit Bulbus | 10 | 33,33 |
| ohne Bulbus | 4 | 13,33 |
| Bulbus ausgesplittert | 0 | 0,00 |
| sonstiges | 16 | 53,33 |
| Gesamt | 30 | 100,00 |

Tab. 12.3.33. Kostenki 12, Schicht III. Bulben aller Klingen.

| Kostenki 12/III: Profil (Klingen) | N | % |
|--|----------|----------|
| gerade | 15 | 50,00 |
| gebogen | 10 | 33,33 |
| tordiert | 1 | 3,33 |
| sonstiges | 4 | 13,33 |
| Gesamt | 30 | 100,00 |

Tab. 12.3.34. Kostenki 12, Schicht III. Profile aller Klingen.

| Kostenki 12/III: Schlagflächenreste (Lamellen & Microblades) | N | % |
|---|----------|----------|
| ohne | 4 | 80,00 |
| facettiert | 0 | 0,00 |
| glatt | 0 | 0,00 |
| Kortex | 0 | 0,00 |
| Kluft | 0 | 0,00 |
| gesplittert | 0 | 0,00 |
| punktförmig | 1 | 20,00 |
| dièdre | 0 | 0,00 |
| gratförmig | 0 | 0,00 |
| Bruch | 0 | 0,00 |
| sonstiges | 0 | 0,00 |
| Gesamt | 5 | 100,00 |

Tab. 12.3.35. Kostenki 12, Schicht III. Schlagflächenreste aller lamellaren Grundformen.

| Kostenki 12/III: Bulbus (Lamellen & Microblades) | N | % |
|---|----------|----------|
| mit Bulbus | 2 | 40,00 |
| ohne Bulbus | 0 | 0,00 |
| Bulbus ausgesplittert | 0 | 0,00 |
| sonstiges | 3 | 60,00 |
| Gesamt | 5 | 100,00 |

Tab. 12.3.36. Kostenki 12, Schicht III. Bulben aller lamellaren Grundformen.

| Kostenki 12/III: Schlaglippen (Lamellen & Microblades) | N | % |
|---|----------|----------|
| mit Lippe | 0 | 0,00 |
| ohne Lippe | 1 | 20,00 |
| sonstiges | 4 | 80,00 |
| Gesamt | 5 | 100,00 |

Tab. 12.3.37. Kostenki 12, Schicht III. Schlaglippen aller lamellaren Grundformen:

| Kostenki 12/III: Profil (Lamellen & Microblades) | N | % |
|---|----------|----------|
| gerade | 3 | 60,00 |
| gebogen | 1 | 20,00 |
| tordiert | 1 | 20,00 |
| sonstiges | 0 | 0,00 |
| Gesamt | 5 | 100,00 |

Tab. 12.3.38. Kostenki 12, Schicht III. Profile aller lamellaren Grundformen.

| Kostenki 14, Level IVb: Rohstücke & Stücke mit möglicher Kernfunktion | Kern-Typ | N | % | N | % |
|---|--------------------------------|-----|--------|-----|-------|
| Rohstück | Rohstück* | 39 | 23.35 | 39 | 23.35 |
| Abschlagkern | Abschlagkern, einfach | 7 | 4.19 | 44 | 26.35 |
| | Abschlagkern, diskoid | 3 | 1.80 | | |
| | Abschlagkern, indifferent | 14 | 8.38 | | |
| | Abschlagkern, 2 Abbauf Flächen | 2 | 1.20 | | |
| | Abschlagkern, mehrfach | 18 | 10.78 | | |
| Klingenkern | Klingenkern, einfach | 12 | 7.19 | 20 | 11.98 |
| | Klingenkern, mehrfach | 4 | 2.40 | | |
| | Klingenkern, bipolar | 4 | 2.40 | | |
| Lamellenkern | Lamellenkern, einfach | 25 | 14.97 | 40 | 23.95 |
| | Lamellenkern, mehrfach | 10 | 5.99 | | |
| | Lamellenkern, bipolar | 5 | 2.99 | | |
| Sonstiges | Kerntrümmer, Schlag | 16 | 9.58 | 24 | 14.37 |
| | Kerntrümmer, Frost | 4 | 2.40 | | |
| | nicht erkennbar | 4 | 2.40 | | |
| Gesamt | | 167 | 100.00 | 167 | 100 |

Tab. 23.2.1. Kostenki 14, Schicht IVb1-2. Artefakte mit Kernfunktion & Rohstücke.

| Kostenki 14, Schicht IVb1-2: Geräte mit Kernfunktion | N | % | Kerntyp | N |
|---|----|--------|------------------------|----|
| Kratzer, Hoch-/ Kiel- | 2 | 11.76 | Lamellenkern, einfach | 2 |
| Kratzer, Schulter | 1 | 5.88 | Lamellenkern, einfach | 1 |
| Kratzer, Nasen- | 1 | 5.88 | Lamellenkern, mehrfach | 1 |
| Stichel, Kiel- | 1 | 5.88 | Lamellenkern, bipolar | 1 |
| Stichel, Bogen- | 3 | 17.65 | Lamellenkern, einfach | 3 |
| Stichel, Mehrschlag- (dihedral) | 1 | 5.88 | Lamellenkern, mehrfach | 1 |
| Stichel, an Bruchfläche | 1 | 5.88 | Lamellenkern, bipolar | 1 |
| Kratzer, Nasen-; lateral retuschiert, einfach | 1 | 5.88 | Lamellenkern, einfach | 1 |
| Kratzer, Nasen-; Stichel, Kiel-/einfach | 1 | 5.88 | Lamellenkern, mehrfach | 1 |
| Stichel, einfach/Stichel, Bogen- | 1 | 5.88 | Lamellenkern, mehrfach | 1 |
| Stichel, einfach/Stichel, an Bruchfläche | 1 | 5.88 | Lamellenkern, mehrfach | 1 |
| Stichel, Kiel-/Stichel, Bogen- | 2 | 11.76 | Lamellenkern, einfach | 1 |
| | | | Lamellenkern, bipolar | 1 |
| Stichel, Mehrschlag- (dihedral)/Stichel, an Bruchfläche | 1 | 5.88 | Lamellenkern, mehrfach | 1 |
| Gesamt | 17 | 100.00 | Gesamt | 17 |

Tab. 13.2.2. Kostenki 14, Schicht IVb1-2. Geräte mit Kernfunktion .

| Kostenki 14, Level IVb - Grundformen (inklusive formaler Geräte & Kernen) | Grundform | N | % | N | % |
|---|--------------------------------------|------|--------|------|-------|
| Abschlag | Abschlag, einfach | 296 | 23.85 | 392 | 31.59 |
| | Abschlag, Breit- | 26 | 2.10 | | |
| | Präparationsabschlag, Kernkante | 5 | 0.40 | | |
| | Präparationsabschlag, Kernkantenrest | 22 | 1.77 | | |
| | Präparationsabschlag, Kortexkante | 14 | 1.13 | | |
| | Abschlag, Pseudo-Levallois- | 2 | 0.16 | | |
| | Abschlag, Levalloisspitze | 1 | 0.08 | | |
| | Abschlag, Formüberarbeitung | 1 | 0.08 | | |
| | Abschlag, Nachschärfung | 1 | 0.08 | | |
| Abspliss, einfach | 24 | 1.93 | | | |
| Klinge | Klinge, einfach | 168 | 13.54 | 256 | 20.63 |
| | Klinge, Kernkante | 30 | 2.42 | | |
| | Klinge, Kernkantenrest | 22 | 1.77 | | |
| | Klinge, Kortexkante | 36 | 2.90 | | |
| Lamelle / Microblade | Lamelle, einfach | 92 | 7.41 | 282 | 22.72 |
| | Lamelle, Kernkante | 13 | 1.05 | | |
| | Lamelle, Kortexkante | 22 | 1.77 | | |
| | Microblade | 83 | 6.69 | | |
| | Lamelle, Stichel | 72 | 5.80 | | |
| Sonstiges | Trümmer, Schlag | 68 | 5.48 | 311 | 25.06 |
| | Trümmer, Frost | 14 | 1.13 | | |
| | Trümmer, Hitze | 23 | 1.85 | | |
| | Preform, bifaziell | 21 | 1.69 | | |
| | nicht erkennbar | 89 | 7.17 | | |
| | Kernscheibe | 7 | 0.56 | | |
| | keine Angabe | 2 | 0.16 | | |
| | keine Angabe / Kern | 87 | 7.01 | | |
| Gesamt | | 1241 | 100.00 | 1241 | 100 |

Tab. 13.2.3. Kostenki 14, Schicht IVb1-2. Grundformen, darin enthalten: Kerne & formale Geräte .

| Kostenki 14, Schicht IVb1-2: Dorsale Gratmuster - Klingen | N | % |
|---|-----|--------|
| unipolar | 149 | 58,20 |
| bipolar | 6 | 2,34 |
| gekreuzt | 66 | 25,78 |
| radial | 4 | 1,56 |
| sonstiges | 31 | 12,11 |
| Gesamt | 256 | 100,00 |

Tab. 13.2.4. Kostenki 14, Schicht IVb1-2. Dorsale Gratmuster aller untersuchten Klingen.

| Kostenki 14, Level 4b: dorsales Gratmuster - Grundformen (inklusive Trümmer & Kerne) | N | % |
|---|----------|----------|
| unipolar | 528 | 42,55 |
| bipolar | 35 | 2,82 |
| gekreuzt | 266 | 21,43 |
| radial | 88 | 7,09 |
| sonstiges | 324 | 26,11 |
| Gesamt | 1241 | 100,00 |

Tab. 13.2.5. Kostenki 14, Schicht IVb1-2. Dorsale Gratmuster aller untersuchten Artefakte.

| Kostenki 14, Schicht IVb1-2: Grundform-Umriss - Klingen | N | % |
|--|----------|----------|
| parallel | 92 | 35,94 |
| bikonvex | 40 | 15,63 |
| irregulär | 42 | 16,41 |
| konvergent | 18 | 7,03 |
| distal-links | 12 | 4,69 |
| distal-rechts | 9 | 3,52 |
| sonstiges | 43 | 16,80 |
| Gesamt | 256 | 100,00 |

Tab. 13.2.6. Kostenki 14, Schicht IVb1-2. Grundform-Umriss der Klingen.

| Kostenki 14, Level IVb - formale Geräte (inklusive Kernen) | Gerätetyp | N | % | Ge2 | Ge3 |
|--|--|------|--------|-----|-----|
| Funktionsende | Kratzer, einfach | 30 | 19,11 | 1 | |
| | Kratzer, Hoch-/ Kiel- | 3 | 1,91 | | |
| | Kratzer, Nasen- | 1 | 0,64 | | |
| | Endretusche, gerade | 2 | 1,27 | | |
| | Endretusche, schräg | 2 | 1,27 | | |
| Stichel | Stichel, einfach | 7 | 4,46 | | |
| | Stichel, Kiel- | 5 | 3,18 | 1 | |
| | Stichel, Bogen- | 3 | 1,91 | | |
| | Stichel, Vachon- | 1 | 0,64 | | |
| | Stichel, Mehrschlag- (dihedral) | 9 | 5,73 | | |
| | Stichel, an Endretusche | 3 | 1,91 | | |
| | Stichel, an Bruchfläche | 4 | 2,55 | 1 | |
| Arbeitskante | lateral retuschierte Klinge, einfach | 5 | 3,18 | 1 | |
| | lateral retuschiert, einfach | 4 | 2,55 | 2 | |
| | retuschierte Klinge, beidseitig | 1 | 0,64 | | |
| | gezählter Abschlag | 2 | 1,27 | | |
| | gezähnte Klinge | 1 | 0,64 | | |
| | Stichel, einfach; lateral retuschiert, umlaufend; Spitze, Spitzkling | 1 | 0,64 | | |
| | Mikrolith: lateral retuschierte Lamelle, einfach | 2 | 1,27 | | 1 |
| | Mikrolith: lateral retuschierte Stichel lamelle, einfach | 9 | 5,73 | | |
| | Mikrolith: alternierend (Dufour-Lamelle) | 1 | 0,64 | | 1 |
| | Mikrolith: Dufour-Microblade | 1 | 0,64 | | |
| | Mikrolith: Pseudo-Dufour-Lamelle | 1 | 0,64 | | |
| | Mikrolith: Pseudo-Dufour-Microblade | 2 | 1,27 | | |
| | Schaber, einfach | 7 | 4,46 | 1 | |
| | bifazieller Schaber, einfach | 8 | 5,10 | | |
| | Schaber, Doppel- | 1 | 0,64 | | |
| | umlaufend retuschierter Schaber, unifaziell | 1 | 0,64 | | |
| | Schaber, Breit- | 1 | 0,64 | | |
| | Schaber, Wechsel- | 1 | 0,64 | | |
| | Halbkeil, unifaziell | 1 | 0,64 | | |
| | Keilmesser, Klausennische | 1 | 0,64 | | |
| Blattspitze, bifaziell | 1 | 0,64 | | | |
| Sonstiges | Ge2 | 12 | 7,64 | | |
| | Ge3 | 7 | 4,46 | | |
| Funktionsende / Arbeitskante | Kratzer, einfach; lateral retuschiert, einfach | 2 | 1,27 | | |
| | Kratzer, einfach; lateral retuschiert, beidseitig | 1 | 0,64 | | |
| | Kratzer, einfach; lateral retuschiert, umlaufend | 1 | 0,64 | | |
| | Kratzer, Nasen-; lateral retuschiert, einfach | 1 | 0,64 | | |
| | Endretusche, schräg; lateral retuschiert, einfach | 1 | 0,64 | 1 | |
| Arbeitskante | lateral retuschiert, einfach; ausgesplittertes Stück | 1 | 0,64 | | |
| | lateral retuschiert, umlaufend; lateral retuschiert, gezähltes Stü | 1 | 0,64 | | |
| | lateral retuschiert, umlaufend; Spitze, Spitz-Klinge | 1 | 0,64 | | |
| Funktionsende / Stichel | Kratzer, einfach; Stichel, Mehrschlag- (dihedral) | 2 | 1,27 | | |
| | Kratzer, Nasen-; Stichel, einfach; Stichel, Kiel- | 1 | 0,64 | | |
| Stichel | Stichel, einfach; Stichel, Bogen- | 1 | 0,64 | | |
| | Stichel, einfach; Stichel, an Bruchfläche | 1 | 0,64 | | |
| | Stichel, Mehrschlag- (dihedral); Stichel, an Bruchfläche | 1 | 0,64 | | |
| Stichel / Arbeitskant | Stichel, Kiel-; lateral retuschiert, einfach | 1 | 0,64 | | |
| Gesamt | | 157 | 100,00 | 8 | 2 |

Tab. 13.2.7. Kostenki 14, Schicht IVb1-2. Formale Geräte.

| Kostenki 14, Schicht IVb1-2: Modifikationsmodus | N | % | N | % |
|--|------------|---------------|------------|---------------|
| einfach | 123 | 78,34 | 123 | 89,78 |
| unifaziell | 2 | 1,27 | 2 | 1,46 |
| bifaziell | 12 | 7,64 | 12 | 8,76 |
| sonstiges | 20 | 12,74 | 0 | 0,00 |
| Gesamt | 157 | 100,00 | 137 | 100,00 |

Tab. 13.2.8. Kostenki 14, Schicht IVb1-2. Modifikationsmodus der formalen Geräte.

| Kostenki 14, Level IVb - modifizierte Grundformen (inklusive Kerne) | Grundform | N | % | N | % |
|--|--------------------------------------|------------|---------------|------------|------------|
| Abschlag | Abschlag, einfach | 27 | 17,20 | 35 | 22,29 |
| | Präparationsabschlag, Kernkantenrest | 5 | 3,18 | | |
| | Präparationsabschlag, Kortexkante | 3 | 1,91 | | |
| Klinge | Klinge, einfach | 41 | 26,11 | 50 | 31,85 |
| | Klinge, Kernkante | 1 | 0,64 | | |
| | Klinge, Kernkantenrest | 2 | 1,27 | | |
| | Klinge, Kortexkante | 6 | 3,82 | | |
| Lamelle / Microblade | Lamelle, einfach | 3 | 1,91 | 20 | 12,74 |
| | Lamelle, Kortexkante | 1 | 0,64 | | |
| | Microblade | 5 | 3,18 | | |
| | Lamelle, Stichel | 11 | 7,01 | | |
| Sonstiges | Trümmer, Schlag | 3 | 1,91 | 52 | 33,12 |
| | Trümmer, Frost | 6 | 3,82 | | |
| | Trümmer, Hitze | 2 | 1,27 | | |
| | Preform, bifaziell | 9 | 5,73 | | |
| | nicht erkennbar | 23 | 14,65 | | |
| | keine Angabe | 1 | 0,64 | | |
| | keine Angabe / Kern | 8 | 5,10 | | |
| Gesamt | | 157 | 100,00 | 157 | 100 |

Tab. 13.2.9. Kostenki 14, Schicht IVb1-2. Modifizierte Grundformen, darin enthalten: Stücke mit Kernfunktion.

| Jungpaläolithische Formen | | |
|---|-----|--------|
| Typ | N | % |
| Kratzer, einfach | 30 | 28,04 |
| Kratzer, Hoch-/ Kiel- | 3 | 2,80 |
| Kratzer, Nasen- | 1 | 0,93 |
| Endretusche, gerade | 2 | 1,87 |
| Endretusche, schräg | 2 | 1,87 |
| Stichel, einfach | 7 | 6,54 |
| Stichel, Kiel- | 5 | 4,67 |
| Stichel, Bogen- | 3 | 2,80 |
| Stichel, Vachon- | 1 | 0,93 |
| Stichel, Mehrschlag- (dihedral) | 9 | 8,41 |
| Stichel, an Endretusche | 3 | 2,80 |
| Stichel, an Bruchfläche | 4 | 3,74 |
| lateral retuschierte Klinge, einfach | 5 | 4,67 |
| retuschierte Klinge, beidseitig | 1 | 0,93 |
| gezähnte Klinge | 1 | 0,93 |
| Stichel, einfach; lateral retuschiert, umlaufend; Spitzklinge | 1 | 0,93 |
| Mikrolith: lateral retuschierte Lamelle, einfach | 2 | 1,87 |
| Mikrolith: lateral retuschierte Stichel lamelle, einfach | 9 | 8,41 |
| Mikrolith: alternierend (Dufour-Lamelle) | 1 | 0,93 |
| Mikrolith: Dufour-Microblade | 1 | 0,93 |
| Mikrolith: Pseudo-Dufour-Lamelle | 1 | 0,93 |
| Mikrolith: Pseudo-Dufour-Microblade | 2 | 1,87 |
| Kratzer, einfach; lateral retuschiert, einfach | 2 | 1,87 |
| Kratzer, einfach; lateral retuschiert, beidseitig | 1 | 0,93 |
| Kratzer, einfach; lateral retuschiert, umlaufend | 1 | 0,93 |
| Kratzer, Nasen-; lateral retuschiert, einfach | 1 | 0,93 |
| Endretusche, schräg; lateral retuschiert, einfach | 1 | 0,93 |
| Kratzer, einfach; Stichel, Mehrschlag- (dihedral) | 2 | 1,87 |
| Kratzer, Nasen-; Stichel, einfach; Stichel, Kiel- | 1 | 0,93 |
| Stichel, einfach; Stichel, Bogen- | 1 | 0,93 |
| Stichel, einfach; Stichel, an Bruchfläche | 1 | 0,93 |
| Stichel, Mehrschlag- (dihedral); Stichel, an Bruchfläche | 1 | 0,93 |
| Stichel, Kiel-; lateral retuschiert, einfach | 1 | 0,93 |
| Anteil am Gesam-Inventar | 107 | 68,15 |
| Gesamt ess. | 157 | 100,00 |

Tab. 13.2.10. Kostenki 14, Schicht IVb1-2. Jungpaläolithische Gerätetypen.

| Mittelpaläolithische Formen mit Affinität zum Micoquien | | |
|--|-----|--------|
| Typ | N | % |
| einfacher Schaber, bifaziell | 8 | 5,10 |
| umlaufend retuschiertes Schaber, unifaziell | 1 | 0,64 |
| Schaber, Breit- | 1 | 0,64 |
| Schaber, Wechsel- | 1 | 0,64 |
| Halbkeil, unifaziell | 1 | 0,64 |
| Keilmesser, Klausennische | 1 | 0,64 |
| Anteil am Gesamt-Inventar | 13 | 8,28 |
| Gesamt ess. | 157 | 100,00 |

Tab. 13.2.11. Kostenki 14, Schicht IVb1-2. Mittelpaläolithische Gerätetypen mit Affinität zum Micoquien.

| Geräte mit Aurignacien-Affinität | N | % |
|---|----------|----------|
| Kratzer, Hoch-/ Kiel- | 3 | 1,91 |
| Kratzer, Nasen- | 1 | 0,64 |
| Stichel, Kiel- | 5 | 3,18 |
| Stichel, Bogen- | 3 | 1,91 |
| Stichel, Vachon- | 1 | 0,64 |
| Stichel, einfach; retuschiert, umlaufend; Spitze, Spitzklinge | 1 | 0,64 |
| Mikrolith: alternierend (Dufour-Lamelle) | 1 | 0,64 |
| Mikrolith: Dufour-Microblade | 1 | 0,64 |
| Mikrolith: Pseudo-Dufour-Lamelle | 1 | 0,64 |
| Mikrolith: Pseudo-Dufour-Microblade | 2 | 1,27 |
| Kratzer, Nasen-; lateral retuschiert, einfach | 1 | 0,64 |
| lateral retuschiert, umlaufend; Spitze, Spitz-Klinge | 1 | 0,64 |
| Kratzer, Nasen-; Stichel, einfach; Stichel, Kiel- | 1 | 0,64 |
| Stichel, einfach; Stichel, Bogen- | 1 | 0,64 |
| Stichel, Kiel-; lateral retuschiert, einfach | 1 | 0,64 |
| Anteil am Gesamt-Inventar | 24 | 15,29 |
| Gesamt | 157 | 100,00 |

Tab. 13.2.12. Kostenki 14, Schicht IVb1-2. Jungpaläolithische Gerätetypen mit Affinität zum Aurignacien.

| Blattspitzen | | |
|------------------------|-----|--------|
| Typ | N | % |
| Blattspitze, bifaziell | 1 | 0,64 |
| Gesamt | 1 | 0,64 |
| Gesamt ess. | 157 | 100,00 |

Tab. 13.2.13. Kostenki 14, Schicht IVb1-2. Blattspitzen.

| Rohmaterial, Struktur | N | % | Rohmaterial, Struktur | N | % | Rohmaterial, Struktur | N | % |
|-----------------------|----|--------|-----------------------|------|--------|-----------------------|----|--------|
| mikrokristallin | 17 | 43,59 | mikrokristallin | 453 | 40,20 | mikrokristallin | 25 | 33,78 |
| feinkristallin | 8 | 20,51 | feinkristallin | 259 | 22,98 | feinkristallin | 18 | 24,32 |
| grobkristallin | 14 | 35,90 | grobkristallin | 400 | 35,49 | grobkristallin | 29 | 39,19 |
| sonstiges | 0 | 0,00 | sonstiges | 15 | 1,33 | sonstiges | 2 | 2,70 |
| Gesamt / IVb | 39 | 100,00 | Gesamt / IVb1 | 1127 | 100,00 | Gesamt / IVb2 | 74 | 100,00 |

Tab. 13.2.14. Kostenki 14, Horizonte IVb1, IVb2 & IVb. Rohmaterialqualität.

| Rohmaterial | N | % | Rohmaterial | N | % | Rohmaterial | N | % |
|-------------------------|----|--------|-------------------------|------|--------|-------------------------|----|--------|
| Feuerstein | 23 | 58,97 | Feuerstein | 669 | 59,36 | Feuerstein | 40 | 53,33 |
| Quarz | 2 | 5,13 | Quarz | 63 | 5,59 | Quarz | 9 | 12,00 |
| Quarzit | 4 | 10,26 | Quarzit | 67 | 5,94 | Quarzit | 7 | 9,33 |
| Hornstein | 0 | 0,00 | Hornstein | 20 | 1,77 | Hornstein | 1 | 1,33 |
| Kieselschiefer | 0 | 0,00 | Kieselschiefer | 8 | 0,71 | Kieselschiefer | 0 | 0,00 |
| quarzitischer Sandstein | 3 | 7,69 | quarzitischer Sandstein | 83 | 7,36 | quarzitischer Sandstein | 4 | 5,33 |
| Radiolarit | 0 | 0,00 | Radiolarit | 5 | 0,44 | Radiolarit | 0 | 0,00 |
| Kalkstein | 7 | 17,95 | Kalkstein | 180 | 15,97 | Kalkstein | 12 | 16,00 |
| Sonstiges | 0 | 0,00 | Sonstiges | 32 | 2,84 | Sonstiges | 2 | 2,67 |
| Gesamt / IVb | 39 | 100,00 | Gesamt / IVb1 | 1127 | 100,00 | Gesamt / IVb2 | 75 | 100,00 |

Tab. 13.2.15. Kostenki 14, Horizonte IVb1, IVb2 & IVb. Rohmaterial-Varietät.

| Profil | N | % |
|----------|-----|--------|
| gerade | 568 | 60,62 |
| gebogen | 316 | 33,72 |
| tordiert | 53 | 5,66 |
| Gesamt | 937 | 100,00 |

Tab. 13.2.16. Kostenki 14, Schicht IVb1-2. Merkmal Profil. Alle Grundformen.

| Schlagfläche | N | % |
|--------------|-----|--------|
| facettiert | 36 | 5,47 |
| glatt | 365 | 55,47 |
| Kortex | 54 | 8,21 |
| Kluft | 1 | 0,15 |
| gesplittert | 27 | 4,10 |
| punktförmig | 36 | 5,47 |
| geknickt | 25 | 3,80 |
| gratförmig | 87 | 13,22 |
| Bruch | 27 | 4,10 |
| Gesamt | 658 | 100,00 |

Tab. 13.2.17. Kostenki 14, Schicht IVb1-2. Merkmal Schlagflächenrest. Alle Grundformen.

| Bulbus | N | % |
|-----------------------|----------|----------|
| mit Bulbus | 557 | 78,34 |
| ohne Bulbus | 144 | 20,25 |
| Bulbus ausgesplittert | 10 | 1,41 |
| Gesamt | 711 | 100,00 |

Tab. 13.2.18. Kostenki 14, Schicht IVb1-2. Merkmal Bulbus. Alle Grundformen.

| Lippe | N | % |
|--------------|----------|----------|
| mit Lippe | 291 | 40,87 |
| ohne Lippe | 421 | 59,13 |
| Gesamt | 712 | 100,00 |

Tab. 13.2.19. Kostenki 14, Schicht IVb1-2. Merkmal Schlaglippe. Alle Grundformen.

| Profilausprägung Abschlüge & Absplisse | N | % |
|---|----------|----------|
| gerade | 205 | 51,64 |
| gebogen | 149 | 37,53 |
| tordiert, axial | 3 | 0,76 |
| sonstiges | 40 | 10,08 |
| Gesamt | 397 | 100,00 |

Tab. 13.2.20. Kostenki 14, Schicht IVb1-2. Merkmal Profil. Alle Abschlüge > 1 cm.

| Profil - Klingen | N | % |
|-------------------------|----------|----------|
| gerade | 142 | 55,47 |
| gebogen | 84 | 32,81 |
| tordiert | 15 | 5,86 |
| sonstiges | 15 | 5,86 |
| Gesamt | 256 | 100,00 |

Tab. 13.2.21. Kostenki 14, Schicht IVb1-2. Merkmal Profil. Alle Klingen.

| Profil - Lamellen, Microblades & Stichellamellen | N | % |
|---|----------|----------|
| gerade | 171 | 60,64 |
| gebogen | 2 | 0,71 |
| stark gebogen | 19 | 6,74 |
| schwach gebogen | 41 | 14,54 |
| gebogen, leicht tordiert | 4 | 1,42 |
| tordiert | 2 | 0,71 |
| tordiert, distal links | 6 | 2,13 |
| tordiert, distal rechts | 15 | 5,32 |
| tordiert, axial | 11 | 3,90 |
| sonstiges | 11 | 3,90 |
| Gesamt | 282 | 100,00 |

Tab. 13.2.22. Kostenki 14, Schicht IVb1-2. Merkmal Profil. Alle lamellaren Grundformen.

| Schlagflächenrest - Abschlüge & Absplisse | N | % |
|--|----------|----------|
| ohne | 56 | 14,29 |
| facettiert | 16 | 4,08 |
| glatt | 176 | 44,90 |
| Kortex | 42 | 10,71 |
| Kluft | 1 | 0,26 |
| gesplittert | 15 | 3,83 |
| punktförmig | 4 | 1,02 |
| dièdre | 14 | 3,57 |
| gratförmig | 22 | 5,61 |
| Bruch | 14 | 3,57 |
| sonstiges | 32 | 8,16 |
| Gesamt | 392 | 100,00 |

Tab. 13.2.23. Kostenki 14, Schicht IVb1-2. Merkmal Schlagflächenrest. Alle Abschlüge > 1 cm.

| Schlagfläche - Klingen | N | % |
|-------------------------------|----------|----------|
| ohne | 108 | 42,19 |
| facettiert | 12 | 4,69 |
| glatt | 86 | 33,59 |
| Kortex | 5 | 1,95 |
| Kluft | 0 | 0,00 |
| gesplittert | 7 | 2,73 |
| punktförmig | 2 | 0,78 |
| dièdre | 7 | 2,73 |
| gratförmig | 12 | 4,69 |
| Bruch | 4 | 1,56 |
| sonstiges | 13 | 5,08 |
| Gesamt | 256 | 100,00 |

Tab. 13.2.24. Kostenki 14, Schicht IVb1-2. Merkmal Schlagflächenrest. Alle Klingen.

| Schlagfläche - Lamellen, Microblades & Stichellamellen | N | % |
|---|----------|----------|
| ohne | 80 | 28,37 |
| facettiert | 6 | 2,13 |
| glatt | 85 | 30,14 |
| Kortex | 6 | 2,13 |
| Kluft | 0 | 0,00 |
| gesplittert | 5 | 1,77 |
| punktförmig | 28 | 9,93 |
| dièdre | 3 | 1,06 |
| gratförmig | 52 | 18,44 |
| Bruch | 5 | 1,77 |
| sonstiges | 12 | 4,26 |
| Gesamt | 282 | 100,00 |

Tab. 13.2.25. Kostenki 14, Schicht IVb1-2. Merkmal Schlagflächenrest. Alle lamellaren Grundformen.

| Bulbus - Abschläge & Absplisse | N | % |
|---|----------|----------|
| mit Bulbus | 4 | 1,02 |
| Bulbus, stark ausgeprägt | 117 | 29,85 |
| Bulbus, schwach ausgeprägt | 151 | 38,52 |
| ohne Bulbus | 54 | 13,78 |
| Bulbus ausgesplittert | 5 | 1,28 |
| sonstiges | 61 | 15,56 |
| Gesamt | 392 | 100,00 |

Tab. 13.2.26. Kostenki 14, Schicht IVb1-2. Merkmal Bulbus. Alle Abschläge > 1 cm.

| Bulbus- Klingen | N | % |
|----------------------------|----------|----------|
| mit Bulbus | 1 | 0,39 |
| Bulbus, stark ausgeprägt | 19 | 7,42 |
| Bulbus, schwach ausgeprägt | 82 | 32,03 |
| ohne Bulbus | 41 | 16,02 |
| Bulbus ausgesplittert | 3 | 1,17 |
| sonstiges | 110 | 42,97 |
| Gesamt | 256 | 100,00 |

Tab. 13.2.27. Kostenki 14, Schicht IVb1-2. Merkmal Bulbus. Alle Klingen.

| Bulbus - Lamellen, Microblades & Stichellamellen | N | % |
|---|----------|----------|
| Bulbus, stark ausgeprägt | 20 | 7,12 |
| Bulbus, schwach ausgeprägt | 135 | 48,04 |
| ohne Bulbus | 39 | 13,88 |
| Bulbus ausgesplittert | 2 | 0,71 |
| sonstiges | 85 | 30,25 |
| Gesamt | 281 | 100,00 |

Tab. 13.2.28. Kostenki 14, Schicht IVb1-2. Merkmal Bulbus. Alle lamellaren Grundformen.

| Lippe - Abschläge | N | % |
|---------------------------|----------|----------|
| mit Lippe | 5 | 1,28 |
| Lippe, stark ausgeprägt | 8 | 2,04 |
| Lippe, schwach ausgeprägt | 125 | 31,89 |
| ohne Lippe | 189 | 48,21 |
| sonstiges | 63 | 16,07 |
| keine Angabe | 2 | 0,51 |
| Gesamt | 392 | 100,00 |

Tab. 13.2.29. Kostenki 14, Schicht IVb1-2. Merkmal Schlaglippe. Alle Abschläge & Absplisse >1 cm.

| Lippe - Klingen | N | % |
|---------------------------|----------|----------|
| Lippe, stark ausgeprägt | 11 | 4,30 |
| Lippe, schwach ausgeprägt | 66 | 25,78 |
| ohne Lippe | 70 | 27,34 |
| sonstiges | 109 | 42,58 |
| Gesamt | 256 | 100,00 |

Tab. 13.2.30. Kostenki 14, Schicht IVb1-2. Merkmal Schlaglippe. Alle Klingen.

| Lippe | N | % |
|---------------------------|----------|----------|
| Lippe, stark ausgeprägt | 4 | 1,42 |
| Lippe, schwach ausgeprägt | 64 | 22,70 |
| ohne Lippe | 131 | 46,45 |
| sonstiges | 83 | 29,43 |
| Gesamt | 282 | 100,00 |

Tab. 13.2.31. Kostenki 14, Schicht IVb1-2. Merkmal Schlaglippe. Alle lamellaren Grundformen.

| Kostenki 14, Level IVa: Rohstücke & Stücke mit Kernfunktion | N | % |
|--|----------|----------|
| Rohstück* | 4 | 66,67 |
| Abschlagkern, 2 Abbauf Flächen | 1 | 16,67 |
| Lamellenkern, bipolar** | 1 | 16,67 |
| Gesamt | 6 | 100,01 |
| *1 kleines Quarzgeröll, 3 initialisierte Rohstücke | | |
| * *bipolarer Dihedralstichel | | |

Tab. 13.4.1. Kostenki 14, Schicht 4a. Rohstücke & Artefakte mit Kernfunktion.

| Kostenki 14, Level IVa - Grundformen (inklusive formaler Geräte & Kerne) | Grundform | N | % | N | % |
|---|--------------------------------------|----------|----------|----------|----------|
| Abschlag | Abschlag, einfach | 41 | 41,84 | 49 | 50,00 |
| | Abschlag, Breit- | 4 | 4,08 | | |
| | Präparationsabschlag, Kernkantenrest | 1 | 1,02 | | |
| | Abspliss, einfach | 3 | 3,06 | | |
| Klinge | Klinge, einfach | 7 | 7,14 | 15 | 15,31 |
| | Klinge, Kernkante | 3 | 3,06 | | |
| | Klinge, Kernkantenrest | 3 | 3,06 | | |
| | Klinge, Kortexkante | 2 | 2,04 | | |
| Lamelle / Microblade | Lamelle, einfach | 4 | 4,08 | 9 | 9,18 |
| | Lamelle, Kortexkante | 1 | 1,02 | | |
| | Microblade | 3 | 3,06 | | |
| | Lamelle, Stichel | 1 | 1,02 | | |
| Sonstiges | Trümmer, Schlag | 9 | 9,18 | 25 | 25,51 |
| | Trümmer, Hitze | 4 | 4,08 | | |
| | Stichelabfall | 1 | 1,02 | | |
| | Kernscheibe | 1 | 1,02 | | |
| | nicht erkennbar | 6 | 6,12 | | |
| | keine Angabe / Kern | 4 | 4,08 | | |
| Gesamt | | 98 | 100,00 | 98 | 100 |

Tab. 13.4.2. Kostenki 14, Schicht 4a. Grundformen.

| Kostenki 14, Level IVa: formale Geräte (inklusive Kerne) | FORMALES GERÄT | | | | GEBRAUCHSSPUREN | | |
|--|--|----|--------|----|-----------------|-----|-----|
| | Typ | N | % | N | % | Ge2 | Ge3 |
| Funktionsende | Kratzer, einfach | 1 | 9,09 | | | | |
| | Endretusche, gerade | 1 | 9,09 | 2 | 18,18 | | |
| Arbeitskante | lateral retuschiert, einfach (Klinge & Stichel-Lamell) | 2 | 18,18 | | | | |
| | Schaber, einfach | 1 | 9,09 | 3 | 27,27 | | |
| Stichel | Stichel, Mehrschlag- (dihedral) | 2 | 18,18 | | | | |
| | Stichel, an Bruchfläche | 1 | 9,09 | 3 | 27,27 | | 1 |
| Sonstiges | ausgesplittertes Stück | 2 | 18,18 | 2 | 18,18 | | 1 |
| Funktionsende / Arbeitskante | Kratzer, einfach; lateral retuschiert, einfach | 1 | 9,09 | 1 | 9,09 | | |
| | Gesamt | 11 | 100,00 | 11 | 99,99 | | 2 |

Tab. 13.4.3. Kostenki 14, Schicht 4a. Formale Geräte.

| Kostenki 14, Level IVa - modifizierte Grundformen (inklusive formaler Geräte & Kerne) | Grundform | N | % | N | % |
|---|---------------------|----|--------|----|-------|
| Abschlag | Abschlag, einfach | 7 | 63,64 | 7 | 63,64 |
| Klinge | Klinge, einfach | 1 | 9,09 | | |
| | Klinge, Kortexkante | 1 | 9,09 | 2 | 18,18 |
| Lamelle / Microblade | Lamelle, Stichel | 1 | 9,09 | 1 | 9,09 |
| Sonstiges | nicht erkennbar | 1 | 9,09 | 1 | 9,09 |
| | Gesamt | 11 | 100,00 | 11 | 100 |

Tab. 13.4.4. Kostenki 14, Schicht 4a. Modifizierte Grundformen.

| Kostenki 14, Level IVa - Schlagflächenrest (alle Artefakte) | N | % | N | % |
|--|----------|----------|----------|----------|
| ohne | 32 | 32,65 | | |
| facettiert | 1 | 1,02 | 1 | 1,52 |
| glatt | 30 | 30,61 | 30 | 45,45 |
| Kortex | 2 | 2,04 | 2 | 3,03 |
| Kluft | 0 | 0,00 | 0 | 0,00 |
| gesplittert | 0 | 0,00 | 0 | 0,00 |
| punktförmig | 3 | 3,06 | 3 | 4,55 |
| geknickt | 3 | 3,06 | 3 | 4,55 |
| gratförmig | 8 | 8,16 | 8 | 12,12 |
| Bruch | 5 | 5,10 | 5 | 7,58 |
| sonstiges | 14 | 14,29 | 14 | 21,21 |
| Gesamt | 98 | 100,00 | 66 | 100,00 |

Tab. 13.4.5. Kostenki 14, Schicht 4a. Schlagflächenreste aller Grundformen.

| Kostenki 14, Level IVa - Bulbus (alle Artefakte) | N | % |
|---|----------|----------|
| mit Bulbus | 44 | 44,90 |
| ohne Bulbus | 13 | 13,27 |
| Bulbus ausgesplittert | 1 | 1,02 |
| sonstiges | 32 | 32,65 |
| keine Angabe | 8 | 8,16 |
| Gesamt | 98 | 100,00 |

Tab. 13.4.6. Kostenki 14, Schicht 4a. Bulben aller Artefakte.

| Kostenki 14, Level IVa - Schlaglippe (alle Artefakte) | N | % |
|--|----------|----------|
| mit Lippe | 20 | 20,41 |
| ohne Lippe | 37 | 37,76 |
| sonstiges | 33 | 33,67 |
| keine Angabe | 8 | 8,16 |
| Gesamt | 98 | 100,00 |

Tab. 13.4.7. Kostenki 14, Schicht 4a. Schlaglippen aller Artefakte.

| Kostenki 14, Level IVa - Profil (alle Artefakte) | N | % |
|---|----------|----------|
| gerade | 50 | 51,02 |
| gebogen | 19 | 19,39 |
| tordiert | 3 | 3,06 |
| nicht erkennbar | 18 | 18,37 |
| keine Angabe | 8 | 8,16 |
| Gesamt | 98 | 100,00 |

Tab. 13.4.8. Kostenki 14, Schicht 4a. Profile aller Artefakte.

| Kostenki 14, Level IVa - Profil (Abschläge) | N | % |
|--|----------|----------|
| gerade | 35 | 71,43 |
| gebogen | 8 | 16,33 |
| tordiert | 0 | 0,00 |
| sonstiges | 6 | 12,24 |
| Gesamt | 49 | 100,00 |

Tab. 13.4.9. Kostenki 14, Schicht IVa. Profile aller Abschläge.

| Kostenki 14, Level IVa - Profil (Klingen) | N | % |
|--|----------|----------|
| gerade | 6 | 42,86 |
| gebogen | 5 | 35,71 |
| tordiert | 1 | 7,14 |
| sonstiges | 2 | 14,29 |
| Gesamt | 14 | 100,00 |

Tab. 13.4.10. Kostenki 14, Schicht IVa. Profile aller Klingen.

| Kostenki 14, Level IVa - Profil (Lamellen, Microblades & Stichellamellen) | N | % |
|--|----------|----------|
| gerade | 5 | 50,00 |
| gebogen | 2 | 20,00 |
| tordiert | 2 | 20,00 |
| sonstiges | 1 | 10,00 |
| Gesamt | 10 | 100,00 |

Tab. 13.4.11. Kostenki 14, Schicht IVa. Profile aller lamellaren Grundformen.

| Kostenki 14, Level IVa - Profil (Lamellen, Microblades & Stichellamellen) | N | % |
|--|----------|----------|
| gerade | 5 | 50,00 |
| schwach gebogen | 2 | 20,00 |
| tordiert, distal rechts | 1 | 10,00 |
| tordiert, axial | 1 | 10,00 |
| sonstiges | 1 | 10,00 |
| Gesamt | 10 | 100,00 |

Tab. 13.4.12. Kostenki 14, Schicht IVa. Profile aller lamellaren Grundformen.

| Kostenki 14, Level IVa - Schlagflächenrest (Abschläge) | N | % | N | % |
|--|----|--------|----|--------|
| ohne | 10 | 20,41 | | |
| facettiert | 1 | 2,04 | 1 | 2,56 |
| glatt | 19 | 38,78 | 19 | 48,72 |
| Kortex | 1 | 2,04 | 1 | 2,56 |
| Kluft | 0 | 0,00 | 0 | 0,00 |
| gesplittert | 0 | 0,00 | 0 | 0,00 |
| punktförmig | 1 | 2,04 | 1 | 2,56 |
| dièdre | 1 | 2,04 | 1 | 2,56 |
| gratförmig | 7 | 14,29 | 7 | 17,95 |
| Bruch | 4 | 8,16 | 4 | 10,26 |
| sonstiges | 5 | 10,20 | 5 | 12,82 |
| Gesamt | 49 | 100,00 | 39 | 100,00 |

Tab. 13.4.13. Kostenki 14, Schicht IVa. Schlagflächenreste aller Abschläge.

| Kostenki 14, Level IVa - Schlagflächenrest (Klingen) | N | % | N | % |
|--|----|--------|---|--------|
| ohne | 9 | 64,29 | | |
| facettiert | 0 | 0,00 | 0 | 0,00 |
| glatt | 4 | 28,57 | 4 | 80,00 |
| Kortex | 1 | 7,14 | 1 | 20,00 |
| Kluft | 0 | 0,00 | 0 | 0,00 |
| gesplittert | 0 | 0,00 | 0 | 0,00 |
| punktförmig | 0 | 0,00 | 0 | 0,00 |
| dièdre | 0 | 0,00 | 0 | 0,00 |
| gratförmig | 0 | 0,00 | 0 | 0,00 |
| Bruch | 0 | 0,00 | 0 | 0,00 |
| sonstiges | 0 | 0,00 | 0 | 0,00 |
| Gesamt | 14 | 100,00 | 5 | 100,00 |

Tab. 13.4.14. Kostenki 14, Schicht IVa. Schlagflächenreste aller Klingen.

| Kostenki 14, Level IVa - Schlagflächenrest (Lamellen, Microblades & Stichlamellen) | N | % | N | % |
|---|----------|----------|----------|----------|
| ohne | 2 | 20,00 | | |
| facettiert | 0 | 0,00 | 0 | 0,00 |
| glatt | 4 | 40,00 | 4 | 50,00 |
| Kortex | 0 | 0,00 | 0 | 0,00 |
| Kluft | 0 | 0,00 | 0 | 0,00 |
| gesplittert | 0 | 0,00 | 0 | 0,00 |
| punktförmig | 2 | 20,00 | 2 | 25,00 |
| dièdre | 1 | 10,00 | 1 | 12,50 |
| gratförmig | 1 | 10,00 | 1 | 12,50 |
| Bruch | 0 | 0,00 | 0 | 0,00 |
| sonstiges | 0 | 0,00 | 0 | 0,00 |
| Gesamt | 10 | 100,00 | 8 | 100,00 |

Tab. 13.4.15. Kostenki 14, Schicht IVa. Schlagflächenreste aller lamellaren Mikrolithen.

| Kostenki 14, Level IVa - Schlaglippe (Abschläge) | N | % |
|---|----------|----------|
| mit Lippe | 12 | 24,49 |
| ohne Lippe | 26 | 53,06 |
| sonstiges | 11 | 22,45 |
| Gesamt | 49 | 100,00 |

Tab. 13.4.16. Kostenki 14, Schicht IVa. Schlaglippen aller Abschläge.

| Kostenki 14, Level IVa - Schlaglippe (Klingen) | N | % |
|---|----------|----------|
| mit Lippe | 3 | 20,00 |
| ohne Lippe | 3 | 20,00 |
| sonstiges | 9 | 60,00 |
| Gesamt | 15 | 100,00 |

Tab. 13.4.17. Kostenki 14, Schicht IVa. 1+Schlaglippen aller Klingen.

| Kostenki 14, Level IVa - Schlaglippe (Lamellen, Microblades & Stichellamellen) | N | % |
|---|----------|----------|
| Lippe, schwach ausgeprägt | 3 | 33,33 |
| ohne Lippe | 4 | 44,44 |
| sonstiges | 2 | 22,22 |
| Gesamt | 9 | 100,00 |

Tab. 13.4.18. Kostenki 14, Schicht IVa. Schlaglippen aller lamellaren Grundformen.

| Kostenki 14, Level IVa - Schlaglippe (alle Grundformen) | N | % |
|--|----------|----------|
| Lippe, stark ausgeprägt | 2 | 2,53 |
| Lippe, schwach ausgeprägt | 18 | 22,78 |
| ohne Lippe | 36 | 45,57 |
| sonstiges | 23 | 29,11 |
| Gesamt | 79 | 100,00 |

Tab. 13.4.19. Kostenki 14, Schicht IVa. Schlaglippen & ihre Ausprägungen aller lamellaren Grundformen.

| Kostenki 14, Level IVa -Bulbus (Abschläge) | N | % |
|---|----------|----------|
| mit Bulbus | 30 | 61,22 |
| ohne Bulbus | 7 | 14,29 |
| Bulbus ausgesplittert | 1 | 2,04 |
| sonstiges | 11 | 22,45 |
| Gesamt | 49 | 100,00 |

Tab. 13.4.20. Kostenki 14, Schicht IVa. Bulben aller Abschläge.

| Kostenki 14, Level IVa -Bulbus (Klingen) | N | % |
|---|----------|----------|
| mit Bulbus | 5 | 33,33 |
| ohne Bulbus | 1 | 6,67 |
| Bulbus ausgesplittert | 0 | 0,00 |
| sonstiges | 9 | 60,00 |
| Gesamt | 15 | 100,00 |

Tab. 13.4.21. Kostenki 14, Schicht IVa. Bulben aller Klingen.

| Kostenki 14, Level IVa -Bulbus (Lamellen, Microblades & Stichellamellen) | N | % |
|---|----------|----------|
| mit Bulbus | 6 | 66,67 |
| ohne Bulbus | 1 | 11,11 |
| Bulbus ausgesplittert | 0 | 0,00 |
| sonstiges | 2 | 22,22 |
| Gesamt | 9 | 100,00 |

Tab. 13.4.22. Kostenki 14, Schicht IVa. Bulben aller lamellaren Grundformen.

| Kostenki 14, Level IVa - Bulbus (alle Grundformen) | N | % |
|---|----------|----------|
| mit Bulbus | 2 | 2,53 |
| Bulbus, stark ausgeprägt | 18 | 22,78 |
| Bulbus, schwach ausgeprägt | 24 | 30,38 |
| ohne Bulbus | 12 | 15,19 |
| Bulbus ausgesplittert | 1 | 1,27 |
| sonstiges | 22 | 27,85 |
| Gesamt | 79 | 100,00 |

Tab. 13.4.23. Kostenki 14, Schicht IVa. Bulben & ihre Ausprägungen aller lamellaren Grundformen.

| Kostenki 14, Level GP ("layer in ash"): Rohstücke & Stücke mit Kernfunktion | Kern-Typ | N | % | N | % |
|--|------------------------------|----------|----------|----------|----------|
| Rohstück | Rohstück* | 15 | 18,29 | 15 | 18,29 |
| Abschlagkern | Abschlagkern, einfach | 11 | 13,41 | 26 | 31,71 |
| | Abschlagkern, bipolar | 2 | 2,44 | | |
| | Abschlagkern, indifferent | 6 | 7,32 | | |
| | Abschlagkern, 2 Abbauflächen | 4 | 4,88 | | |
| | Abschlagkern, mehrfach | 3 | 3,66 | | |
| Klingenkern | Klingenkern, einfach | 3 | 3,66 | 7 | 8,54 |
| | Klingenkern, mehrfach | 2 | 2,44 | | |
| | Klingenkern, bipolar | 2 | 2,44 | | |
| Lamellenkern | Lamellenkern, einfach | 14 | 17,07 | 22 | 26,83 |
| | Lamellenkern, mehrfach | 7 | 8,54 | | |
| | Lamellenkern, bipolar | 1 | 1,22 | | |
| Sonstiges | Kerntrümmer, Schlag | 8 | 9,76 | 12 | 14,63 |
| | Kerntrümmer, Frost | 1 | 1,22 | | |
| | nicht erkennbar | 3 | 3,66 | | |
| Gesamt | | 82 | 100,00 | 82 | 100 |

*darunter 3 Retuscheure und 1 weiterer Schlagstein oder Unterlieger (ID 160, 162, 198 & 199)

Tab. 13.5.1. Kostenki 14, Schicht GP. Rohstücke & Artefakte mit Kernfunktion.

| Kostenki 14, Level GP ("layer in ash"): Geräte mit Kernfunktion | Gerätetyp | N | % |
|--|--|----------|----------|
| Abschlagkern | ausgesplittertes Stück | 2 | 10,53 |
| | lateral retuschiert, gezähntes Stück | 1 | 5,26 |
| | Schaber, einfach | 1 | 5,26 |
| Klingenkern | Schaber, einfach | 1 | 5,26 |
| | lateral retuschiert, einfach | 1 | 5,26 |
| Lamellenkern | Kratzer, einfach | 1 | 5,26 |
| | Kratzer, Hoch-/Kiel- | 2 | 10,53 |
| | Kratzer, Hoch-/Kiel-; lateral retuschiert, umlaufend | 1 | 5,26 |
| | Kratzer, Hoch-/Kiel-; Stichel; lateral retuschiert | 1 | 5,26 |
| | Kratzer, Nasen- | 1 | 5,26 |
| | Stichel, einfach | 1 | 5,26 |
| | Stichel, Kiel- | 1 | 5,26 |
| | Schaber, einfach | 1 | 5,26 |
| | ausgesplittertes Stück | 2 | 10,53 |
| nicht erkennbar | Endretusche, gerade | 1 | 5,26 |
| Kerntrümmer | Schaber, einfach | 1 | 5,26 |
| Gesamt | | 19 | 100,00 |

Tab. 13.5.2. Kostenki 14, Schicht GP. Geräte mit Kernfunktion.

| Kostenki 14, Level GP ("layer in ash") - Grundformen (inklusive formalen Geräten & Kernen) | Grundform | N | % | N | % |
|--|--------------------------------------|-----|--------|-----|-------|
| Abschlag | Abschlag, einfach | 126 | 24,90 | 205 | 40,51 |
| | Abschlag, Breit- | 19 | 3,75 | | |
| | Präparationsabschlag, Kernkante | 4 | 0,79 | | |
| | Präparationsabschlag, Kernkantenrest | 9 | 1,78 | | |
| | Präparationsabschlag, Kortexkante | 8 | 1,58 | | |
| | Abspliss, einfach | 39 | 7,71 | | |
| Klinge | Klinge, einfach | 48 | 9,49 | 66 | 13,04 |
| | Klinge, Kernkante | 5 | 0,99 | | |
| | Klinge, Kernkantenrest | 3 | 0,59 | | |
| | Klinge, Kortexkante | 10 | 1,98 | | |
| Lamelle / Microblade | Lamelle, einfach | 29 | 5,73 | 120 | 23,72 |
| | Lamelle, Kernkante | 10 | 1,98 | | |
| | Lamelle, Kortexkante | 4 | 0,79 | | |
| | Microblade | 64 | 12,65 | | |
| | Lamelle, Stichel | 13 | 2,57 | | |
| Sonstiges | Kernscheibe | 1 | 0,20 | 115 | 22,73 |
| | Trümmer, Schlag | 20 | 3,95 | | |
| | Trümmer, Frost | 14 | 2,77 | | |
| | Trümmer, Hitze | 9 | 1,78 | | |
| | nicht erkennbar | 42 | 8,30 | | |
| | keine Angabe / Kern | 29 | 5,73 | | |
| Gesamt | | 506 | 100,00 | 506 | 100 |

Tab. 13.5.3. Kostenki 14, Schicht GP. Grundformen.

| Kostenki 14, Level GP (layer ins ash) | kombinierter Gerätetyp | N | % | Ge2 | Ge3 | einfach | unifaziell | bifaziell | |
|---|---|---|--------|------|-----|---------|------------|-----------|--|
| Funktionsende | Kratzer, einfach | 4 | 2,50 | | | 4 | | | |
| | Kratzer, Hoch-/ Kiel-* | 4 | 2,50 | | | 4 | | | |
| | Kratzer, Nasen- | 1 | 0,63 | | | 1 | | | |
| | Endretusche, gerade | 7 | 4,38 | 1 | | 7 | | | |
| | Endretusche, schräg | 1 | 0,63 | | | 1 | | | |
| Stichel | Stichel, einfach | 2 | 1,25 | | | 2 | | | |
| | Stichel, Kiel- | 1 | 0,63 | | | 1 | | | |
| | Stichel, Bogen- | 1 | 0,63 | | | 1 | | | |
| | Stichel, Mehrschlag- (dihedral) | 2 | 1,25 | | | 2 | | | |
| | | | | | | | | | |
| Arbeitskante | lateral retuschierte Klinge, einfach | 3 | 1,88 | | | 3 | | | |
| | lateral retuschierte Klinge-Kortexkante, einfach | 1 | 0,63 | | | 1 | | | |
| | lateral retuschiert, einfach | 8 | 5,00 | | | 8 | | | |
| | lateral retuschierte Klinge, beidseitig | 5 | 3,13 | | | 5 | | | |
| | lateral retuschiert, umlaufend | 1 | 0,63 | | | 1 | | | |
| | lateral retuschierte Klinge, umlaufend | 2 | 1,25 | | | 2 | | | |
| | gezähnte Klinge | 1 | 0,63 | | | 1 | | | |
| | lateral retuschiert, gezähntes Stück | 2 | 1,25 | | | 2 | | | |
| | Kerbe, unifaziell | 1 | 0,63 | | | | 1 | | |
| | lateral retuschiert, gekerbtes Stück | 1 | 0,63 | | | 1 | | | |
| | gekerbte Klinge | 1 | 0,63 | | | 1 | | | |
| | Schaber, einfach | 19 | 11,88 | 2 | | 19 | | | |
| | Schaber, Doppel- | 1 | 0,63 | | | 1 | | | |
| | Schaber, Winkel.** | 4 | 2,50 | 1 | | 4 | | | |
| | Mikrolith: lateral retuschierte Microblade, einfach | 13 | 8,13 | | 1 | 13 | | | |
| | Mikrolith: lateral retuschierte Stichel-Lamelle, einfach | 4 | 2,50 | | | 4 | | | |
| | Mikrolith: lateral retuschierte Lamelle, beidseitig | 2 | 1,25 | | | 2 | | | |
| | Mikrolith: lateral retuschierte Microblade, beidseitig | 1 | 0,63 | | | 1 | | | |
| | Mikrolith: lateral retuschierte Stichel-Lamelle, beidseitig | 1 | 0,63 | | | 1 | | | |
| | Mikrolith: gezähnte Lamelle | 1 | 0,63 | | | 1 | | | |
| | Mikrolith: gekerbte Microblade | 1 | 0,63 | | | 1 | | | |
| | Mikrolith: Dufour-Microblade | 3 | 1,88 | | | 3 | | | |
| | Mikrolith: Pseudo-Dufour-Microblade | 13 | 8,13 | | | 13 | | | |
| | Mikrolith: Spitze, Font-Yves- (Microblade) | 2 | 1,25 | | | 2 | | | |
| | sonstiges | ausgesplittertes Stück | 13 | 8,13 | 1 | | 13 | | |
| | | GMS, Ge2 | 4 | 2,50 | | | 1 | | |
| | | GMS, Ge3 | 4 | 2,50 | | | 0 | | |
| | Funktionsende / Arbeitskante | Kratzer, einfach; lateral retuschiert, einfach | 1 | 0,63 | | | 1 | | |
| | | Kratzer, einfach; lateral retuschiert, beidseitig | 3 | 1,88 | | | 3 | | |
| | | Kratzer, einfach; lateral retuschiert, umlaufend | 1 | 0,63 | | | 1 | | |
| | | Kratzer, Hoch-/ Kiel-; lateral retuschiert, umlaufend | 1 | 0,63 | | | 1 | | |
| Kratzer, Hoch-/ Kiel-; Stichel, einfach; lateral retuschiert, einfach | | 1 | 0,63 | | | 1 | | | |
| Kratzer, Nasen-; lateral retuschiert, einfach | | 1 | 0,63 | | | 1 | | | |
| Endretusche, gerade; lateral retuschiert, beidseitig | | 4 | 2,50 | | | 4 | | | |
| Endretusche, gerade/ lateral retuschiert, gezähnt/ Schaber, Winkel | | 1 | 0,63 | | | 1 | | | |
| Arbeitskante | lateral retuschiert, einfach; ausgesplittertes Stück | 1 | 0,63 | | | 1 | | | |
| | lateral retuschierte Klinge, beidseitig; gezähnt | 2 | 1,25 | | | 2 | | | |
| | Schaber, umlaufend retuschiert; gekerbt | 1 | 0,63 | | | 1 | | | |
| | Spitzklinge, gezähnt | 1 | 0,63 | | | 1 | | | |
| | lateral retuschiert, gekerbtes Stück; Schaber, Spitz- | 1 | 0,63 | | | 1 | | | |
| Funktionsende / Stichel | Kratzer, einfach; Stichel, Mehrschlag (dihedral) | 1 | 0,63 | | | 1 | | | |
| | Kratzer, einfach; Stichel, an Endretusche; lateral retuschiert, gek | 1 | 0,63 | | | 1 | | | |
| Stichel / Arbeitskante | Stichel, einfach; lateral retuschiert, umlaufend | 1 | 0,63 | | | 1 | | | |
| | Stichel, einfach; lateral retuschiert, gekerbtes Stück | 1 | 0,63 | | | 1 | | | |
| | Stichel, Bogen-; lateral retuschiert, gekerbtes Stück | 1 | 0,63 | | | 1 | | | |
| | Stichel, an Endretusche; lateral retuschiert, einfach | 1 | 0,63 | | | 1 | | | |
| | Gesamt | 160 | 100,00 | 5 | 1 | 152 | 1 | 0 | |

*1 Stück am Übergang zum einfachen Kratzer; lamellare Negative der Microblade/Lamellenproduktion
**Doppelstichel mit 2 gegenüberliegenden Endretuschen (gerade und schräg) sowie linkslateral Retusche

Tab. 13.5.4. Kostenki 14, Schicht GP. Formale Geräte.

| Kostenki 14, Level GP ("layer in ash")- modifizierte Grundformen (inklusive formalen Geräten & Kernen) | Grundform | N | % | N | % |
|---|--------------------------------------|----------|----------|----------|----------|
| Abschlag | Abschlag, einfach | 31 | 19,38 | 49 | 30,63 |
| | Abschlag, Breit- | 6 | 3,75 | | |
| | Präparationsabschlag, Kernkante | 3 | 1,88 | | |
| | Präparationsabschlag, Kernkantenrest | 5 | 3,13 | | |
| | Präparationsabschlag, Kortexkante | 3 | 1,88 | | |
| | Abspliss, einfach | 1 | 0,63 | | |
| Klinge | Klinge, einfach | 24 | 15,00 | 32 | 20,00 |
| | Klinge, Kernkante | 3 | 1,88 | | |
| | Klinge, Kernkantenrest | 2 | 1,25 | | |
| | Klinge, Kortexkante | 3 | 1,88 | | |
| Lamelle / Microblade | Lamelle, einfach | 5 | 3,13 | 44 | 27,50 |
| | Microblade | 34 | 21,25 | | |
| | Lamelle, Stichel | 5 | 3,13 | | |
| Sonstiges | Trümmer, Schlag | 5 | 3,13 | 35 | 21,88 |
| | Trümmer, Frost | 6 | 3,75 | | |
| | Trümmer, Hitze | 2 | 1,25 | | |
| | nicht erkennbar | 19 | 11,88 | | |
| | nicht erkennbar / Kern | 3 | 1,88 | | |
| Gesamt | | 160 | 100,00 | 160 | 100,01 |

Tab. 13.5.5. Kostenki 14, Schicht GP. Modifizierte Grundformen.

| Kostenki 14, Level GP ("layer in ash")- Position der Arbeitskante (einfache Geräte) | N | % |
|--|----------|----------|
| distal | 9 | 5,92 |
| links lateral | 23 | 15,13 |
| basal | 6 | 3,95 |
| rechts lateral | 18 | 11,84 |
| distal, links lateral | 2 | 1,32 |
| distal, links lateral, basal | 3 | 1,97 |
| distal, links lateral, basal, rechts lateral | 6 | 3,95 |
| distal, links lateral, rechts lateral | 12 | 7,89 |
| distal, basal | 1 | 0,66 |
| distal, rechts lateral | 2 | 1,32 |
| distal, basal, rechts lateral | 1 | 0,66 |
| links lateral, rechts lateral | 31 | 20,39 |
| keine Angabe / sonstiges | 38 | 25,00 |
| Gesamt / einfache Geräte | 152 | 100,00 |

Tab. 13.5.6. Kostenki 14, Schicht GP. Geräte: Position der Arbeitskanten.

| Leitformen des Aurignacien | | |
|---|-----|--------|
| Typ | N | % |
| Kratzer, Hoch-/ Kiel- | 4 | 2,50 |
| Kratzer, Nasen- | 1 | 0,63 |
| lateral retuschierte Klinge, umlaufend | 2 | 1,25 |
| Mikrolith: Dufour-Microblade | 3 | 1,88 |
| Mikrolith: Pseudo-Dufour-Microblade | 13 | 8,13 |
| Mikrolith: Spitze, Font-Yves- (Microblade) | 2 | 1,25 |
| Kratzer, Hoch-/ Kiel-; lateral retuschiert, umlaufend | 1 | 0,63 |
| Kratzer, Hoch-/ Kiel-; Stichel, einfach; lateral retuschiert, einfach | 1 | 0,63 |
| Kratzer, Nasen-; lateral retuschiert, einfach | 1 | 0,63 |
| Spitzklinge, gezähnt | 1 | 0,63 |
| Stichel, Bogen-; lateral retuschiert, gekerbtes Stück | 1 | 0,63 |
| Anteil am Gesamt-Inventar | 30 | 18,75 |
| Gesamt | 160 | 100,00 |

Tab. 13.5.7. Kostenki 14, Schicht GP . Typische Geräte des Aurignacien

| Profil | N | % | N | % |
|-----------------|-----|--------|-----|--------|
| gerade | 223 | 44,07 | 223 | 58,22 |
| gebogen | 147 | 29,05 | 147 | 38,38 |
| tordiert | 13 | 2,57 | 13 | 3,39 |
| nicht erkennbar | 123 | 24,31 | | |
| Gesamt | 506 | 100,00 | 383 | 100,00 |

Tab. 13.5.8. Kostenki 14, Schicht GP. Grundformprofil aller Artefakte.

| Schlagfläche | N | % | N | % |
|--------------|-----|--------|-----|--------|
| ohne | 169 | 33,40 | | |
| facettiert | 15 | 2,96 | 15 | 5,66 |
| glatt | 98 | 19,37 | 98 | 36,98 |
| Kortex | 22 | 4,35 | 22 | 8,30 |
| Kluft | 3 | 0,59 | 3 | 1,13 |
| gesplittert | 26 | 5,14 | 26 | 9,81 |
| punktförmig | 23 | 4,55 | 23 | 8,68 |
| geknickt | 11 | 2,17 | 11 | 4,15 |
| gratförmig | 63 | 12,45 | 63 | 23,77 |
| Bruch | 4 | 0,79 | 4 | 1,51 |
| sonstiges | 72 | 14,23 | | |
| Gesamt | 506 | 100,00 | 265 | 100,00 |

Tab. 13.5.9. Kostenki 14, Schicht GP. Schlagflächenreste aller Artefakte.

| Bulbus | N | % | N | % |
|-----------------------|-----|--------|-----|--------|
| mit Bulbus | 198 | 39,13 | 198 | 39,13 |
| ohne Bulbus | 72 | 14,23 | 72 | 14,23 |
| Bulbus ausgesplittert | 12 | 2,37 | 12 | 2,37 |
| sonstiges | 224 | 44,27 | | |
| Gesamt | 506 | 100,00 | 506 | 100,00 |

Tab. 13.5.10. Kostenki 14, Schicht GP. Bulben aller Artefakte

| Lippe | N | % | N | % |
|--------------|-----|--------|-----|--------|
| mit Lippe | 114 | 22,53 | 114 | 22,53 |
| ohne Lippe | 167 | 33,00 | 167 | 33,00 |
| sonstiges | 165 | 32,61 | 165 | 32,61 |
| keine Angabe | 60 | 11,86 | | |
| Gesamt | 506 | 100,00 | 506 | 100,00 |

Tab. 13.5.11. Kostenki 14, Schicht GP. Schlaglippen aller Artefakte

| Kostenki 14, Schicht GP (Kombination Lippe-Bulbus) | Lippe | Bulbus | N | % |
|---|-----------------|-----------------------|----------|----------|
| Grundformen (mit Kernen & Geräten) | mit Lippe | mit Bulbus | 69 | 15,44 |
| | mit Lippe | ohne Bulbus | 42 | 9,40 |
| | mit Lippe | Bulbus ausgesplittert | 1 | 0,22 |
| | mit Lippe | nicht erkennbar | 2 | 0,45 |
| | ohne Lippe | mit Bulbus | 121 | 27,07 |
| | ohne Lippe | ohne Bulbus | 30 | 6,71 |
| | ohne Lippe | Bulbus ausgesplittert | 11 | 2,46 |
| | ohne Lippe | nicht erkennbar | 5 | 1,12 |
| | nicht erkennbar | mit Bulbus | 7 | 1,57 |
| | nicht erkennbar | nicht erkennbar | 158 | 35,35 |
| | keine Angabe | mit Bulbus | 1 | 0,22 |
| Gesamt (erkennbare Grundformklassen) | | | 447 | 100,00 |

Tab. 13.5.12. Kostenki 14, Schicht GP. Kombination Lipp-Bulbus aller erkennbaren intentionellen Grundformen.

| Schlagfläche | N | % | N | % |
|---------------------|----------|----------|----------|----------|
| ohne | 39 | 19,02 | | |
| facettiert | 10 | 4,88 | 10 | 6,02 |
| glatt | 63 | 30,73 | 63 | 37,95 |
| Kortex | 18 | 8,78 | 18 | 10,84 |
| Kluft | 2 | 0,98 | 2 | 1,20 |
| gesplittert | 15 | 7,32 | 15 | 9,04 |
| punktförmig | 7 | 3,41 | 7 | 4,22 |
| geknickt | 10 | 4,88 | 10 | 6,02 |
| gratförmig | 28 | 13,66 | 28 | 16,87 |
| Bruch | 4 | 1,95 | 4 | 2,41 |
| sonstiges | 9 | 4,39 | 9 | 5,42 |
| Gesamt | 205 | 100,00 | 166 | 100,00 |

Tab. 13.5.13. Kostenki 14, Schicht GP . Schlagflächenreste aller Abschlüge.

| Bulbus | N | % | N | % |
|-----------------------|----------|----------|----------|----------|
| mit Bulbus | 6 | 2,93 | | |
| stark ausgeprägt | 46 | 22,44 | | |
| schwach ausgeprägt | 91 | 44,39 | 143 | 69,76 |
| ohne Bulbus | 18 | 8,78 | 18 | 8,78 |
| Bulbus ausgesplittert | 4 | 1,95 | 4 | 1,95 |
| sonstiges | 40 | 19,51 | 40 | 19,51 |
| Gesamt | 205 | 100,00 | 205 | 100,00 |

Tab. 13.5.14. Kostenki 14, Schicht GP. Bulben aller Abschlüge.

| Lippe | N | % | N | % |
|--------------------|----------|----------|----------|----------|
| mit Lippe | 2 | 0,98 | | |
| stark ausgeprägt | 4 | 1,95 | | |
| schwach ausgeprägt | 47 | 22,93 | 53 | 25,85 |
| ohne Lippe | 111 | 54,15 | 111 | 54,15 |
| sonstiges | 41 | 20,00 | 41 | 20,00 |
| Gesamt | 205 | 100,00 | 205 | 100,00 |

Tab. 13.5.15. Kostenki 14, Schicht GP. Schlaglippen aller Abschlüge.

| Profil | N | % | N | % |
|-----------------|----------|----------|----------|----------|
| gerade | 114 | 55,61 | 114 | 55,61 |
| gebogen | 1 | 0,49 | 1 | 0,49 |
| stark gebogen | 25 | 12,20 | 25 | 12,20 |
| schwach gebogen | 40 | 19,51 | 40 | 19,51 |
| axial tordiert | 2 | 0,98 | 2 | 0,98 |
| sonstiges | 22 | 10,73 | 22 | 10,73 |
| keine Angabe | 1 | 0,49 | 1 | 0,49 |
| Gesamt | 205 | 100,00 | 205 | 100,00 |

Tab. 13.5.16. Kostenki 14, Schicht GP. Grundformprofile aller Abschlüge.

| Dorsales Gratmuster | N | % |
|---------------------|-----|--------|
| unipolar | 65 | 31,71 |
| bipolar | 10 | 4,88 |
| gekreuzt | 69 | 33,66 |
| radial | 9 | 4,39 |
| sonstiges | 52 | 25,37 |
| Gesamt | 205 | 100,00 |

Tab. 13.5.17. Kostenki 14, Schicht GP. Dorsale Gratmuster aller Abschlage.

| Schlagflachenrest | N | % | N | % |
|--------------------|----|--------|----|--------|
| ohne | 33 | 50,00 | | |
| facettiert | 2 | 3,03 | 2 | 6,06 |
| glatt | 14 | 21,21 | 14 | 42,42 |
| Kortex | 0 | 0,00 | 0 | 0,00 |
| Kluft | 3 | 4,55 | 3 | 9,09 |
| gesplittert | 4 | 6,06 | 4 | 12,12 |
| punktformig | 4 | 6,06 | 4 | 12,12 |
| geknickt | 0 | 0,00 | 0 | 0,00 |
| gratformig | 2 | 3,03 | 2 | 6,06 |
| Bruch | 0 | 0,00 | 0 | 0,00 |
| sonstiges | 4 | 6,06 | 4 | 12,12 |
| Gesamt | 66 | 100,00 | 33 | 100,00 |

Tab. 13.5.18. Kostenki 14, Schicht GP. Schlagflachenreste aller Klingen.

| Bulbus | N | % | N | % |
|-----------------------|----|--------|----|--------|
| mit Bulbus | 2 | 3,03 | | |
| stark ausgepragt | 4 | 6,06 | | |
| schwach ausgepragt | 13 | 19,70 | 19 | 28,79 |
| ohne Bulbus | 11 | 16,67 | 11 | 16,67 |
| Bulbus ausgesplittert | 3 | 4,55 | 3 | 4,55 |
| sonstiges | 33 | 50,00 | 33 | 50,00 |
| Gesamt | 66 | 100,00 | 66 | 100,00 |

Tab. 13.5.19. Kostenki 14, Schicht GP. Bulben aller Klingen.

| Lippe | N | % | N | % |
|---------------------------|----------|----------|----------|----------|
| Lippe, stark ausgeprägt | 3 | 4,55 | | |
| Lippe, schwach ausgeprägt | 10 | 15,15 | 13 | 19,70 |
| ohne Lippe | 19 | 28,79 | 19 | 28,79 |
| sonstiges | 33 | 50,00 | 33 | 50,00 |
| keine Angabe | 1 | 1,52 | 1 | 1,52 |
| Gesamt | 66 | 100,00 | 66 | 100,00 |

Tab. 13.5.20. Kostenki 14, Schicht GP. Schlaglippen aller Klingen.

| Profil | N | % | N | % |
|--------------------------|----------|----------|----------|----------|
| gerade | 41 | 62,12 | 41 | 62,12 |
| schwach gebogen | 3 | 4,55 | | |
| gebogen, leicht tordiert | 1 | 1,52 | | |
| stark gebogen | 14 | 21,21 | 18 | 27,27 |
| tordiert, distal rechts | 1 | 1,52 | 1 | 1,52 |
| sonstiges | 6 | 9,09 | 6 | 9,09 |
| Gesamt | 66 | 100,00 | 66 | 100,00 |

Tab. 13.5.21. Kostenki 14, Schicht GP. Grundformprofile aller Klingen.

| Schlagflächenrest | N | % | N | % |
|--------------------------|----------|----------|----------|----------|
| ohne | 42 | 35,00 | 42 | 35,00 |
| facettiert | 2 | 1,67 | 2 | 1,67 |
| glatt | 21 | 17,50 | 21 | 17,50 |
| Kortex | 1 | 0,83 | 1 | 0,83 |
| Kluft | 0 | 0,00 | 0 | 0,00 |
| gesplittert | 6 | 5,00 | 6 | 5,00 |
| punktförmig | 12 | 10,00 | 12 | 10,00 |
| geknickt | 1 | 0,83 | 1 | 0,83 |
| gratförmig | 33 | 27,50 | 33 | 27,50 |
| Bruch | 0 | 0,00 | 0 | 0,00 |
| sonstiges | 2 | 1,67 | 2 | 1,67 |
| Gesamt | 120 | 100,00 | 120 | 100,00 |

Tab. 13.5.22. Kostenki 14, Schicht GP. Schlagflächenreste aller lamellaren Grundformen.

| Bulbus | N | % | N | % |
|----------------------------|----------|----------|----------|----------|
| Bulbus, stark ausgeprägt | 3 | 2,50 | | |
| Bulbus, schwach ausgeprägt | 32 | 26,67 | 35 | 29,17 |
| ohne Bulbus | 36 | 30,00 | 36 | 30,00 |
| Bulbus ausgesplittert | 4 | 3,33 | 4 | 3,33 |
| sonstiges | 45 | 37,50 | 45 | 37,50 |
| Gesamt | 120 | 100,00 | 120 | 100,00 |

Tab. 13.5.23. Kostenki 14, Schicht GP. Bulben aller lamellaren Grundformen.

| Lippe | N | % | N | % |
|---------------------------|----------|----------|----------|----------|
| Lippe, stark ausgeprägt | 8 | 6,67 | | |
| Lippe, schwach ausgeprägt | 38 | 31,67 | 46 | 38,33 |
| ohne Lippe | 29 | 24,17 | 29 | 24,17 |
| sonstiges | 45 | 37,50 | 45 | 37,50 |
| Gesamt | 120 | 100,00 | 120 | 100,00 |

Tab. 13.5.24. Kostenki 14, Schicht GP. Schlaglippen aller lamellaren Grundformen.

| Lippe | N | % | N | % |
|---------------------------|----------|----------|----------|----------|
| Lippe, stark ausgeprägt | 5 | 7,81 | | |
| Lippe, schwach ausgeprägt | 29 | 45,31 | 34 | 53,13 |
| ohne Lippe | 13 | 20,31 | 13 | 20,31 |
| sonstiges | 17 | 26,56 | 17 | 26,56 |
| Gesamt | 64 | 100,00 | 64 | 100,00 |

Tab. 13.5.25. Kostenki 14, Schicht GP. Schlaglippen aller Microblades.

| Lippe | N | % | N | % |
|---------------------------|----------|----------|----------|----------|
| Lippe, stark ausgeprägt | 3 | 6,98 | 3 | 6,98 |
| Lippe, schwach ausgeprägt | 7 | 16,28 | 7 | 16,28 |
| ohne Lippe | 15 | 34,88 | 15 | 34,88 |
| sonstiges | 18 | 41,86 | 18 | 41,86 |
| Gesamt | 43 | 100,00 | 43 | 100,00 |

Tab. 13.5.26. Kostenki 14, Schicht GP. Schlaglippen aller Lamellen.

| Lippe | N | % |
|---------------------------|----|--------|
| Lippe, schwach ausgeprägt | 2 | 15,38 |
| ohne Lippe | 1 | 7,69 |
| sonstiges | 10 | 76,92 |
| Gesamt | 13 | 100,00 |

Tab. 13.5.27. Kostenki 14, Schicht GP. Schlaglippen aller Stichellamellen.

| Profil | N | % | N | % |
|-------------------------|-----|--------|-----|--------|
| gerade | 47 | 39,17 | 47 | 39,17 |
| gebogen | 3 | 2,50 | | |
| stark gebogen | 17 | 14,17 | | |
| schwach gebogen | 36 | 30,00 | 56 | 46,67 |
| tordiert, axial | 6 | 5,00 | 6 | 5,00 |
| tordiert, distal links | 3 | 2,50 | 3 | 2,50 |
| tordiert, distal rechts | 1 | 0,83 | 1 | 0,83 |
| sonstiges | 7 | 5,83 | 7 | 5,83 |
| Gesamt | 120 | 100,00 | 120 | 100,00 |

Tab. 13.5.28. Kostenki 14, Schicht GP. Grundformprofile aller lamellaren Grundformen.

| Profil | N | % | N | % |
|-------------------------|-----|--------|-----|--------|
| gerade | 18 | 15,00 | 18 | 15,00 |
| gebogen | 2 | 1,67 | | |
| stark gebogen | 5 | 4,17 | | |
| schwach gebogen | 8 | 6,67 | 15 | 12,50 |
| tordiert, axial | 6 | 5,00 | | |
| tordiert, distal links | 2 | 1,67 | | |
| tordiert, distal rechts | 1 | 0,83 | 9 | 7,50 |
| sonstiges | 3 | 2,50 | 3 | 2,50 |
| Gesamt | 120 | 100,00 | 120 | 100,00 |

Tab. 13.5.29. Kostenki 14, Schicht GP. Grundformprofile aller Lamellen.

| Profil | N | % | N | % |
|-------------------------|-----|--------|-----|--------|
| gerade | 23 | 19,17 | 23 | 19,17 |
| gebogen | 2 | 1,67 | | |
| stark gebogen | 11 | 9,17 | | |
| schwach gebogen | 26 | 21,67 | 39 | 32,50 |
| tordiert, axial | 2 | 1,67 | | |
| tordiert, distal links | 0 | 0,00 | | |
| tordiert, distal rechts | 0 | 0,00 | 2 | 1,67 |
| sonstiges | 4 | 3,33 | 4 | 3,33 |
| Gesamt | 120 | 100,00 | 120 | 100,00 |

Tab. 13.5.30. Kostenki 14, Schicht GP. Grundformprofile aller Microblades.

| Profil | N | % | N | % |
|-------------------------|----|--------|----|--------|
| gerade | 6 | 46,15 | 6 | 46,15 |
| gebogen | 1 | 7,69 | | |
| stark gebogen | 1 | 7,69 | | |
| schwach gebogen | 2 | 15,38 | 4 | 16,76 |
| tordiert, axial | 1 | 7,69 | | |
| tordiert, distal links | 1 | 7,69 | | |
| tordiert, distal rechts | 0 | 0,00 | 2 | 15,38 |
| sonstiges | 1 | 7,69 | 1 | 7,69 |
| Gesamt | 13 | 100,00 | 13 | 100,00 |

Tab. 13.5.31. Kostenki 14, Schicht GP. Grundformprofile aller Stichellamellen.

| Kostenki 17, Level I: Rohstücke & Stücke mit Kernfunktion | Kern-Typ | N | % | N | % |
|--|---------------------------|----------|----------|----------|----------|
| Abschlagkern | Abschlagkern, einfach | 1 | 9,09 | 3 | 27,27 |
| | Abschlagkern, indifferent | 2 | 18,18 | | |
| Klingenkern | Klingenkern, einfach | 4 | 36,36 | 4 | 36,36 |
| Lamellenkern | Lamellenkern, einfach | 2 | 18,18 | 4 | 36,36 |
| | Lamellenkern, mehrfach | 2 | 18,18 | | |
| Gesamt | | 11 | 100,00 | 11 | 100 |

Tab. 14.1. Kostenki 17, Schicht I. Kerne.

| Kostenki 17, Level II: Rohstücke & Stücke mit Kernfunktion | Kern-Typ | N | % | N | % |
|---|---------------------------|----------|----------|----------|----------|
| Abschlagkern | Abschlagkern, indifferent | 2 | 5,88 | 2 | 6,06 |
| Klingenkern | Klingenkern, einfach | 1 | 2,94 | 8 | 23,53 |
| | Klingenkern, mehrfach | 5 | 14,71 | | |
| | Klingenkern, bipolar | 2 | 5,88 | | |
| Lamellenkern | Lamellenkern, einfach | 20 | 58,82 | 24 | 70,59 |
| | Lamellenkern, mehrfach | 2 | 5,88 | | |
| | Lamellenkern, bipolar | 2 | 5,88 | | |
| Gesamt | | 34 | 100,00 | 33 | 100 |

Tab. 14.2. Kostenki 17, Schicht II. Kerne.

| Kostenki 17, Level I | Geräte mit Kernfunktion | N | % |
|---------------------------------|------------------------------------|----------|----------|
| Abschlagkern | ausgesplittertes Stück | 1 | 20,00 |
| Klingenkern | Kratzer, einfach; Stichel, einfach | 1 | 20,00 |
| Lamellenkern | Kratzer, einfach | 1 | 20,00 |
| | Kratzer, Hoch-/ Kiel- | 1 | 20,00 |
| Gesamt | | 5 | 100,00 |

Tab. 14.3. Kostenki 17, Schicht I. Formale Geräte mit Kernfunktion

| Kostenki 17, Level II | Geräte mit Kernfunktion | N | % |
|----------------------------------|---|----------|----------|
| Lamellenkern | Stichel, einfach | 2 | 8,70 |
| | Stichel, Kiel- | 1 | 4,35 |
| | Doppel-Kielstichel | 1 | 4,35 |
| | Stichel, Bogen- | 1 | 4,35 |
| | Stichel, an Endretusche | 13 | 56,52 |
| | Stichel, an Endretusche; lateral retuschiert, einfach | 2 | 8,70 |
| | Stichel, einfach; Stichel an Endretusche | 1 | 4,35 |
| | Stichel an Bruchfläche; lateral retuschiert, einfach | 1 | 4,35 |
| | Dihedralstichel; lateral retuschiert, einfach | 1 | 4,35 |
| Gesamt | | 23 | 100,00 |

Tab. 14.4. Kostenki 17, Schicht II. Formale Geräte mit Kernfunktion.

| Kostenki 17, Level I - Grundformen (inklusive formalen Geräten & Kernen) | Grundform | N | % | N | % |
|---|--------------------------------------|----------|----------|----------|----------|
| Abschlag | Abschlag, einfach | 11 | 26,19 | 12 | 28,57 |
| | Präparationsabschlag, Kernkantenrest | 1 | 2,38 | | |
| Klinge | Klinge, einfach | 15 | 35,71 | 15 | 35,71 |
| Lamelle / Microblade | Lamelle, einfach | 3 | 7,14 | 4 | 9,52 |
| | Lamelle, Stichel- | 1 | 2,38 | | |
| Sonstiges | nicht erkennbar | 6 | 14,29 | 11 | 26,19 |
| | keine Angabe/Kern | 5 | 11,90 | | |
| Gesamt | | 42 | 100,00 | 42 | 100 |

Tab. 14.5. Kostenki 17, Schicht I. Grundformen.

| Kostenki 17, Level II - Grundformen (inklusive formalen Geräten & Kernen) | Grundform | N | % | N | % |
|--|--------------------------------------|----------|----------|----------|----------|
| Abschlag | Abschlag, einfach | 16 | 10,32 | 18 | 11,61 |
| | Präparationsabschlag, Kernkante | 1 | 0,65 | | |
| | Präparationsabschlag, Kernkantenrest | 1 | 0,65 | | |
| Klinge | Klinge, einfach | 70 | 45,16 | 89 | 57,42 |
| | Klinge, Kernkante | 9 | 5,81 | | |
| | Klinge, Kernkantenrest | 7 | 4,52 | | |
| | Klinge, Kortexkante | 3 | 1,94 | | |
| Sonstiges | Stichelabfall | 2 | 1,29 | 48 | 30,97 |
| | nicht erkennbar | 43 | 27,74 | | |
| | keine Angabe/Kern | 3 | 1,94 | | |
| Gesamt | | 155 | 100,00 | 191 | 100 |

Tab. 14.6. Kostenki 17, Schicht II. Grundformen.

| Kostenki 17, Schicht I: formale Geräte | Gerät | N | % | N | % |
|--|---|----|--------|----|--------|
| Funktionsende | Kratzer, einfach | 7 | 24,14 | 8 | 27,59 |
| | Kratzer, Hoch-/ Kiel- | 1 | 3,45 | | |
| Stichel | Stichel, einfach | 1 | 3,45 | 2 | 6,90 |
| | Stichel, an Bruchfläche | 1 | 3,45 | | |
| Arbeitskante | lateral retuschiert, einfach | 9 | 31,03 | 14 | 48,28 |
| | lateral retuschiert, beidseitig | 5 | 17,24 | | |
| Mikrolith | Spitze, Font-Yves- | 1 | 3,45 | 1 | 3,45 |
| sonstiges | ausgesplittertes Stück | 1 | 3,45 | 1 | 3,45 |
| Funktionsende / Arbeitskante | Kratzer, lateral retuschiert | 1 | 3,45 | 2 | 6,90 |
| | Kratzer, einfach; lateral retuschiert, beidseitig | 1 | 3,45 | | |
| Funktionsende / Stichel | Kratzer, einfach; Stichel, einfach | 1 | 3,45 | 1 | 3,45 |
| Gesamt | | 29 | 100,00 | 29 | 100,00 |

Tab. 14.7. Kostenki 17, Schicht I. Formale Geräte, darunter auch Stücke mit Kernfunktion.

| Kostenki 17, Schicht II: formale Geräte | Gerät | N | % | Ge2 |
|---|---|----|--------|-----|
| Funktionsende | Kratzer, einfach | 10 | 12,35 | 1 |
| Stichel | Stichel, einfach | 8 | 9,88 | |
| | Stichel, Kiel- | 2 | 2,47 | |
| | Stichel, Bogen- | 1 | 1,23 | |
| | Stichel, Mehrschlag- (dihedral) | 6 | 7,41 | 1 |
| | Stichel an Endretusche | 7 | 8,64 | |
| | Stichel, an Bruchfläche | 7 | 8,64 | |
| Arbeitskante | lateral retuschiert, einfach | 5 | 6,17 | 2 |
| | lateral retuschiert, beidseitig | 5 | 6,17 | 2 |
| | lateral retuschiert, umlaufend | 1 | 1,23 | |
| | unifazielle Spitze, Doppel-/Kratzer | 1 | 1,23 | |
| | Spitze, Spitzklinge | 1 | 1,23 | |
| sonstiges | Ge2 | 3 | 3,70 | |
| Funktionsende / Arbeitskante | Kratzer, einfach; lateral retuschiert, einfach | 1 | 1,23 | |
| | Endretusche, gerade; lateral retuschiert, einfach | 1 | 1,23 | |
| Kratzer / Stichel | Kratzer, einfach; Stichel, Mehrschlag- (dihedral) | 1 | 1,23 | |
| | Kratzer, einfach; Stichel, an Bruchfläche; lateral retuschiert, beidseitig | 1 | 1,23 | |
| Arbeitskante kombiniert | lateral retuschiert, beidseitig; lateral retuschiert, gekerbtes Stück | 1 | 1,23 | |
| Stichel kombiniert | Doppelstichel: einfach & an Endretusche | 2 | 2,47 | |
| | Stichel, an Endretusche; Stichel, Mehrschlag- (dihedral) | 1 | 1,23 | |
| Stichel / Arbeitskante | Stichel, einfach; lateral retuschiert, einfach | 2 | 2,47 | |
| | Stichel, Mehrschlag- (dihedral); lateral retuschiert, einfach | 1 | 1,23 | |
| | Stichel, an Endretusche; Bohrer; lateral retuschiert, einfach | 1 | 1,23 | |
| | Stichel, an Endretusche; lateral retuschiert, einfach | 8 | 9,88 | |
| | Stichel, an Endretusche; lateral retuschiert, einfach; lateral retuschiert, gekerbt | 1 | 1,23 | |
| | Stichel, an Endretusche; lateral retuschiert, gezähntes Stück | 1 | 1,23 | |
| | Stichel, an Bruchfläche; lateral retuschiert, einfach | 2 | 2,47 | |
| Gesamt | | 81 | 100,00 | 6 |

Tab. 14.8. Kostenki 17, Schicht II. Formale Geräte, darunter auch Stücke mit Kernfunktion.

| Kostenki 17, Schicht I: modifizierte Grundformen | N | % |
|---|----------|----------|
| Abschlag, einfach | 9 | 31,03 |
| Präparationsabschlag, Kernkantenrest | 1 | 3,45 |
| Klinge, einfach | 12 | 41,38 |
| Lamelle, einfach | 1 | 3,45 |
| Lamelle, Stichel | 1 | 3,45 |
| nicht erkennbar | 5 | 17,24 |
| Gesamt | 29 | 100,00 |

Tab. 14.9. Kostenki 17, Schicht I. Modifizierte Grundformen.

| Kostenki 17, Schicht II: modifizierte Grundformen | N | % |
|--|----------|----------|
| Abschlag, einfach | 15 | 11,19 |
| Präparationsabschlag, Kernkante | 1 | 0,75 |
| Präparationsabschlag, Kernkantenrest | 1 | 0,75 |
| Klinge, einfach | 70 | 52,24 |
| Klinge, Kernkante | 8 | 5,97 |
| Klinge, Kernkantenrest | 7 | 5,22 |
| Klinge, Kortexkante | 3 | 2,24 |
| nicht erkennbar | 29 | 21,64 |
| Gesamt | 134 | 100,00 |

Tab. 14.10. Kostenki 17, Schicht II. Modifizierte Grundformen.

| Kostenki 17, Schicht II: Winkel der Arbeitskanten | N | % |
|--|----------|----------|
| flach | 15 | 11,19 |
| halbsteil | 45 | 33,58 |
| steil | 35 | 26,12 |
| flach, halbsteil | 7 | 5,22 |
| flach, steil | 1 | 0,75 |
| halbsteil, steil | 4 | 2,99 |
| keine Angabe / sonstiges | 27 | 20,15 |
| Gesamt / alle Artefakte | 134 | 100,00 |

Tab. 14.11. Kostenki 17, Schicht II. Formale Geräte. Winkel der Arbeitskanten.

| Kostenki 17, Schicht II: retuschierte Flächen | N | % |
|--|----------|----------|
| dorsal | 99 | 73,88 |
| ventral | 2 | 1,49 |
| dorsal/ventral | 5 | 3,73 |
| sonstiges | 28 | 20,90 |
| Gesamt | 134 | 100,00 |

Tab. 14.12. Kostenki 17, Schicht II. Formale Geräte. Retuschierte Flächen.

| Kostenki 17, Schicht II: retuschierte Kanten | N | % |
|---|----------|----------|
| distal | 28 | 20,90 |
| links lateral | 16 | 11,94 |
| basal | 19 | 14,18 |
| rechts lateral | 11 | 8,21 |
| distal, links lateral | 3 | 2,24 |
| distal, links lateral, basal | 1 | 0,75 |
| distal, links lateral, basal, rechts lateral | 2 | 1,49 |
| distal, links lateral, rechts lateral | 5 | 3,73 |
| distal, basal | 6 | 4,48 |
| distal, rechts lateral | 6 | 4,48 |
| basal, links lateral | 2 | 1,49 |
| links lateral, rechts lateral | 11 | 8,21 |
| keine Angabe / sonstiges | 24 | 17,91 |
| Gesamt / alle Artefakte | 134 | 100,00 |

Tab. 14.13. Kostenki 17, Schicht II. Formale Geräte. Position der modifizierten Kanten.

| Kostenki 17, Fundschicht I: Profil | N | % | N | % |
|---|----------|----------|----------|----------|
| gerade | 16 | 38,10 | 16 | 44,44 |
| gebogen | 14 | 33,33 | 14 | 38,89 |
| tordiert | 2 | 4,76 | 2 | 5,56 |
| sonstiges | 4 | 9,52 | 4 | 11,11 |
| Kern | 6 | 14,29 | | 0,00 |
| Gesamt / Grundformen | 42 | 100,00 | 36 | 100,00 |

Tab. 14.14. Kostenki 17, Schicht I. Profile untersuchter Grundformen.

| Kostenki 17, Fundschicht II: Profil | N | % | N | % |
|--|----------|----------|----------|----------|
| gerade | 46 | 30,87 | 46 | 33,09 |
| gebogen | 75 | 50,34 | 75 | 53,96 |
| tordiert | 1 | 0,67 | 1 | 0,72 |
| sonstiges | 17 | 11,41 | 17 | 12,23 |
| Kern | 10 | 6,71 | | 0,00 |
| Gesamt / Grundformen | 149 | 100,00 | 139 | 100,00 |

Tab. 14.15. Kostenki 17, Schicht II. Profile untersuchter Grundformen.

| Kostenki 17, Fundschicht II: Profil - Merkmalsausprägungen | N | % | N | % |
|---|----------|----------|----------|----------|
| gerade | 46 | 30,87 | 46 | 33,09 |
| gebogen | 1 | 0,67 | 1 | 0,72 |
| stark gebogen | 37 | 24,83 | 37 | 26,62 |
| schwach gebogen | 37 | 24,83 | 37 | 26,62 |
| tordiert | 1 | 0,67 | 1 | 0,72 |
| sonstiges | 17 | 11,41 | 17 | 12,23 |
| Kern | 10 | 6,71 | | 0,00 |
| Gesamt / Grundformen | 149 | 100,00 | 139 | 100,00 |

Tab. 14.16. Kostenki 17, Schicht II. Ausprägungen des Merkmals Grundformprofil.

| Kostenki 17/II: Profil - Klingen | N | % |
|---|----------|----------|
| gerade | 28 | 31,46 |
| gebogen | 58 | 65,17 |
| tordiert | 0 | 0,00 |
| sonstiges | 3 | 3,37 |
| Gesamt / Klingen | 89 | 100,00 |

Tab. 14.17. Kostenki 17, Schicht II. Profile untersuchter Klingen.

| Kostenki 17, Fundschicht II: Profil - Klingen (Merkmalsausprägungen) | N | % |
|---|----------|----------|
| gerade | 28 | 31,46 |
| gebogen | 1 | 1,12 |
| stark gebogen | 27 | 30,34 |
| schwach gebogen | 30 | 33,71 |
| tordiert | 0 | 0,00 |
| sonstiges | 3 | 3,37 |
| Gesamt / Klingen | 89 | 100,00 |

Tab. 14.18. Kostenki 17, Schicht II. Ausprägungen des Merkmals Profil der untersuchten Klingen.

| Kostenki 17, Fundschicht I: Profil - Merkmalsausprägungen | N | % | N | % |
|--|----------|----------|----------|----------|
| gerade | 16 | 38,10 | 16 | 44,44 |
| gebogen | 0 | 0,00 | 0 | 0,00 |
| stark gebogen | 6 | 14,29 | 6 | 16,67 |
| schwach gebogen | 8 | 19,05 | 8 | 22,22 |
| axial tordiert | 2 | 4,76 | 2 | 5,56 |
| sonstiges | 4 | 9,52 | 4 | 11,11 |
| Kern | 6 | 14,29 | | 0,00 |
| Gesamt / Grundformen | 42 | 100,00 | 36 | 100,00 |

Tab. 14.19. Kostenki 17, Schicht I. Ausprägungen des Merkmals Profil der untersuchten Grundformen.

| Kostenki 17, Fundschicht I: Profil - Klingen | N | % |
|---|----------|----------|
| gerade | 5 | 33,33 |
| gebogen | 8 | 53,33 |
| tordiert | 1 | 6,67 |
| sonstiges | 1 | 6,67 |
| Gesamt/Klingen/obere Schicht | 15 | 100,00 |

Tab. 14.20. Kostenki 17, Schicht I. Profile der untersuchten Klingen.

| Kostenki 17, Fundschicht I: Profil - Lamellen | N | % |
|--|----------|----------|
| gerade | 3 | 75,00 |
| gebogen | 0 | 0,00 |
| tordiert | 1 | 25,00 |
| Gesamt/Lamellen | 4 | 100,00 |

Tab. 14.21. Kostenki 17, Schicht I. Profile der untersuchten Lamellen.

| Kostenki 17, Fundschicht I: Profil - Klingen (Merkmalsausprägungen) | N | % |
|--|----------|----------|
| gerade | 5 | 33,33 |
| stark gebogen | 5 | 33,33 |
| schwach gebogen | 3 | 20,00 |
| axial tordiert | 1 | 6,67 |
| sonstiges | 1 | 6,67 |
| Gesamt / Klingen | 15 | 100,00 |

Tab. 14.22. Kostenki 17, Schicht I. Ausprägungen des Merkmals Profil der untersuchten Klingen.

| Kostenki 17, Fundschicht I: Schlagflächenrest | N | % | N | % |
|--|----------|----------|----------|----------|
| ohne | 19 | 45,24 | | |
| facettiert | 5 | 11,90 | 5 | 21,74 |
| glatt | 9 | 21,43 | 9 | 39,13 |
| Kortex | 0 | 0,00 | 0 | 0,00 |
| Kluft | 1 | 2,38 | 1 | 4,35 |
| gesplittert | 0 | 0,00 | 0 | 0,00 |
| punktförmig | 1 | 2,38 | 1 | 4,35 |
| geknickt | 0 | 0,00 | 0 | 0,00 |
| gratförmig | 1 | 2,38 | 1 | 4,35 |
| Bruch | 0 | 0,00 | 0 | 0,00 |
| sonstiges | 6 | 14,29 | 6 | 26,09 |
| Gesamt / Grundformen | 42 | 100,00 | 23 | 100,00 |

Tab. 14.23. Kostenki 17, Schicht I. Schlagflächenreste der untersuchten Grundformen.

| Kostenki 17, Fundschicht II: Schlagflächenrest | N | % | N | % |
|---|----------|----------|----------|----------|
| ohne | 62 | 41,61 | | |
| facettiert | 7 | 4,70 | 7 | 8,05 |
| glatt | 6 | 4,03 | 6 | 6,90 |
| Kortex | 1 | 0,67 | 1 | 1,15 |
| Kluft | 0 | 0,00 | 0 | 0,00 |
| gesplittert | 2 | 1,34 | 2 | 2,30 |
| punktförmig | 0 | 0,00 | 0 | 0,00 |
| geknickt | 2 | 1,34 | 2 | 2,30 |
| gratförmig | 0 | 0,00 | 0 | 0,00 |
| Bruch | 1 | 0,67 | 1 | 1,15 |
| sonstiges | 68 | 45,64 | 68 | 78,16 |
| Gesamt / Grundformen | 149 | 100,00 | 87 | 100,00 |

Tab. 14.24. Kostenki 17, Schicht II. Schlagflächenreste der untersuchten Grundformen.

| Kostenki 17, Fundschicht I: Bulbus | N | % |
|---|----------|----------|
| mit Bulbus | 7 | 46,67 |
| ohne Bulbus | 1 | 6,67 |
| Bulbus ausgesplittert | 0 | 0,00 |
| nicht erkennbar | 7 | 46,67 |
| Gesamt / Grundformen | 15 | 100 |

Tab. 14.25. Kostenki 17, Schicht I. Bulben der untersuchten Grundformen.

| Kostenki 17, Fundschicht II: Bulbus | N | % |
|--|----------|----------|
| mit Bulbus | 11 | 12,36 |
| ohne Bulbus | 4 | 4,49 |
| Bulbus ausgesplittert | 0 | 0,00 |
| nicht erkennbar | 74 | 83,15 |
| Gesamt / Grundformen | 89 | 100 |

Tab. 14.26. Kostenki 17, Schicht II. Bulben der untersuchten Grundformen.

| Kostenki 17, Fundschicht I: Schlaglippe | N | % |
|--|----------|----------|
| mit Lippe | 8 | 22,22 |
| ohne Lippe | 8 | 22,22 |
| sonstiges | 20 | 55,56 |
| Gesamt | 36 | 100,00 |

Tab. 14.27. Kostenki 17, Schicht I. Schlaglippen der untersuchten Grundformen.

| Kostenki 17, Fundschicht II: Schlaglippe | N | % |
|---|----------|----------|
| mit Lippe | 11 | 7,86 |
| ohne Lippe | 9 | 6,43 |
| sonstiges | 120 | 85,71 |
| Gesamt | 140 | 100,00 |

Tab. 14.28. Kostenki 17, Schicht II. Schlaglippen der untersuchten Grundformen.

| Kostenki 17, Fundschicht I: Rohmaterial | N | % |
|--|----------|----------|
| Feuerstein | 35 | 74,47 |
| Quarz | 6 | 12,77 |
| Quarzit | 1 | 2,13 |
| Sonstiges | 4 | 8,51 |
| keine Angabe | 1 | 2,13 |
| Gesamt | 47 | 100,00 |

Tab. 14.29. Kostenki 17, Schicht I. Rohmaterial-Varietäten.

| Kostenki 17, Fundschicht II: Rohmaterial | N | % |
|---|----------|----------|
| Feuerstein | 148 | 99,33 |
| keine Angabe | 1 | 0,67 |
| Gesamt | 149 | 100,00 |

Tab. 14.30. Kostenki 17, Schicht II. Rohmaterial-Varietäten.

| Kostenki 17, Fundschicht I: Rohmaterial, Struktur | N | % |
|--|----------|----------|
| mikrokristallin | 30 | 63,83 |
| feinkristallin | 7 | 14,89 |
| grobkristallin | 9 | 19,15 |
| keine Angabe | 1 | 2,13 |
| Gesamt | 47 | 100,00 |

Tab. 14.31. Kostenki 17, Schicht I. Rohmaterialqualität.

| Kostenki 17, Fundschicht II: Rohmaterial, Struktur | N | % |
|---|----------|----------|
| mikrokristallin | 139 | 93,29 |
| feinkristallin | 7 | 4,70 |
| grobkristallin | 0 | 0,00 |
| keine Angabe | 3 | 2,01 |
| Gesamt | 149 | 100,00 |

Tab. 14.32. Kostenki 17, Schicht II. Rohmaterialqualität.

| Gerätekatgorie | Kostenki 12/IV | | Kostenki 14/IVb1-2 | | Kostenki 14/GG | | Kostenki 14/IVa | | Kostenki 14/IV | | Kostenki 17/II | |
|---|----------------|-------|--------------------|-------|----------------|----|-----------------|-------|----------------|-------|----------------|-------|
| | N | % | N | % | N | % | N | % | N | % | N | % |
| Blattspitze | 0 | 0 | 2 | 1,28 | 0 | 0 | 0 | 0 | 0 | 0 | 0 | 0 |
| jungpaläolithische Geräteform | 3 | 42,86 | 107 | 68,15 | 1 | 50 | 10 | 90,91 | 110 | 68,75 | 153 | 93,87 |
| mittelpaläolithische Geräteform | 2 | 28,57 | 13 | 8,28 | 1 | 50 | 0 | 0 | 6 | 3,75 | 0 | 0 |
| neutrale Geräteform & Gebrauchsretusche | 2 | 28,57 | 35 | 22,29 | 0 | 0 | 1 | 9,09 | 44 | 27,5 | 10 | 6,13 |

Tab. 35.1. Gerätekategorien der untersuchten Inventare. Blattspitzen, jungpaläolithische & mittelpaläolithische sowie kulturell neutrale Gerätekategorien.

| Gerätekatgorie | Siuren1/H | | Siuren1/Gd | | Siuren1/Gc1-2 | | Siuren1/Gb1-2 | | Siuren1/Ga | | Siuren1/Fb1-2 | | Siuren1/Fa1-2 | | Siuren1/Fa3 | |
|---|-----------|-------|------------|-------|---------------|-------|---------------|-------|------------|-------|---------------|-------|---------------|-------|-------------|-------|
| | N | % | N | % | N | % | N | % | N | % | N | % | N | % | N | % |
| Blattspitze | 0 | 0 | 0 | 0 | 0 | 0 | 0 | 0 | 0 | 0 | 0 | 0 | 0 | 0 | 0 | 0 |
| jungpaläolithische Geräteform | 56 | 80 | 57 | 91,94 | 162 | 76,78 | 60 | 80 | 15 | 88,24 | 110 | 73,33 | 8 | 88,89 | 10 | 45,45 |
| mittelpaläolithische Geräteform | 3 | 4,29 | 3 | 4,84 | 12 | 5,69 | 3 | 3,99 | 0 | 0 | 0 | 0 | 0 | 0 | 0 | 0 |
| neutrale Geräteform & Gebrauchsretusche | 11 | 15,71 | 2 | 3,22 | 37 | 17,54 | 12 | 16,01 | 2 | 11,76 | 40 | 26,67 | 1 | 11,11 | 12 | 54,55 |

Tab. 15.2. Gerätekategorien der untersuchten Inventare. Blattspitzen, jungpaläolithische & mittelpaläolithische sowie kulturell neutrale Gerätekategorien.

| Gerätekatgorie | Kostenki 12/III | | Kostenki 12/IIa | | Kostenki 6 | | Buran-Kaya III/C | | Buran-Kaya III/D | | Buran-Kaya III/E | | Kostenki 14/II | |
|---|-----------------|-------|-----------------|-------|------------|-------|------------------|-------|------------------|-------|------------------|-------|----------------|-------|
| | N | % | N | % | N | % | N | % | N | % | N | % | N | % |
| Blattspitze | 14 | 8,33 | 3 | 60,00 | 4 | 80,00 | 13 | 13,40 | 0 | 0,00 | 0 | 0,00 | 0 | 0,00 |
| jungpaläolithische Geräteform | 29 | 17,26 | 0 | 0,00 | 0 | 0,00 | 40 | 41,24 | 7 | 30,43 | 10 | 17,24 | 141 | 48,79 |
| mittelpaläolithische Geräteform | 55 | 32,74 | 2 | 40,00 | 1 | 20,00 | 29 | 29,90 | 0 | 0,00 | 1 | 1,72 | 46 | 15,92 |
| neutrale Geräteform & Gebrauchsretusche | 58 | 41,67 | 0 | 0,00 | 0 | 0,00 | 15 | 15,46 | 16 | 69,57 | 47 | 81,03 | 102 | 35,29 |

Tab. 15.3. Gerätekategorien der untersuchten Inventare. Blattspitzen, jungpaläolithische & mittelpaläolithische sowie kulturell neutrale Gerätekategorien.

| Grundformkategorie | Kostenki 12/III (%) | Buran-Kaya III/C (%) | Kostenki 12/Ia (%) | Kostenki 6 (%) |
|--------------------|---------------------|----------------------|--------------------|----------------|
| Abschlag | 40,3 | 72,67 | 33,33 | 14,29 |
| Klinge | 11,41 | 4,36 | 33,33 | 0 |
| Lamelle/Microblade | 1,9 | 3,78 | 0 | 0 |
| sonstiges | 46,39 | 19,19 | 33,33 | 85,71 |

Tab. 18. Blattspitzeninventare. Grundformkategorien. Angaben in Prozent.

| modifizierte Grundform | Kostenki 12/III | Buran-Kaya III/C | Kostenki 12/Ia | Kostenki 6 |
|------------------------|-----------------|------------------|----------------|------------|
| Abschlag | 38,1 | 45,36 | 40 | 14,29 |
| Klinge | 8,33 | 1,03 | 0 | 0 |
| Lamelle/Microblade | 0,6 | 0 | 0 | 0 |
| sonstiges | 52,98 | 53,61 | 60 | 85,71 |

Tab. 18.1. Blattspitzeninventare. Modifizierte Grundformen. Angaben in Prozent.

| Modifikationsmodus | Kostenki 12/III | Buran-Kaya III/C | Kostenki 12/Ia | Kostenki 6 |
|--------------------|-----------------|------------------|----------------|------------|
| einfach | 58,33 | 46,39 | 20,00 | 28,57 |
| unifaziell | 10,12 | 4,12 | 20,00 | 0,00 |
| bifaziell | 28,57 | 47,42 | 60,00 | 71,43 |
| Gesamt | 100,00 | 100,00 | 100,00 | 100,00 |

Tab. 18.2. Blattspitzeninventare. Modifikationsmodus. Angaben in Prozent.

| einfache Geräte: Retusche - Fläche | <i>Kostenki 12/III</i> | | <i>Buran-Kaya III/C</i> | | <i>Kostenki 12/IIa</i> | | <i>Kostenki 6</i> | |
|--|------------------------|---------------|-------------------------|---------------|------------------------|----------|-------------------|----------|
| | N | % | N | % | N | % | N | % |
| dorsal | 65 | 67,01 | 28 | 62,22 | 1 | 100 | 0 | 0 |
| ventral | 1 | 1,03 | 3 | 6,67 | 0 | 0 | 0 | 0 |
| dorsal/ventral | 20 | 20,62 | 9 | 20,00 | 0 | 0 | 0 | 0 |
| nicht erkennbar | 11 | 11,34 | 5 | 11,11 | 0 | 0 | 0 | 0 |
| Gesamt | 97 | 100,00 | 45 | 100,00 | 1 | 0 | 0 | 0 |
| | | | | | | | | |
| unifazielle Geräte: Retusche - Fläche | <i>Kostenki 12/III</i> | | <i>Buran-Kaya III/C</i> | | <i>Kostenki 12/IIa</i> | | <i>Kostenki 6</i> | |
| | N | % | N | % | N | % | N | % |
| dorsal | 15 | 88,24 | 3 | 75 | 0 | 0 | 0 | 0 |
| ventral | 0 | 0,00 | 0 | 0 | 0 | 0 | 0 | 0 |
| dorsal/ventral | 2 | 11,76 | 1 | 25 | 0 | 0 | 0 | 0 |
| Gesamt | 17 | 100,00 | 4 | 100 | 0 | 0 | 0 | 0 |
| | | | | | | | | |
| bifazielle Geräte: Retusche - Fläche | <i>Kostenki 12/III</i> | | <i>Buran-Kaya III/C</i> | | <i>Kostenki 12/IIa</i> | | <i>Kostenki 6</i> | |
| | N | % | N | % | N | % | N | % |
| Oberseite | 8 | 16,33 | 9 | 19,57 | 0 | | 0 | |
| Unterseite | 0 | 0,00 | 1 | 2,17 | 0 | | 0 | |
| Oberseite/Unterseite | 40 | 81,63 | 34 | 73,91 | 3 | | 5 | |
| nicht erkennbar | 1 | 2,04 | 2 | 4,35 | 0 | | 0 | |
| Gesamt | 49 | 100,00 | 46 | 100,00 | 3 | | 5 | |
| | | | | | | | | |
| alle Geräte: Retusche - Fläche | <i>Kostenki 12/III</i> | | <i>Buran-Kaya III/C</i> | | <i>Kostenki 12/IIa</i> | | <i>Kostenki 6</i> | |
| | N | % | N | % | N | % | N | % |
| dorsal | 88 | 53,99 | 40 | 42,11 | 1 | | 0 | 0 |
| ventral | 1 | 0,61 | 4 | 4,21 | 0 | | 0 | 0 |
| dorsal/ventral | 62 | 38,04 | 44 | 46,32 | 3 | | 5 | 0 |
| nicht erkennbar | 12 | 7,36 | 7 | 7,37 | 0 | | 0 | 0 |
| Gesamt | 163 | 100,00 | 95 | 100,00 | 4 | | 5 | 0 |

Tab. 18.3. Blattspitzeninventare. Retuschierte Flächen.

| einfache Geräte: Retusche - Kanten | Kostenki 12/III | | Buran-Kaya III/C | | Kostenki 12/1a | | Kostenki 6 | |
|--|-----------------|--------|------------------|--------|----------------|-----|------------|-----|
| | N | % | N | % | N | % | N | % |
| distal | 10 | 10,31 | 9 | 20,00 | 0 | 0 | 0 | 0 |
| links lateral | 11 | 11,34 | 5 | 11,11 | 0 | 0 | 0 | 0 |
| basal | 0 | 0,00 | 5 | 11,11 | 0 | 0 | 0 | 0 |
| rechts lateral | 12 | 12,37 | 3 | 6,67 | 0 | 0 | 0 | 0 |
| distal, links lateral | 8 | 8,25 | 1 | 2,22 | 0 | 0 | 0 | 0 |
| distal, links lateral, basal | 0 | 0,00 | 1 | 2,22 | 0 | 0 | 0 | 0 |
| distal, links lateral, basal, rechts lateral | 2 | 2,06 | 0 | 0,00 | 0 | 0 | 1 | 50 |
| distal, links lateral, rechts lateral | 6 | 6,19 | 3 | 6,67 | 0 | 0 | 0 | 0 |
| distal, rechts lateral | 2 | 2,06 | 4 | 8,89 | 0 | 0 | 0 | 0 |
| distal, basal | 2 | 2,06 | 2 | 4,44 | 0 | 0 | 0 | 0 |
| distal, basal, rechts lateral | 1 | 1,03 | 2 | 4,44 | 0 | 0 | 0 | 0 |
| links lateral, basal | 0 | 0,00 | 2 | 4,44 | 0 | 0 | 0 | 0 |
| links lateral, basal, rechts lateral | 0 | 0,00 | 1 | 2,22 | 0 | 0 | 1 | 50 |
| links lateral, rechts lateral | 9 | 9,28 | 2 | 4,44 | 1 | 1 | 0 | 0 |
| nicht erkennbar | 34 | 35,05 | 5 | 11,11 | 0 | 0 | 0 | 0 |
| Gesamt | 97 | 100,00 | 45 | 100,00 | 1 | 100 | 2 | 100 |

| unifazielle Geräte: Retusche - Kanten | Kostenki 12/III | | Buran-Kaya III/C | | Kostenki 12/1a | | Kostenki 6 | |
|--|-----------------|--------|------------------|--------|----------------|---|------------|---|
| | N | % | N | % | N | % | N | % |
| distal | 1 | 5,56 | 0 | 0,00 | 0 | 0 | 0 | 0 |
| links lateral | 1 | 5,56 | 0 | 0,00 | 0 | 0 | 0 | 0 |
| basal | 0 | 0,00 | 0 | 0,00 | 0 | 0 | 0 | 0 |
| rechts lateral | 2 | 11,11 | 0 | 0,00 | 0 | 0 | 0 | 0 |
| distal, links lateral | 1 | 5,56 | 0 | 0,00 | 0 | 0 | 0 | 0 |
| distal, links lateral, basal, rechts lateral | 3 | 16,67 | 0 | 0,00 | 0 | 0 | 0 | 0 |
| distal, links lateral, rechts lateral | 4 | 22,22 | 0 | 0,00 | 0 | 0 | 0 | 0 |
| distal, rechts lateral | 2 | 11,11 | 0 | 0,00 | 0 | 0 | 0 | 0 |
| distal, basal, rechts lateral | 0 | 0,00 | 1 | 25,00 | 0 | 0 | 0 | 0 |
| links lateral, rechts lateral | 3 | 16,67 | 2 | 50,00 | 0 | 0 | 0 | 0 |
| nicht erkennbar | 1 | 5,56 | 1 | 25,00 | 0 | 0 | 0 | 0 |
| Gesamt | 18 | 100,00 | 4 | 100,00 | 0 | 0 | 0 | 0 |

| bifazielle Geräte: Retusche - Kanten | Kostenki 12/III | | Buran-Kaya III/C | | Kostenki 12/1a | | Kostenki 6 | |
|--|-----------------|--------|------------------|--------|----------------|--------|------------|--------|
| | N | % | N | % | N | % | N | % |
| distal | 0 | 0,00 | 1 | 2,17 | | 0,00 | | 0,00 |
| links lateral | 4 | 8,16 | 4 | 8,70 | | 0,00 | | 0,00 |
| basal | 0 | 0,00 | 1 | 2,17 | | 0,00 | | 0,00 |
| rechts lateral | 1 | 2,04 | 3 | 6,52 | | 0,00 | | 0,00 |
| distal, links lateral | 0 | 0,00 | 1 | 2,17 | | 0,00 | | 0,00 |
| distal, links lateral, basal | 1 | 2,04 | 2 | 4,35 | | 0,00 | | 0,00 |
| distal, links lateral, basal, rechts lateral | 4 | 8,16 | 1 | 2,17 | 1 | 33,33 | 4 | 66,67 |
| distal, links lateral, rechts lateral | 14 | 28,57 | 10 | 21,74 | 1 | 33,33 | | 0,00 |
| distal, basal, rechts lateral | 1 | 2,04 | 0 | 0,00 | | 0,00 | | 0,00 |
| distal, basal | | 0,00 | 1 | 2,17 | | 0,00 | | 0,00 |
| distal, rechts lateral | 2 | 4,08 | 1 | 2,17 | | 0,00 | | 0,00 |
| links lateral, basal, rechts lateral | 2 | 4,08 | 2 | 4,35 | | 0,00 | 2 | 33,33 |
| links lateral, rechts lateral | 12 | 24,49 | 9 | 19,57 | 1 | 33,33 | | 0,00 |
| nicht erkennbar | 8 | 16,33 | 10 | 21,74 | | 0,00 | | 0,00 |
| Gesamt | 49 | 100,00 | 46 | 100,00 | 3 | 100,00 | 6 | 100,00 |

Tab. 18.4. Blattspitzeninventare. Retuschierte Kanten.

| | <i>Kostenki 12/III</i> | | <i>Buran-Kaya III/C</i> | | <i>Kostenki 12/Ia</i> | | <i>Kostenki 6</i> | |
|--|------------------------|---------------|-------------------------|---------------|-----------------------|---------------|-------------------|---------------|
| einfache Geräte: Retusche - Winkel | N | % | N | % | N | % | N | % |
| flach | 32 | 32,99 | 5 | 11,11 | 0 | 0,00 | 2 | 100,00 |
| halbsteil | 34 | 35,05 | 21 | 46,67 | 1 | 100,00 | 0 | 0,00 |
| steil | 12 | 12,37 | 11 | 24,44 | 0 | 0,00 | 0 | 0,00 |
| flach, halbsteil | 9 | 9,28 | 3 | 6,67 | 0 | 0,00 | 0 | 0,00 |
| flach, steil | 3 | 3,09 | 0 | 0,00 | 0 | 0,00 | 0 | 0,00 |
| halbsteil, steil | 4 | 4,12 | 2 | 4,44 | 0 | 0,00 | 0 | 0,00 |
| nicht erkennbar | 3 | 3,09 | 3 | 6,67 | 0 | 0,00 | 0 | 0,00 |
| Gesamt | 97 | 100,00 | 45 | 100,00 | 1 | 100,00 | 2 | 100,00 |
| | | | | | | | | |
| | <i>Kostenki 12/III</i> | | <i>Buran-Kaya III/C</i> | | <i>Kostenki 12/Ia</i> | | <i>Kostenki 6</i> | |
| unifazielle Geräte: Retusche - Winkel | N | % | N | % | N | % | N | % |
| flach | 4 | 22,22 | 0 | 0,00 | 0 | 0,00 | 1 | 100,00 |
| halbsteil | 5 | 27,78 | 4 | 100,00 | 1 | 100,00 | 0 | 0,00 |
| steil | 1 | 5,56 | 0 | 0,00 | 0 | 0,00 | 0 | 0,00 |
| flach, halbsteil | 2 | 11,11 | 0 | 0,00 | 0 | 0,00 | 0 | 0,00 |
| flach, steil | 1 | 5,56 | 0 | 0,00 | 0 | 0,00 | 0 | 0,00 |
| halbsteil, steil | 5 | 27,78 | 0 | 0,00 | 0 | 0,00 | 0 | 0,00 |
| nicht erkennbar | 0 | 0,00 | 0 | 0,00 | 0 | 0,00 | 0 | 0,00 |
| Gesamt | 18 | 100,00 | 4 | 100,00 | 1 | 100,00 | 1 | 100,00 |
| | | | | | | | | |
| | <i>Kostenki 12/III</i> | | <i>Buran-Kaya III/C</i> | | <i>Kostenki 12/Ia</i> | | <i>Kostenki 6</i> | |
| bifazielle Geräte: Retusche - Winkel | N | % | N | % | N | % | N | % |
| flach | 19 | 38,78 | 18 | 39,13 | 1 | 25,00 | 5 | 100,00 |
| halbsteil | 7 | 14,29 | 14 | 30,43 | 1 | 25,00 | 0 | 0,00 |
| steil | 0 | 0,00 | 0 | 0,00 | 0 | 0,00 | 0 | 0,00 |
| flach, halbsteil | 20 | 40,82 | 11 | 23,91 | 2 | 50,00 | 0 | 0,00 |
| flach, halbsteil, steil | 1 | 2,04 | 0 | 0,00 | 0 | 0,00 | 0 | 0,00 |
| halbsteil, steil | 1 | 2,04 | 2 | 4,35 | 0 | 0,00 | 0 | 0,00 |
| keine Angabe | 1 | 2,04 | 1 | 2,17 | 0 | 0,00 | 0 | 0,00 |
| Gesamt | 49 | 100,00 | 46 | 100,00 | 4 | 100,00 | 5 | 100,00 |

Tab. 18.5. Blattspitzeninventare. Winkel der Arbeitskanten.

| Gerätetyp | Kostenki 12/III (%) | Buran-Kaya III/C (%) | Kostenki 12/Ia (%) | Kostenki 6 (%) | Kostenki 1, Schicht V (%) (Hoffecker 2002) | Sungir (%) (Hoffecker 2002) | Buran-Kaya III/B1 (%) |
|--|---------------------|----------------------|--------------------|----------------|--|-----------------------------|-----------------------|
| Kratzer, einfach | 2,37 | 6,19 | 0,00 | 0,00 | 20,17 | 21,29 | 0,00 |
| Kratzer, Hoch-/ Kiel- | 0,00 | 0,00 | 0,00 | 0,00 | 0,00 | 0,00 | 0,00 |
| Kratzer, Nasen- | 0,00 | 0,00 | 0,00 | 0,00 | 0,00 | 0,00 | 0,00 |
| Stichel | 0,00 | 1,03 | 0,00 | 0,00 | 6,72 | 15,41 | 0,40 |
| Stichel, Kiel- | 0,59 | 0,00 | 0,00 | 0,00 | 0,00 | 0,00 | 0,00 |
| Stichel, Bogen- | 0,00 | 0,00 | 0,00 | 0,00 | 0,00 | 0,00 | 0,00 |
| Endretusche | 4,14 | 2,06 | 0,00 | 0,00 | 0,00 | 0,00 | 0,00 |
| Kostenki-Ende | 0,00 | 0,00 | 0,00 | 0,00 | 0,00 | 0,00 | 0,00 |
| lateral retuschiert (Klinge & Trümmer) | 8,88 | 4,12 | 0,00 | 0,00 | 0,00 | 4,71 | 0,00 |
| lateral retuschiert, gezähntes Stück | 1,18 | 0,00 | 0,00 | 0,00 | 0,00 | 0,00 | 1,99 |
| lateral retuschiert, gekerbtes Stück | 0,59 | 0,00 | 0,00 | 0,00 | 0,00 | 0,00 | 1,20 |
| retuschierte Lamelle (einfach, gezähnt, gealterierend (Dufour-Lamelle) | 0,00 | 0,00 | 0,00 | 0,00 | 0,00 | 0,00 | 0,00 |
| bi-lateral dorsal (Pseudo-Dufour-Lamelle) | 0,00 | 0,00 | 0,00 | 0,00 | 0,00 | 0,00 | 0,00 |
| Spitze, Font-Yves- | 0,00 | 0,00 | 0,00 | 0,00 | 0,00 | 0,00 | 0,00 |
| rückengestumpfte Lamelle | 0,00 | 0,00 | 0,00 | 0,00 | 0,00 | 0,00 | 0,00 |
| Bohrer | 0,00 | 1,03 | 0,00 | 0,00 | 3,36 | 1,12 | 0,00 |
| ausgesplittertes Stück | 1,18 | 1,03 | 0,00 | 0,00 | 3,36 | 15,57 | 0,00 |
| Schaber | 29,59 | 7,22 | 0,00 | 0,00 | 5,04 | 4,01 | 48,61 |
| Schaber, unifaziell | 5,33 | 0,00 | 0,00 | 0,00 | 0,00 | 0,00 | 0,00 |
| Schaber, bifaziell | 5,33 | 1,03 | 0,00 | 0,00 | 0,00 | 0,00 | 0,00 |
| Spitze, einfach | 1,18 | 0,00 | 20,00 | 28,57 | 0,84 | 0,00 | 0,00 |
| Spitze, unifaziell | 3,55 | 1,03 | 0,00 | 0,00 | 0,00 | 0,00 | 0,00 |
| Spitze, bifaziell | 9,47 | 2,06 | 0,00 | 57,14 | 0,00 | 0,00 | 0,00 |
| Spitze, Doppel-, unifaziell | 0,00 | 0,00 | 0,00 | 0,00 | 0,00 | 0,00 | 0,00 |
| Spitze, Spitzklinge | 0,00 | 0,00 | 0,00 | 0,00 | 0,00 | 0,00 | 0,00 |
| Spitze, Blattspitze | 8,28 | 13,40 | 60,00 | 14,29 | 36,13 | 0,86 | 0,00 |
| Keilmesser | 0,59 | 5,15 | 0,00 | 0,00 | 0,00 | 0,00 | 0,00 |
| Halbkeil | 0,00 | 0,00 | 0,00 | 0,00 | 0,00 | 0,00 | 0,00 |
| Biface/formüberarbeitetes Gerät | 4,14 | 13,40 | 20,00 | 0,00 | 0,00 | 0,00 | 19,12 |
| GMS, Ge2 | 1,78 | 3,09 | 0,00 | 0,00 | 0,00 | 0,00 | 18,33 |
| GMS, Ge3 | 1,18 | 0,00 | 0,00 | 0,00 | 0,00 | 0,00 | 8,76 |
| Kratzer, lateral retuschiert | 7,10 | 5,15 | 0,00 | 0,00 | 0,00 | 0,00 | 0,00 |
| Kielkratzer, lateral retuschiert | 0,00 | 0,00 | 0,00 | 0,00 | 0,00 | 0,00 | 0,00 |
| Nasenkratzer, lateral retuschiert | 0,00 | 0,00 | 0,00 | 0,00 | 0,00 | 0,00 | 0,00 |
| Endretusche, lateral retuschiert | 1,78 | 0,00 | 0,00 | 0,00 | 0,00 | 0,00 | 0,00 |
| Stichel, lateral retuschiert | 0,00 | 0,00 | 0,00 | 0,00 | 0,00 | 0,00 | 0,00 |
| Kielstichel, lateral retuschiert | 0,00 | 0,00 | 0,00 | 0,00 | 0,00 | 0,00 | 0,00 |
| Bogenstichel, lateral retuschiert | 0,00 | 0,00 | 0,00 | 0,00 | 0,00 | 0,00 | 0,00 |
| Stichel, kombiniert | 0,00 | 0,00 | 0,00 | 0,00 | 0,00 | 0,00 | 0,00 |
| Stichel-Kratzer | 0,00 | 0,00 | 0,00 | 0,00 | 0,00 | 0,00 | 0,00 |
| Stichel-Endretusche | 0,00 | 0,00 | 0,00 | 0,00 | 0,00 | 0,00 | 0,00 |
| Stichel-Bohrer | 0,00 | 0,00 | 0,00 | 0,00 | 0,00 | 0,00 | 0,00 |
| Biface, sekundär Stichel | 0,00 | 3,09 | 0,00 | 0,00 | 0,00 | 0,00 | 0,00 |
| Biface, sekundär Kratzer | 0,00 | 1,03 | 0,00 | 0,00 | 0,00 | 0,00 | 0,00 |
| Biface, sekundär Endretusche | 0,00 | 1,03 | 0,00 | 0,00 | 0,00 | 0,00 | 0,00 |
| lateral retuschiert, kombiniert | 0,59 | 1,03 | 0,00 | 0,00 | 0,00 | 0,00 | 0,00 |
| lateral retuschiert, unifaziell | 0,00 | 0,00 | 0,00 | 0,00 | 0,00 | 0,00 | 0,00 |
| lateral retuschiert, bifaziell | 0,00 | 2,06 | 0,00 | 0,00 | 0,00 | 0,00 | 0,00 |
| retuschierte Lamelle, kombiniert | 0,00 | 0,00 | 0,00 | 0,00 | 0,00 | 0,00 | 0,00 |
| ausgesplittertes Stück, kombiniert | 0,59 | 0,00 | 0,00 | 0,00 | 0,00 | 0,00 | 0,00 |
| "knives", "cutting tools" | 0,00 | 0,00 | 0,00 | 0,00 | 0,00 | 37,03 | 0,00 |
| rückenretuschiertes Stück | 0,00 | 0,00 | 0,00 | 0,00 | 0,00 | 0,00 | 0,00 |
| Restbiface | 0,59 | 1,03 | 0,00 | 0,00 | 0,00 | 0,00 | 1,20 |
| Geröllgerät | 0,00 | 0,00 | 0,00 | 0,00 | 0,00 | 0,00 | 0,40 |
| Trapez | 0,00 | 22,68 | 0,00 | 0,00 | 0,00 | 0,00 | 0,00 |
| ? | 0,00 | 1,03 | 0,00 | 0,00 | 24,38 | 0,00 | 0,00 |

Tab. 18.6. Blattspitzeninventare. Gerätetypen. Angaben in Prozent.

| Querschnitt formüberarbeiteter Geräte | Kostenki 12/III | Buran-Kaya III/C | Kostenki 12/Ia | Kostenki 6 |
|---------------------------------------|-----------------|------------------|----------------|------------|
| plankonvex | 40,91 | 13,04 | 50 | 16,67 |
| bikonvex | 33,33 | 47,83 | 50 | 83,33 |
| plankonvex-plankonvex | 6,06 | 2,17 | 0 | 0 |
| biplan | 0 | 8,7 | 0 | 0 |
| Gesamt | 100 | 100 | 100 | 100 |

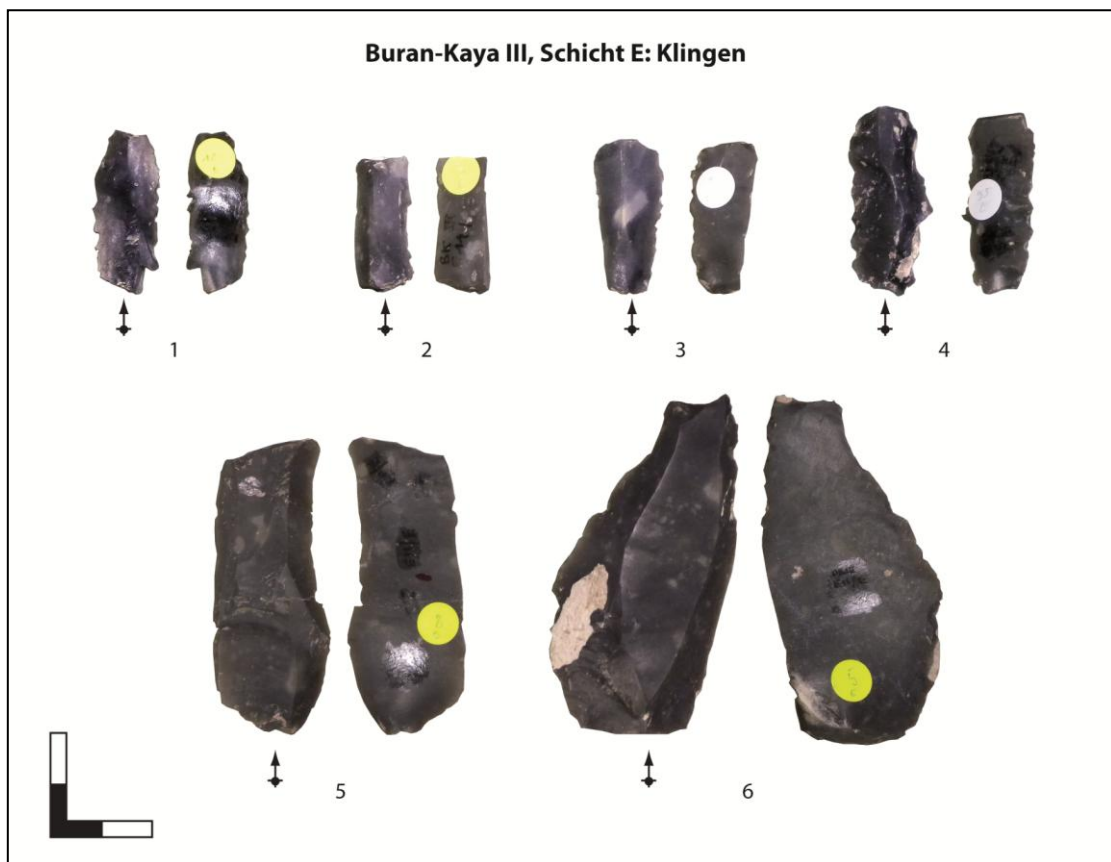
Tab. 18.7. Blattspitzeninventare. Technologie. Herstellungsmodi formüberarbeiteter Geräte. Angaben in Prozent.

| Geräteklasse | Kostenki 12/III | | Buran-Kaya III/C | | Kostenki 12/1a | | Kostenki 6 | |
|--|-----------------|--------|------------------|--------|----------------|--------|------------|--------|
| | N | % | N | % | N | % | N | % |
| Kratzer | 4 | 2,38 | 6 | 6,19 | 0 | 0,00 | 0 | 0,00 |
| Endretusche | 7 | 4,17 | 2 | 2,06 | 0 | 0,00 | 0 | 0,00 |
| Stichel | 1 | 0,60 | 1 | 1,03 | 0 | 0,00 | 0 | 0,00 |
| Bohrer | 0 | 0,00 | 0 | 0,00 | 0 | 0,00 | 0 | 0,00 |
| ausgesplittertes Stück | 2 | 1,19 | 1 | 1,03 | 0 | 0,00 | 0 | 0,00 |
| lateral retuschierter Abschlag | 49 | 29,17 | 6 | 6,19 | 1 | 16,67 | 0 | 0,00 |
| lateral retuschierte Klinge | 10 | 5,95 | 0 | 0,00 | 0 | 0,00 | 0 | 0,00 |
| retuschiertes Stück (Trümmer / n.e.) | 11 | 6,55 | 5 | 5,15 | 0 | 0,00 | 1 | 14,29 |
| Blattspitze | 14 | 8,33 | 14 | 14,43 | 3 | 50,00 | 1 | 14,29 |
| unifazielles Gerät | 14 | 8,33 | 2 | 2,06 | 0 | 0,00 | 0 | 0,00 |
| bifazielles Gerät | 34 | 20,24 | 16 | 16,49 | 2 | 33,33 | 0 | 0,00 |
| lamellarer Mikrolith | 0 | 0,00 | 0 | 0,00 | 0 | 0,00 | 0 | 0,00 |
| symmetrischer Mikrolith (Dreiecke & Trapeze: einfach, uni- & bifaziell) | 0 | 0,00 | 23 | 23,71 | 0 | 0,00 | 5 | 71,43 |
| Kombinationsgerät (einfach, uni- & bifaziell) | 17 | 10,12 | 17 | 17,53 | 0 | 0,00 | 0 | 0,00 |
| GSM | 5 | 2,98 | 4 | 4,12 | 0 | 0,00 | 0 | 0,00 |
| Gesamt | 168 | 100,00 | 97 | 100,00 | 6 | 100,00 | 7 | 100,00 |

Tab. 18.8. Blattspitzeninventare. Technologie. Geräteklassen.

II. Appendix

Appendix 2: Artefakt-Tafeln

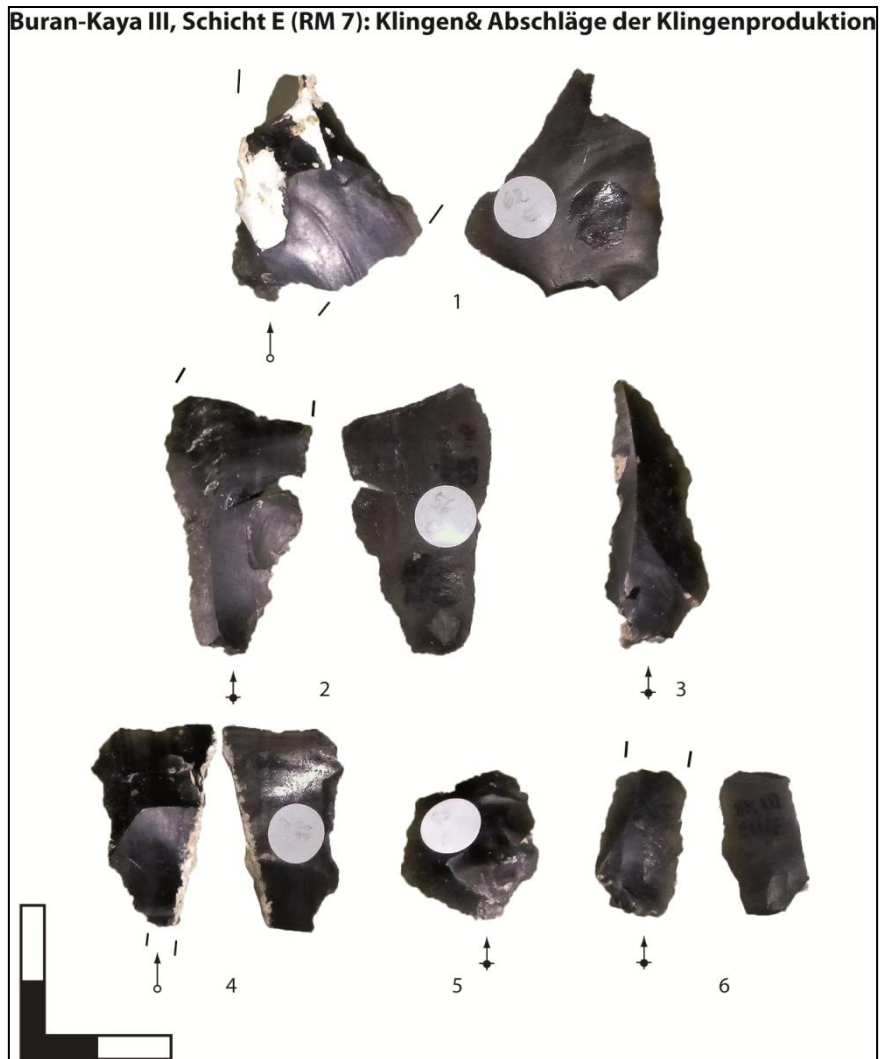


Taf. 10.2.1. Buran-Kaya III, Schicht E. Klingensequenz. (Fotos: G. Bataille).

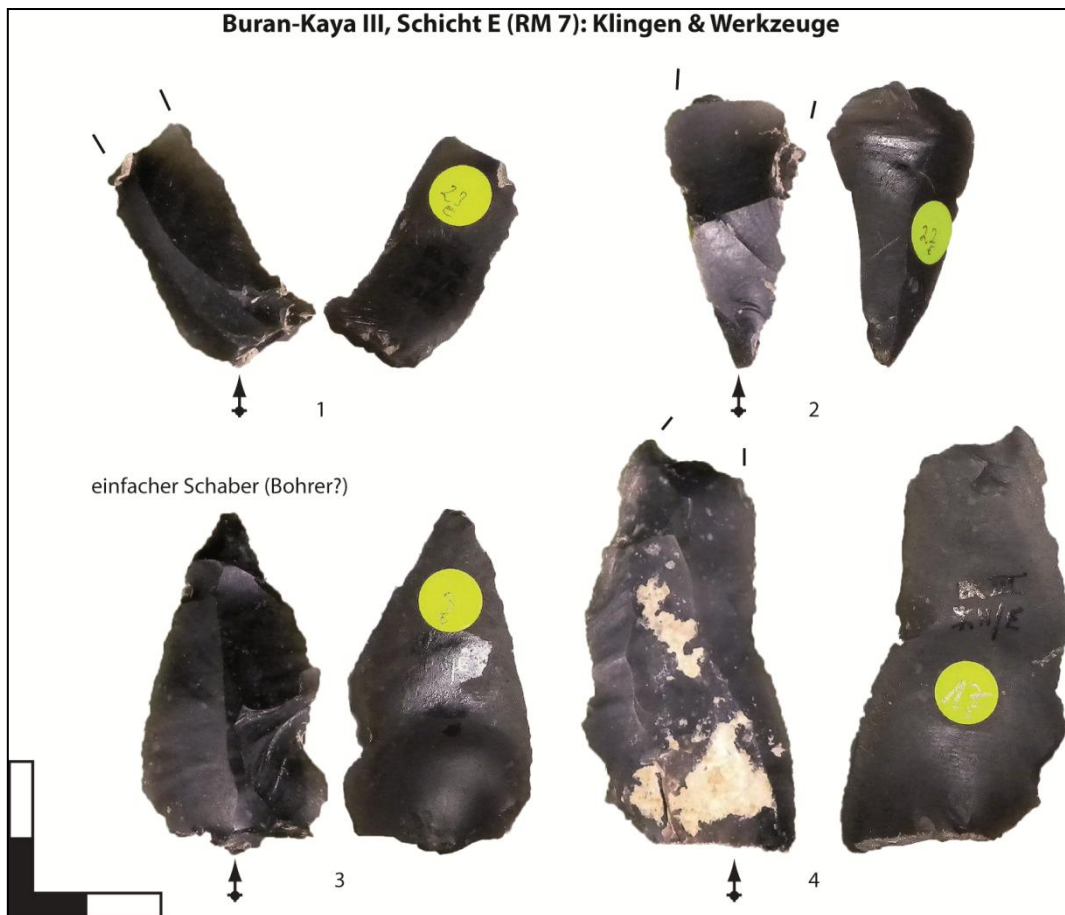
**Buran-Kaya III, Schicht E (RM 7):
Klingen & Abschlage der
Klingenabbausequenz**



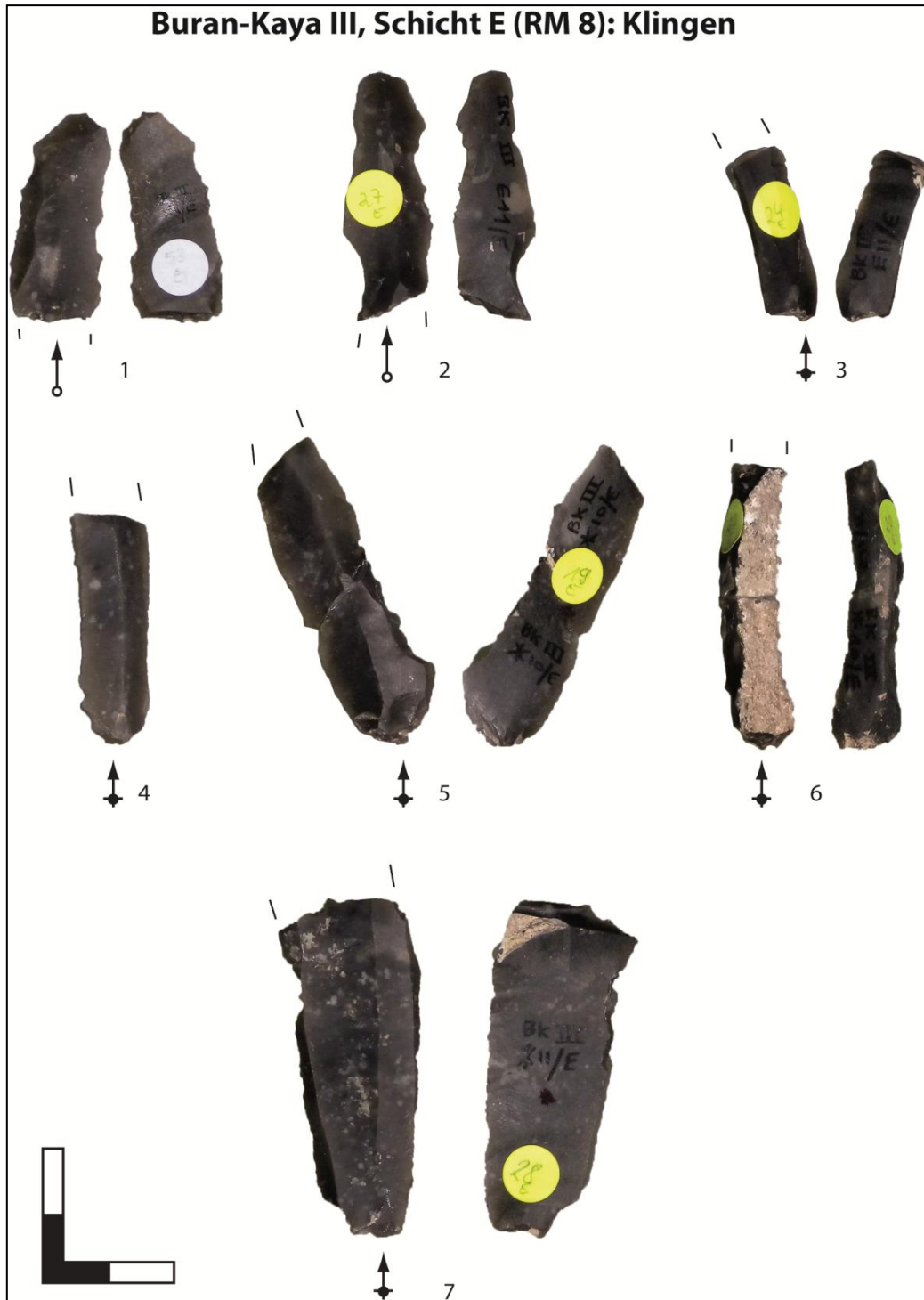
Taf. 10.2.2. Buran-Kaya III, Schicht E (Fotos: G. Bataille).



Taf. 10.2.3. Buran-Kaya III, Schicht E. Rohmaterialeinheit 7. Klingenabbau-Sequenz: Abschläge (1), Absplisse (5) und Klingen (2, 3, 4 & 5). (Fotos: G. Bataille).



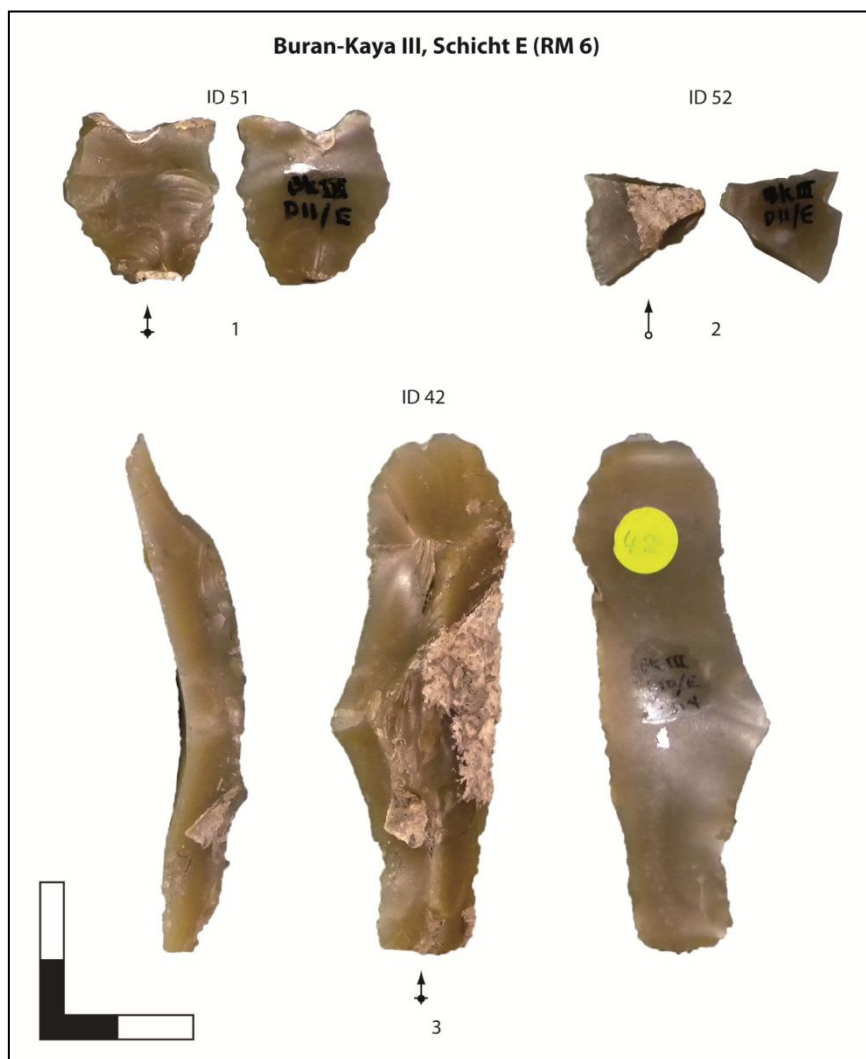
Taf. 10.2.4. Buran-Kaya III, Schicht E. Rohmaterialeinheit 7. Klingen & Werkzeuge (3). (Fotos: G. Bataille).



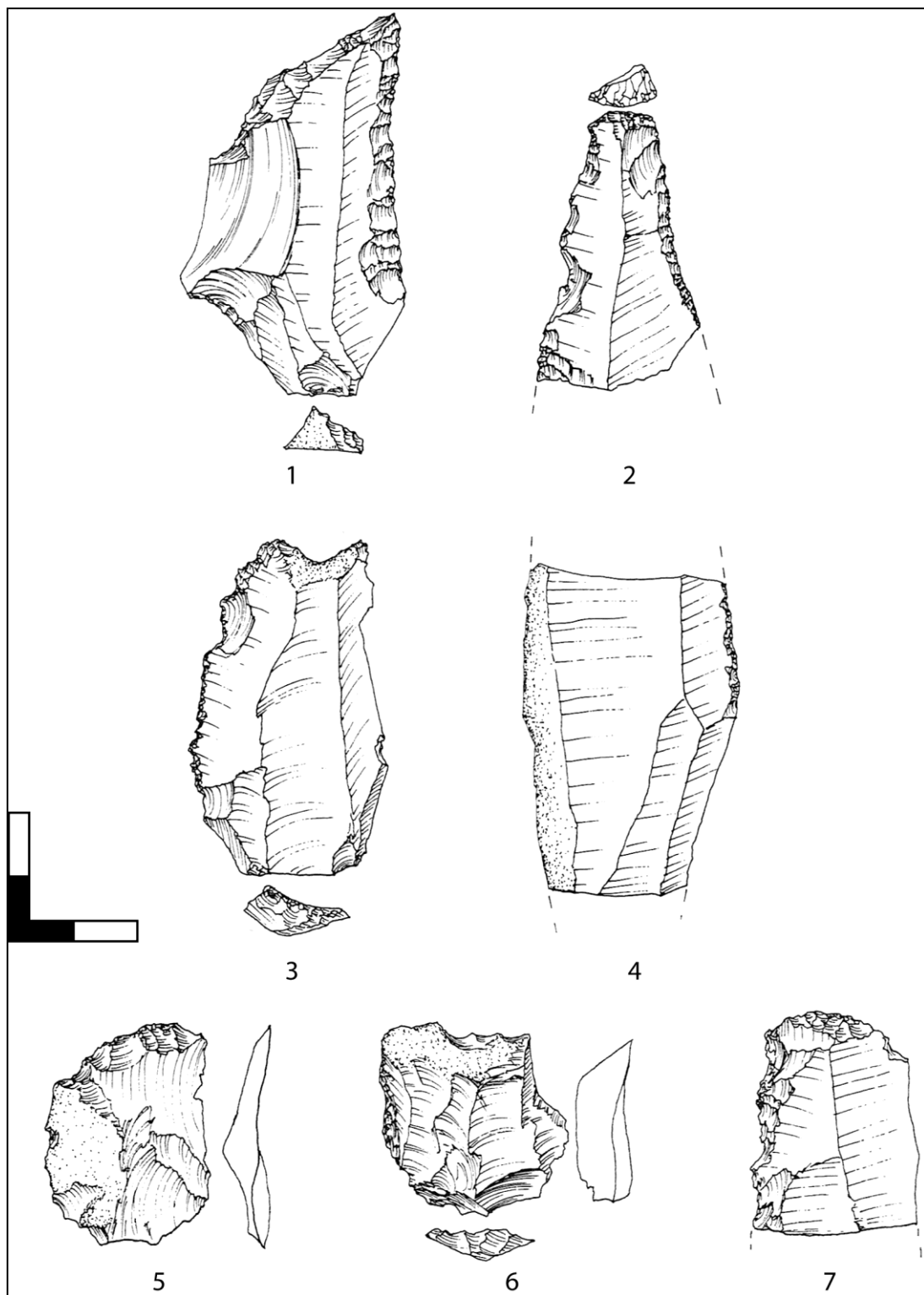
Taf. 10.2.5. Buran-Kaya III, Schicht E. Rohmaterialeinheit 8. Einfache Klingen (1-5, 7). Klinge mit Kortexkante (6). (Fotos: G. Bataille).



Taf. 10.2.6. Buran-Kaya III, Schicht E. Klinge (ID 38, RM 11). (Fotos: G. Bataille).

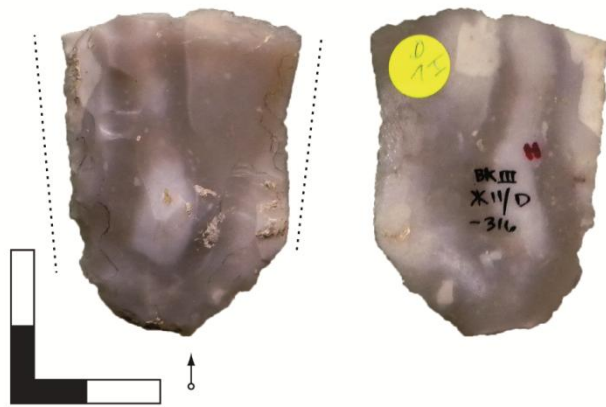


Taf. 10.2.7. Buran-Kaya III, Schicht E. Rohmaterialeinheit 6. Grundformen der Klingeherstellung. 1. Abspliss mit feiner Zahnung, 2. Mediales Klingeherstellungsfragment, 3. Kernkante Klinge. (Fotos: G. Bataille).

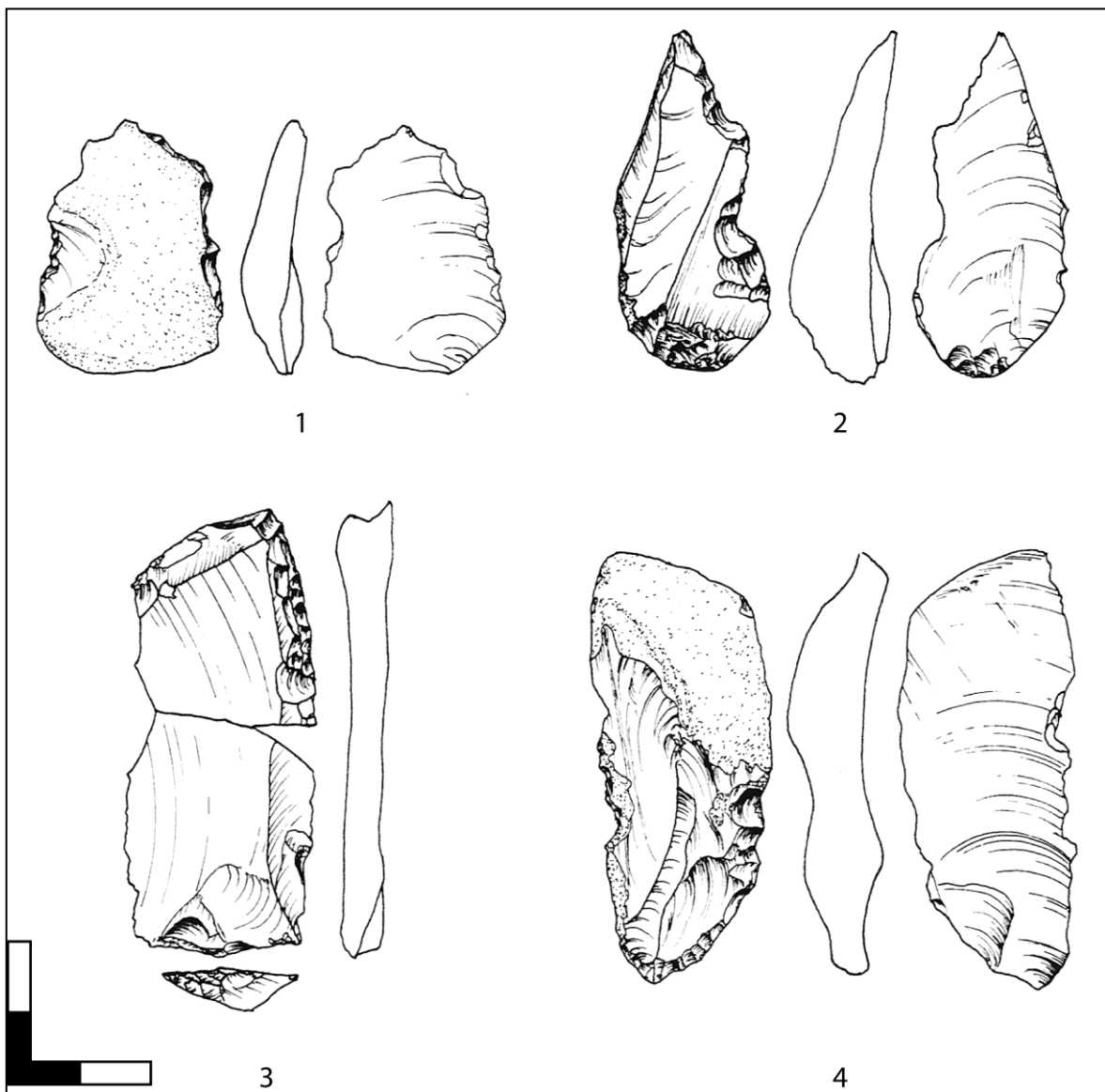


Taf. 10.2.8. Buran-Kaya III, Schicht E. Geräte. 1. Spitzschaber an Klinge, 2. Klingenkratzer, bilateral retuschiert, 3, 4 & 6. Lateral retuschiert, 5. Kratzer / Endretusche an Abschlag, 7. Kratzer uni-lateral retuschiert.

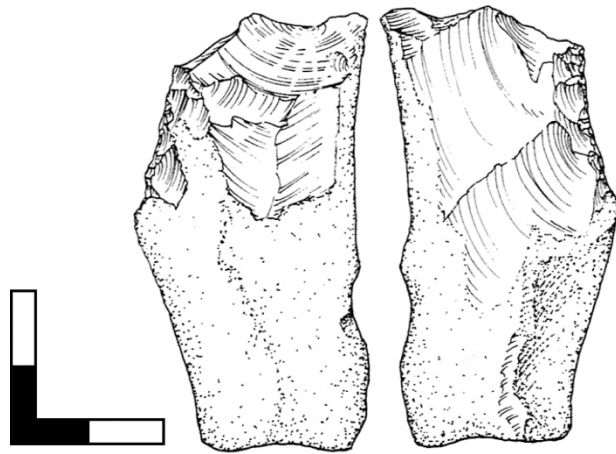
Buran-Kaya III, Schicht D: Doppelschaber an Abschlag (ID 1, RM 1)



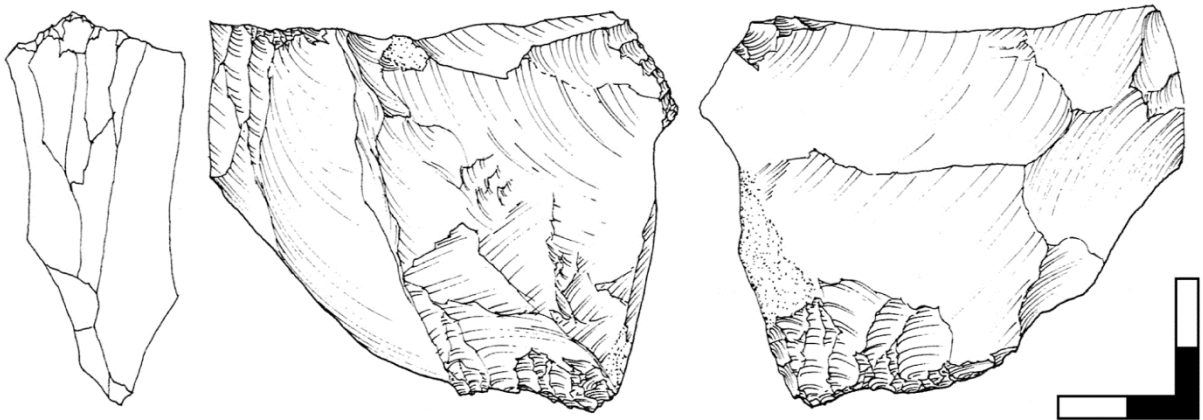
Taf. 10.3.1. Buran-Kaya III, Schicht D. Endretusche & Doppelschaber an Abschlag. ID 1, Rohmaterialeinheit 1. (Fotos: G. Bataille).



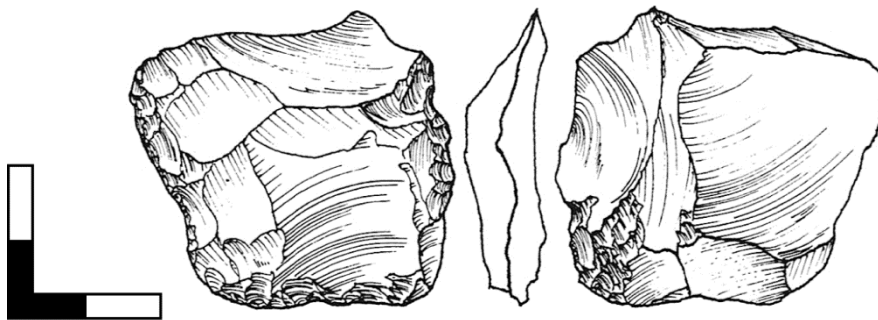
Taf. 10.3.2. Lateral retuschierte Abschlage (1) & „Klingen“ (2-4). Aus: Monigal (2004b, Fig. 4-7).



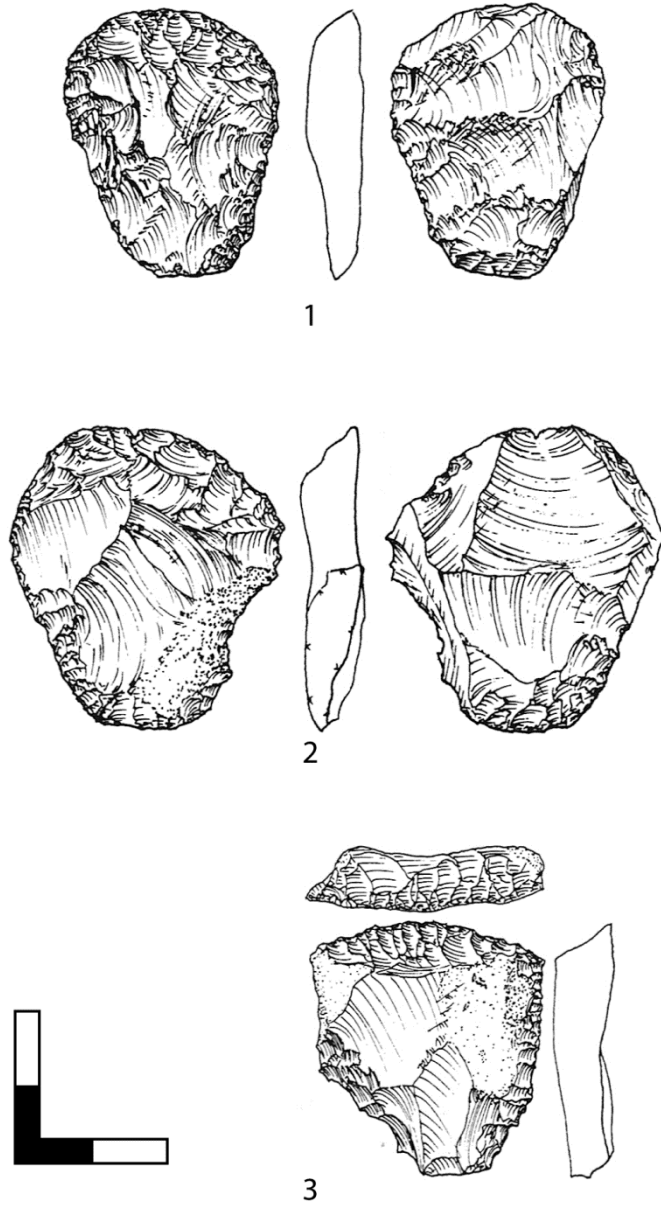
Taf. 20.4.1. Buran-Kaya III, Schicht C. Initialisiertes Rohstück. Aus: Monigal 2004c, Fig. 5-18.



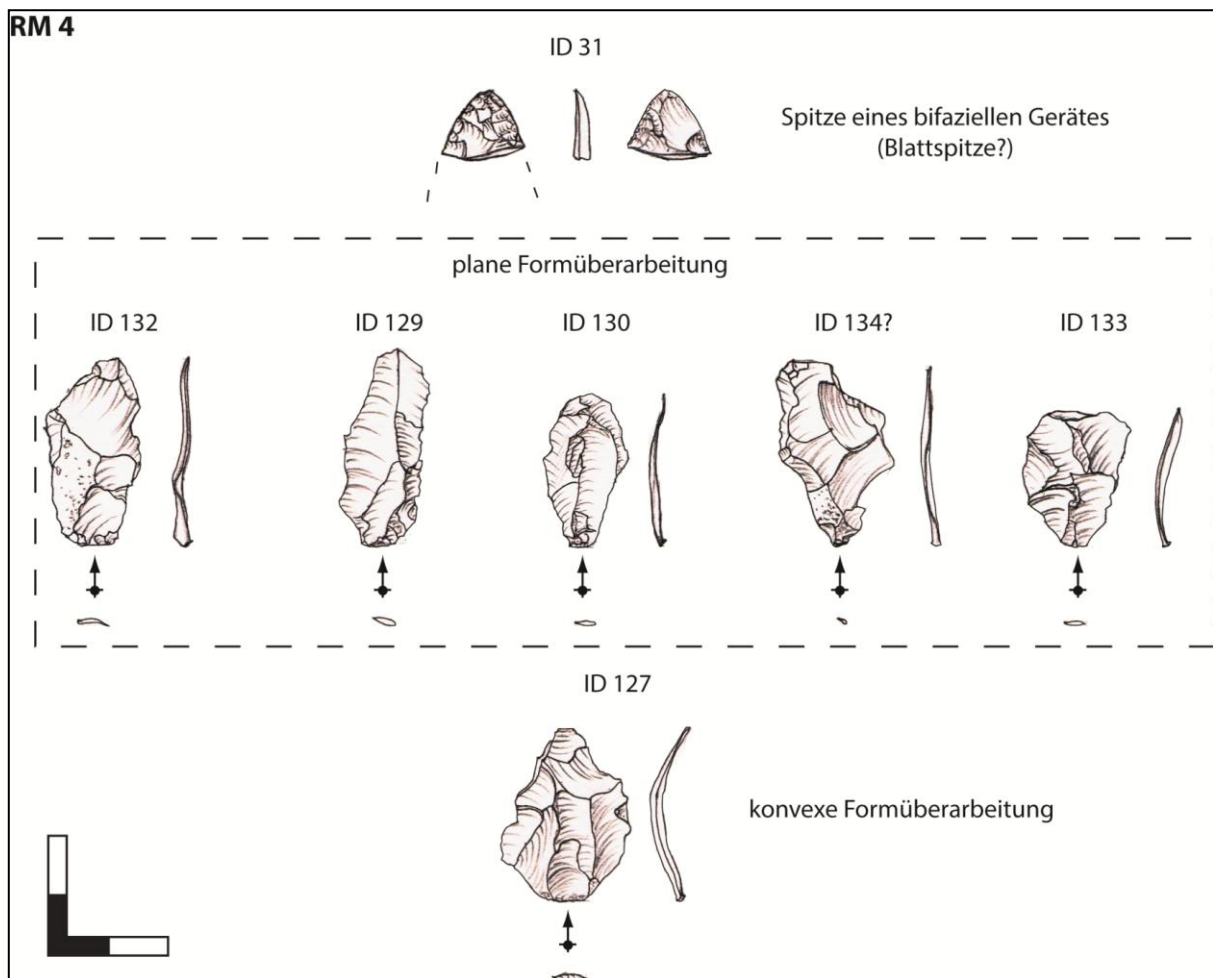
Taf. 10.4.3. Buran-Kaya III, Schicht C. Lamellenkern? Kielstichel an bifazieller Preform. Aus: Monigal 2004c, Fig. 5-18.



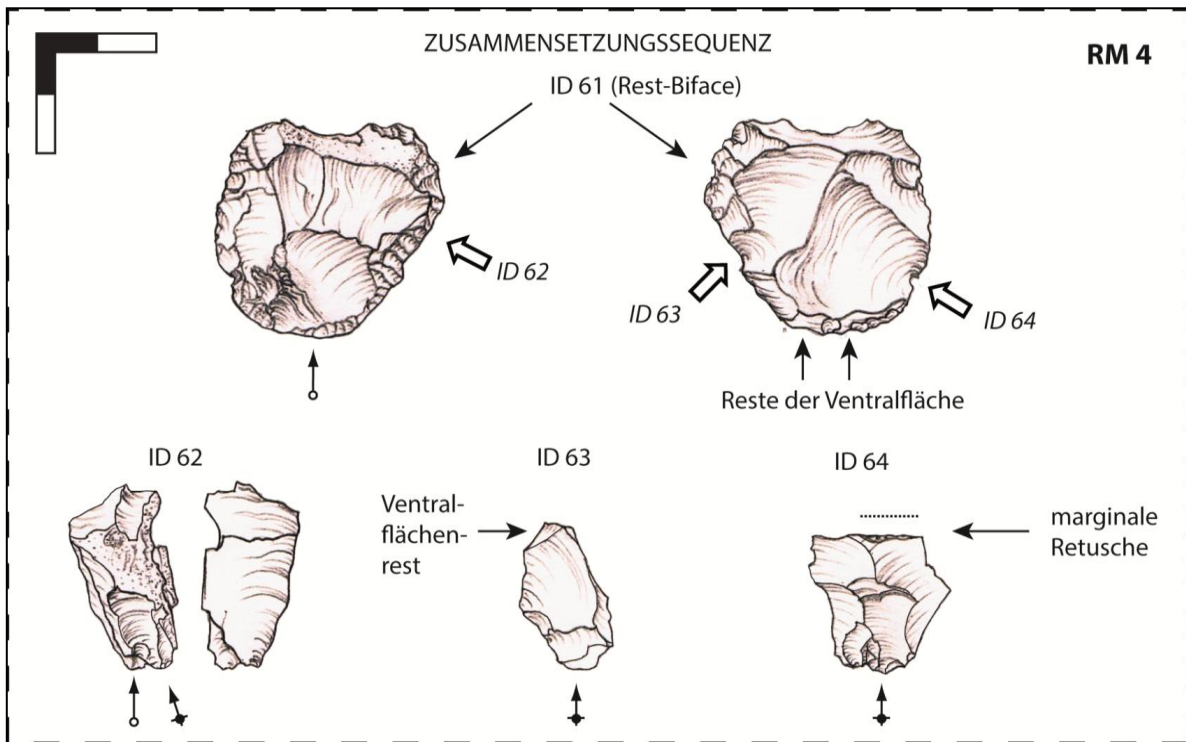
Taf. 10.4.4. Buran-Kaya III, Schicht C. Ausgesplittertes Stück an Restkern. Aus: Monigal 2004c, Fig. 5-18.



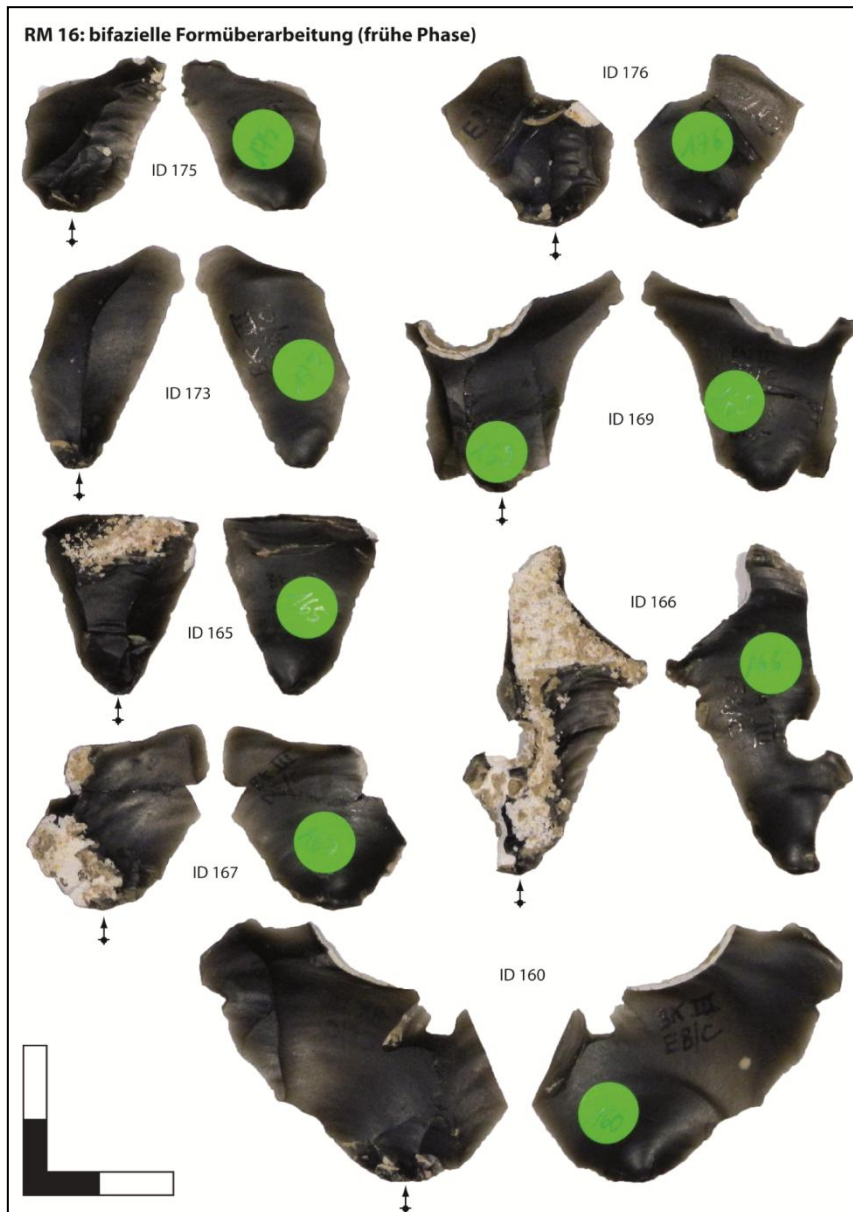
Taf. 10.4.5. Buran-Kaya III, Schicht C. Kratzer. 1 & 2. An Rest-Biface, 3. An Abschlag, lateral retuschiert. Aus: Monigal 2004c, Fig. 5-17.



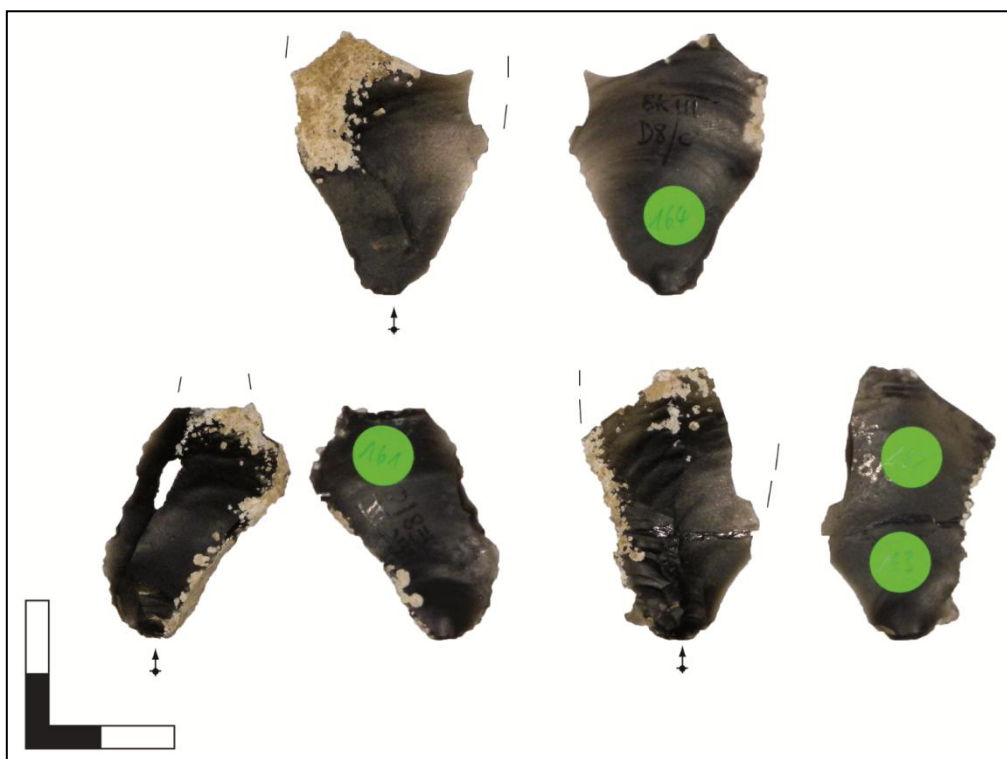
Taf. 10.4.5. Buran-Kaya III, Schicht C. Rohmaterialeinheit 4. Sequenz von Formüberarbeitungsabschlägen. ID 31: Spitzenfragment eines bifaziellen Gerätes. (Zeichnungen: G. Bataille).



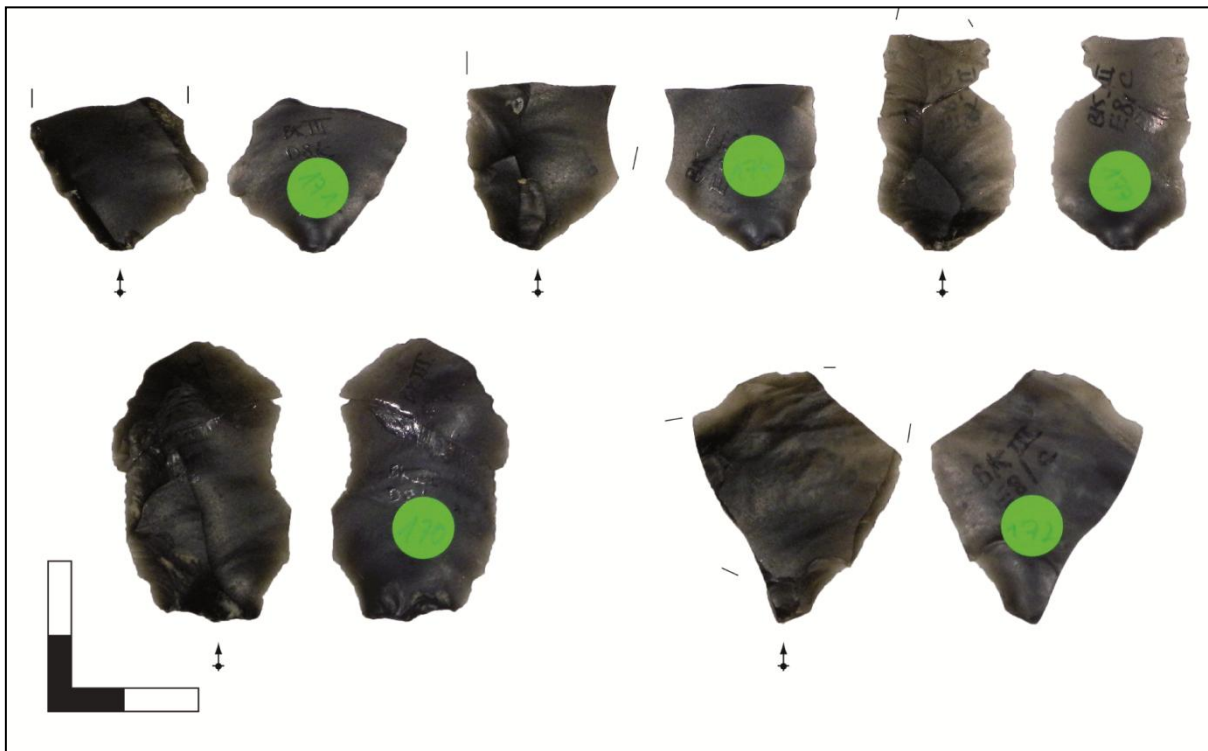
Taf. 10.4.6. Buran-Kaya III, Schicht C. Rohmaterialeinheit 4. Zusammensetzungssequenz mit einem Rest-Biface (Kern) und mehreren Formüberarbeitungsabschlägen. ID 64 weist marginale Retuschen auf. Zusammensetzung durch V. P. Chabai. (Zeichnungen: G. Bataille).



Taf. 10.4.7. Buran-Kaya III, Schicht C. Rohmaterialeinheit 16. Frühe Phase der Formüberarbeitung. (Fotos: G. Bataille).



Taf. 10.4.8. Buran-Kaya III, Schicht C. Rohmaterialeinheit 16. Langschmale Abschlage der Formuberarbeitung.
(Fotos: G. Bataille).



Taf. 10.4.9. Buran-Kaya III, Schicht C. Rohmaterialeinheit 8/16: Flächenreduktion eines bifaziellen Stücks.
(Fotos: G. Bataille).

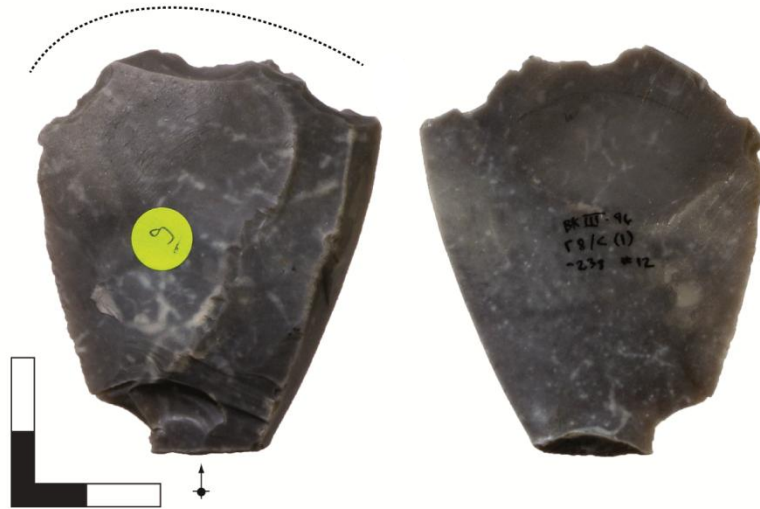


Taf. 10.4.10. Buran-Kaya III, Schicht C. Mikrolithische Trapeze. (Fotos: G. Bataille).



Taf. 10.4.11. Buran-Kaya III, Schicht C. Retuschierte Formüberarbeitungsabschläge. Halbfabrikate mikrolithischer Trapeze. (Fotos: G. Bataille).

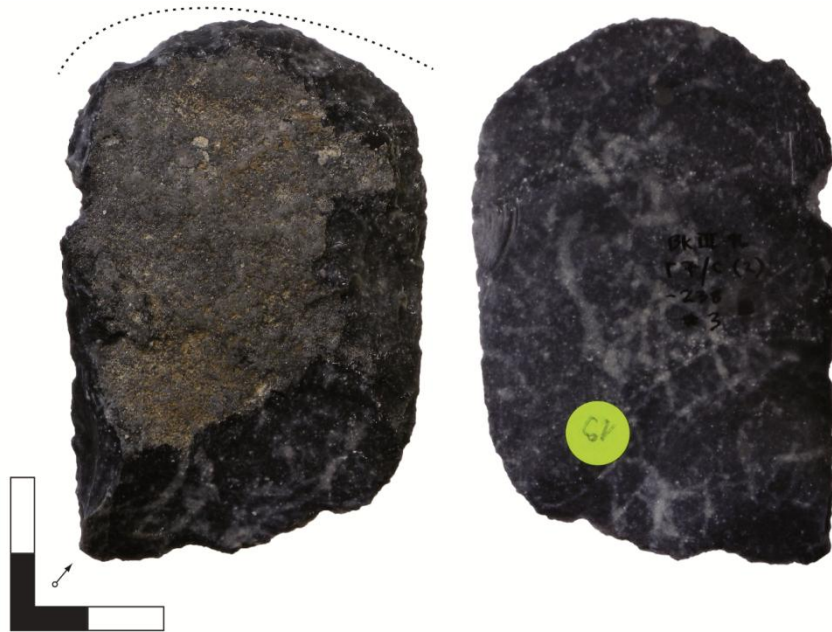
Stichel an Endretusche



Taf. 10.4.12. Buran-Kaya III, Schicht C. Abschlag mit gezähnter Endretusche. (Fotos: G. Bataille).



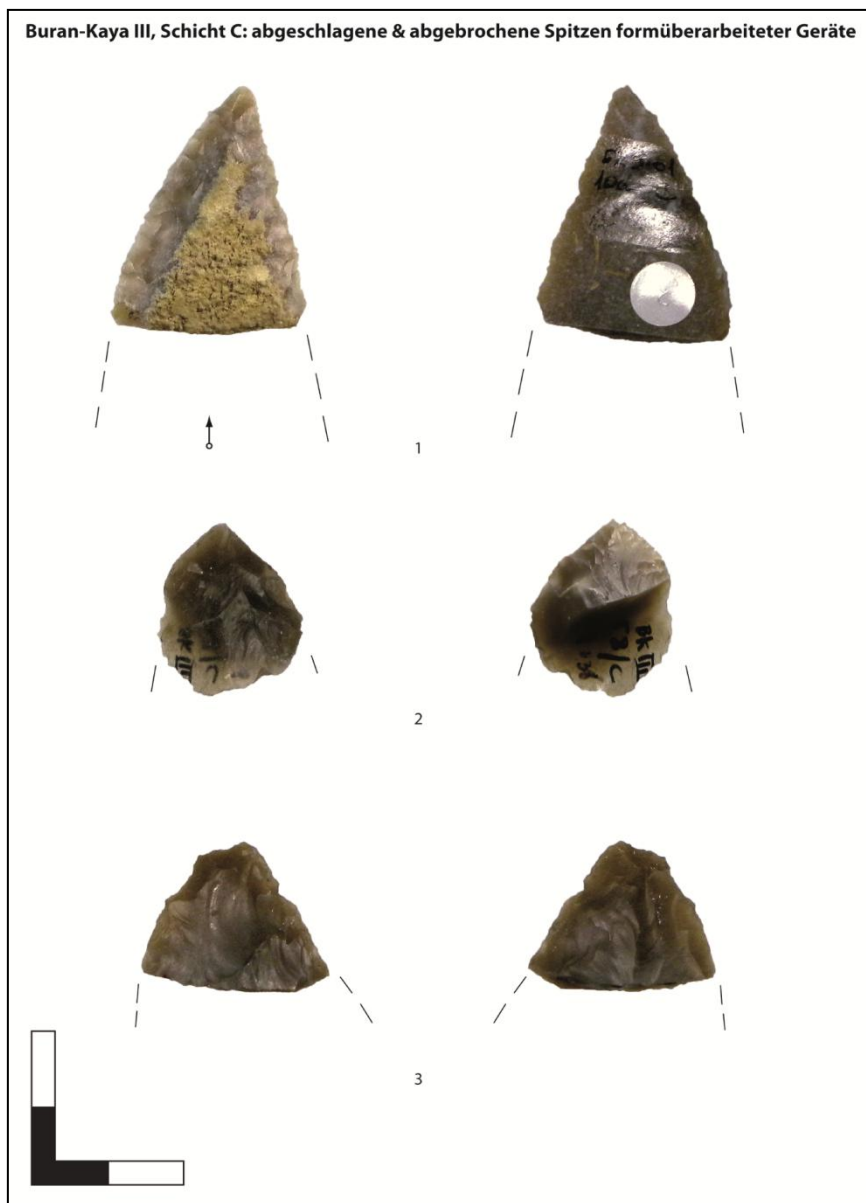
Taf. 10.4.13. Buran-Kaya III, Schicht C. Lateral retuschierter langschmaler Abschlag. Linklaterale Zähnung. (Fotos: G. Bataille).



Taf. 10.4.14. Buran-Kaya III, Schicht C. Kratzer an Abschlag. (Fotos: G. Bataille).



Taf. 10.4.15. Buran-Kaya III, Schicht C. Einfache Kratzer an Abschlag (ID 36 & 37). (Fotos: G. Bataille).



Taf. 10.4.16. Buran-Kaya III, Schicht C. Fragmente formüberarbeiteter Spitzen: 1. Unifazielle Spitze, 2-3. Bifazielle Spitzen. (Fotos: G. Bataille).

Keilmesser



Taf. 10.4.17. Buran-Kaya III, Schicht C. Keilmesser. (Fotos: G. Bataille).



Taf. 10.4.18. Buran-Kaya III, Schicht C. Bifazielle Preform mit Rücken. Kernfunktion? (Fotos: G. Bataille).



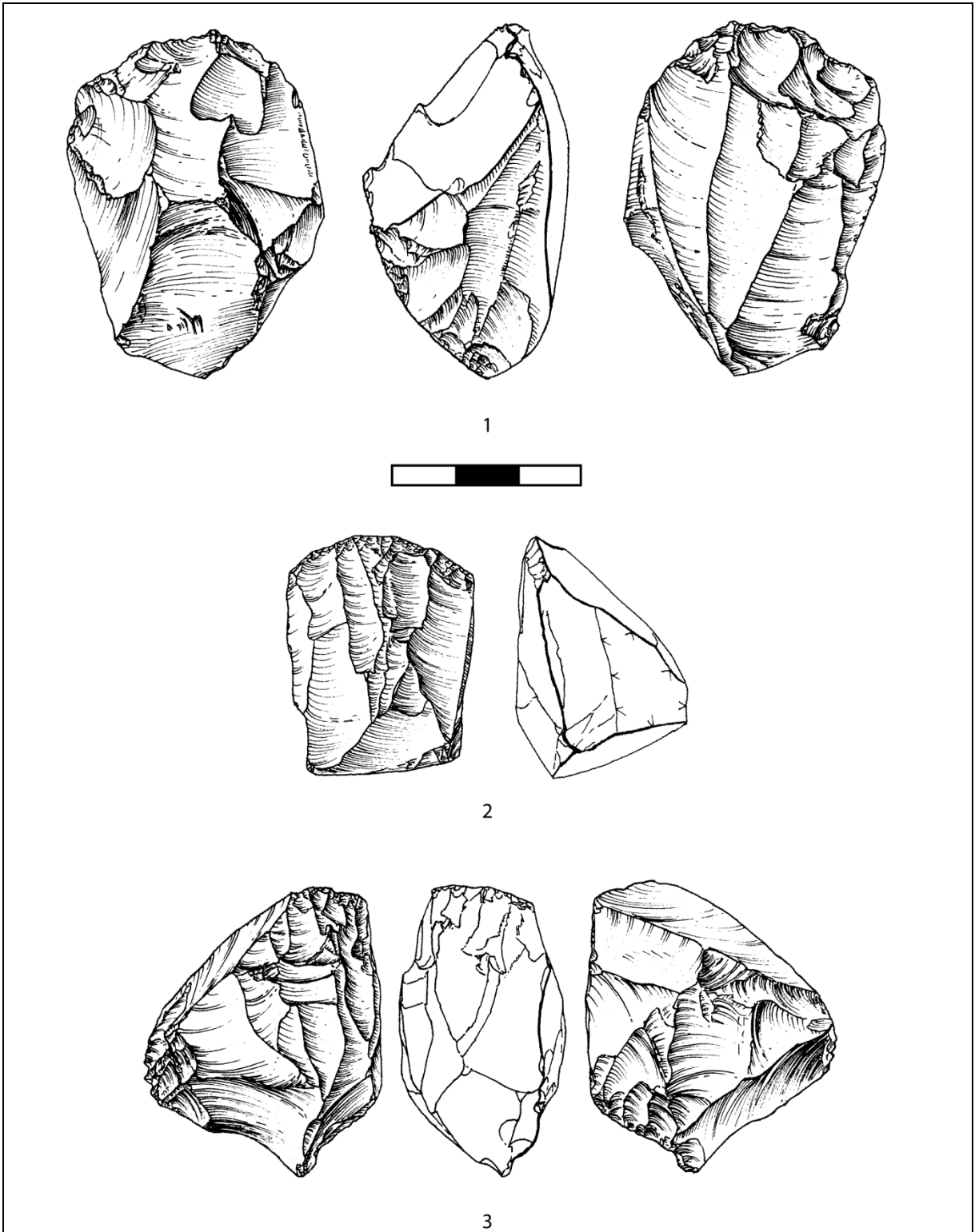
Taf. 10.4.19. Buran-Kaya III, Schicht C. Zusammengesetzte Blattspitze. Die Größenunterschiede zeigen, dass das ursprüngliche Artefakt nach dem Bruch in zwei Hälften erneut überarbeitet wurde. Zusammensetzung durch V. P. Chabai. (Fotos: G. Bataille).



Taf. 10.4.20. Buran-Kaya III, Schicht C. Blattspitze mit konkaver Basis. (Fotos: G. Bataille).

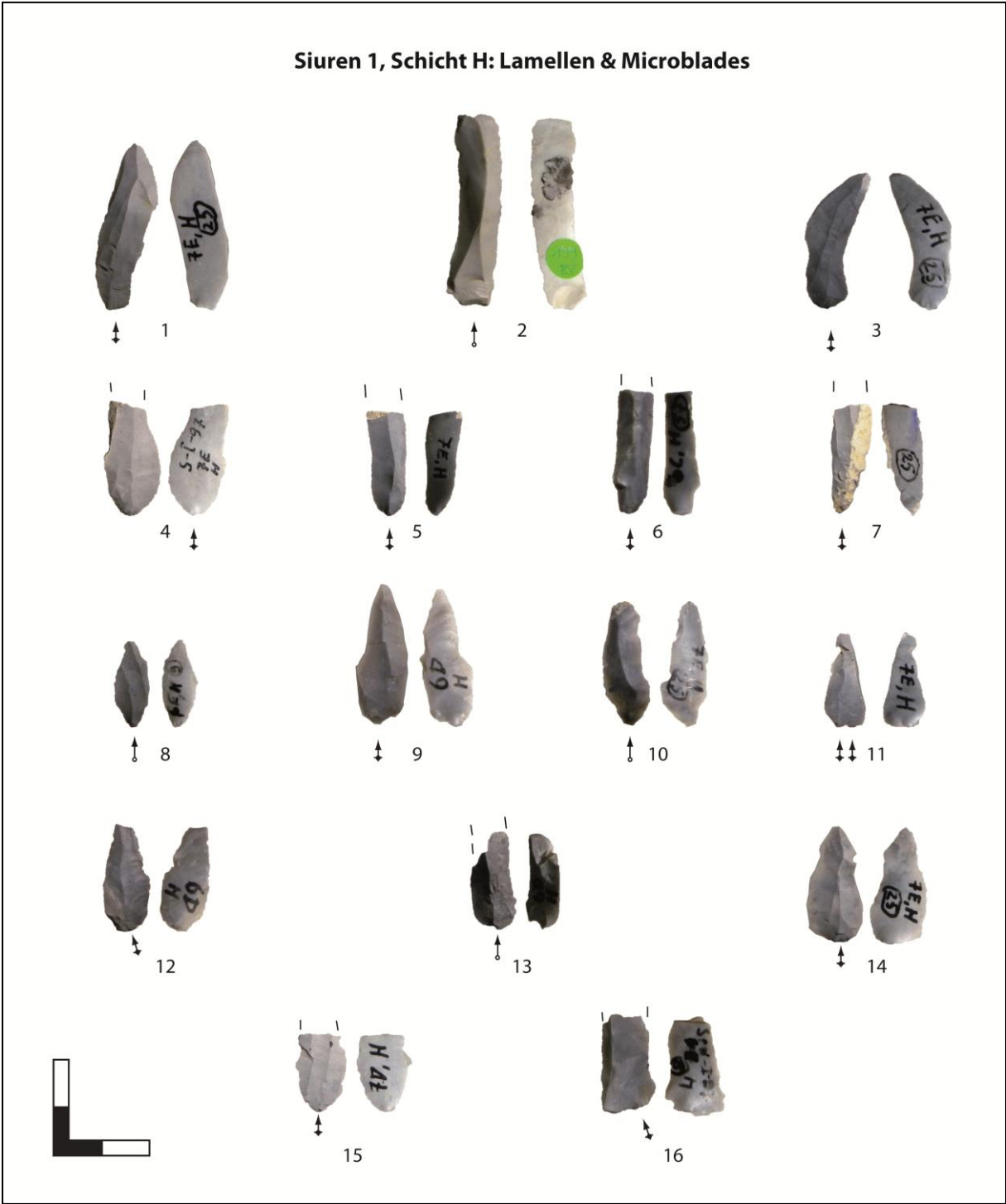


Taf. 10.4.21. Buran-Kaya III, Schicht C. Halbfabrikat einer bikonvexen Blattspitze. (Fotos: G. Bataille).



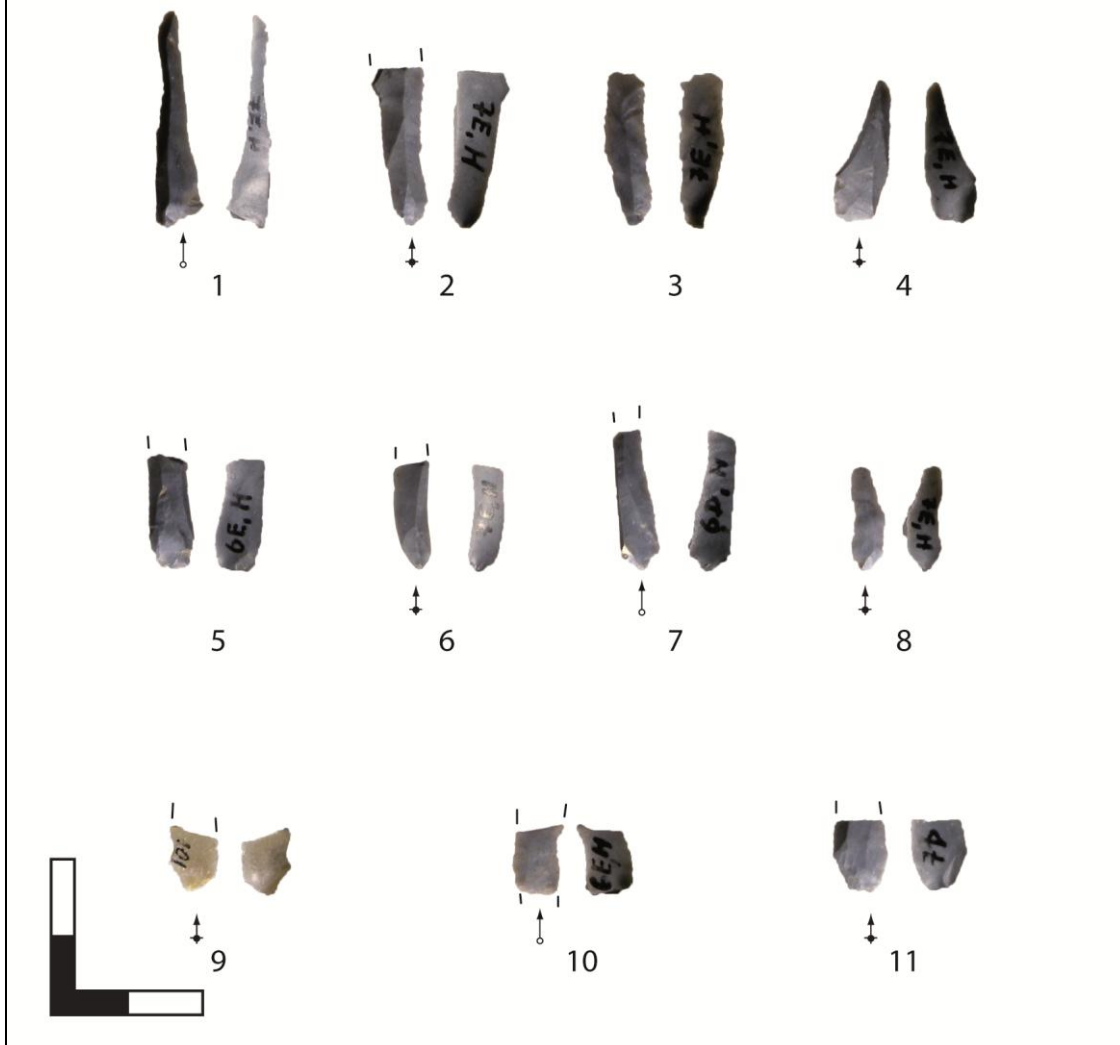
Taf. 11.1. Siuren 1, Schicht H. Unipolare Kerne. 1. Klingen-/Lamellenkern, 2. Kielkratzer-artiger Lamellenkern mit gerader Reduktionsfläche, 3. Sub-zylindrischer schulterkratzer-artiger Lamellenkern mit gerader Reduktionsfläche. Aus: Demidenko & Chabai 2012a, Fig. 1.

Siuren 1, Schicht H: Lamellen & Microblades

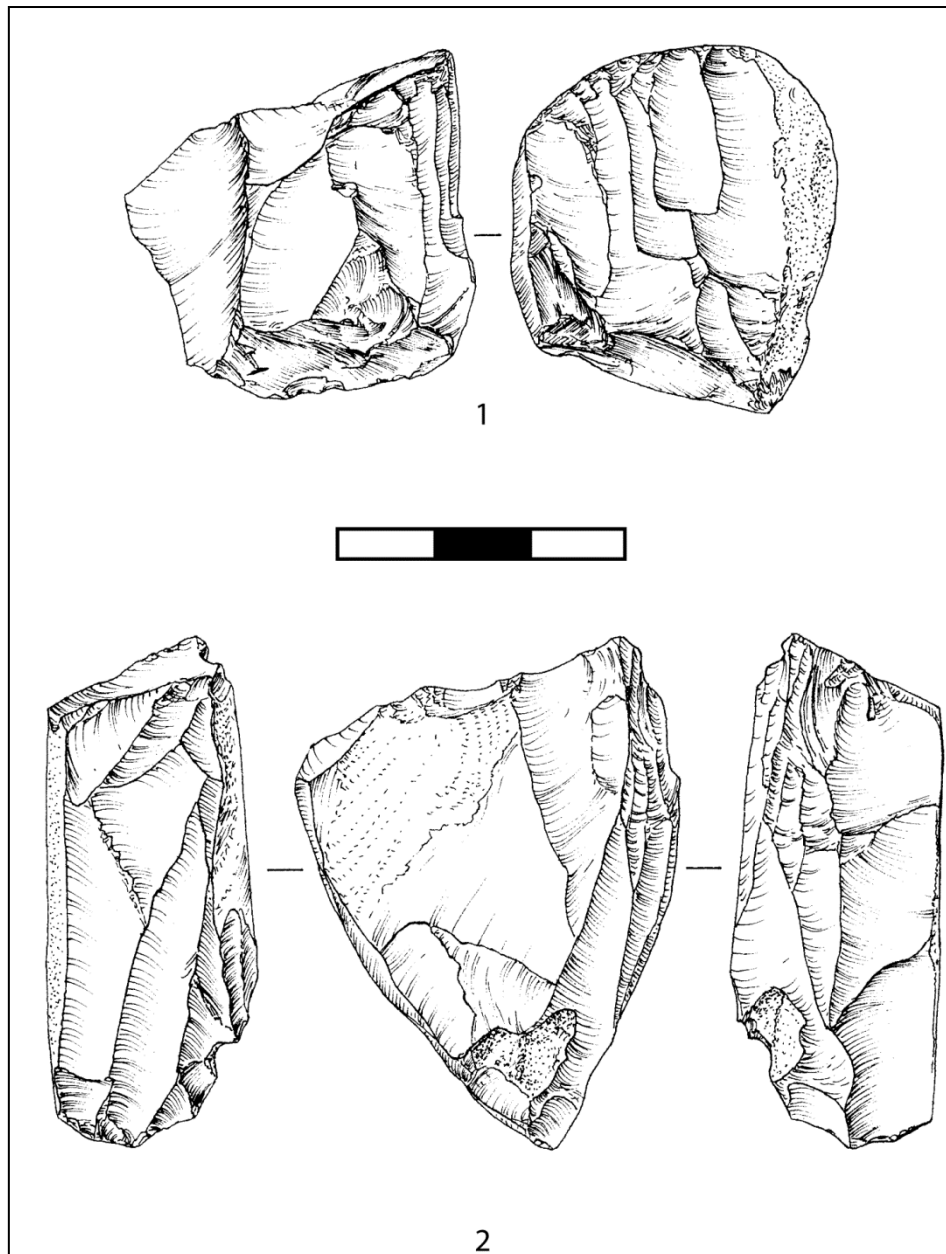


Taf. 11.2. Siuren 1, Schicht H. Lamellen & Microblades. (Fotos: G. Bataille).

Siuren 1, Schicht H: Microblades

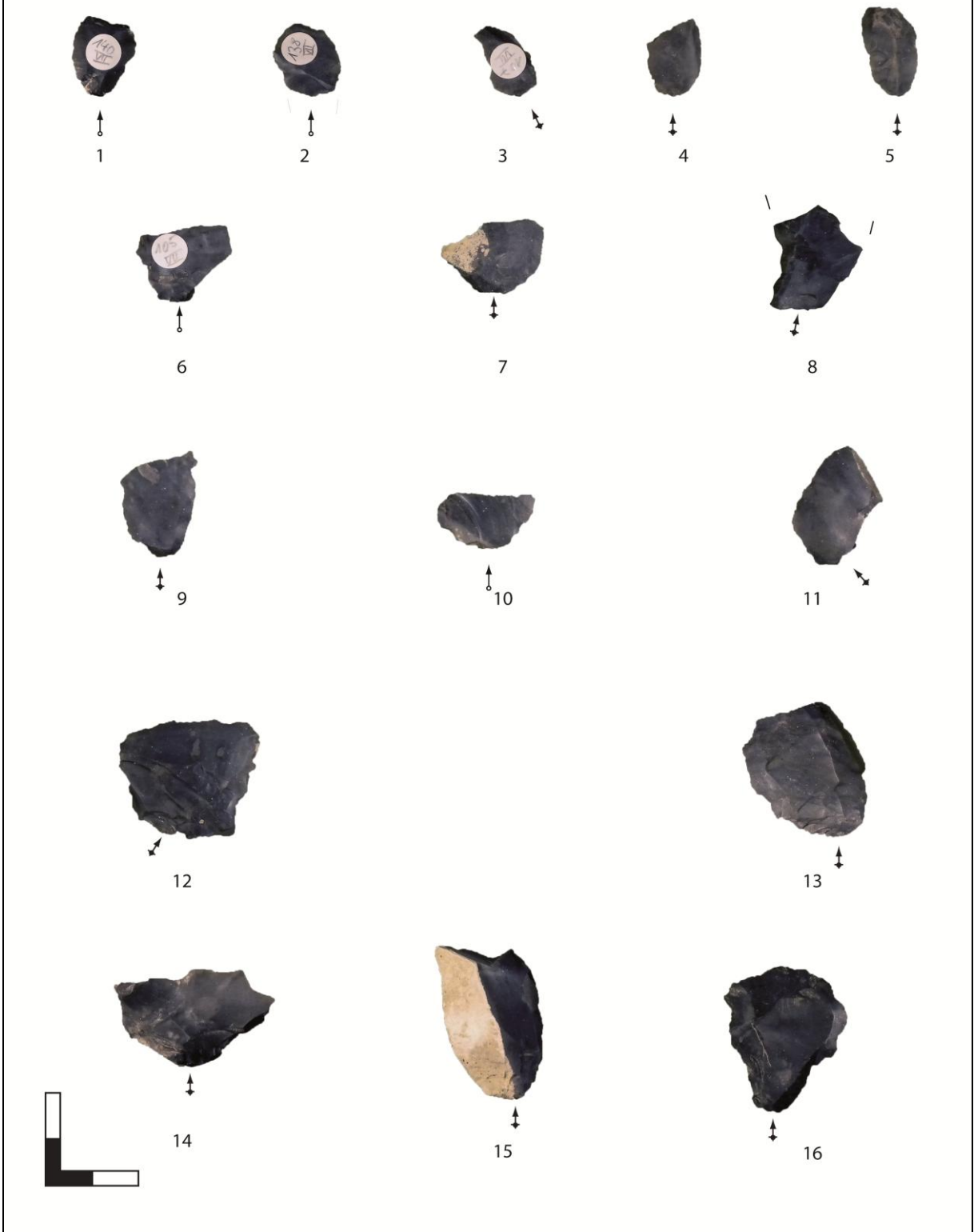


Taf. 11.3. Siuren 1, Schicht H. Lamellen & Microblades. (Fotos: G. Bataille).

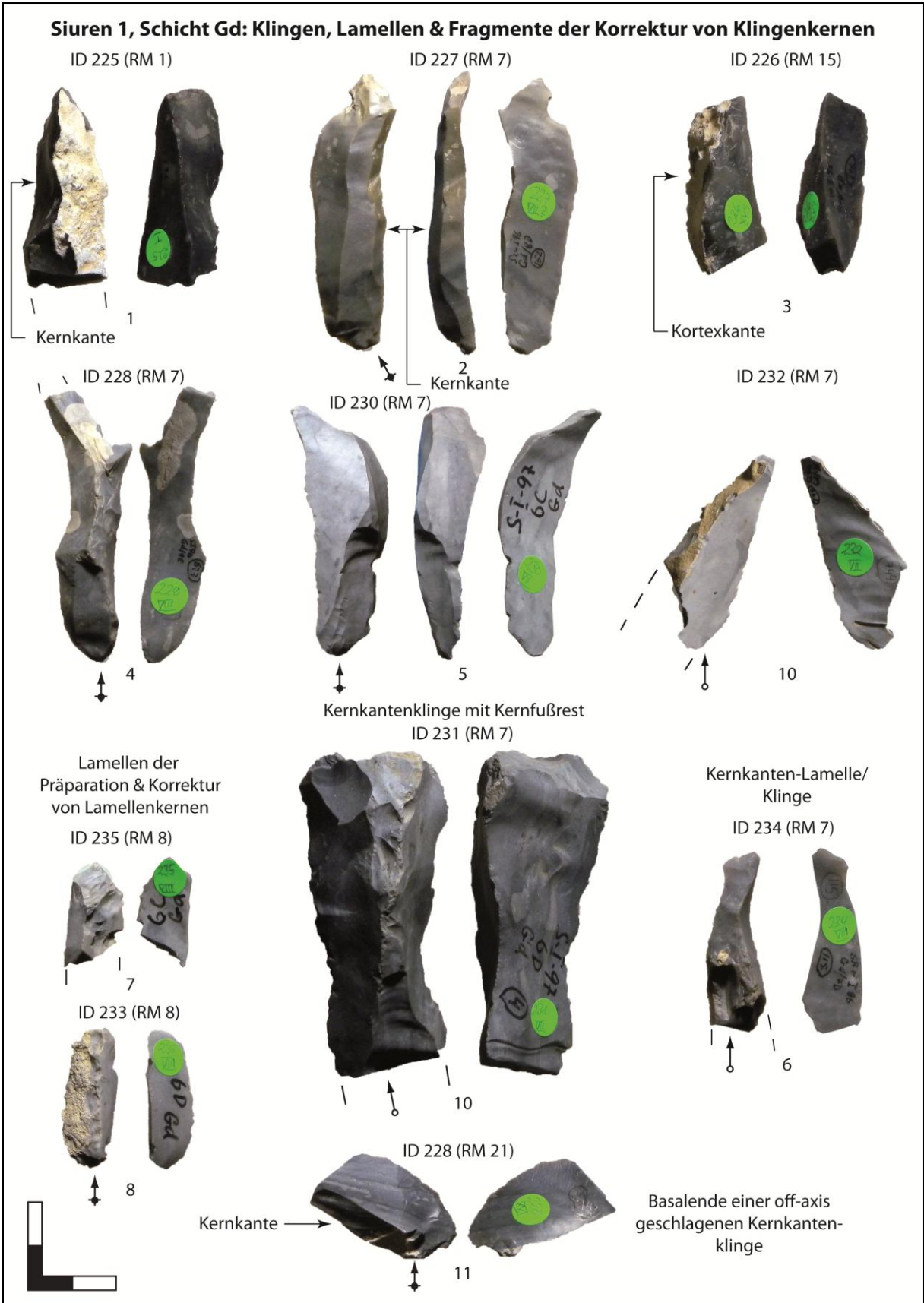


Taf. 11.4. Siuren 1, Schicht Gd. Kerne. 1. Sub-zylindrischer Kielkratzer-artiger Lamellenkern mit steiler, gerader Reduktionsfläche. 2. Bidirektionaler sub-zylindrischer KJlingen-/ Lamellenkern, zwei Schlag- und Reduktionsflächen. Aus: Demidenko & Chabai 2012b, Fig. 1.

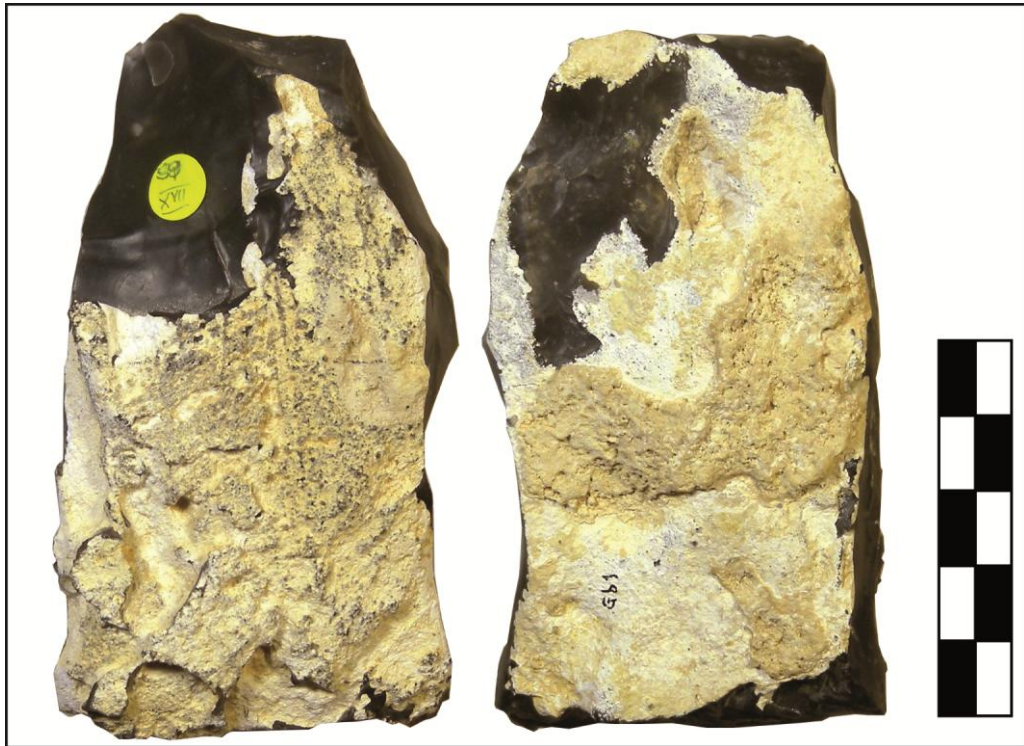
Siuren 1, Schicht Gd (RM 7): Abschlage & Absplisse aus der Lamellenproduktionssequenz



Taf. 11.5. Siuren 1, Schicht Gd. Abschlage & Absplisse. (Fotos: G. Bataille).



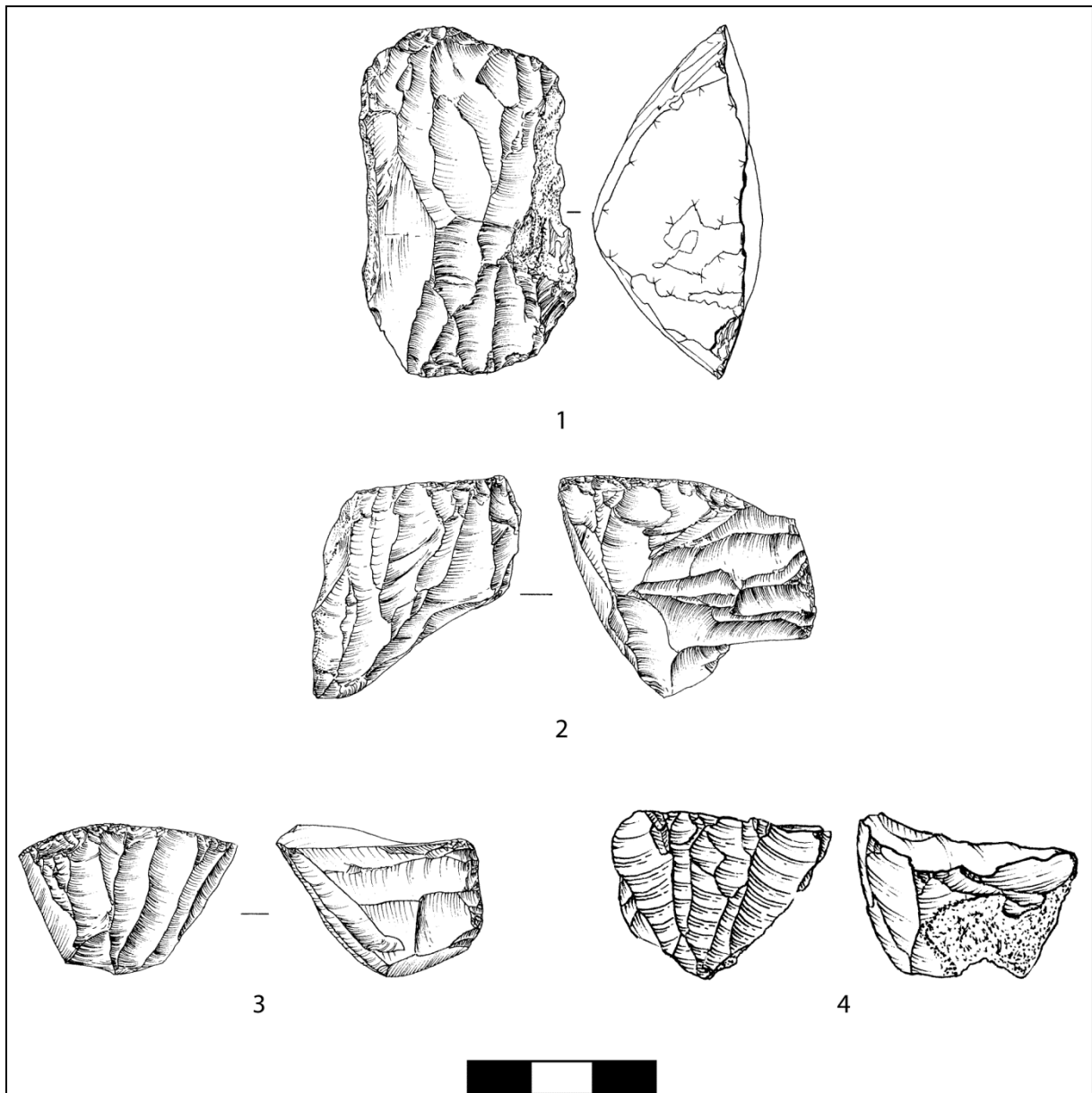
Taf. 11.6. Siuren 1, Schicht Gd. Lamellen & Klingen. (Fotos: G. Bataille).



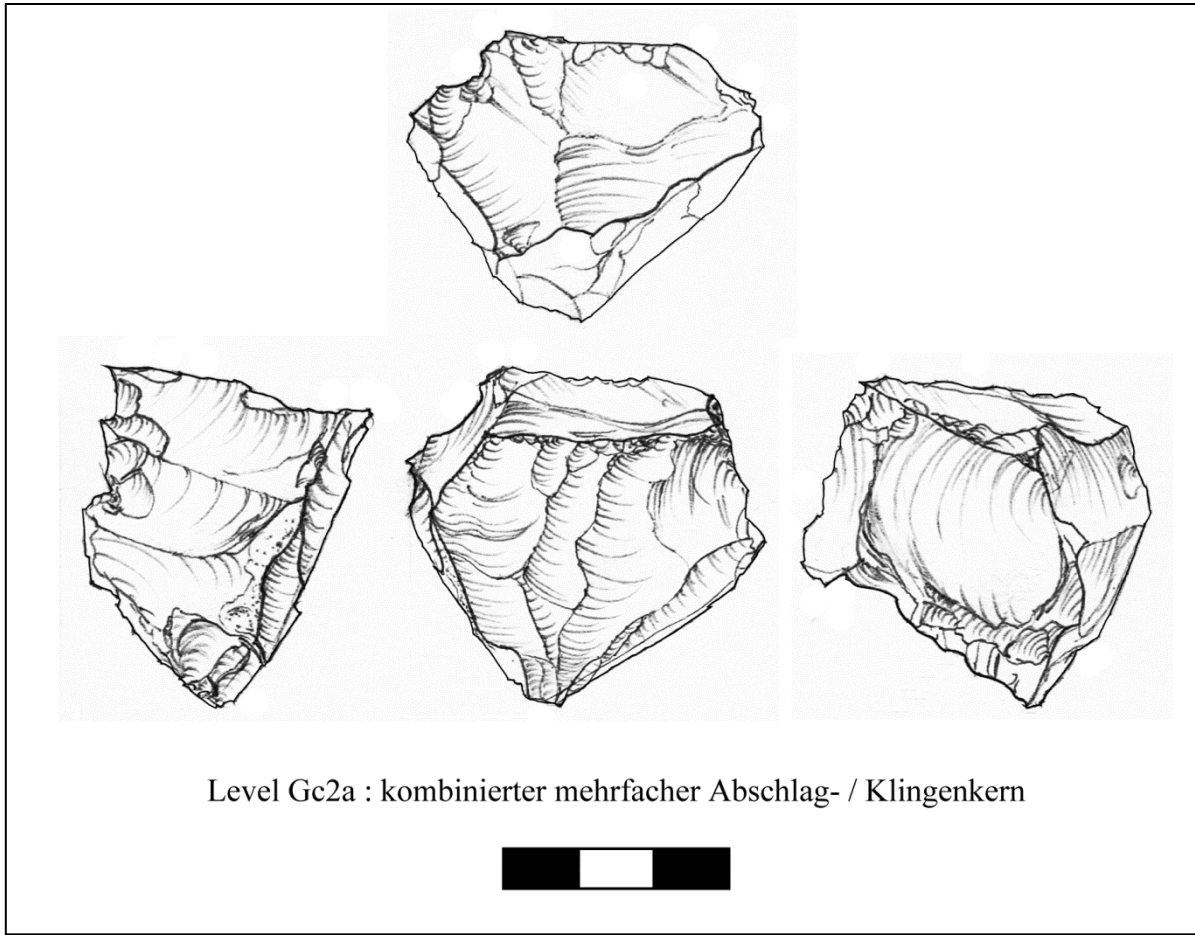
Taf. 11.7. Siuren 1, Schicht Gc1-2. Getestete Platte. (Fotos: G. Bataille).



Taf. 11.8. Siuren 1, Schicht Gc1-2. Abschlagrestkern mit mehreren Schlag- und Reduktionsflächen. (Fotos: G. Bataille).

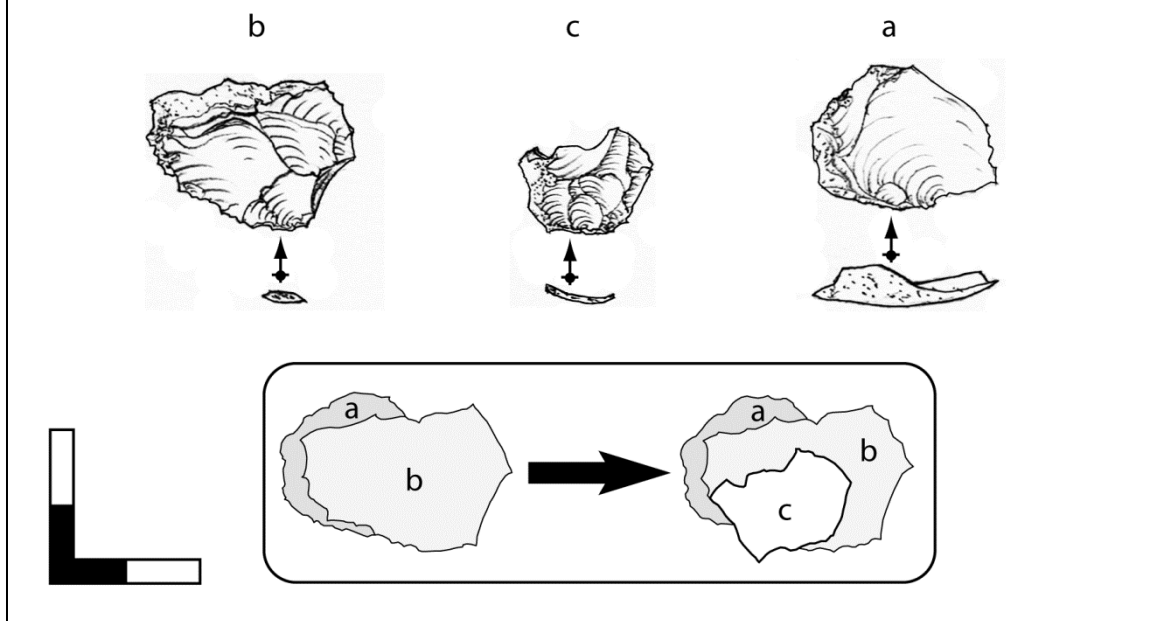


Taf. 11.9. Siuren 1, Schicht Gc1-2: Lamellenkerne. 1. Kielkratzer-artiger Lamellenkern mit zwei im 80°-Winkel einander gegenüber liegenden geraden unipolaren Lamellenabbauf lächen, 2. Unipolarer Lamellenkern mit zwei orthogonal zueinander gedrehten Reduktionsflächen, 3 & 4. Kielkratzer mit sub-pyramidaler gerader Reduktionsfläche, 3. Zwei orthogonal zueinander gedrehte Abbauf lächen. Aus: Demidenko & Chabai 2012b, Fig. 1.



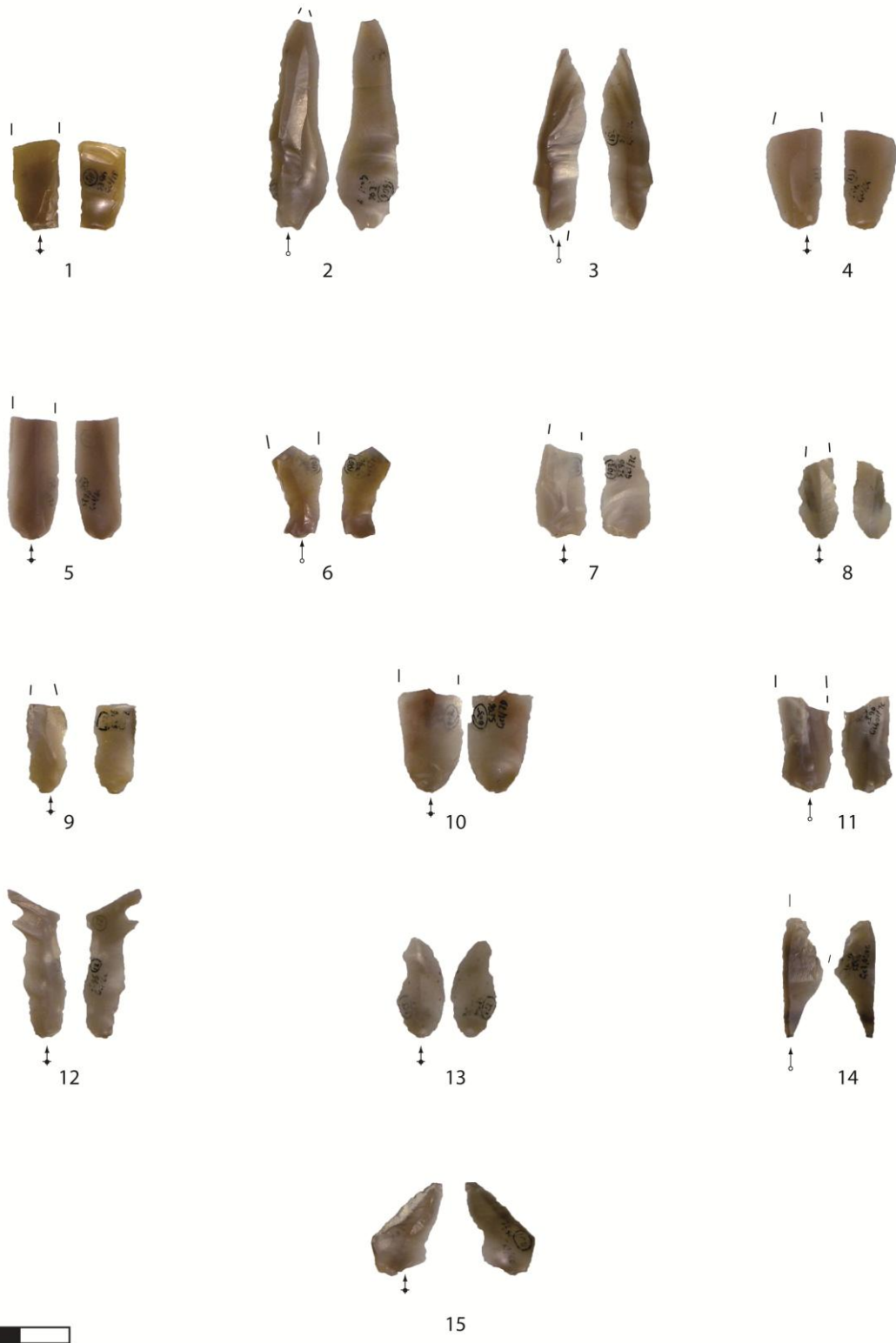
Taf. 11.10. Siuren 1, Schicht Gc2a. Klingenkern mit mehreren Reduktionsflächen der Abschlag- und unipolaren Klingengewinnung. (Zeichnungen: G. Bataille).

Siuren 1, Schicht Gb1: aufeinandergepasste Formüberarbeitungs-Abschläge
RM 31

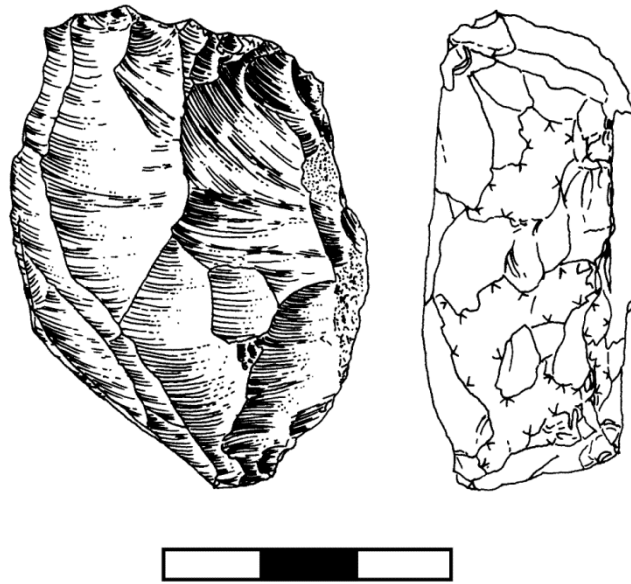


Taf. 11.11. Siuren 1, Schicht Gc2a. Kleine Formüberarbeitungs-Abschläge belegen die Zurichtung bifazieller Geräte vor Ort. (Zeichnungen: G. Bataille).

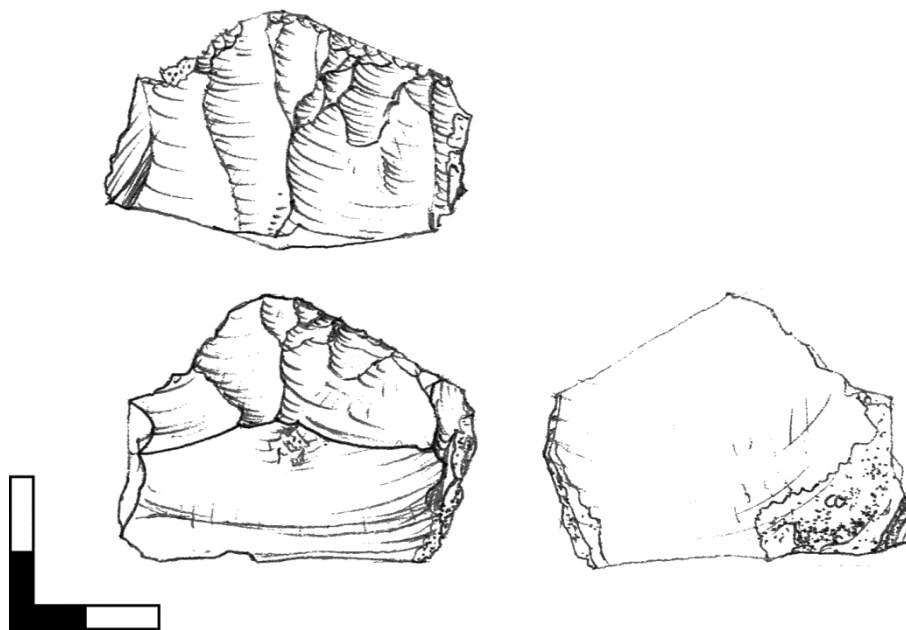
Siuren 1, Schicht Gc1: gerade & schwach gebogene, on-axis geschlagene Lamellen



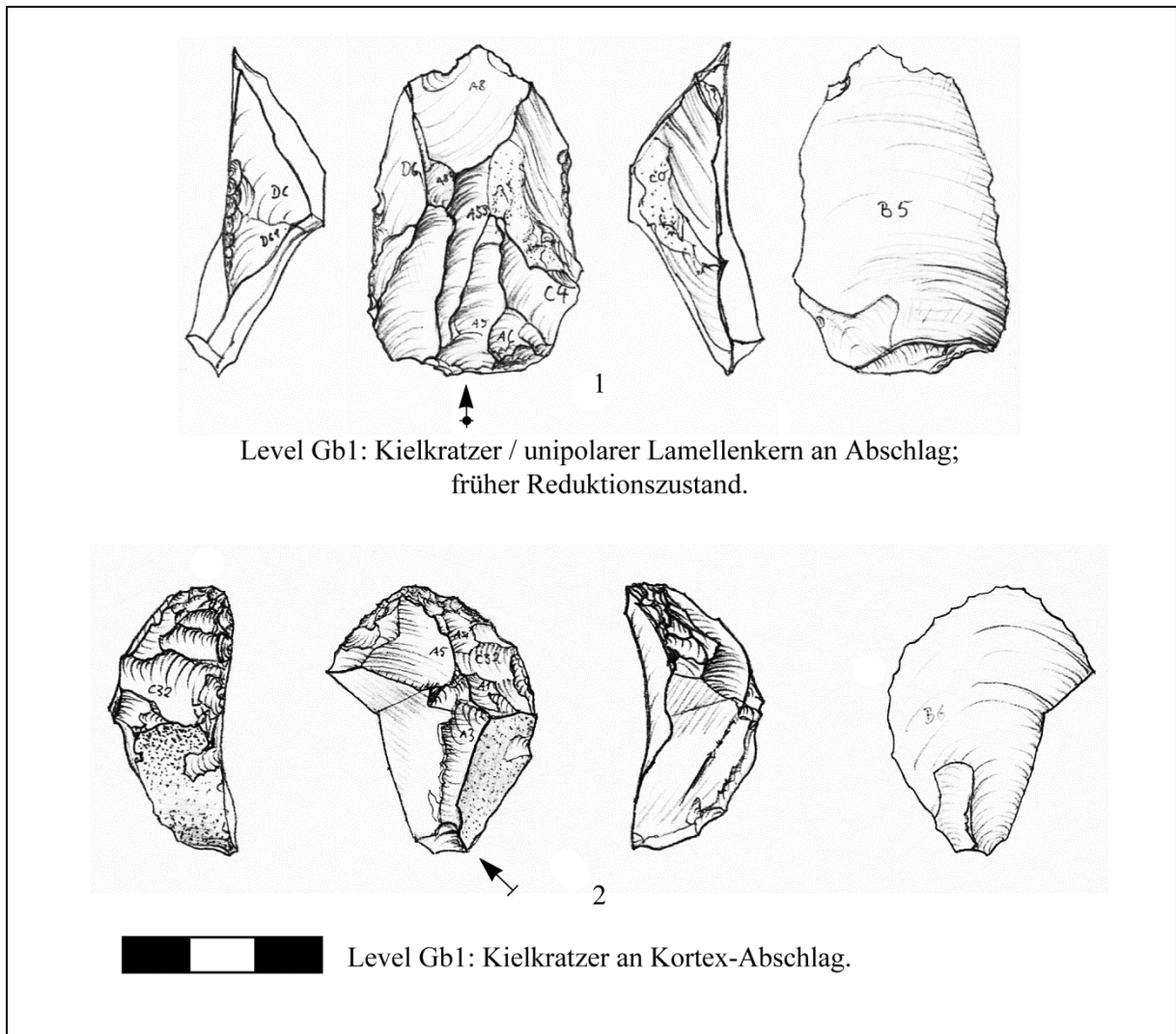
Taf. 11.12. Siuren 1, Schicht Gc2a. Lamellen & Microblades. (Fotos: G. Bataille).



Taf. 11.13. Siuren 1, Schicht Gb1-2. Unipolarer Lamellenkern. Aus Demidenko & Chabai 2012b, Fig. 1.



Taf. 11.14. Siuren 1, Schicht Gb1. Schulterkratzer. Lamellenkern. (Zeichnungen: G. Bataille).

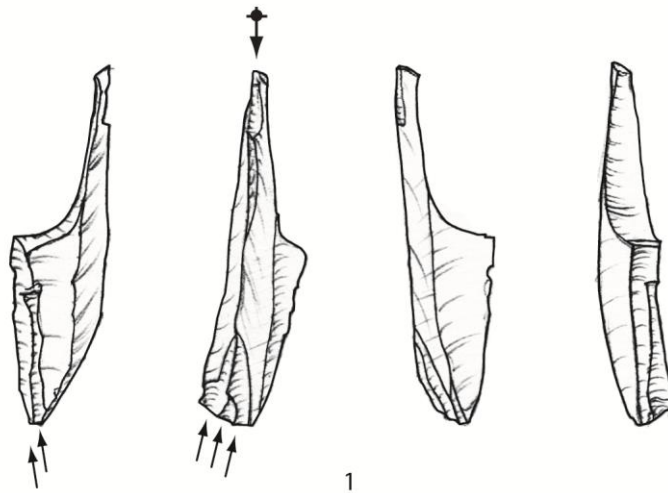


Taf. 11.15. Siuren 1, Schicht Gb1. Lamellenkerne. Kielkratzer mit gerader Lamellenreduktionsfläche; 2. Kielkratzer mit stark reduzierter und daher steiler Kratzerkappe / Microblade-Kern. (Zeichnungen: G. Bataille).

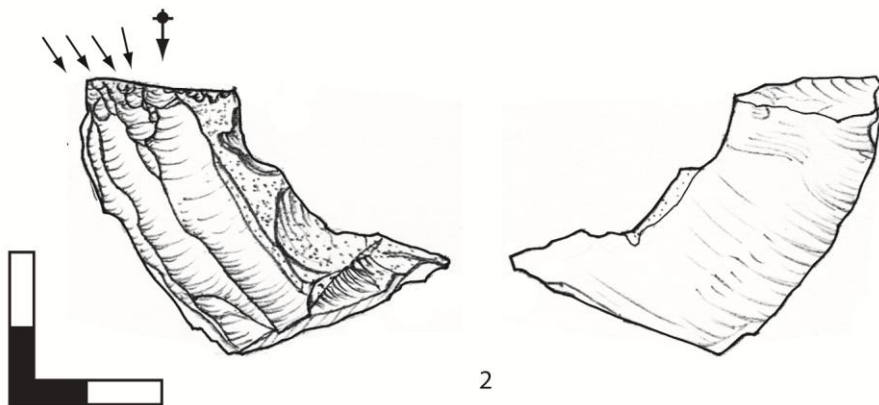
Siuren 1, Schicht Gb1-2: Lamellen-/Microblade-Kerne

Schicht Gb1: ID 16, RM 6, 9-C, #418

Stichelabfall - Fragment eines Lamellenkerns mit Negativen der nachträglichen
Microblade-Produktion; letzter Zustand: Microblade-Kern (Dihedral-Stichel)

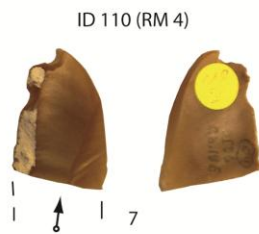


Schicht Gb2: ID 1, RM 1, 9-C, #418
unipolarer Lamellenkern an Abschlag

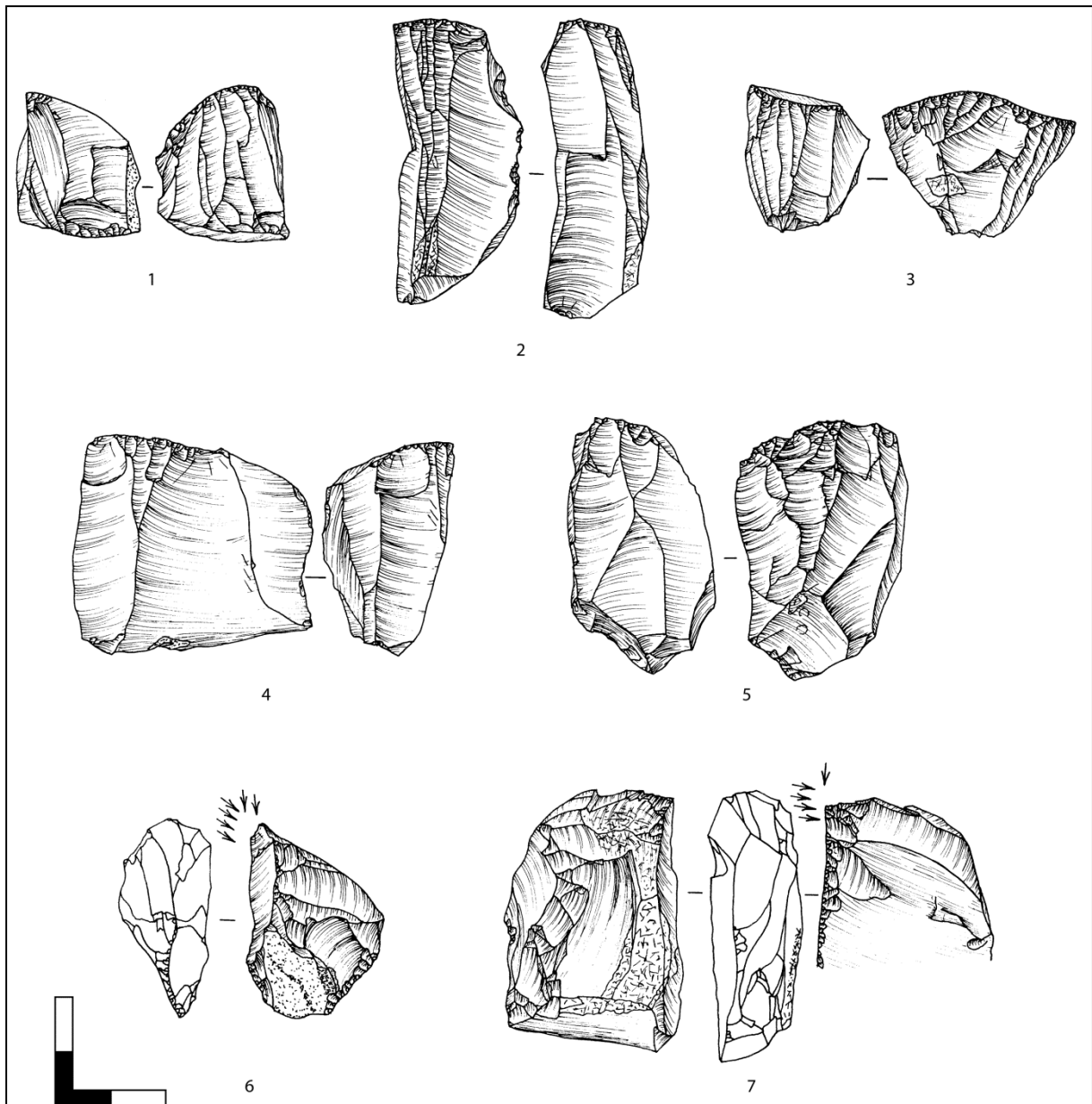


Taf. 11.16. Siuren 1, Schicht Gb2-2: Lamellen-/Microbladekerne. 1. Dihedralstichel, 2. Unipolarer subzylindrischer Klingen-/Lamellenkern an Abschlag. (Zeichnungen: G. Bataille).

Siuren 1, Schicht Gb1-2: Klingen (RM 4 & 11)



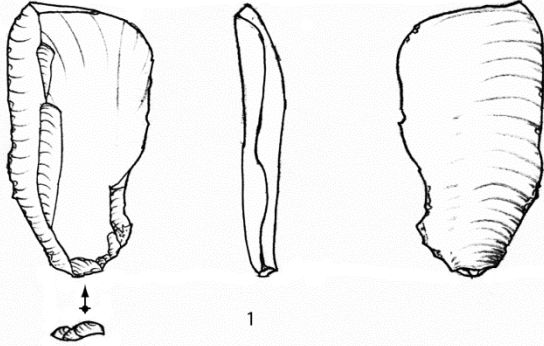
Taf. 11.17. Siuren 1, Schicht Gb1-2. RM 4 & 11. Klingen & Lamellen aus einer verschränkten Produktion. Allerdings sind die entsprechenden Lamellen recht groß und bilden ein Kontinuum mit den eher kleinen Klingen. (Fotos: G. Bataille).



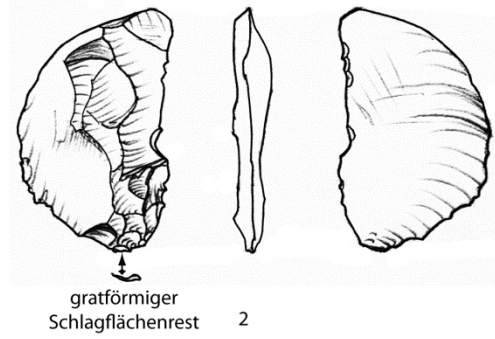
Taf. 11.18. Siuren 1, Schicht Fb1-2. Kerne. 1 & 2. Kielkratzer-artige unipolare sub-zylindrische bzw. sub-pyramidale Lamellenkerne, 4. Klingen- / Abschlagkern, 5. Bidirektionaler Lamellenkern mit zwei gegenüber liegenden Schlagflächen, 6 & 7 Kielstichel, unipolare Lamellenkerne. Aus: Demidenko & Chabai 2012c, Fig. 1.

Siuren 1, Schichten Fb2 : Abschläge (RM VII-4)

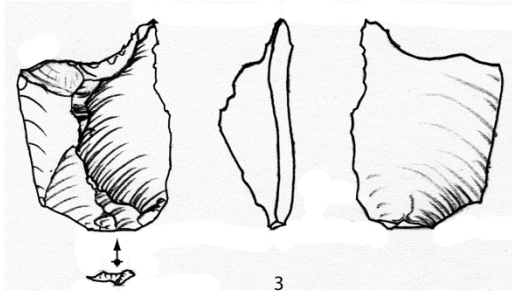
ID 160, 8-E



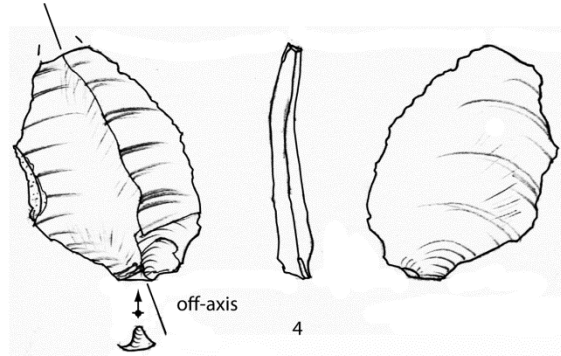
8-D



9-E

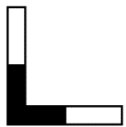
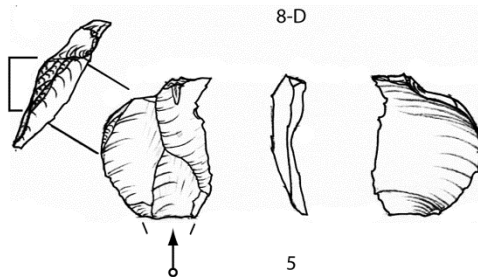


8-E



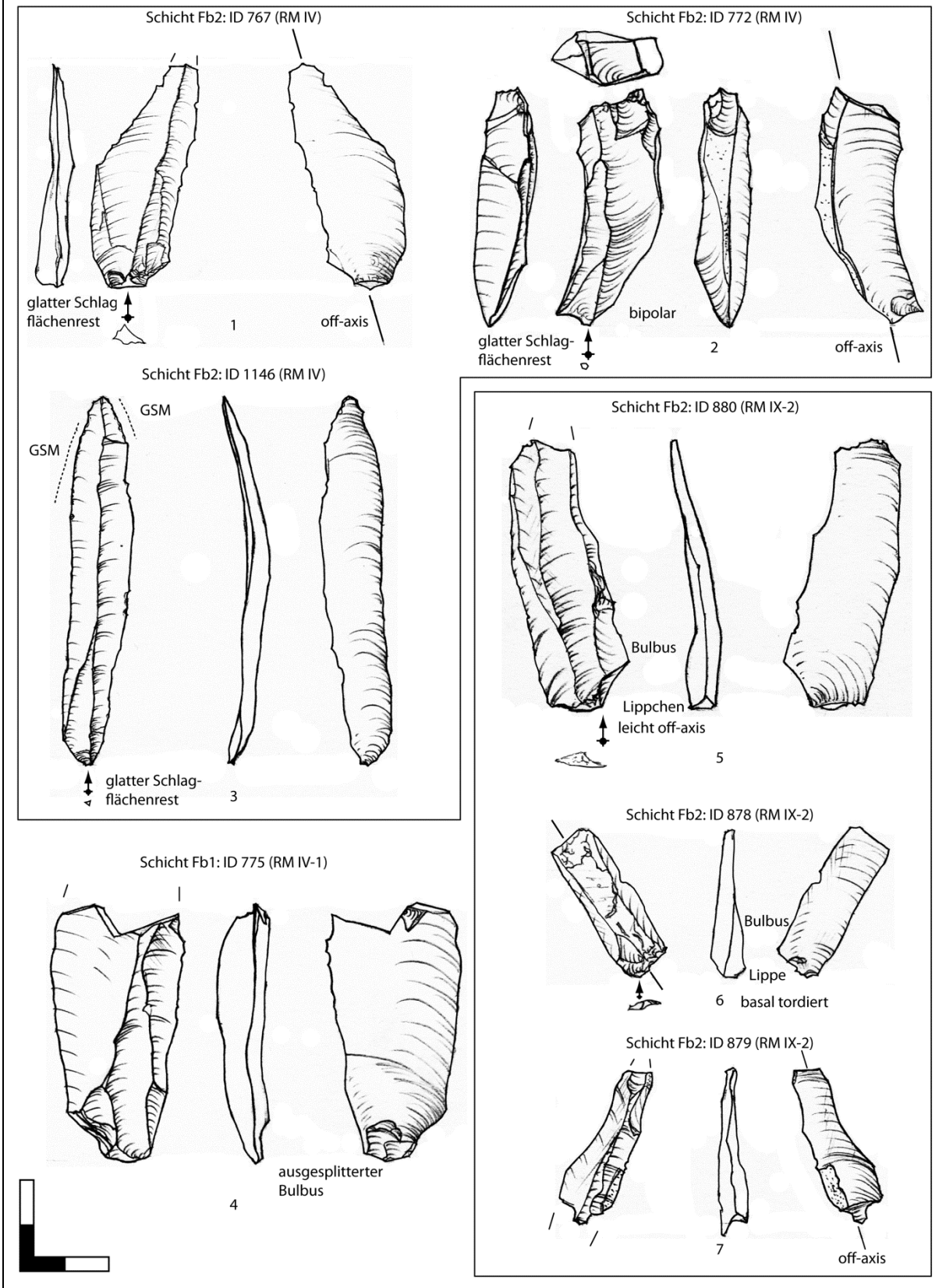
8-D

Microblade-Produktion →
Abschlag stammt von
Unter- oder Oberseite
eines Microblade-Kerns



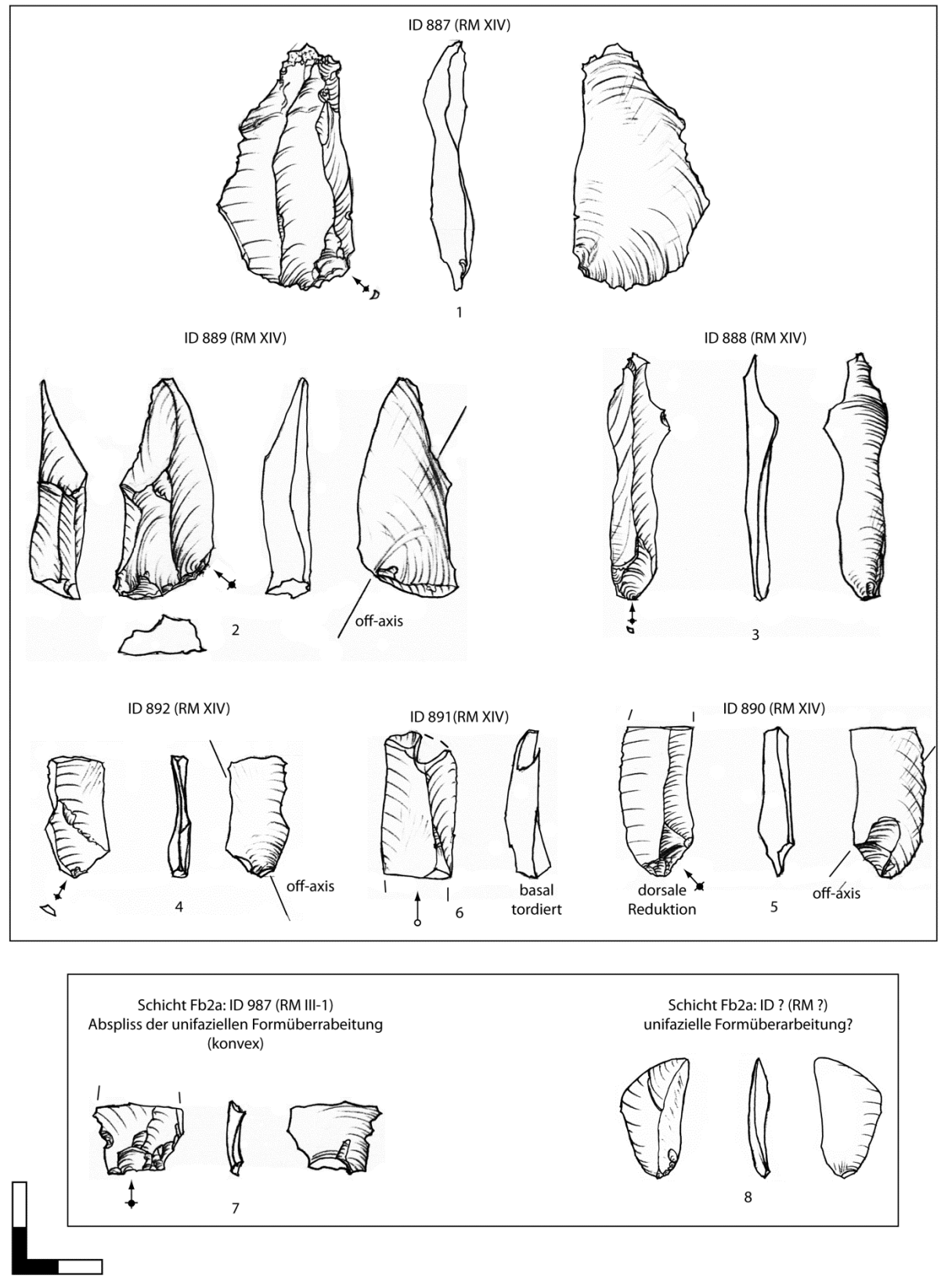
Taf. 11.19. Siuren 1, Schicht Fb2. (Zeichnungen: G. Bataille).

Siuren 1, Schicht Fb1-2: Klingen



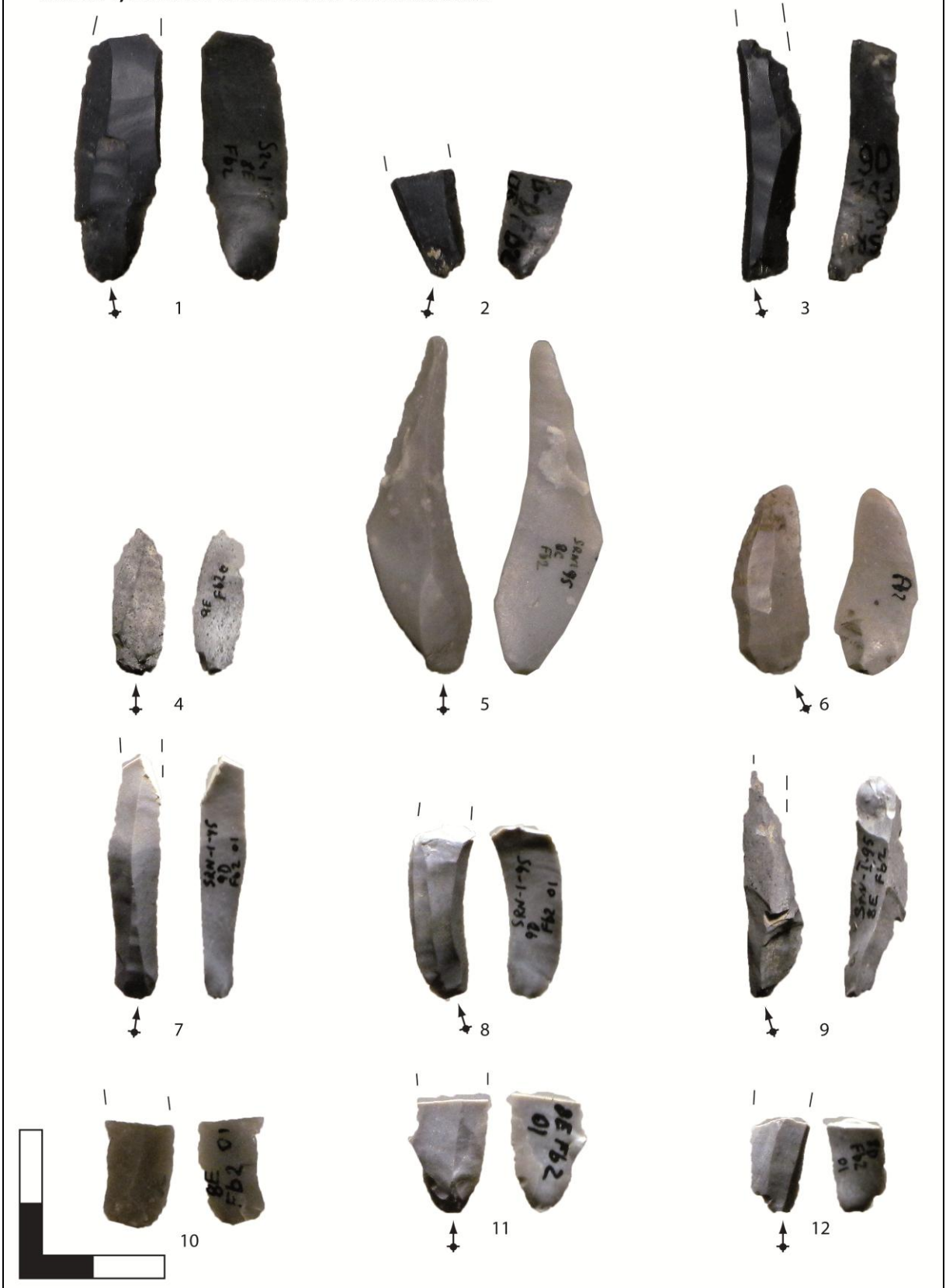
Taf. 11.20. Siuren 1, Schicht Fb1-2. (Zeichnungen: G. Bataille).

Siuren 1, Schichten Fb2 & Fb2a: Klingen (RM XIV) & Abschlage der konvexen unifaziellen Formuberarbeitung (RM III-1)



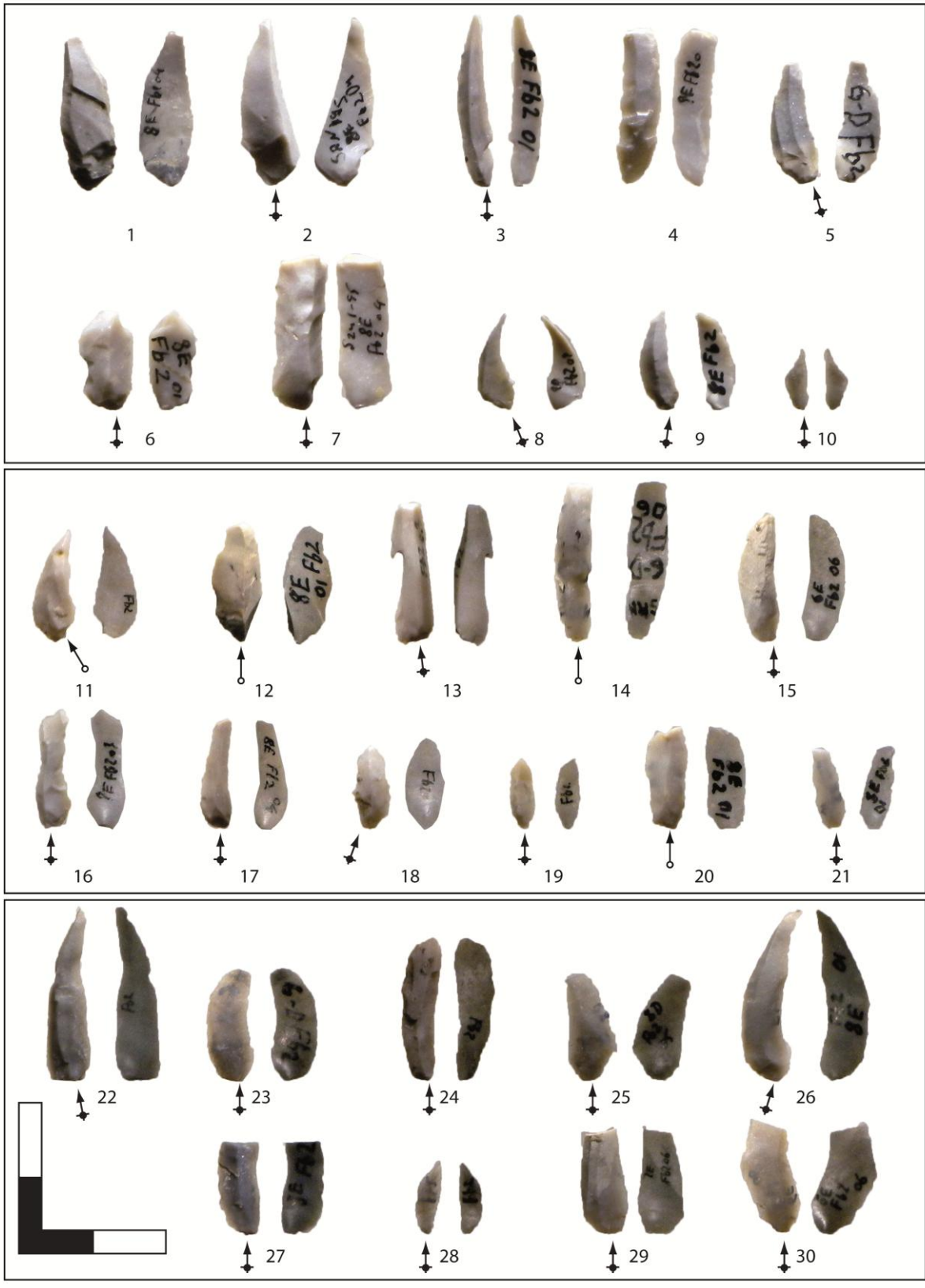
Taf. 11.21. Siuren 1, Schicht Fb2. (Zeichnungen: G. Bataille).

Siuren 1, Schicht Fb2: Lamellen & Microblades



Taf. 11.22. Siuren 1, Schicht Fb2. (Fotos: G. Bataille).

Siuren 1, Schicht Fb2: Microblades



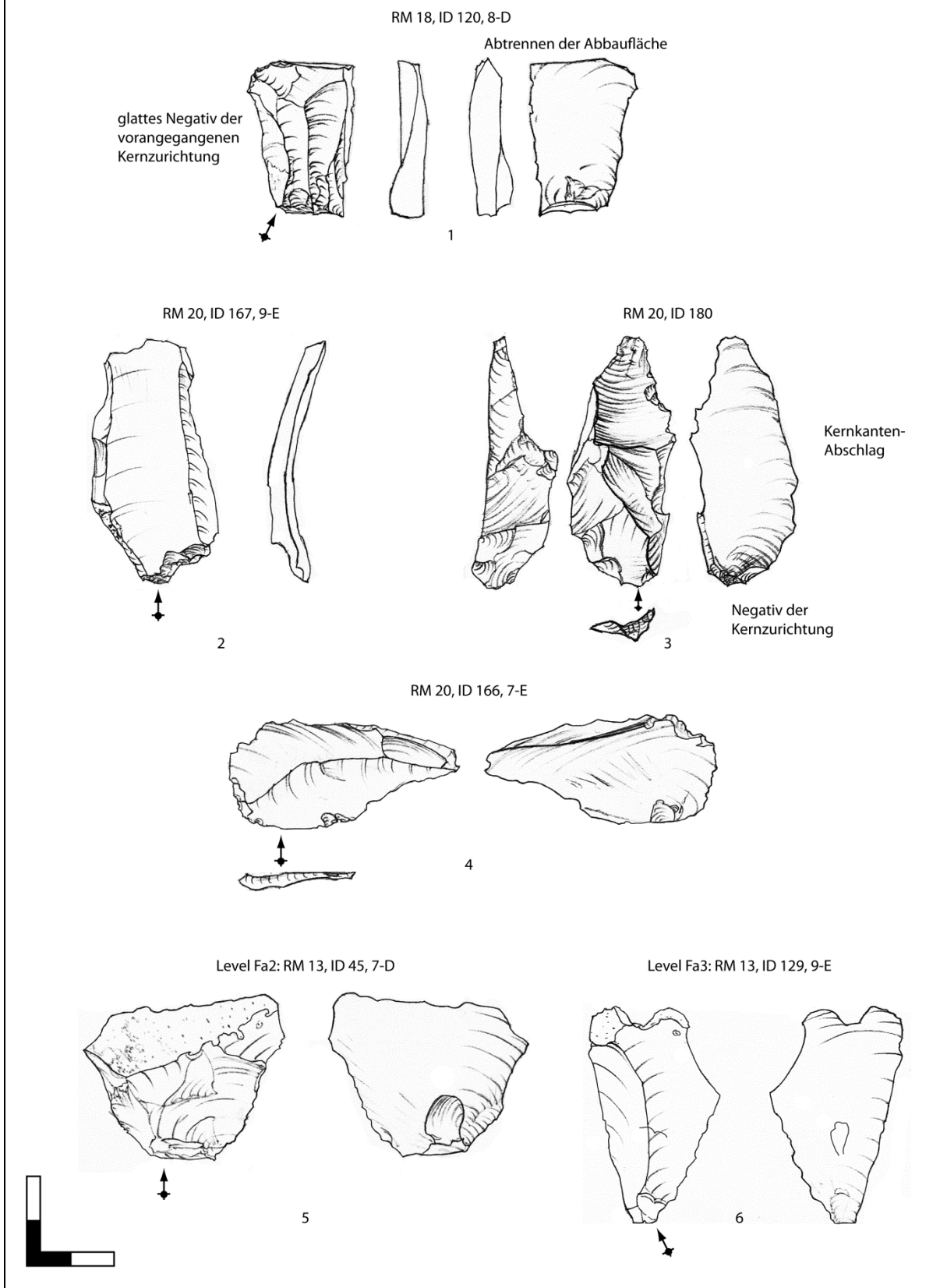
Taf. 11.23. Siuren 1, Schicht Fb2. (Fotos: G. Bataille).

Siuren 1, Schicht Fb2: Microblades



Taf. 11.24. Siuren 1, Schicht Fb2. (Fotos: G. Bataille).

Siuren 1, Schichten Fa2 & Fa3: Abschläge (RM 13 & 20)

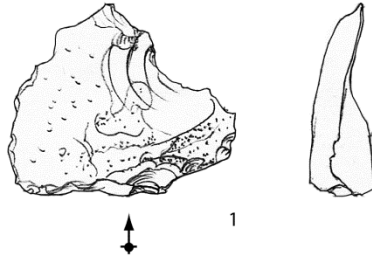


Taf. 11.25. Siuren 1, Schicht Fa2-3. (Zeichnungen: G. Bataille).

Siuren 1, Schicht Fa3: Abschläge (RM 14)

RM 14, ID 134, 7-E

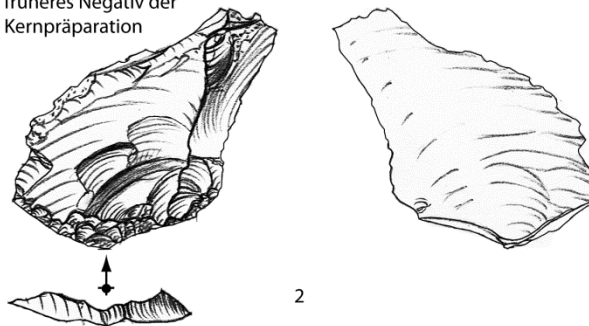
Kernzurichtung



1

RM 14, ID 173, 9-E

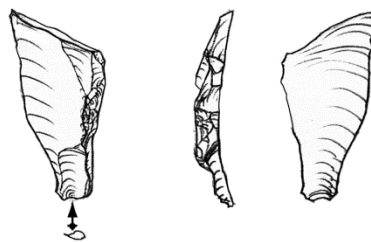
früheres Negativ der Kernpräparation



2

geknickter Schlagflächenrest

Kernkantenabschlag
RM 14, ID 193, 7-D

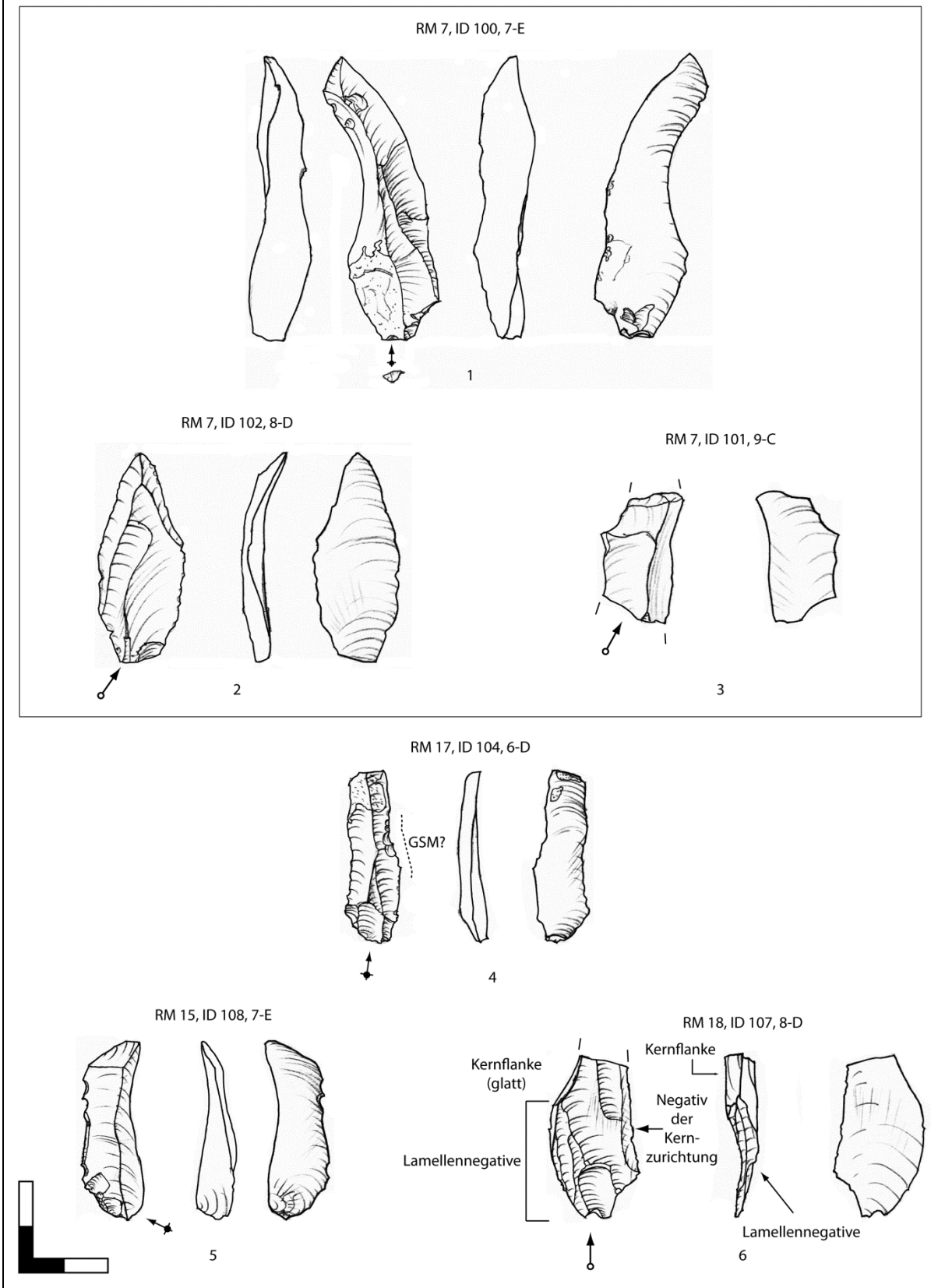


3



Taf. 11.26. Siuren 1, Schicht Fa3. (Zeichnungen: G. Bataille).

Siuren 1, Schicht Fa3 : Klingen & Abschlage (RM 7, 15, 17 & 18)

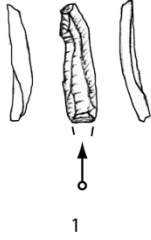


Taf. 11.27. Siuren 1, Schicht Fa3. (Zeichnungen: G. Bataille).

Siuren 1, Schicht Fa3: Lamellen & Microblades (RM 7, 10, 15, 20, 21)

Microblades, off-axis tordiert

ID 237, RM 20, 8-D



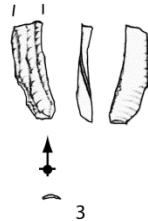
1

ID 239, RM 20, 8-E



2

ID 240, RM 20, 9-D



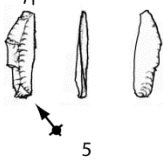
3

ID 241, RM 20, 7-E



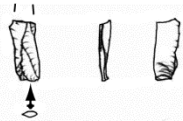
4

ID 242, RM 20, 7-D



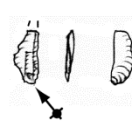
5

ID 243, RM 20, ?



6

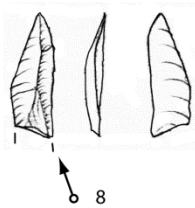
ID 255, RM 7, 7-E



7

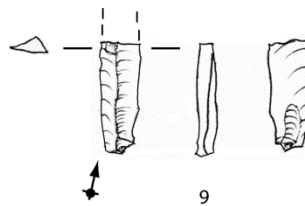
Lamellen, on- und off-axis

ID 200, RM 10, 9-D



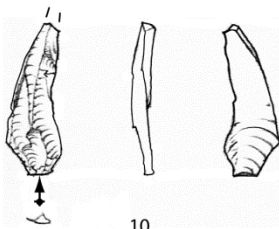
8

ID 201, RM 10, 8-D



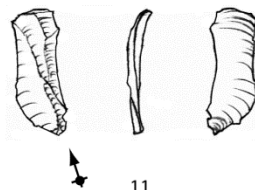
9

ID 224, RM 7, 8-E



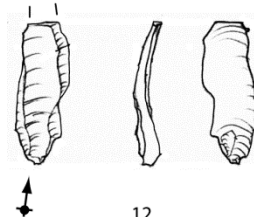
10

ID 204, RM 15, 6-D



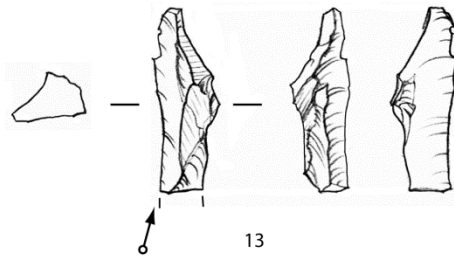
11

RM 15, 6-E

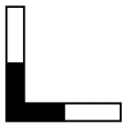


12

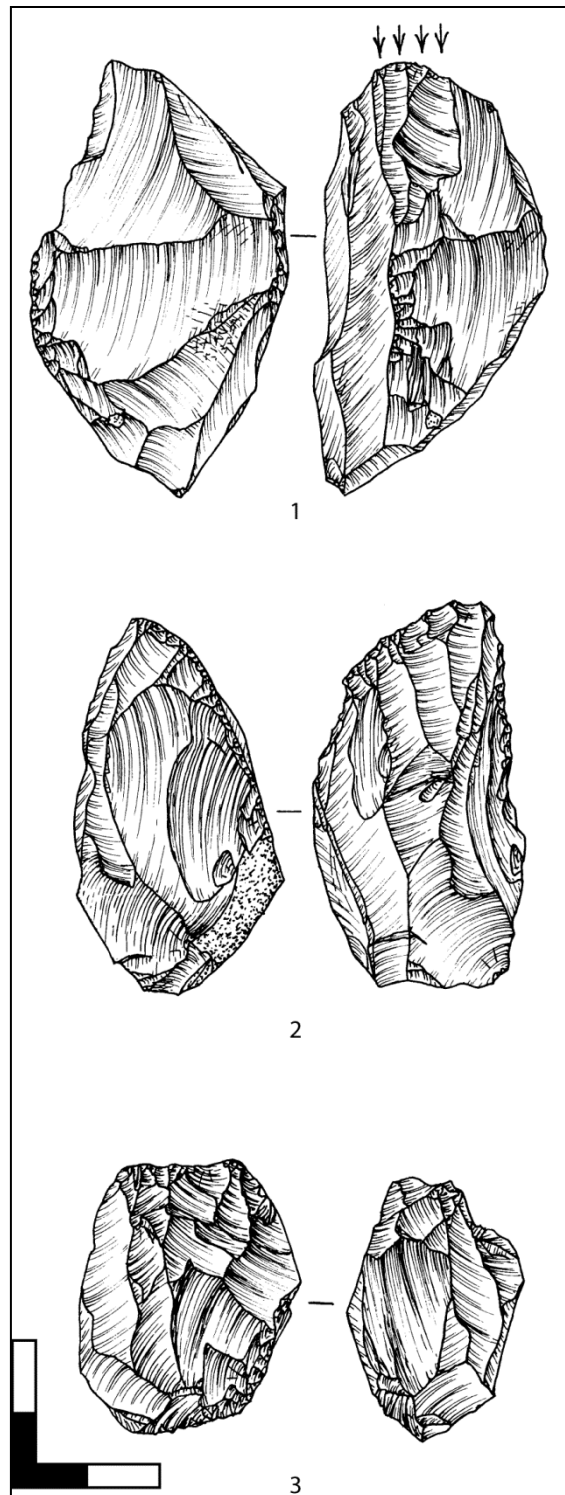
ID 229, RM 21, 9-D



13

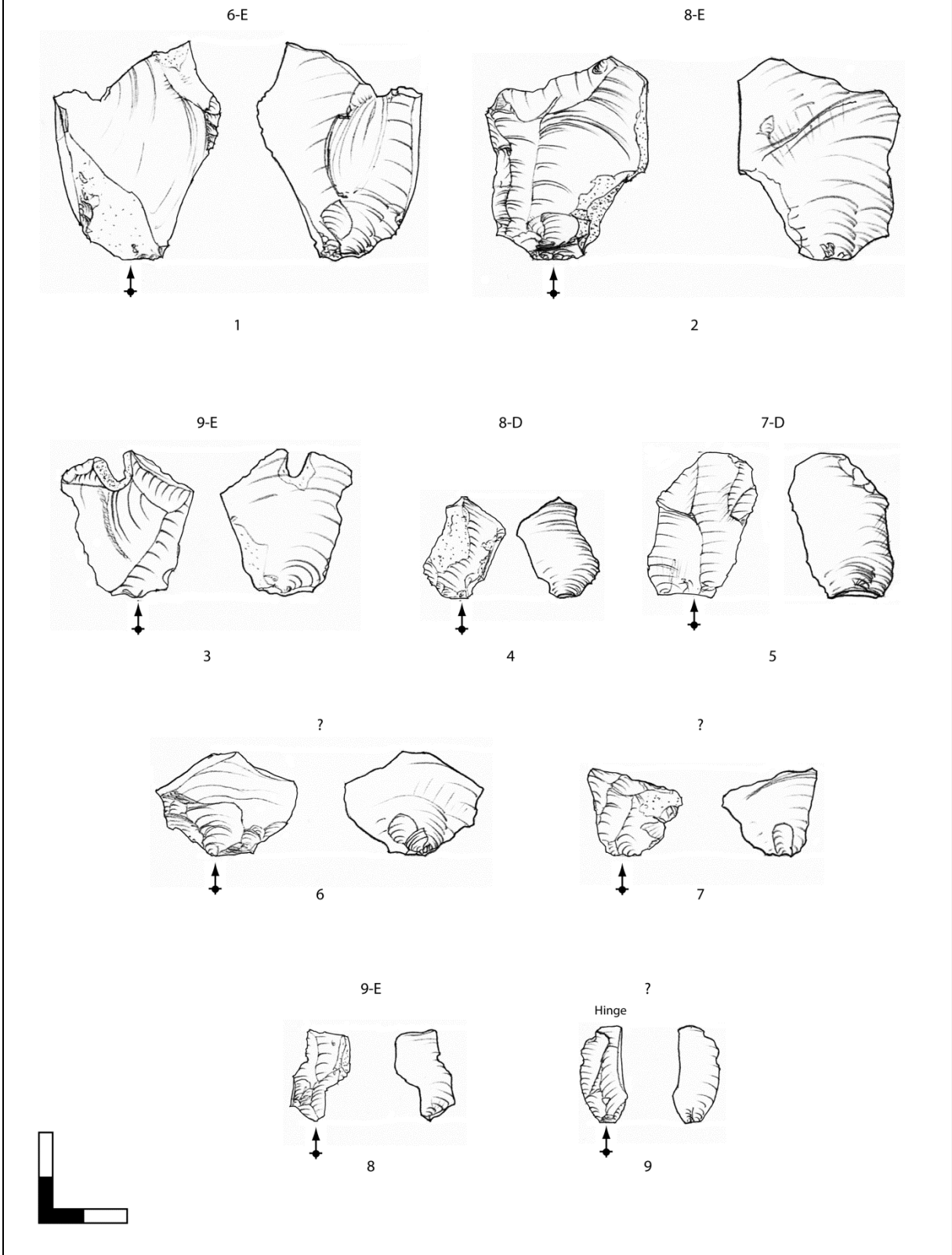


Taf. 11.28. Siuren 1, Schicht Fa3. (Zeichnungen: G. Bataille).



Taf. 11.29. Siuren 1, Schicht Fa1-3. Kerne. 1. Unipolarer Klingen- / Lamellenkern, 2. Sub-zylindrischer unipolarer Lamellenkern, 3. Kombiniertes Abschlag- / Lamellenkern mit mehreren Schlag- und Reduktionsflächen. Aus: Demidenko & Chabai 2012c, Fig. 2.

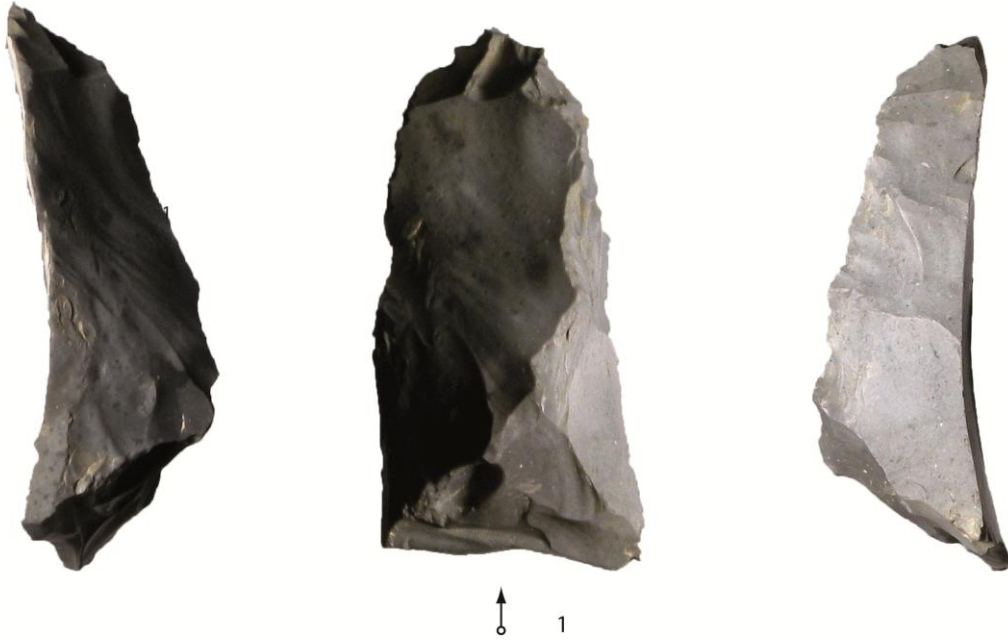
Siuren 1, Schicht Fa1-2: Abschläge (RM 14, ID 46-54)



Taf. 11.30. Siuren 1, Schicht Fa1-2. (Zeichnungen: G. Bataille).

Siuren 1, Schicht Fa1-2: Kernkanten-Klingen

primäre Kernkantenklinge



sekundäre Kernkantenklinge aus Abbausequenz



Taf. 11.31. Siuren 1, Schicht Fa1-2. (Fotos: G. Bataille).

Siuren 1, Schicht Fa1-2: Microblades & Stichellamellen

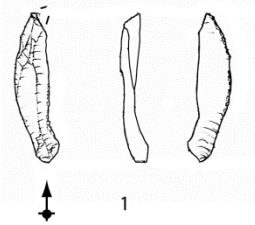


Taf. 11.32. Siuren 1, Schicht Fa1-2. (Fotos: G. Bataille).

Siuren 1, Schichten Fa2, Fa3, Fb1 & Fb2: Mikrolithen an Microblades

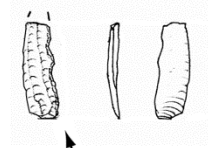
Mikrolithen an Lamellen

Fa2: ID 19, RM IV, 8-D



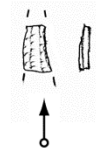
1

Fa3: ID 21, RM I, 6-E



2

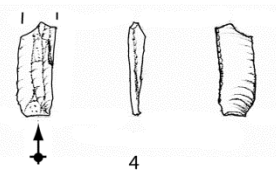
Fa3: ID 22, RM 2, 6-D



3

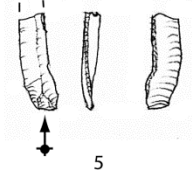
Mikrolithen an Microblades

Fb2: 02, 9-E



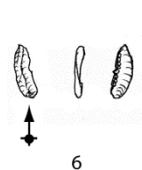
4

Fb2: 01, 8-D



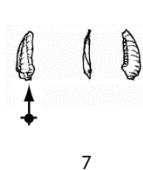
5

Fb2: 8-E



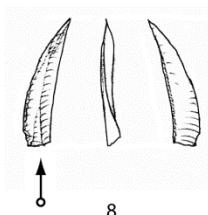
6

Fb2: 7-E



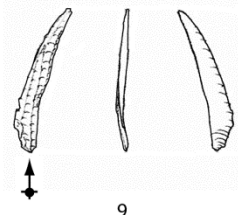
7

Fb2: 01, ?



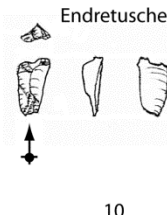
8

Fb1: 8-E



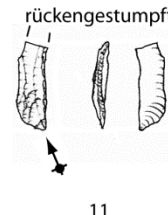
9

Fb2: ID 64, RM 7/12, 9-E



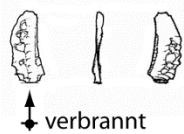
10

Fb1: ID 67, 8-E, RM?



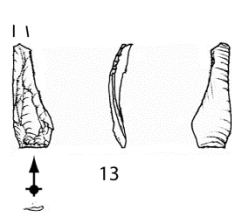
11

Fb2: 01, 8-E



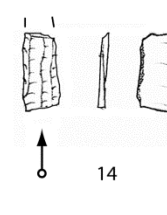
12

Fb2: 8-E



13

Fb1: ID 65, RM 27, 8-E



14

Fb2: 8-E



15

Fb1: 7-E



16

Fb2: ?



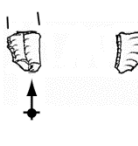
17

Fb2: ?

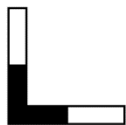


18

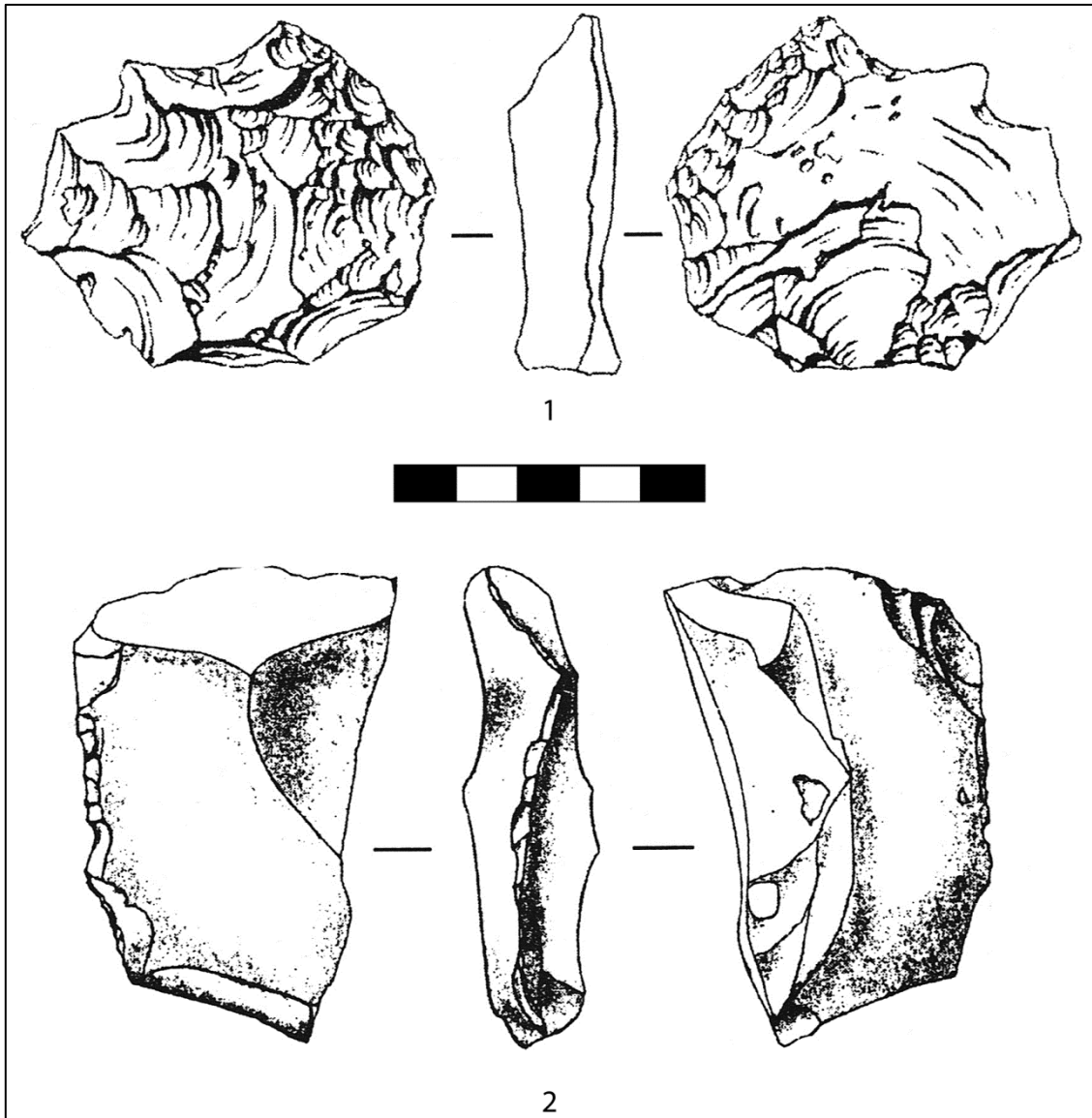
Fb1: ID 63, 8-E



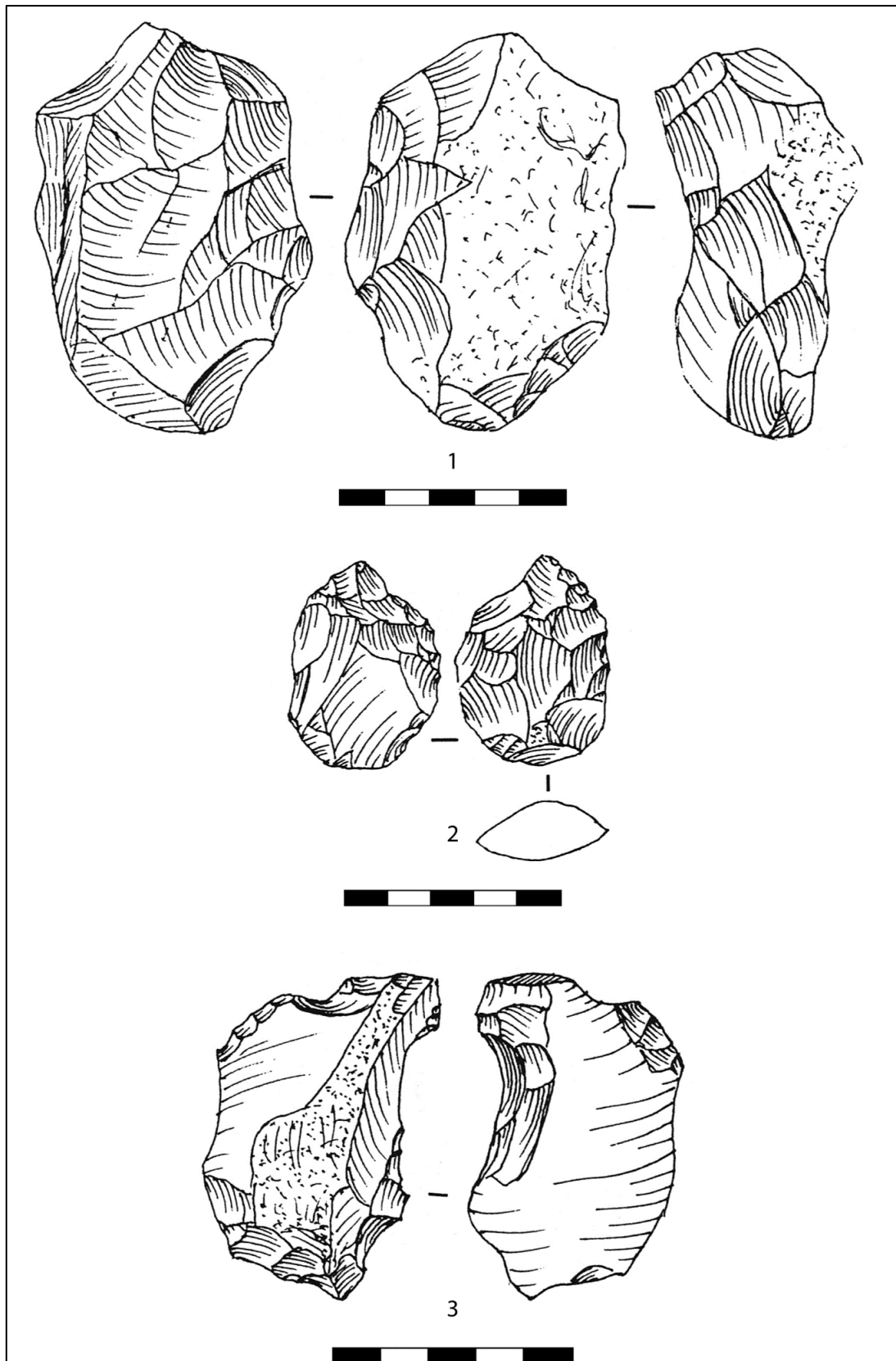
19



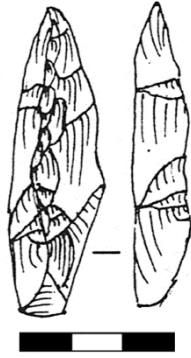
Taf. 11.33. Siuren 1, Schicht Fa & Fb. (Zeichnungen: G. Bataille).



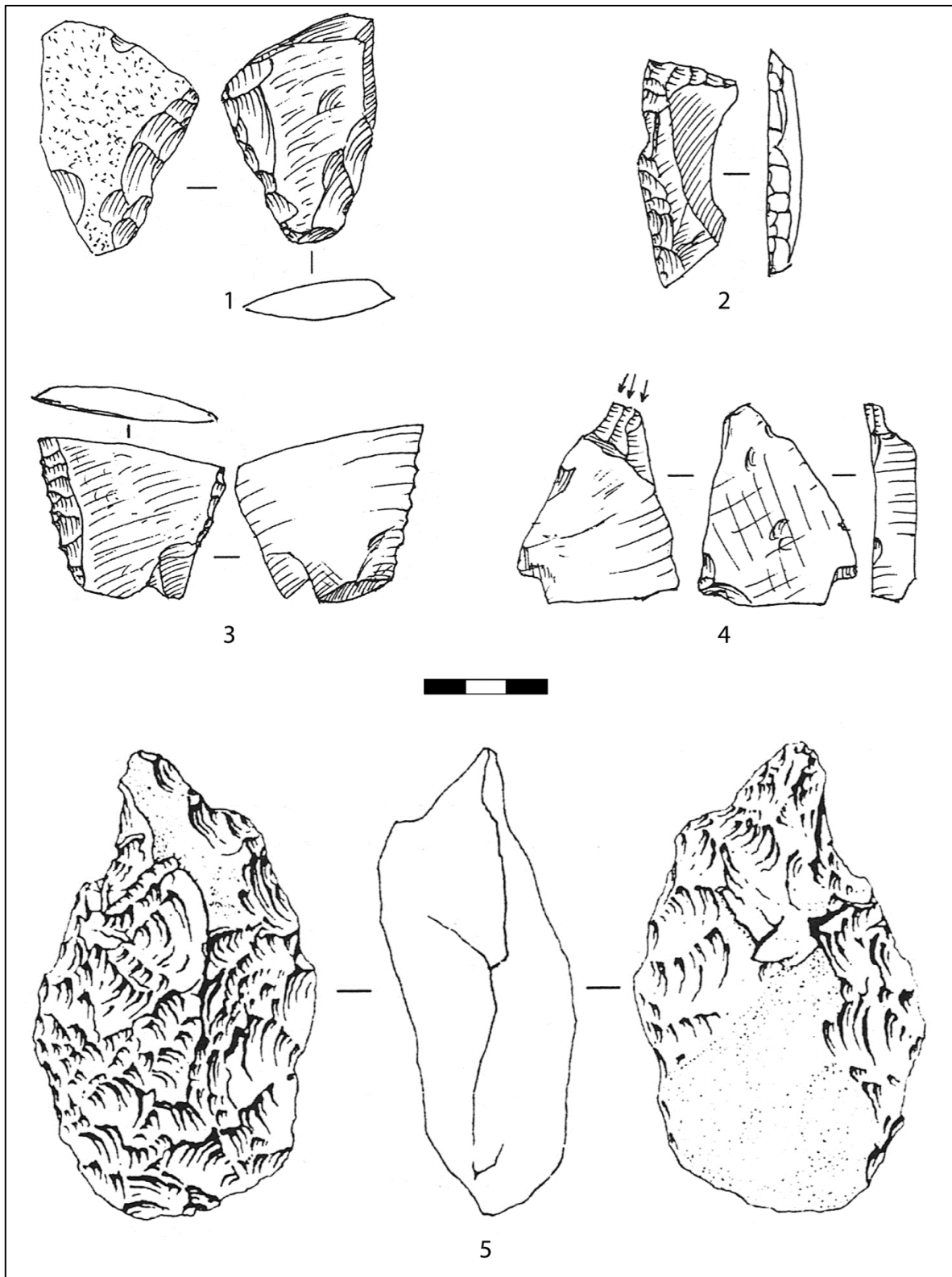
Taf. 12.2.1. Kostenki 12, Schicht V. 1. Diskoider Kern, 2. Pseudo-Artefakt?. Aus: Anikovich, Popov & Platonova 2008, Fig. 39.



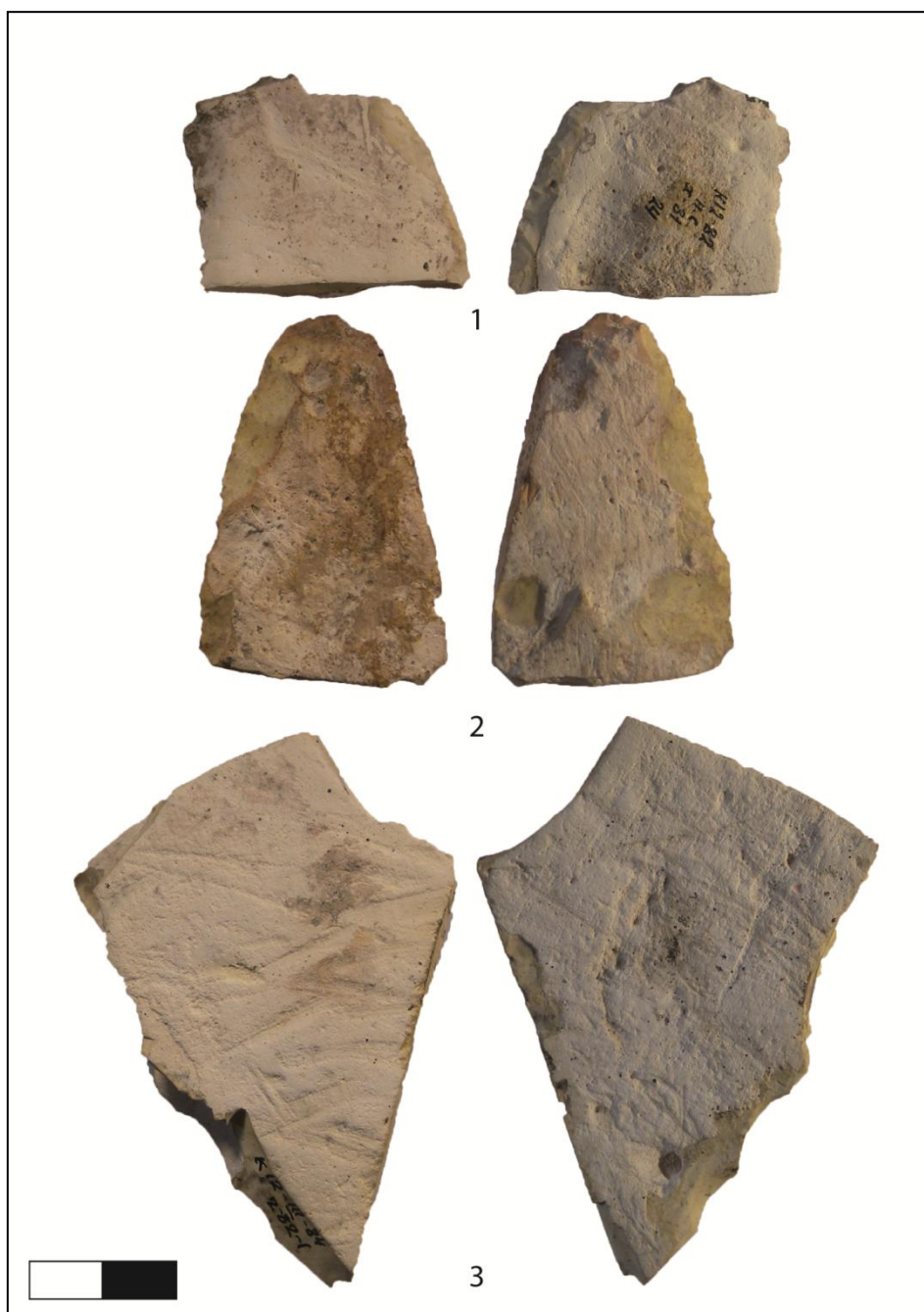
Taf. 12.2.2. Kostenki 12, Schicht IV. Artefakte. 1 & 2. Kerne (diskoid), 3. Retuschierter Abschlag. Aus: Anikovich, Popov & Platonova 2008, Fig. 41.



Taf. 12.2.3. Kostenki 12, Schicht 4. Primäre Kernkanten Klinge. Aus: Anikovich, Popov & Platonova 2008, Fig. 40.



Taf. 12.2.4. Kostenki 12, Schicht IV. Artefakte. 1. Einfacher Schaber mit beidflächig zugerichteter gerader Arbeitskante, 2. Winkelschaber, 3. Doppelschaber an Abschlag, 4. Stichel?, 5. ?. Aus: Anikovich, Popov & Platonova 2008, Fig. 40.



Tafel 12.3.1. Kostenki 12, Schicht III. Artefakte mit Ritzungen in der Kortex. 1. Lateral retuschiert, 2. Bilateral retuschiert, 3. Plattenfragment. (Fotos: G. Bataille).



Taf. 12.3.2. Kostenki 12, Schicht III. Abschlag mit glattem Rücken; entlang glatter Kernflanke geschlagen. (Fotos: G. Bataille).



Taf. 12.3.3. Kostenki 12, Schicht III. Einfacher Abschlag mit ausgeprägtem Bulbus. (Fotos: G. Bataille).



Taf. 12.3.4. Kostenki 12, Schicht III. Klinge mit lateralem Kernkantenrest. (Fotos: G. Bataille).



Taf. 12.3.5. Kostenki 12, Schicht III. 1. Initialisierte Spitze oder Winkelschaber; bifaziell kantennah retuschiert. Möglicherweise initiale Phase der bikonvexen Formüberarbeitung. 2. Abschlag. (Fotos: G. Bataille).



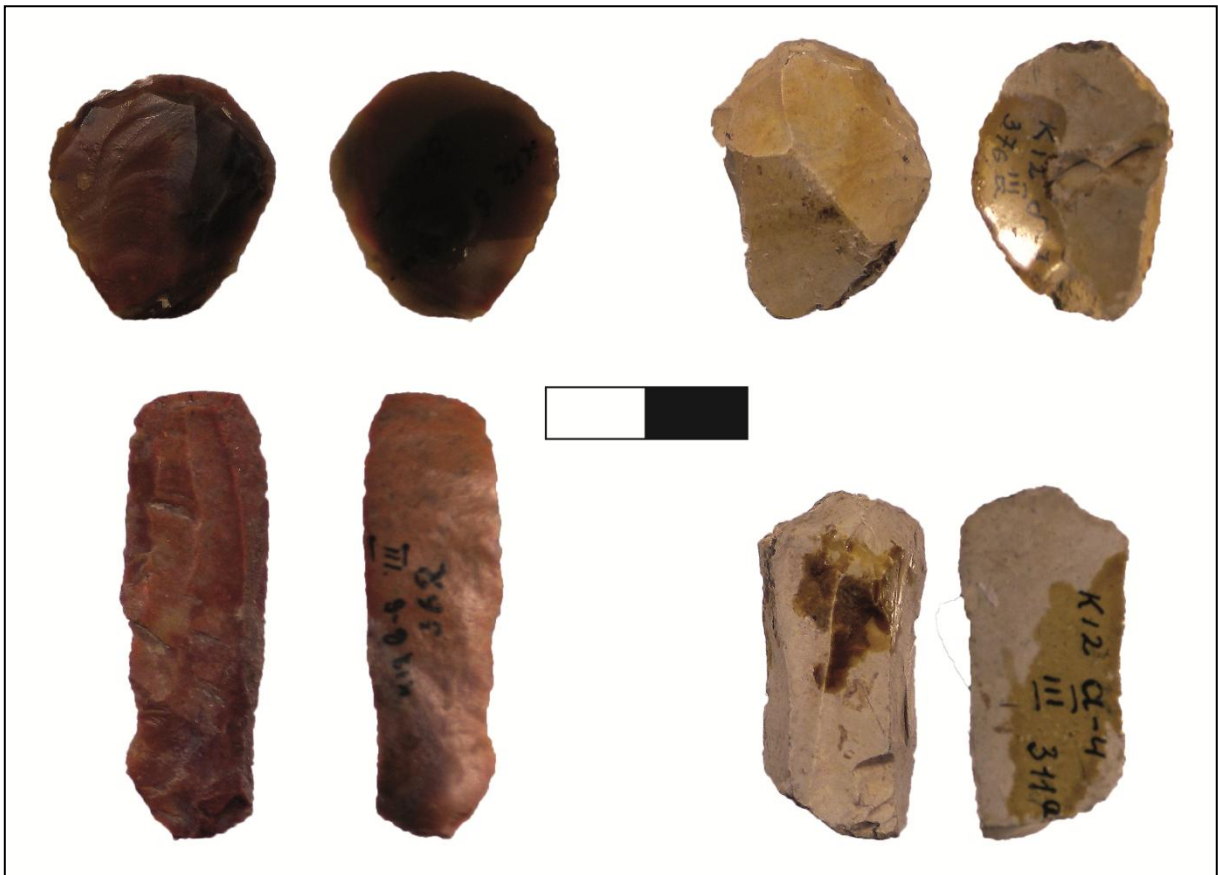
Taf. 12.3.6. Kostenki 12, Schicht III. Klinge der Kernkorrektur. Rechts lateral Rest der glatten Kernflanke. (Fotos: G. Bataille).



Taf. 12.3.7. Kostenki 12, Schicht III. Einfacher Kratzer an Abschlag, bilateral kantennah retuschiert. (Fotos: G. Bataille).



Taf. 12.3.8. Kostenki 12, Schicht III. Umlaufend steil retuschierter Kratzer an Abschlag. (Fotos: G. Bataille).



Taf. 12.3.9. Kostenki 12, Schicht III. Einfache Kratzer an Abschlag (oben) und an Klinge (unten). (Fotos: G. Bataille).



Taf. 12.3.10. Kostenki 12, Schicht III. Lateral retuschierte Artefakte: 1 & 2 an Plattenfragmenten und 3 an Abschlag (hart geschlagen – ausgeprägter Bulbus). (Fotos: G. Bataille).



Taf. 12.3.11. Kostenki 12, Schicht III. Initiale Phase der bikonvexen bifaziellen Formüberarbeitung. (Fotos: G. Bataille).



Taf. 12.3.12. Kostenki 12, Schicht III. Initiale Phase der bikonvexen bifaziellen Formüberarbeitung. (Fotos: G. Bataille).



Taf. 12.3.13. Kostenki 12, Schicht III. Fragment einer bikonvexen Spitze. Frühe Phase der bikonvexen bifaziellen Formüberarbeitung. (Fotos: G. Bataille).



Taf. 12.3.14. Kostenki 12, Schicht III. Bikonvexe Blatt- / Doppelspitze. Frühe Phase der bikonvexen bifaziellen Formüberarbeitung. (Fotos: G. Bataille).



Taf. 12.3.15. Kostenki 12, Schicht III. Fertige bikonvexe Blattspitze mit ovaler Basis. (Fotos: G. Bataille).



Taf. 12.3.16. Kostenki 12, Schicht III. Fertige bikonvexe Blattspitze / Doppelspitze. (Fotos: G. Bataille).



Taf. 12.3.17. Kostenki 12, Schicht III. Fragment einer bkonvexen Blattspitze. (Fotos: G. Bataille).



Taf. 12.3.18. Kostenki 12, Schicht III. Uni- & bifaziell formüberarbeitete Geräte. Oben: Umlaufend steil retuschierter Schaber / Kratzer an Abschlag (unifaziell). Mitte: Unifazielle asymmetrische Spitze an Abschlag. Unten Bifazielles Gerät. Plan-konvex zugerichtet, mit Rücken (Keilmesser?). (Fotos: G. Bataille).



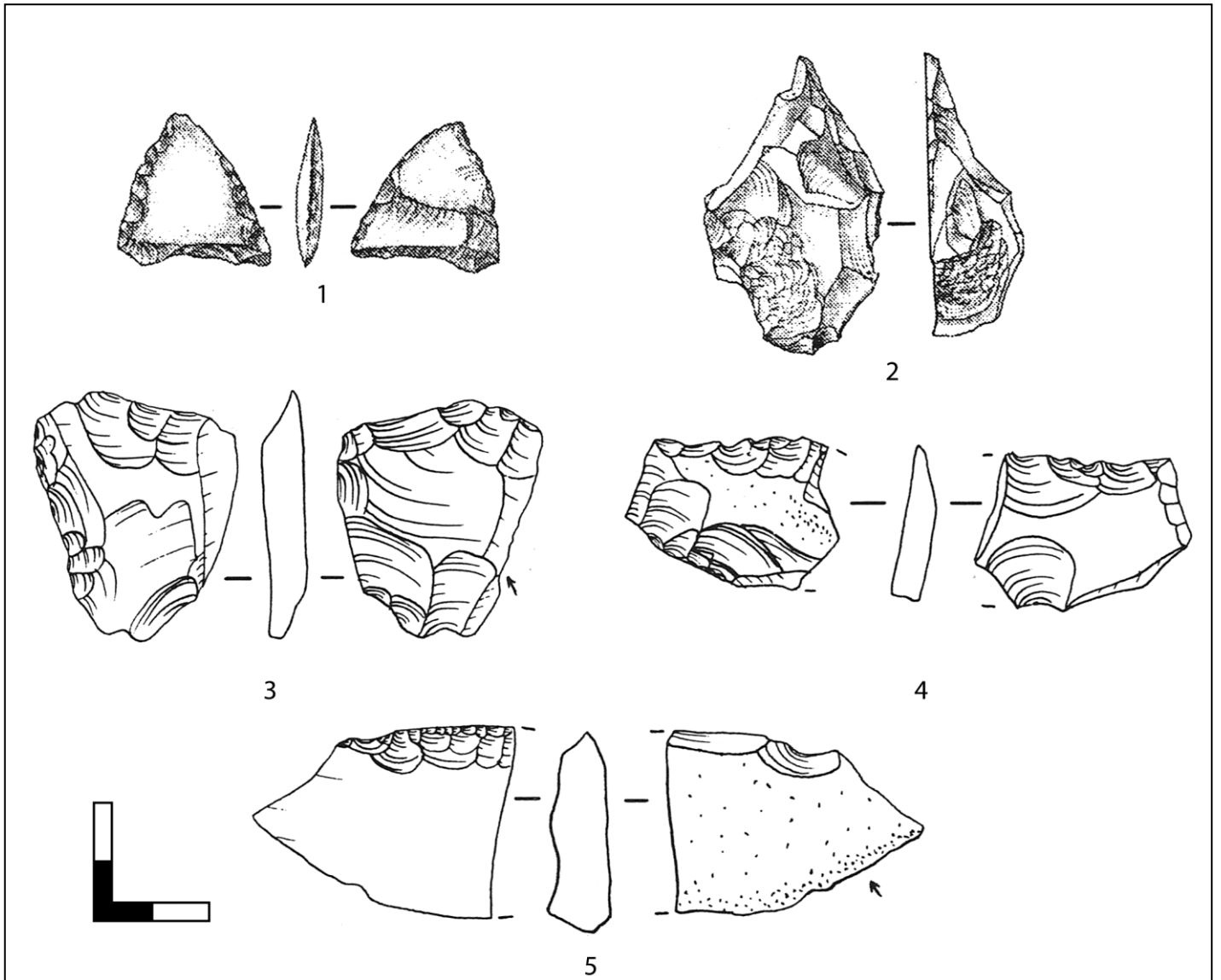
Taf. 12.3.19. Kostenki 12, Schicht III. Plan-konvex-plan-konvexe Spitze. Frühes Stadium. (Fotos: G. Bataille).



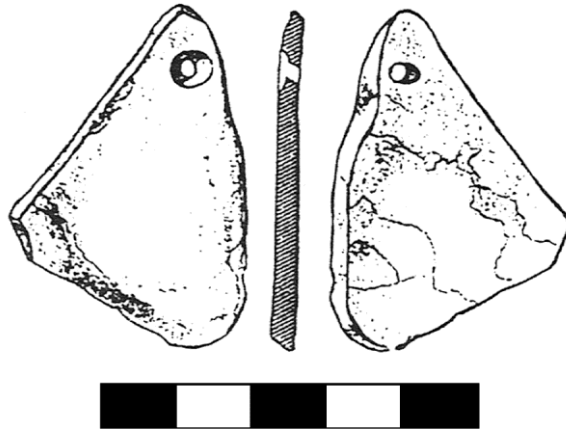
Taf. 12.3.20. Kostenki 12, Schicht III. Plankonvexe Spitze mit massiver Basis. (Fotos: G. Bataille).



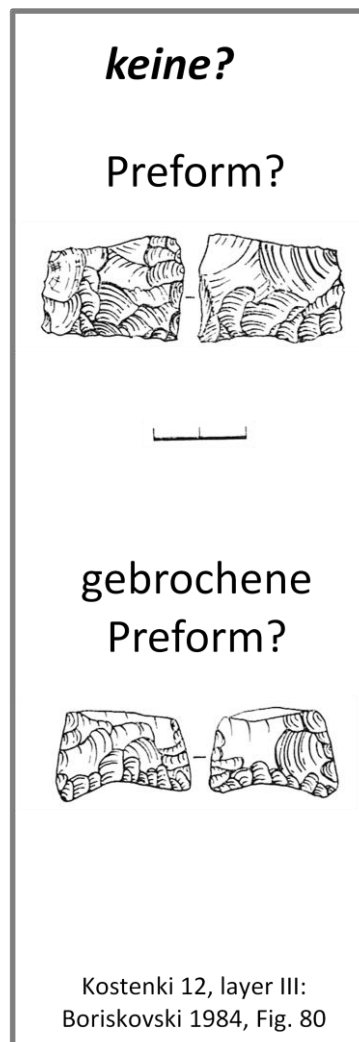
Taf. 12.3.21. Kostenki 12, Schicht III. Plankonvexes Geräte mit dreieckigem Umriss. Initiale / frühe Phase der Formüberarbeitung. (Fotos: G. Bataille).



Taf. 12.4.5. Kostenki 12, Schicht Ia. Steinartefakte. 1. Lateral retuschierte dreieckige Mikrospitze, 3. Bifazielles Halbfabrikat(?), 4-5. Beidseitig zugerichtete Einfach- / Breitschaber. Aus: Anikovitch, Popov & Platonova 2008, Fig. 48.



Taf. 12.4.6. Kostenki 12, Schicht Ia. Durchlochter Anhänger, an Plattenfragment. . Aus: Anikovich, Popov & Platonova 2008, Fig. 49.



Taf. 12.4.7. Kostenki 12, Schicht III. Mögliche dreieckige Spitzen?



Taf. 12.4.4. Kostenki 6. Halbfabrikat einer dreieckigen bifaziellen Spitze (konkave Basis?). Initiale Phase. (Fotos: G. Bataille).



Taf. 12.4.5. Kostenki 6. Dreieckige bifazielle Spitze. Frühe Phase. Nach Schlagunfall verworfen. (Fotos: G. Bataille).



Taf. 12.4.6. Kostenki 6. Dreieckige bifazielle Spitze mit schwach konkaver, beinahe gerader Basis. (Fotos: G. Bataille).



Taf. 12.4.7. Kostenki 6. Dreieckige bifazielle Blattspitze mit konkaver Basis. (Fotos: G. Bataille).



Taf. 12.4.8. Kostenki 6. Ovale bikonvexe Blattspitze. (Fotos: G. Bataille).



Taf. 13.2.1. Kostenki 14, Schicht IVb1-2. Unipolarer Klingen Kern. Sub-zylindrisch, an massivem Plattenrohstück aus lokalem Feuerstein. (Fotos: G. Bataille).



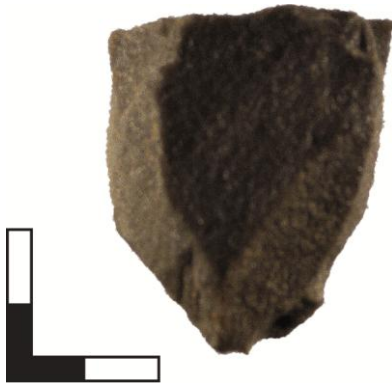
Taf. 13.2.2. Kostenki 14, Schicht IVb1-2. Unipolarer Klingen-Rest Kern. An kreidiger Rohknolle aus lokalem Vorkommen. (Fotos: G. Bataille).



Taf. 13.2.3. Kostenki 14, Schicht IVb1-2. Unipolarer Klingenkern mit 2 Reduktionsflächen. Sub-prismatisch. An Kieseliefer-ähnlicher Varietät. (Fotos: G. Bataille).



Taf. 13.2.4. Kostenki 14, Schicht IVb1-2. Unipolarer Klingenkern. Sub-prismatisch. (Fotos: G. Bataille).



Taf. 13.2.5. Kostenki 14, Schicht IVb1-2. Sub-prismatischer Klingenkern mit zwei unipolaren Reduktionsflächen. (Fotos: G. Bataille).



Taf. 13.2.6. Kostenki 14, Schicht IVb1-2. Diskoider Abschlagkern. Sinitsyn (2010): bikonvexes ovales Biface-Gerät. (Fotos: G. Bataille).



Taf. 13.2.7. Kostenki 14, Schicht IVb1-2. 1 Diskoider Abschlagkern. Sinitsyn (2010): bikonvexes ovales Biface-Gerät. (Fotos: G. Bataille).



Taf. 13.2.8. Kostenki 14, Schicht IVb1-2. Diskoider Abschlagkern. Sinitsyn (2010): bikonvexes ovales Biface-Gerät. (Fotos: G. Bataille).

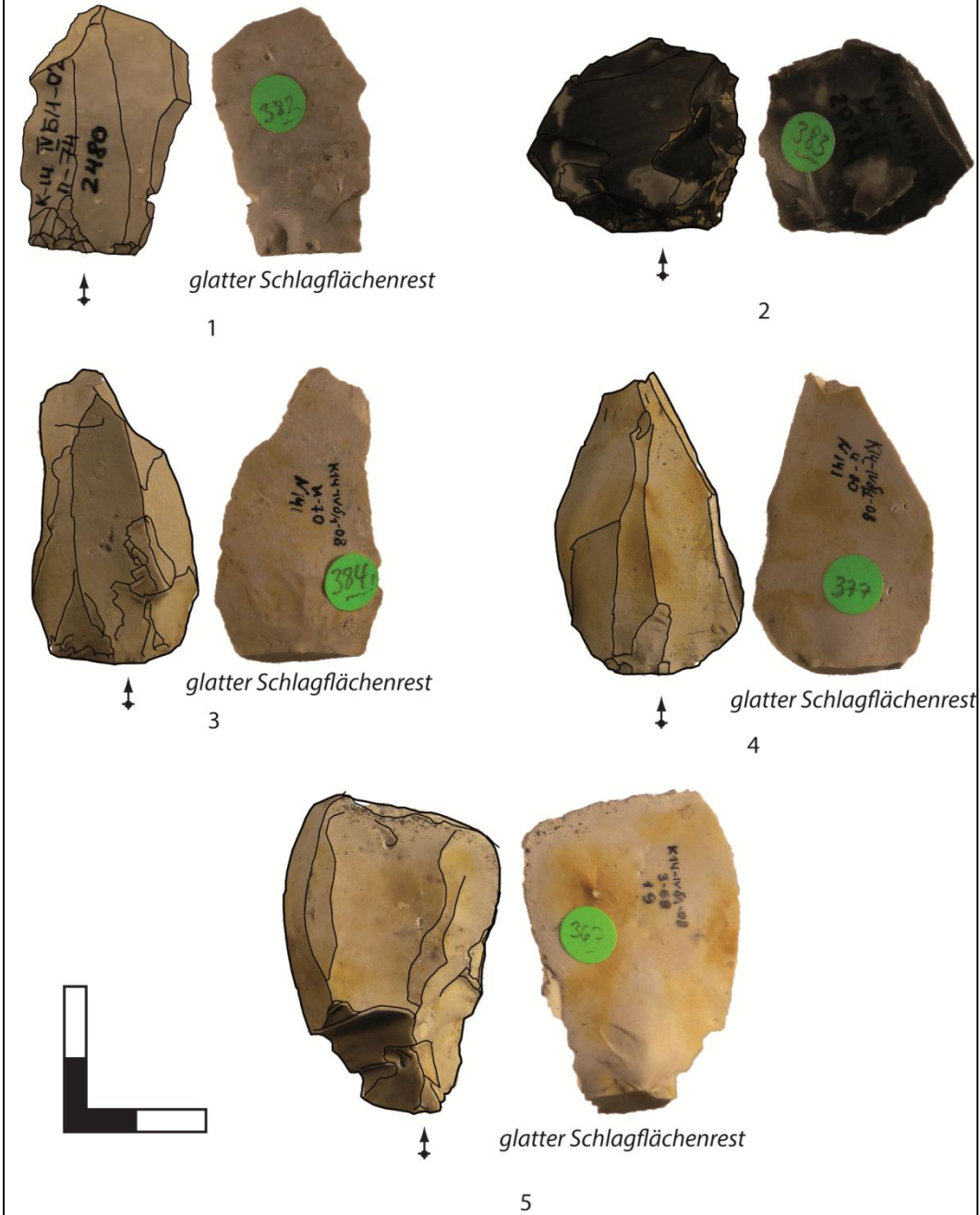


Taf. 13.2.9. Kostenki 14, Schicht IVb1-2. Diskoider Kern oder kleine bikonvexe bifazielle Preform. (Fotos: G. Bataille).



Taf. 13.2.10. Kostenki 14, Schicht IVb1-2. Abschlage. 1. Abtrennen der Reduktionsflache eines Klingen-/Lamellenkerns. 2. Mit ausgepragtem Bulbus – harter Schlag in senkrechter Schlaggestik. (Fotos: G. Bataille).

Kostenki 14, Schicht b1-2: Korrekturabschläge -
 Abtrennen der Reduktionsfläche von Klingen-/Lamellenkernen



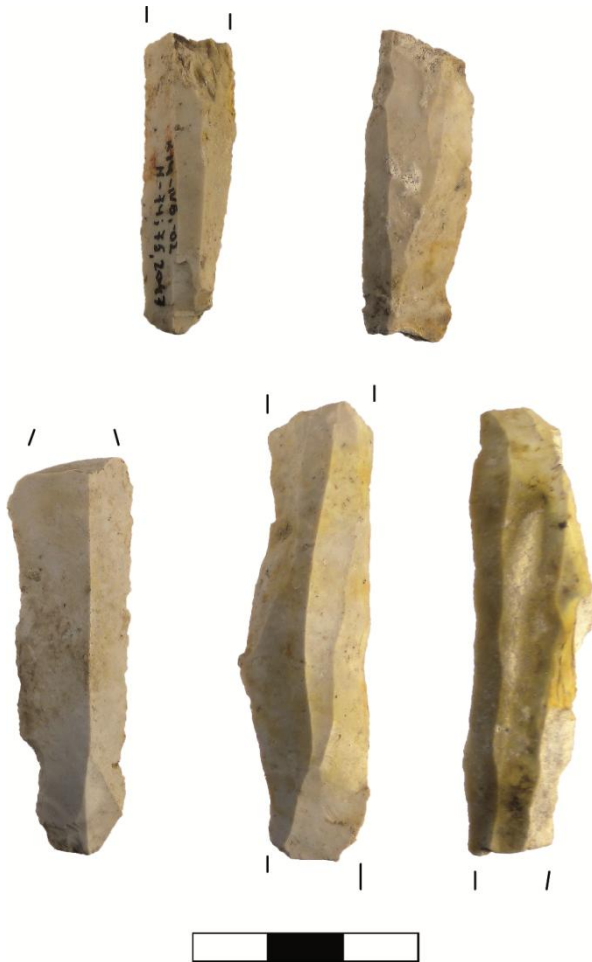
Taf. 13.2.11. Kostenki 14, Schicht IVb1-2. Abschläge. Abtrennen der Reduktionsfläche von Klingen-/Lamellenkernen. Mit ausgeprägten Bulben – harter Schlag in senkrechter Schlaggestik. (Fotos: G. Bataille).



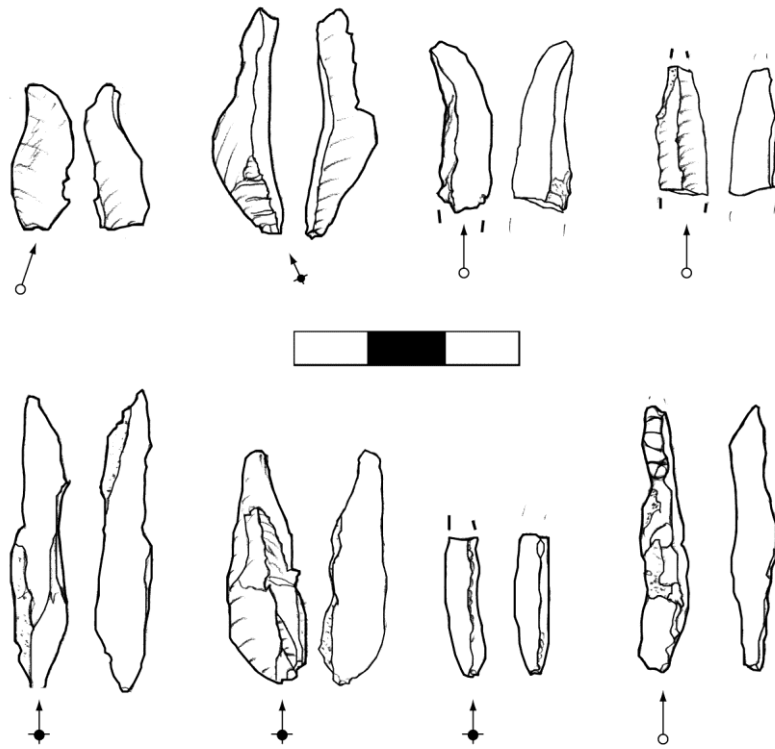
Taf. 13.2.12. Kostenki 14, Schicht IVb1-2. Kernkantenklingen. (Fotos: G. Bataille).



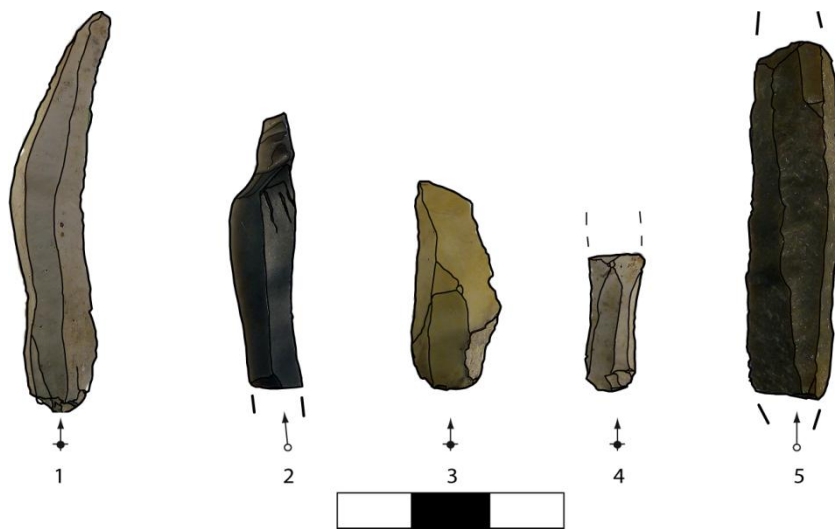
Taf. 13.2.13. Kostenki 14, Schicht IVb1-2. Klingen. (Fotos: G. Bataille).



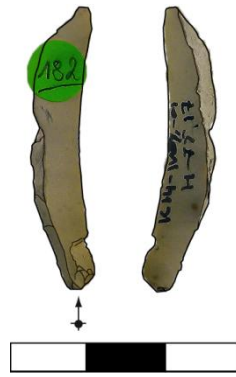
Taf. 13.2.14. Kostenki 14, Schicht IVb1-2. Klingensfragmente. (Fotos: G. Bataille).



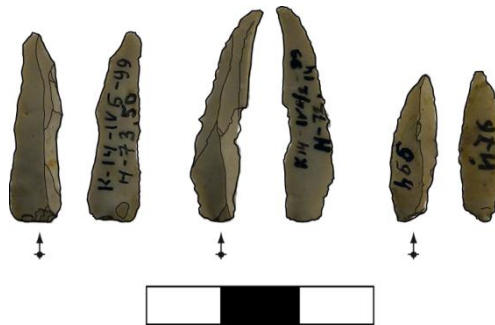
Taf. 13.2.15. Kostenki 14, Schicht IVb1-2. Stichellamellen. (Zeichnungen: G. Bataille).



Taf. 13.2.16. Kostenki 14, Schicht IVb1-2. Lamellen (1, 3-5) & Stichellamelle (2). (Fotos: G. Bataille).



Taf. 13.2.17. Kostenki 14, Schicht IVb1-2. Stichellamelle. (Fotos: G. Bataille).



Taf. 13.2.18. Kostenki 14, Schicht IVb1-2. *On-axis* tordierte Lamellen. (Fotos: G. Bataille).



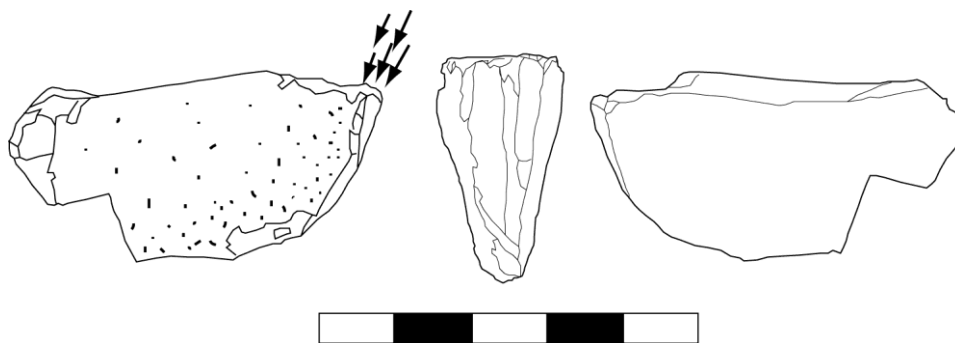
Taf. 13.2.9. Kostenki 14, Schicht IVb1-2. Lamellen. 1. Mit Kernkante, 2. Mit Plattenkante. (Fotos: G. Bataille).



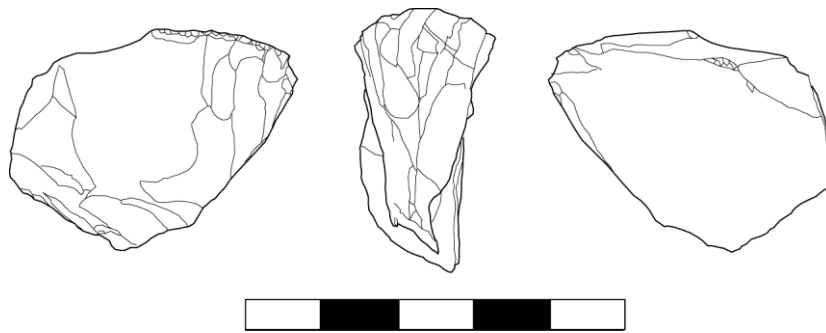
Taf. 13.2.20. Kostenki 14, Schicht IVb1-2. Stichel-Microblades. 1. Mit Kernkante. (Fotos: G. Bataille).



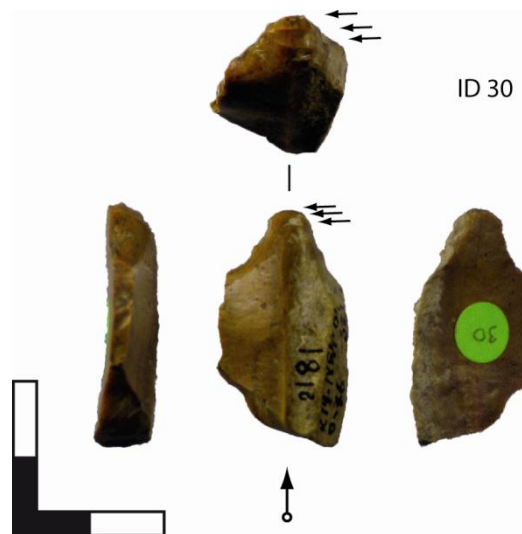
Taf. 13.2.21. Kostenki 14, Schicht IVb1-2. Einseitig lateral retuschierter Nasenkratzer / Microblade-Kern. ID 26. (Fotos: G. Bataille).



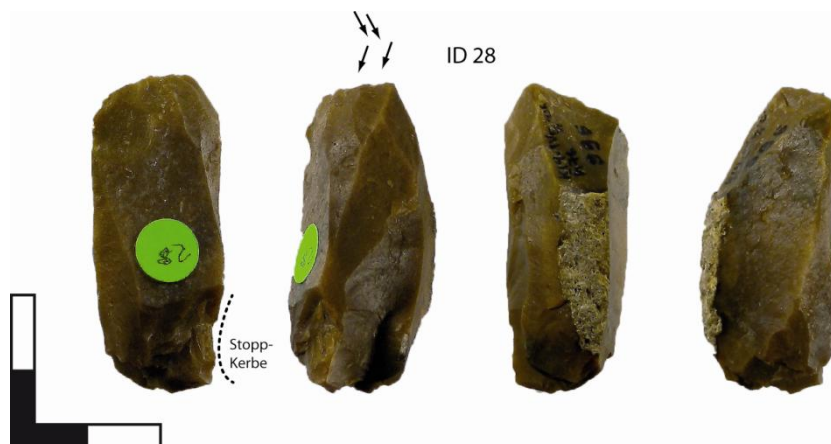
Taf. 13.2.22. Kostenki 14, Schicht IVb1-2. Bogenstichel; Lamellen-/Microblade-Kern. (Zeichnung: G. Bataille).



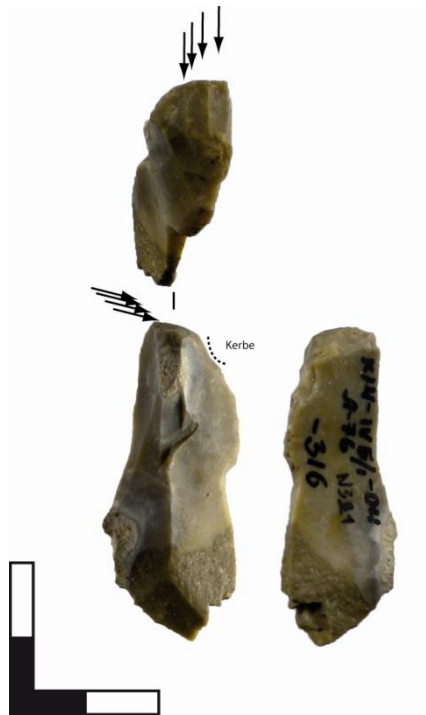
Taf. 13.2.23. Kostenki 14, Schicht IVb1-2. Vachonstichel; Lamellen-/Microblade-Kern. (Zeichnung: G. Bataille).



Taf. 13.2.24. Kostenki 14, Schicht IVb1-2. Bogenstichel; Lamellen-/Microblade-Kern. (Fotos: G. Bataille).



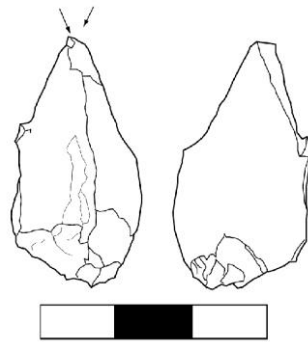
Taf. 13.2.25. Kostenki 14, Schicht IVb1-2. Mehrfacher Kielstichel / Dihedralstichel. (Fotos: G. Bataille).



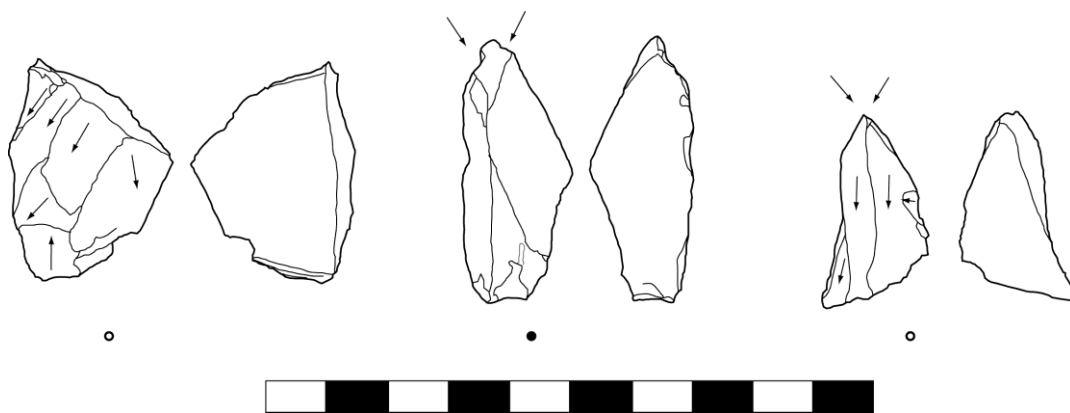
Taf. 13.2.26. Kostenki 14, Schicht IVb1-2. Bogenstichel; Lamellen-/Microblade-Kern. (Fotos: G. Bataille).



Taf. 13.2.27. Kostenki 14, Schicht IVb1-2. Kielstichel; Lamellen-Kern. (Fotos: G. Bataille).



Taf. 13.2.28. Kostenki 14, Schicht IVb1-2. Dihedralstichel. (Zeichnung: G. Bataille).



Taf. 13.2.29. Kostenki 14, Schicht IVb1-2. Links: regulärer Lamellenkern, Mitte & rechts: Dihedralstichel. (Zeichnungen: G. Bataille).



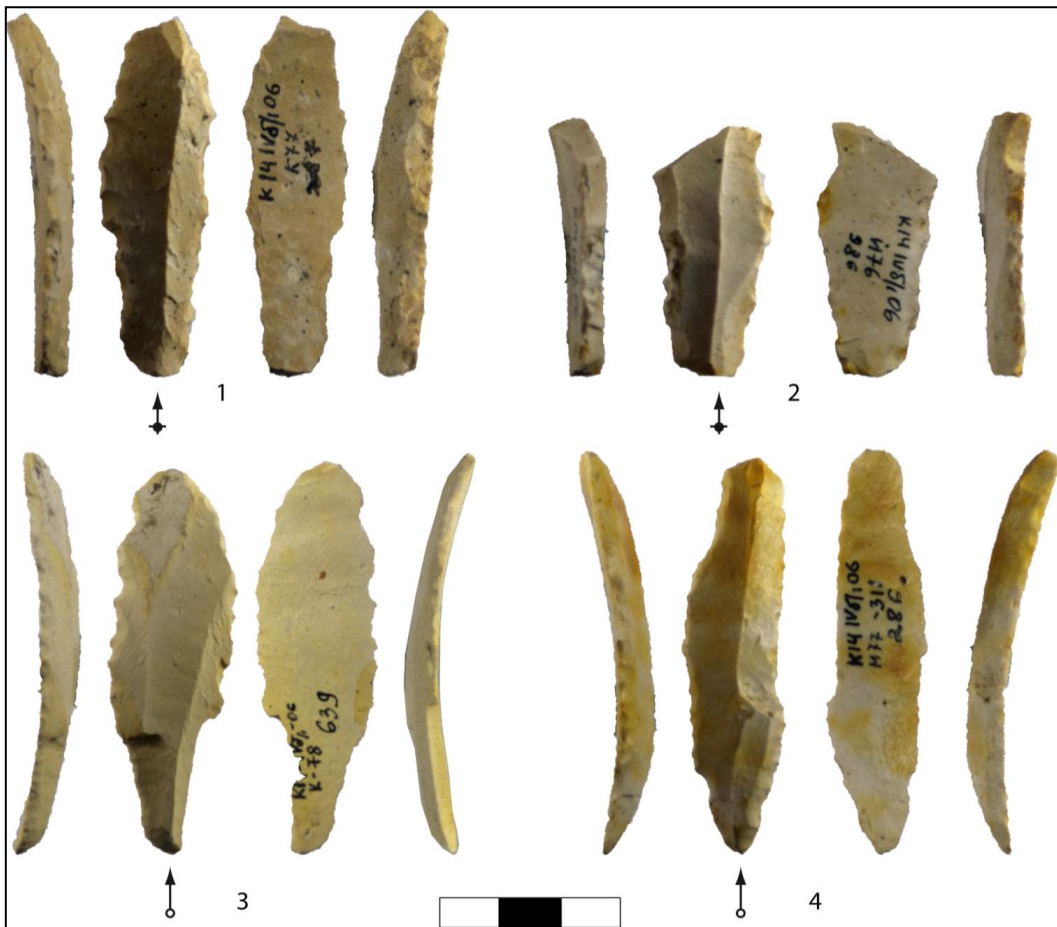
Taf. 13.2.30. Kostenki 14, Schicht IVb1-2. In Sticheltechnik reduziertes Plattenfragment - Lamellenkern. (Fotos: G. Bataille).



Taf. 13.2.31. Kostenki 14, Schicht IVb1-2. Einfacher Stichel, vom Basalende einer Kernkantenklinge aus geschlagen. (Fotos: G. Bataille).



Taf. 13.2.32. Kostenki 14, Schicht IVb1-2. Kratzer an bilateral retuschierter Klinge. (Zeichnung: G. Bataille).



Taf. 13.2.33. Kostenki 14, Schicht IVb1-2. Retuschierte Klingen. (Fotos: G. Bataille).



Taf. 13.2.34. Kostenki 14, Schicht IVb1-2. Plankonvexe asymmetrische Blattspitze. (Fotos: G. Bataille).



Taf. 13.2.35. Kostenki 14, Schicht IVb1-2. Importiertes & getestetes Fossil mit kreidiger Rinde. (Fotos: G. Bataille).



Taf. 13.3.1. Kostenki 14, Schicht GG. Asymmetrische bifazielle Spitze mit massiver konkaver Basis. Querschnitt: plankonvex & teilweise plankonvex-plankonvex. (Fotos: G. Bataille).



Taf. 13.4.1. Kostenki 14, Schicht IVa. Microblades. (Fotos: G. Bataille).



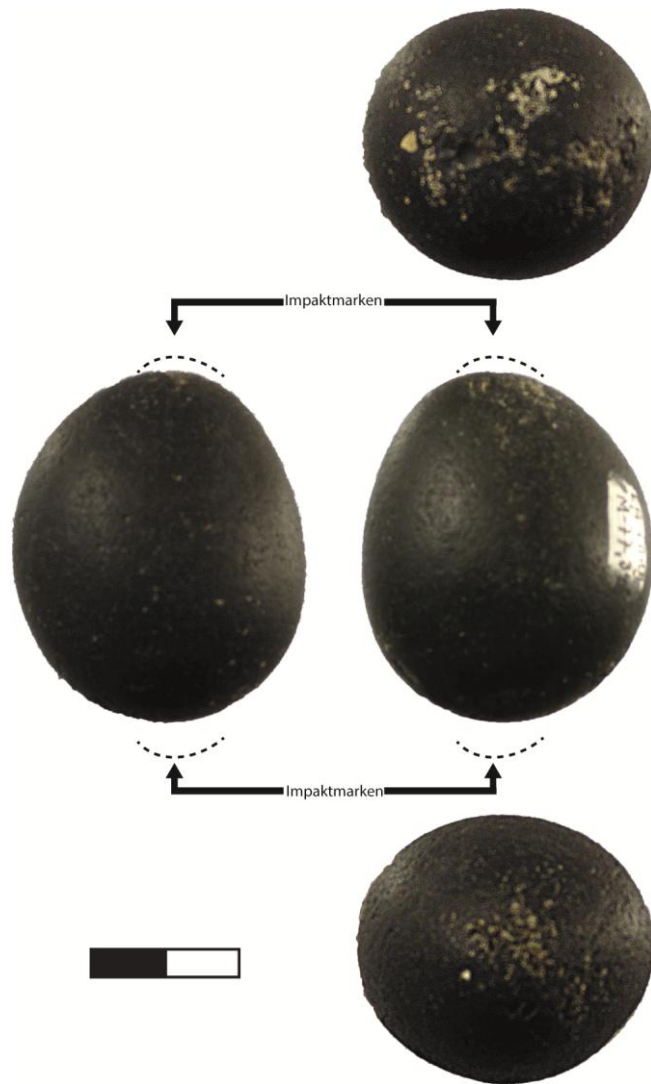
Taf. 13.4.2. Kostenki 14, Schicht IVa. Kratzer an Abschlag. (Fotos: G. Bataille).



Taf. 13.4.3. Kostenki 14, Schicht IVa. Lateral retuschierte Grundformen. (Fotos: G. Bataille).



Taf. 13.5.1. Kostenki 14, Schicht GP. Quarzit-Retuscheur. (Fotos: G. Bataille).



Taf. 13.5.2. Kostenki 14, Schicht GP. Quarzit-Retuscheur. (Fotos: G. Bataille).



Taf. 13.5.3. Kostenki 14, Schicht GP. Durchlochter amorpher Anhänger? (Foto: G. Bataille).



Taf. 13.5.4. Kostenki 14, Schicht GP. Unipolarer Klingenkern mit zylindrischem Umriss. (Fotos: G. Bataille).



Taf. 13.5.5. Kostenki 14, Schicht GP. Kielkratzer. Lamellenkern mit gerader Reduktionsfläche. (Fotos: G. Bataille).



Taf. 13.5.6. Kostenki 14, Schicht GP. Kielkratzer. Lamellenkern mit gerader bis leicht gebogener Reduktionsfläche. (Fotos: G. Bataille).



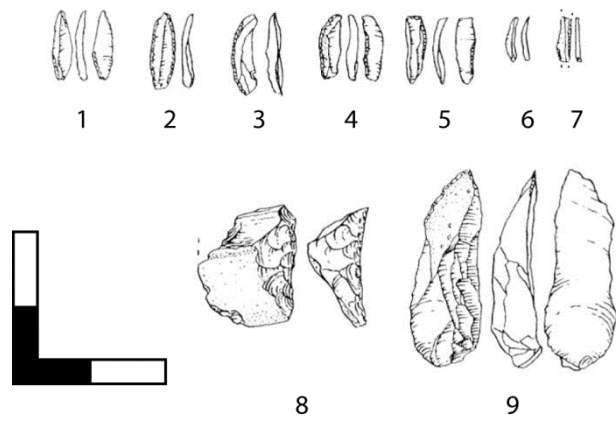
Taf. 13.5.7. Kostenki 14, Schicht GP. Dihedralstichel / Lamellenkerne. (Fotos: G. Bataille).



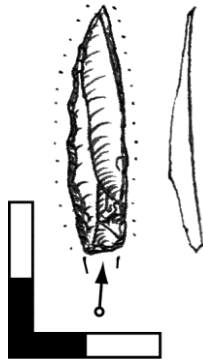
Taf. 13.5.8. Kostenki 14, Schicht GP. Stichellamellen mit dreieckigem Querschnitt & zwei Ventralflächen. Nr. 2: primäre Stichellamelle mit Negativen der Kernkantenpräparation. (Fotos: G. Bataille).



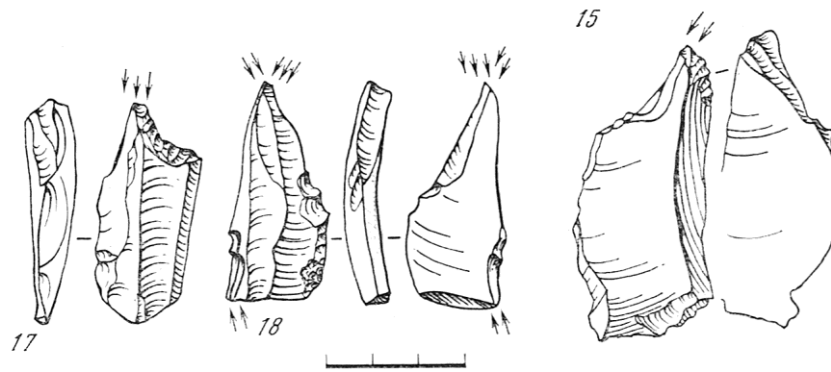
Taf. 13.5.9. Kostenki 14, Schicht GP. Umlaufend retuschierte Klinge; schuppige Retusche. (Fotos: G. Bataille).



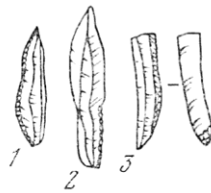
Taf. 13.5.10. Kostenki 14, Schicht GP. Geräte. Mikrolithen: 1, 4 & 5 Dufour-Microblades (alternierend retuschiert), 2 & 7 bilateral dorsal retuschiert, 3 & 6 einseitig dorsal retuschiert; 8. Kielkratzer mit lateraler Lamellen-Reduktionsfläche; 9. Klinge mit fein retuschierter Spitze. Aus: Hoffecker et al. 2008, Fig. 7. Maßstab 1:2.



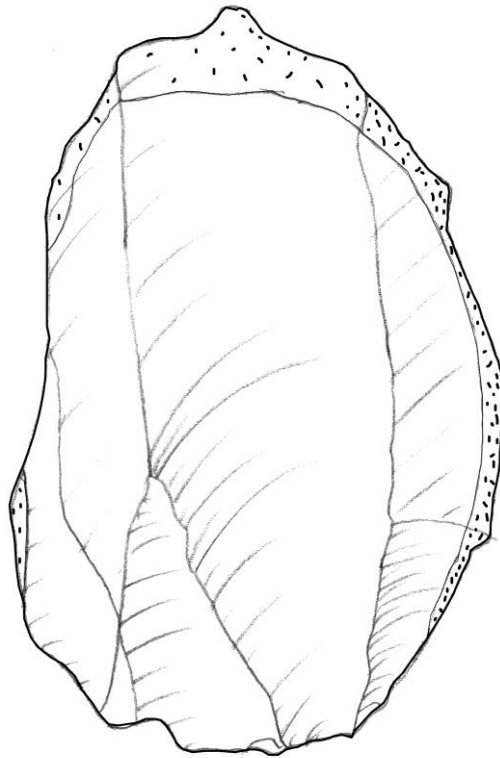
Taf. 14.3.8. Kostenki 17, Schicht I. Font-Yves-Spitze. (Zeichnung: G. Bataille).



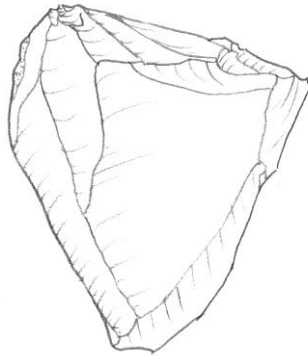
nach Boriskovski 1984, Fig. 83



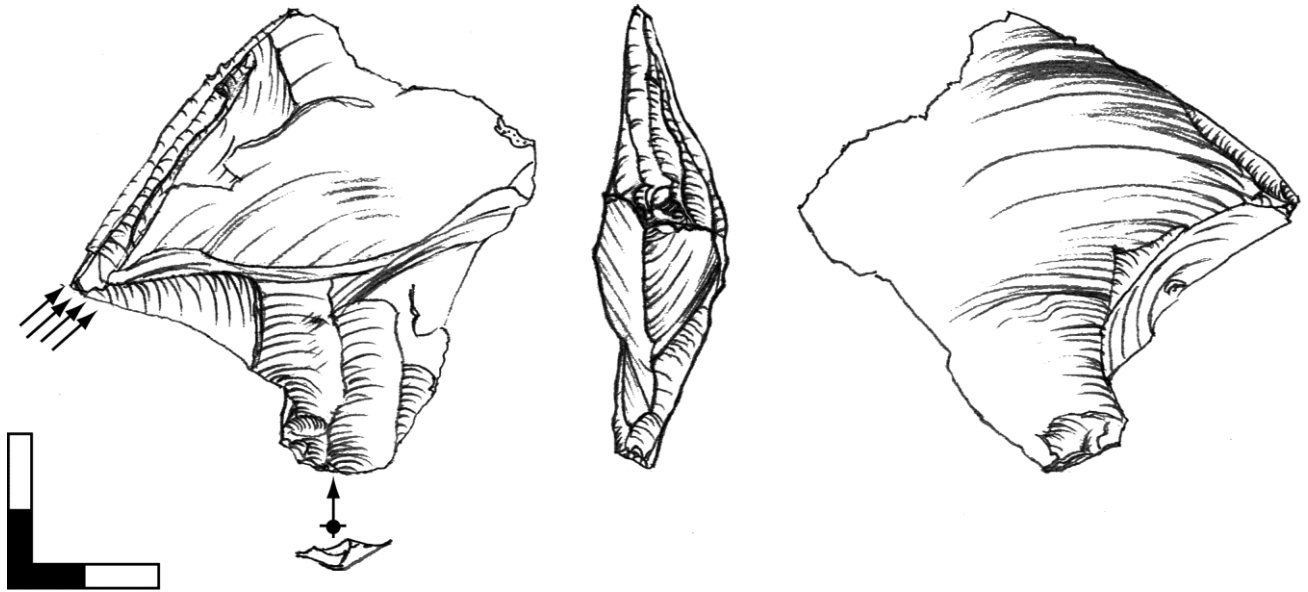
Taf. 14.3.2. Kostenki 17, Schicht II. Oben: Stichel an konkaver Endretusche, Dihedralstichel & Stichel an lateraler Retusche, Lamellenkerne. Unten: lateral retuschierte Lamellen, rechts: retuschierte Stichellamelle. Aus: Boriskowski 1984, Fig. 83.



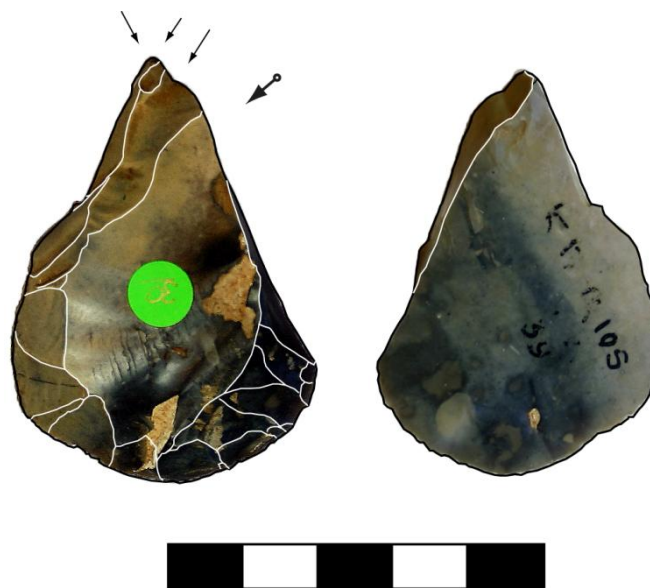
Taf. 14.3.3. Kostenki 17, Schicht II. Unipolarer Klingen-Restkern. (Zeichnung: G. Bataille).



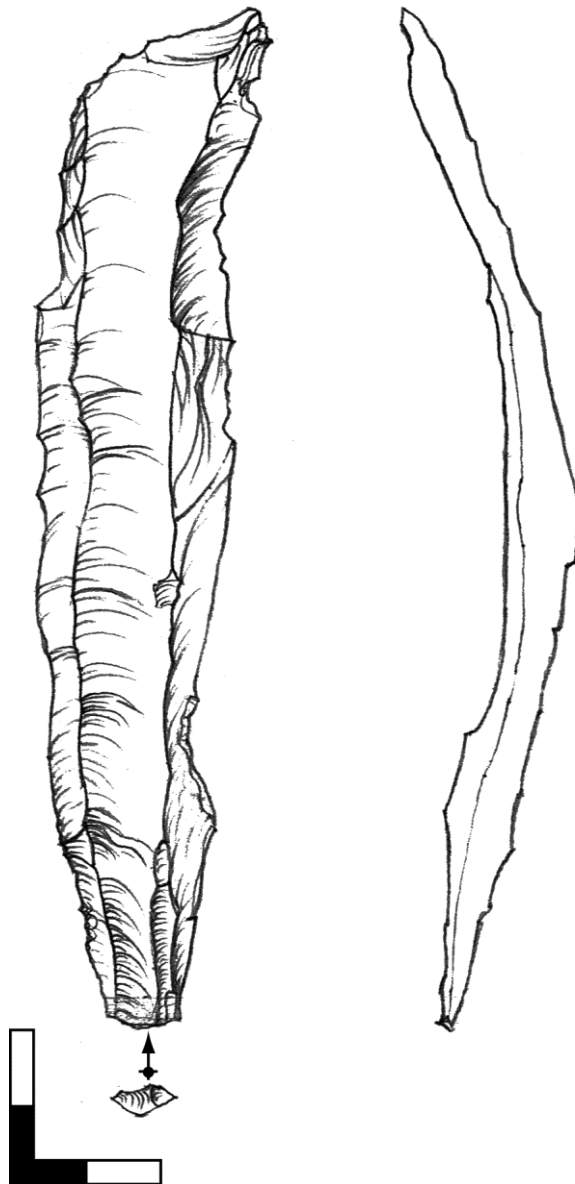
Taf. 14.3.4. Kostenki 17, Schicht II. Volumetrischer Klingen-Restkern mit zwei unipolaren Reduktionsflächen. (Zeichnung: G. Bataille).



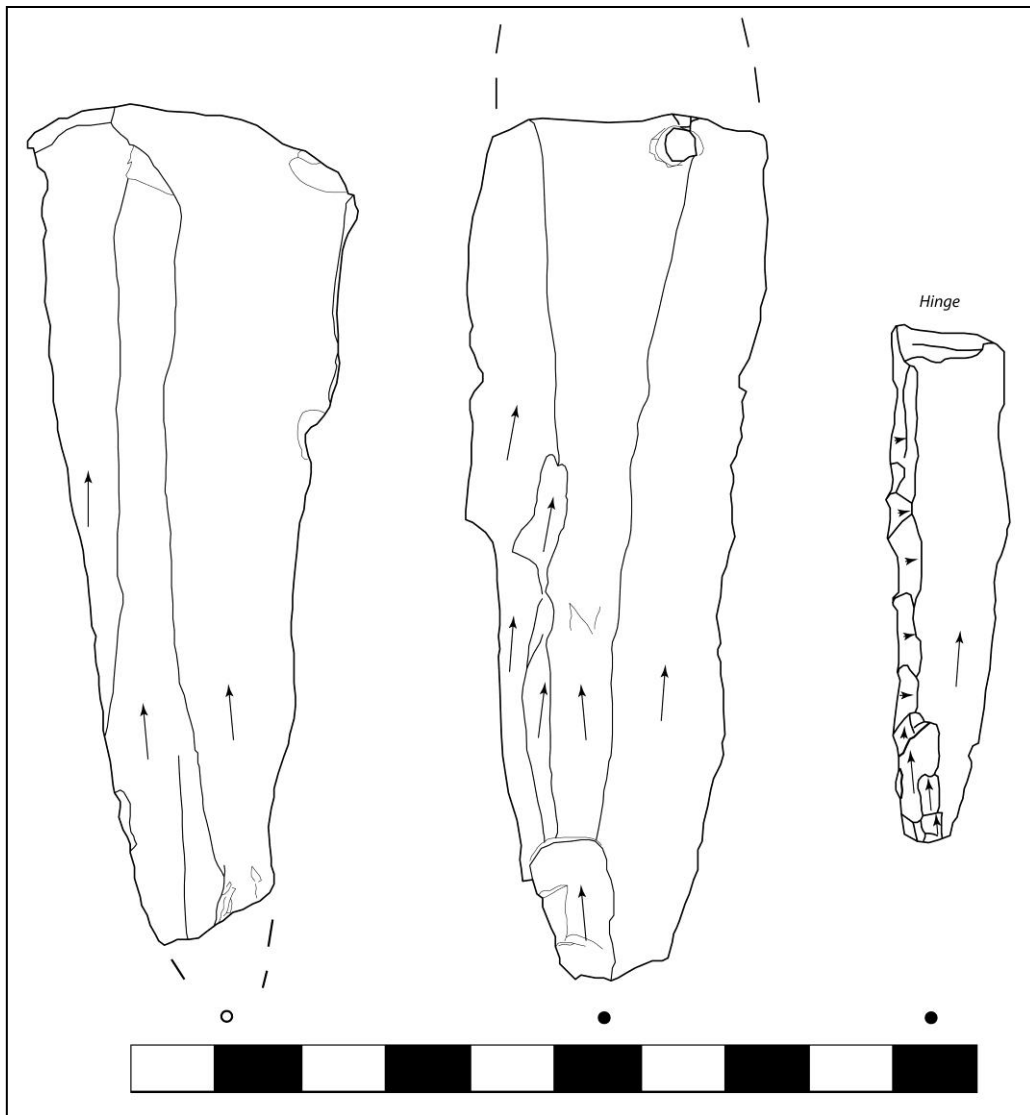
Taf. 14.3.5. Kostenki 17, Schicht II. Mehrfacher unipolarer Lamellenkern. Dorsal-basal: Reduktionsfläche der Lamellenproduktion. Lateral links: Stichelbahnen; Produktion langer gerader Microblades. (Zeichnung: G. Bataille).



Taf. 14.3.9. Kostenki 17, Schicht II. Stichel am Basalende eines Kratzers an Abschlag. Lamellenkern. (Fotos: G. Bataille).



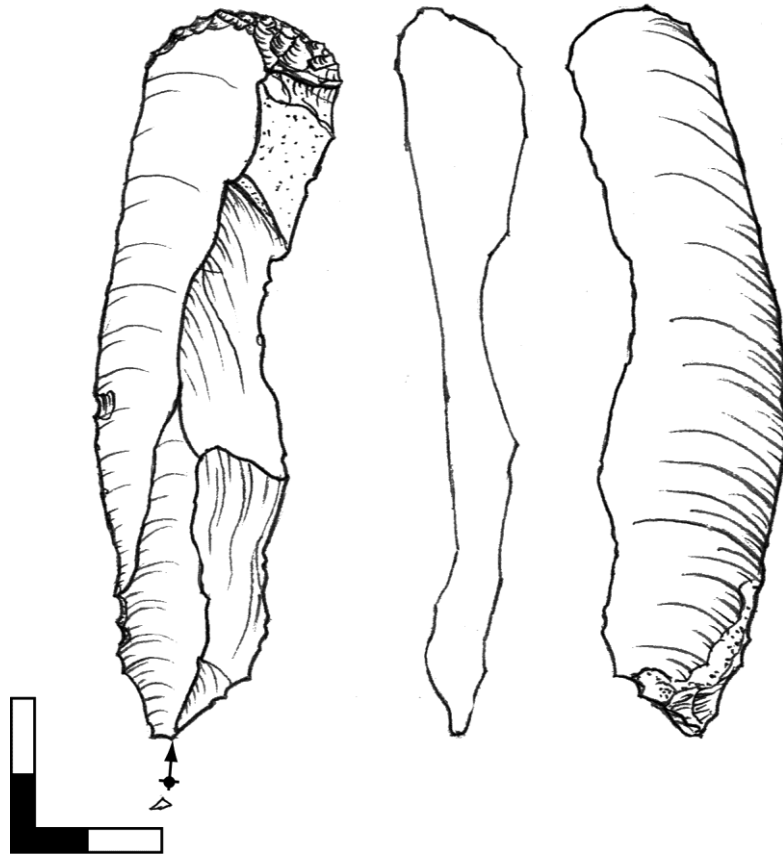
Taf. 14.3.10. Kostenki 17, Schicht II. Gebogene, sekundäre Kernkanten Klinge eines volumetrischen Kerns. (Zeichnung: G. Bataille).



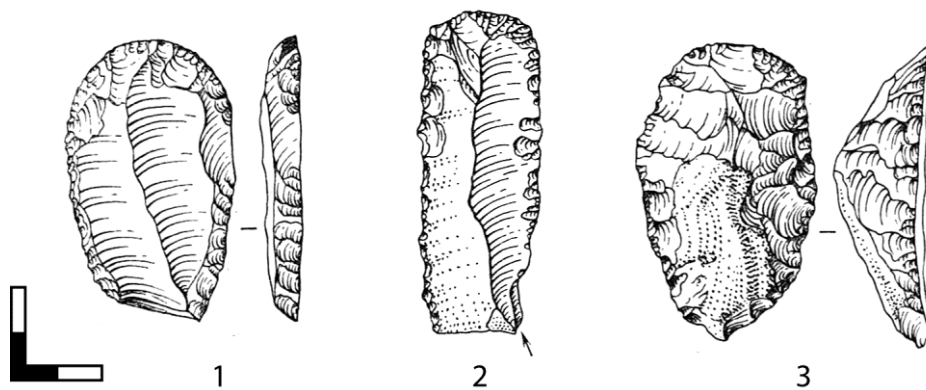
Taf. 14.3.11. Kostenki 17, Schicht II, Klingen von volumetrischen Kernen. Rechts. Kernkantenklinge. (Zeichnungen: G. Bataille).



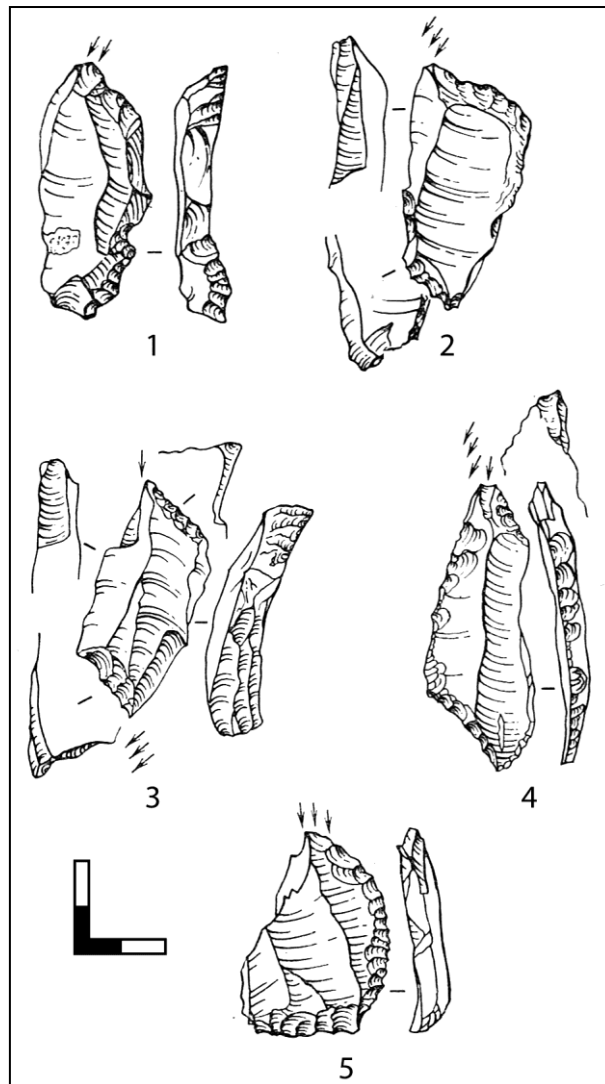
Taf. 14.3.12. Kostenki 17, Schicht II. Primäre Kernkanten Klinge. (Fotos: G. Bataille).



Taf. 14.3.13. Kostenki 17, Schicht II. Einfacher Kratzer an gebogener, sekundärer Kernkantenklinge eines volumetrischen Kerns. (Zeichnung: G. Bataille).



Taf. 14.3.14. Kostenki 17, Schicht II. Kratzer. 1. Bilateral retuschierter Kratzer an geradem flachem Abschlag, 2. Klingekratzer, partiell lateral retuschiert, 3. Umlaufend retuschiertes Limace-artiges Artefakt, Lamellenkern? Aus: Boriskowski 1984, Fig. 83.



Taf. 14.3.12. Kostenki 17, Schicht II. Lamellenkerne. Mehrschlagstichel an End- (1-4) und Lateralretusche (5).
 Aus: Boriskowski 1984, Fig. 83.